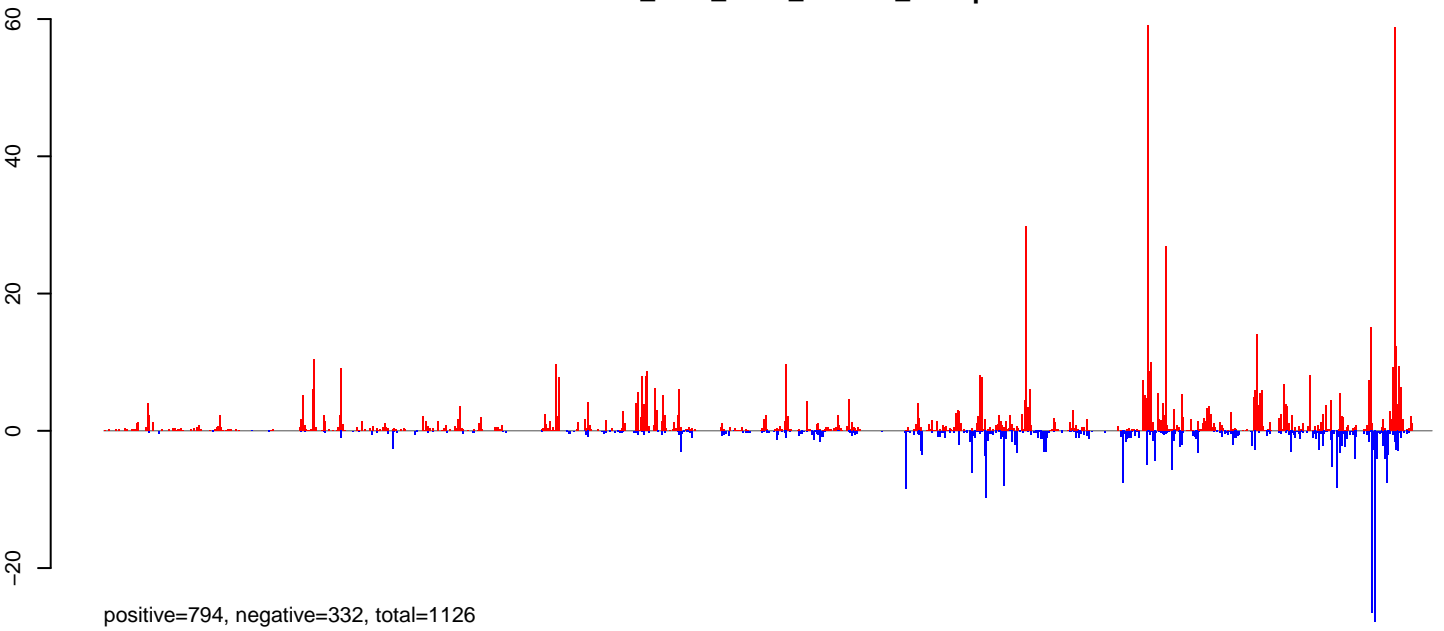
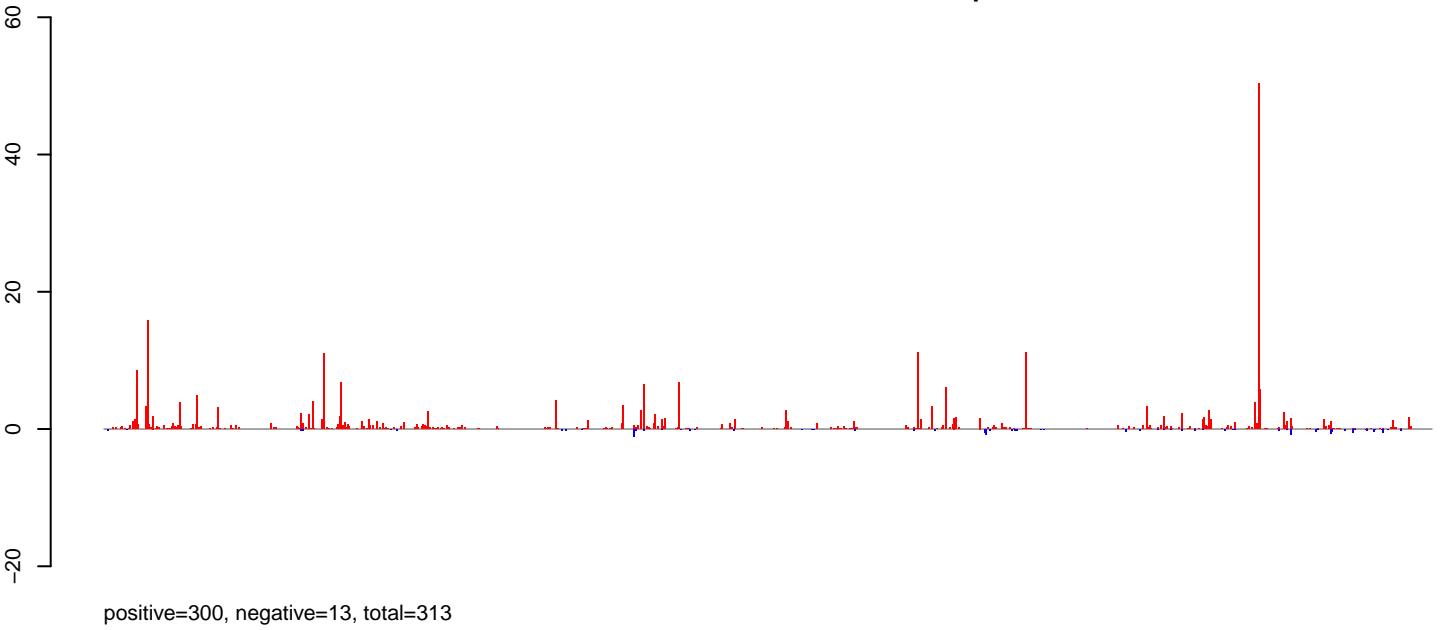


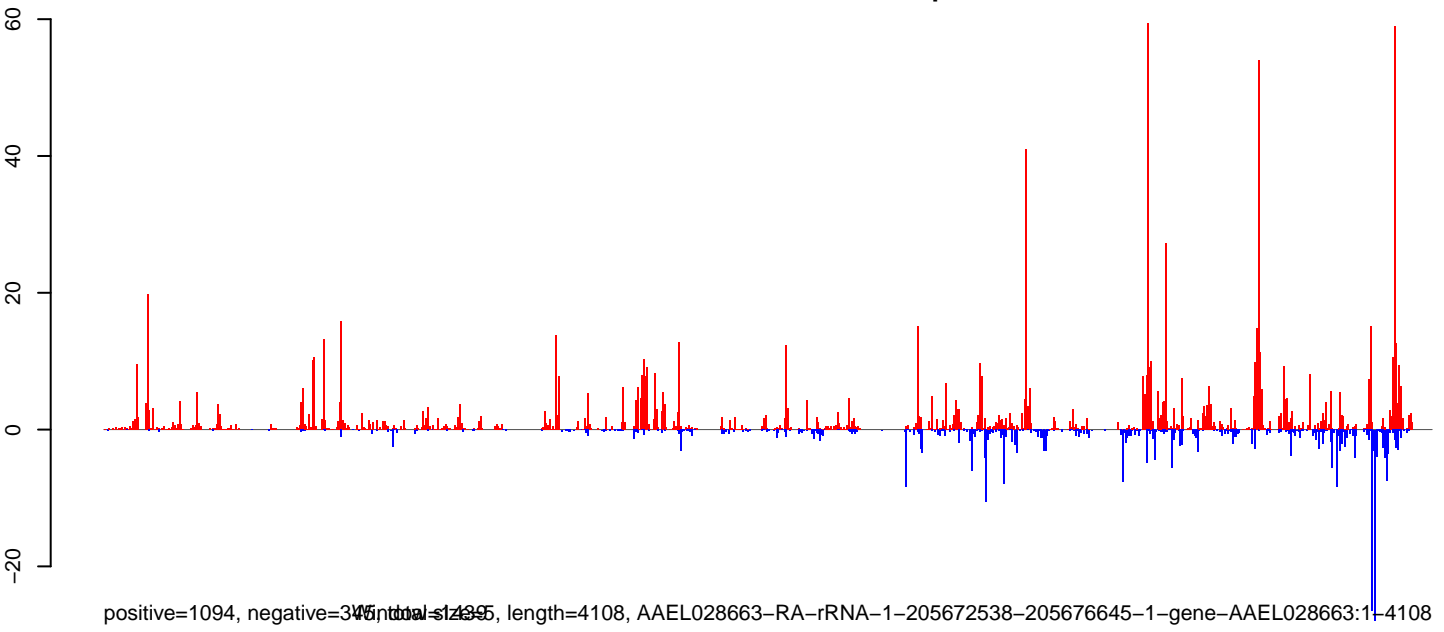
AeAlbo_U4.4_SINV_GFP.18_23.rep



AeAlbo_U4.4_SINV_GFP.24_35.rep

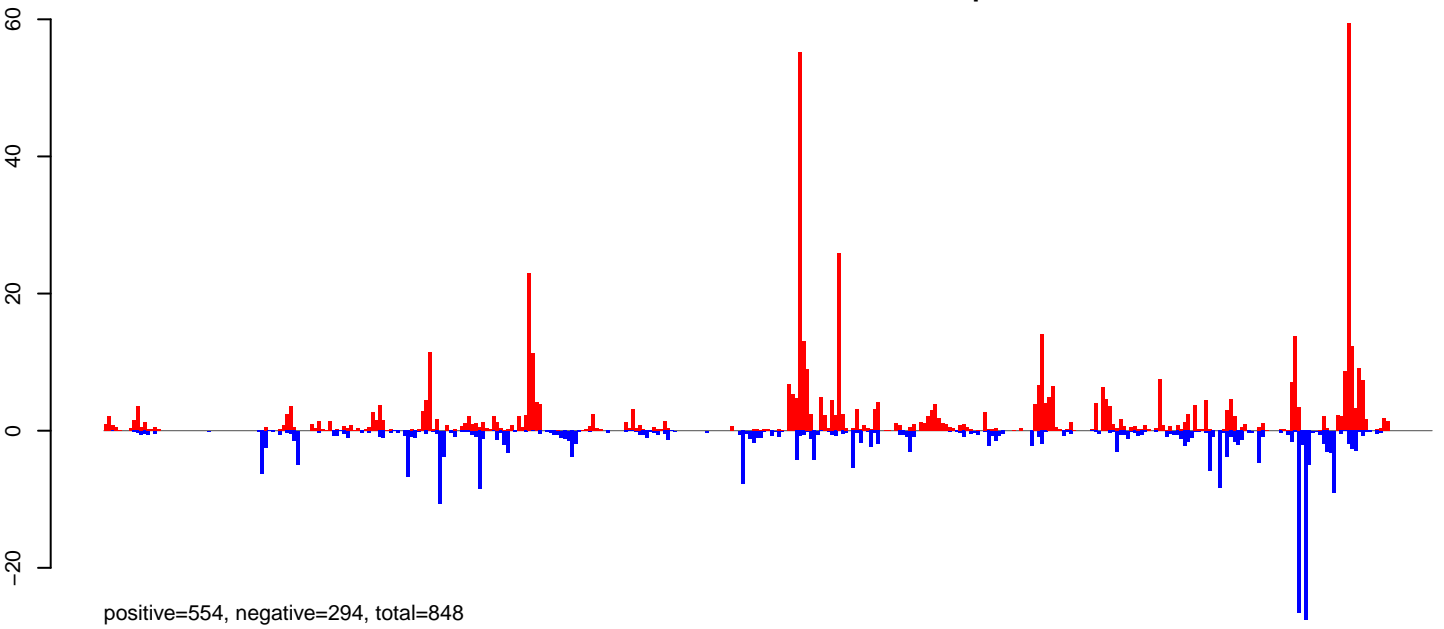


AeAlbo_U4.4_SINV_GFP.rep

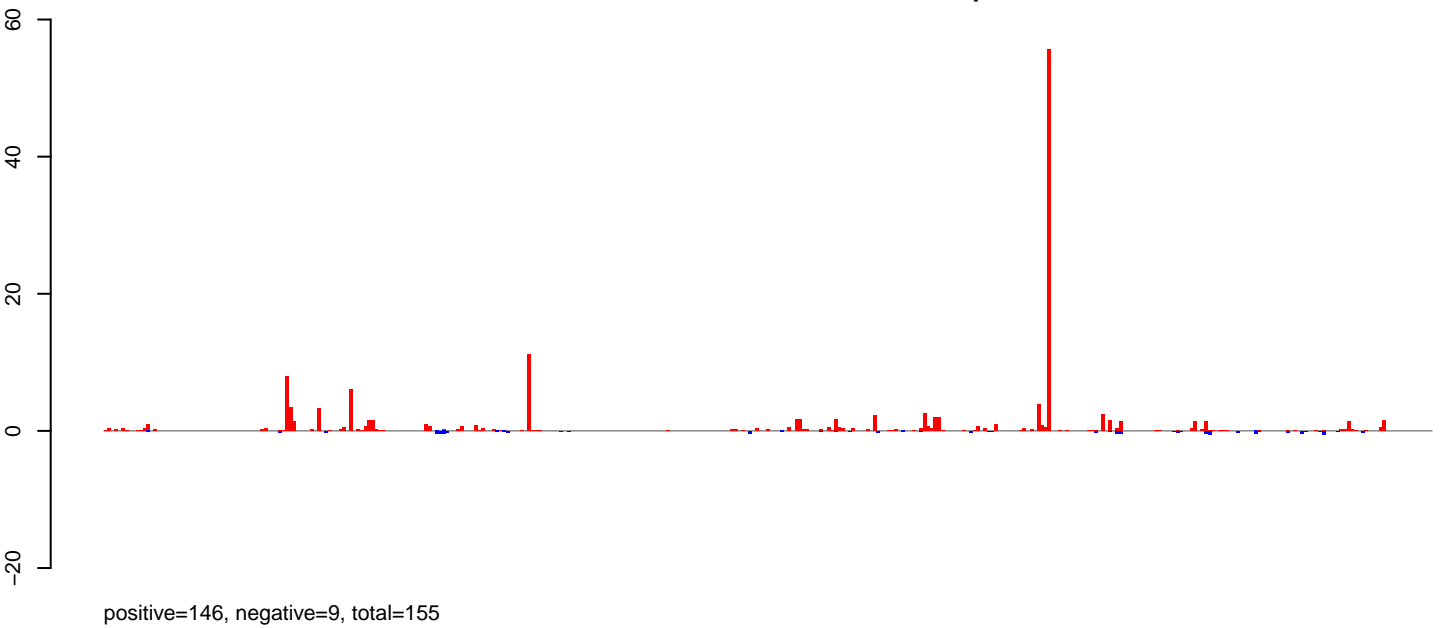


0 1000 2000 3000 4000

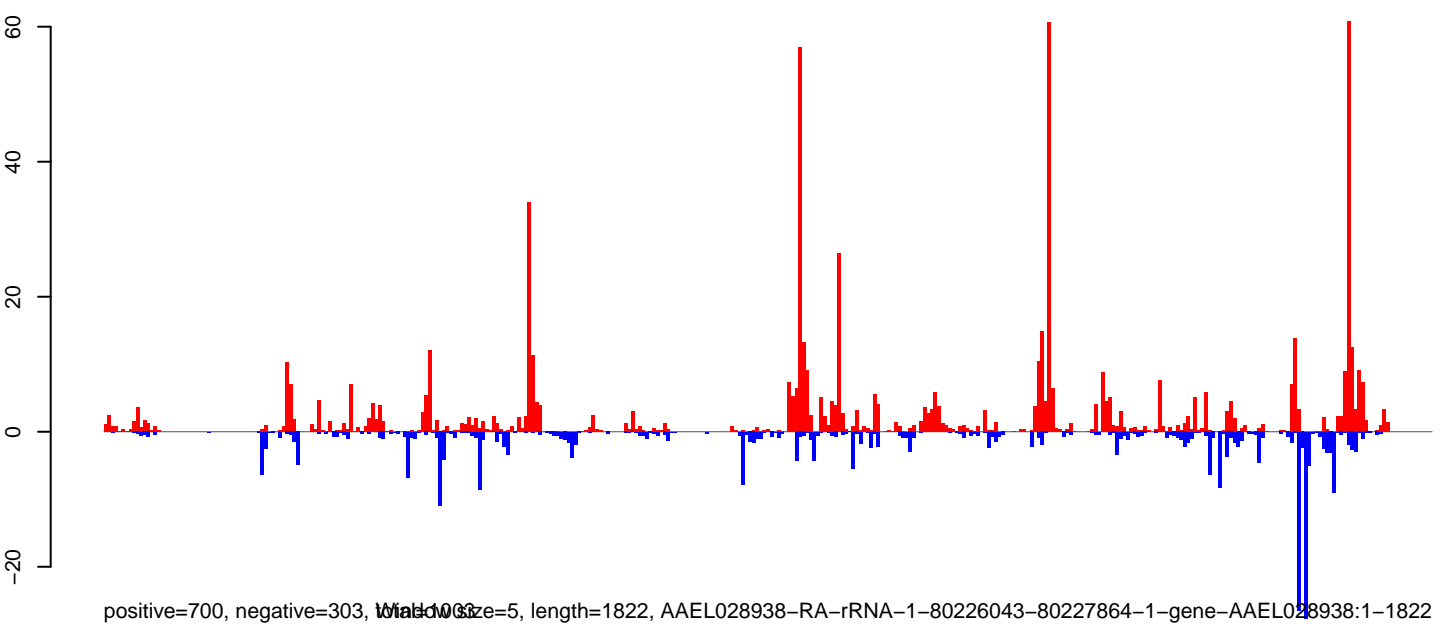
AeAlbo_U4.4_SINV_GFP.18_23.rep



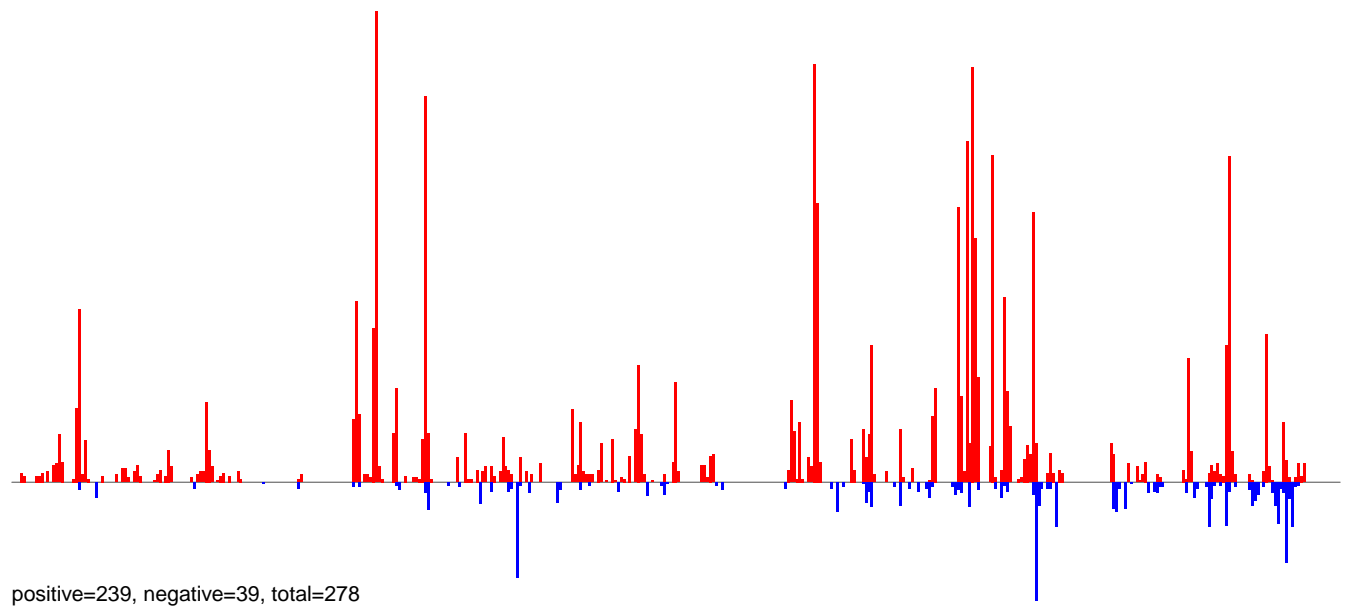
AeAlbo_U4.4_SINV_GFP.24_35.rep



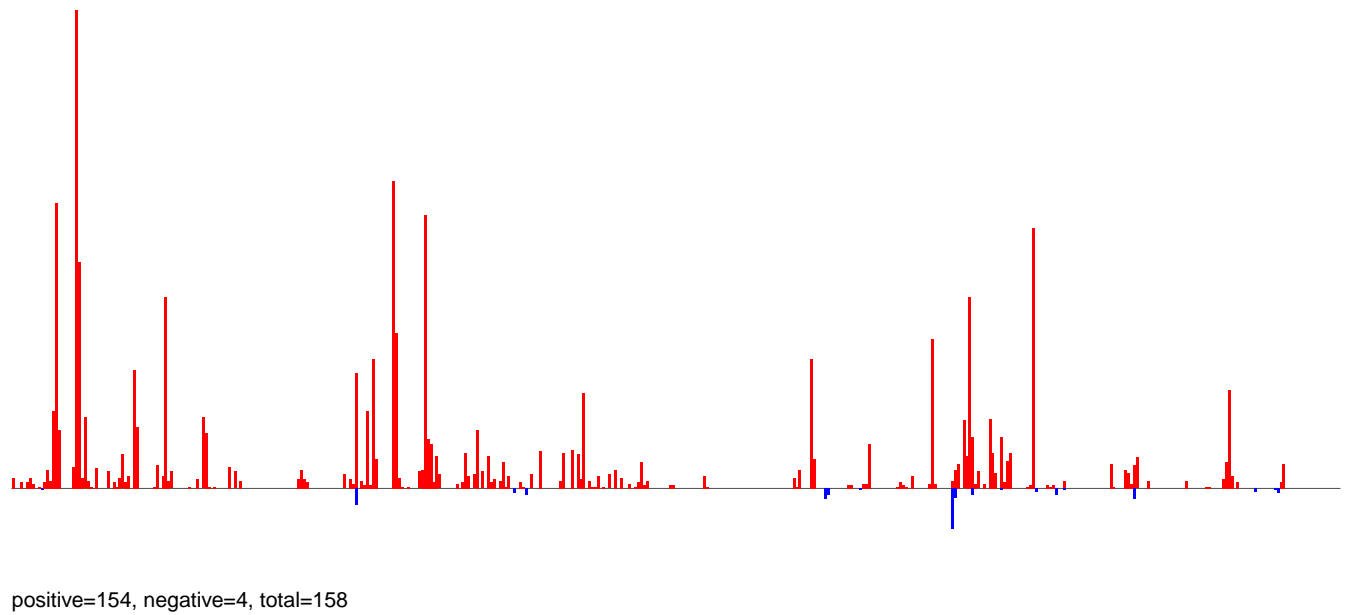
AeAlbo_U4.4_SINV_GFP.rep



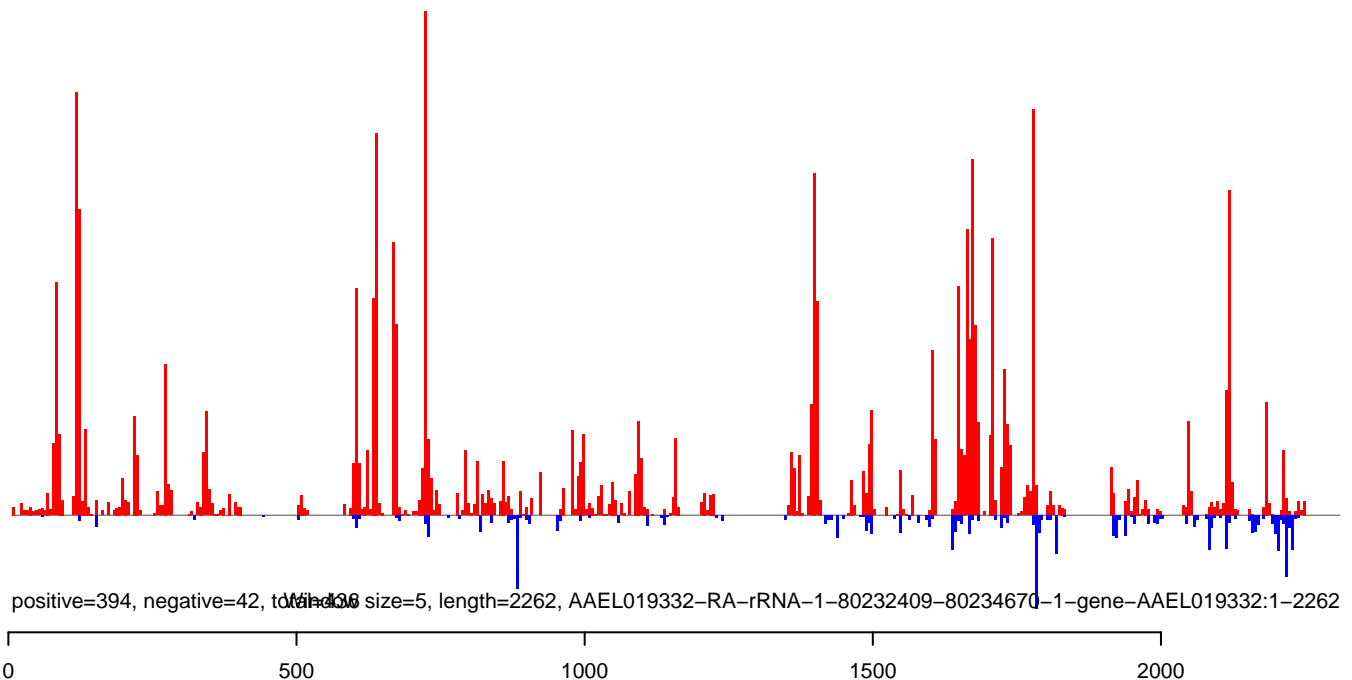
AeAlbo_U4.4_SINV_GFP.18_23.rep



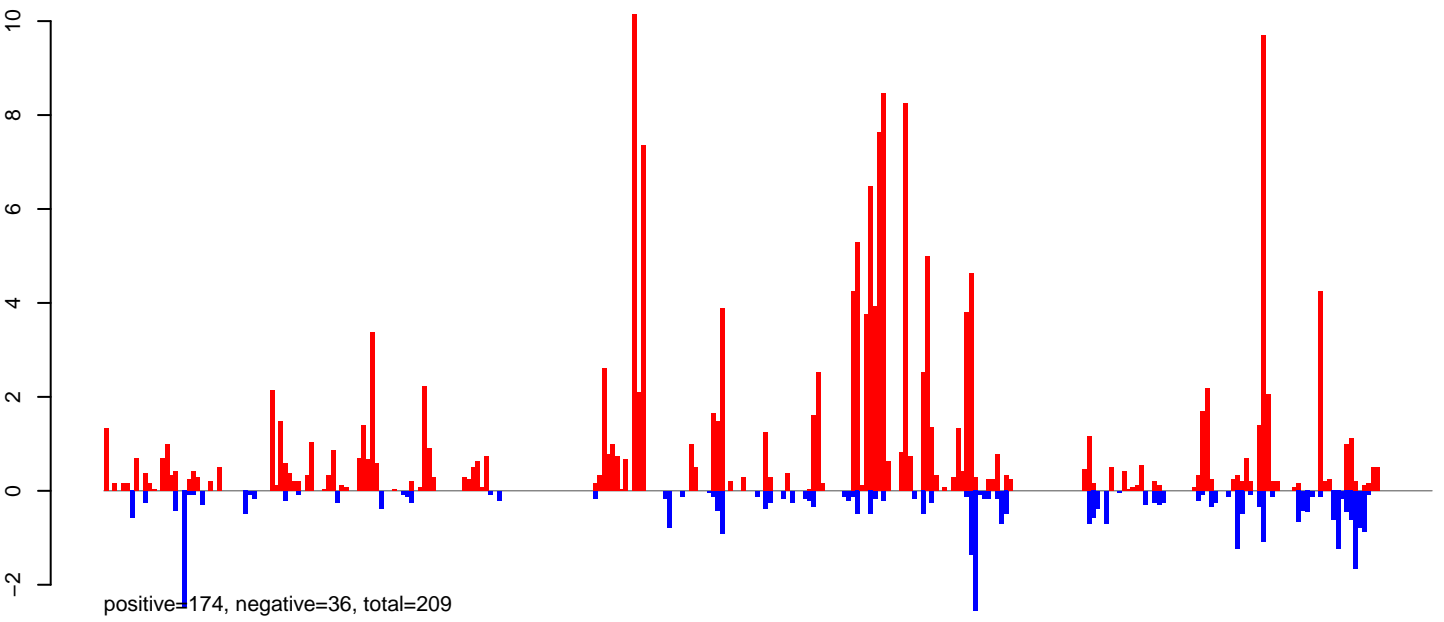
AeAlbo_U4.4_SINV_GFP.24_35.rep



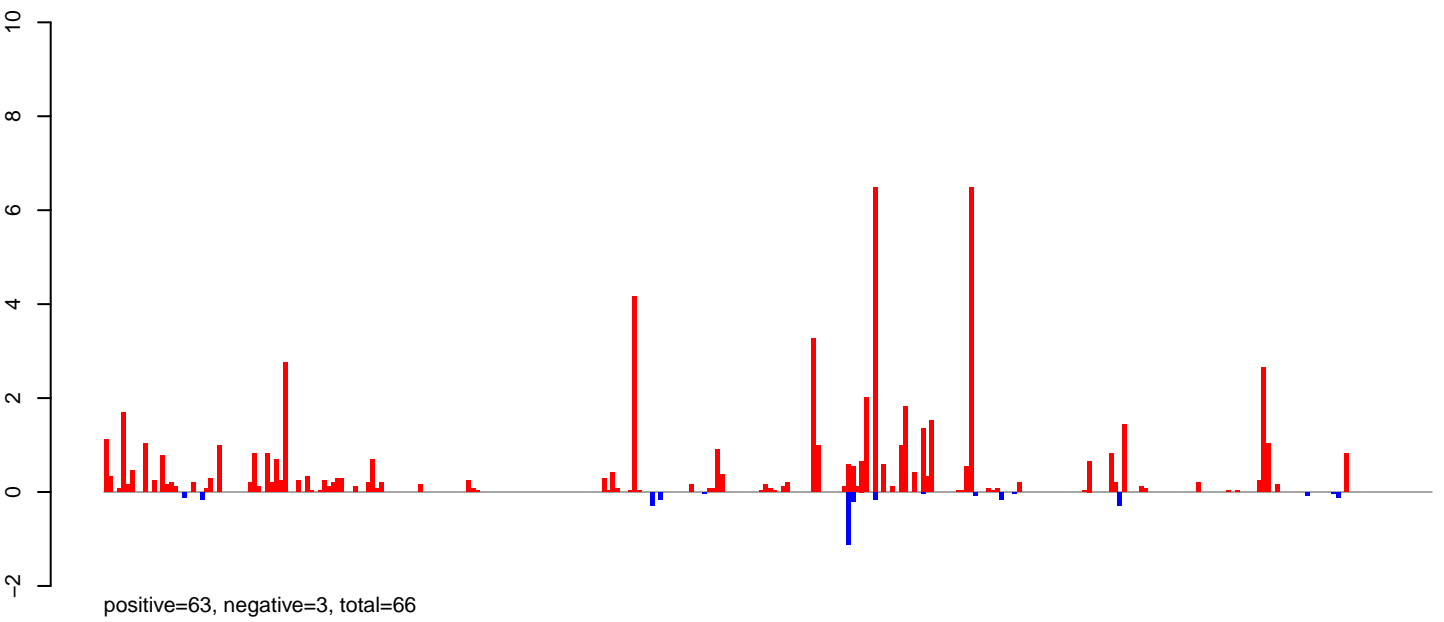
AeAlbo_U4.4_SINV_GFP.rep



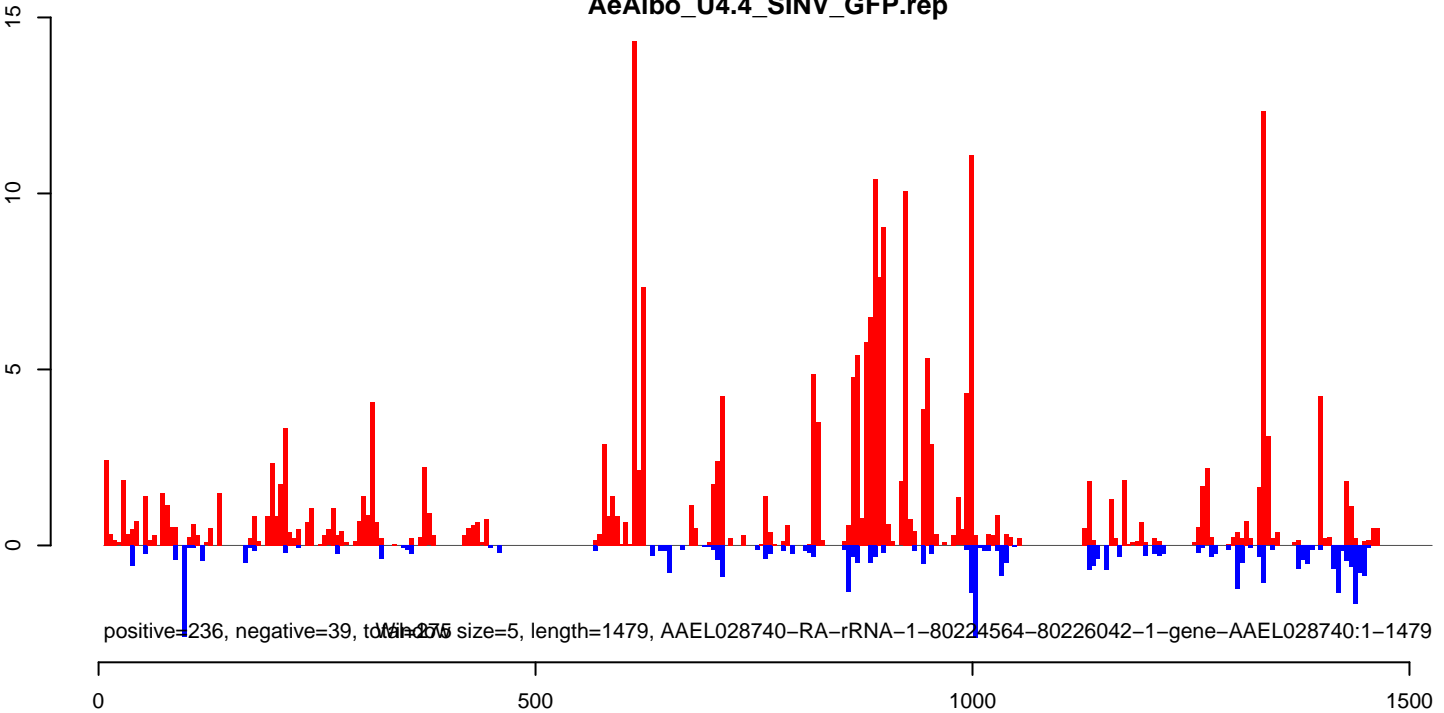
AeAlbo_U4.4_SINV_GFP.18_23.rep



AeAlbo_U4.4_SINV_GFP.24_35.rep



AeAlbo_U4.4_SINV_GFP.rep



AeAlbo_U4.4_SINV_GFP.18_23.rep

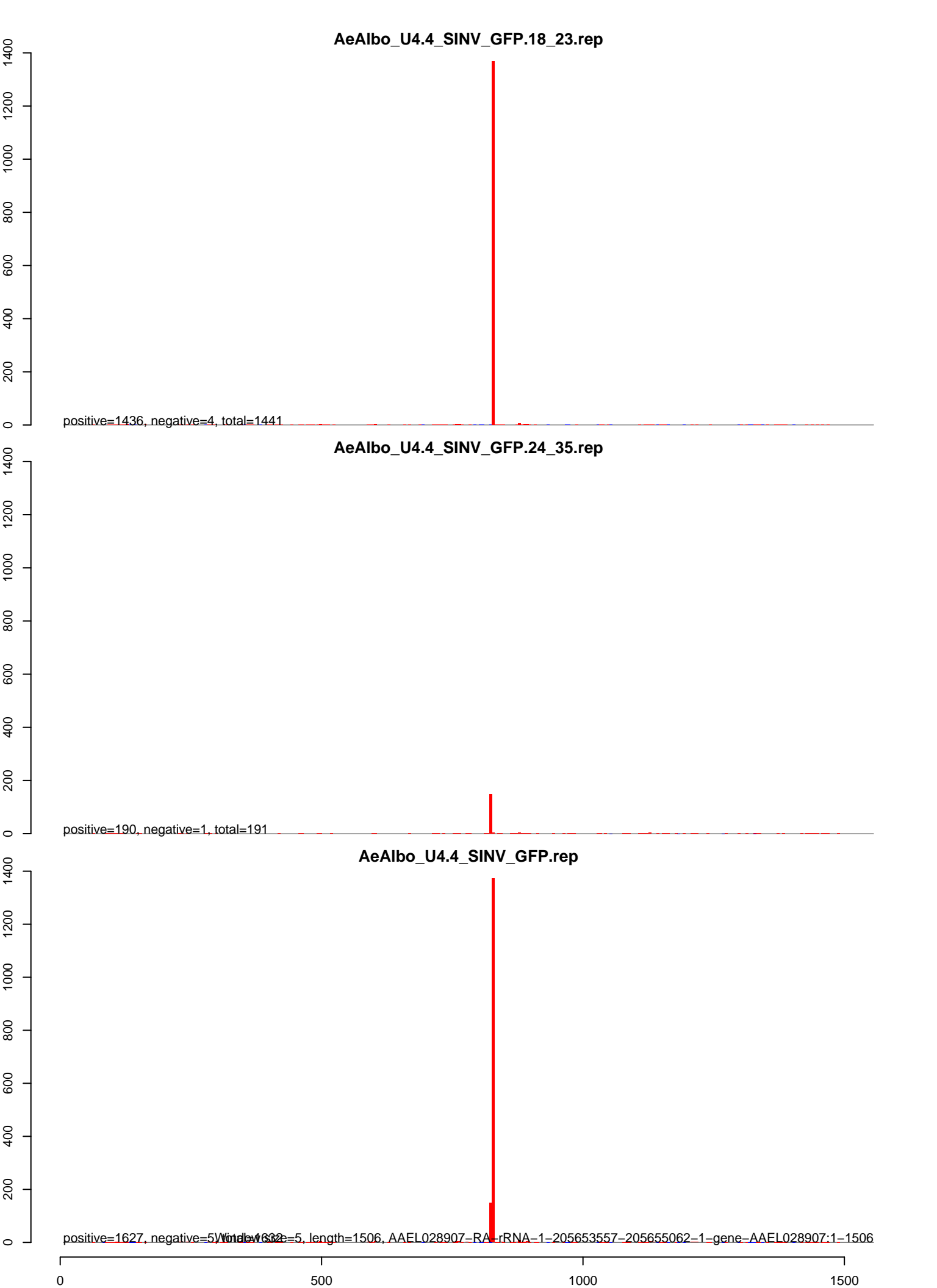
positive=1436, negative=4, total=1441

AeAlbo_U4.4_SINV_GFP.24_35.rep

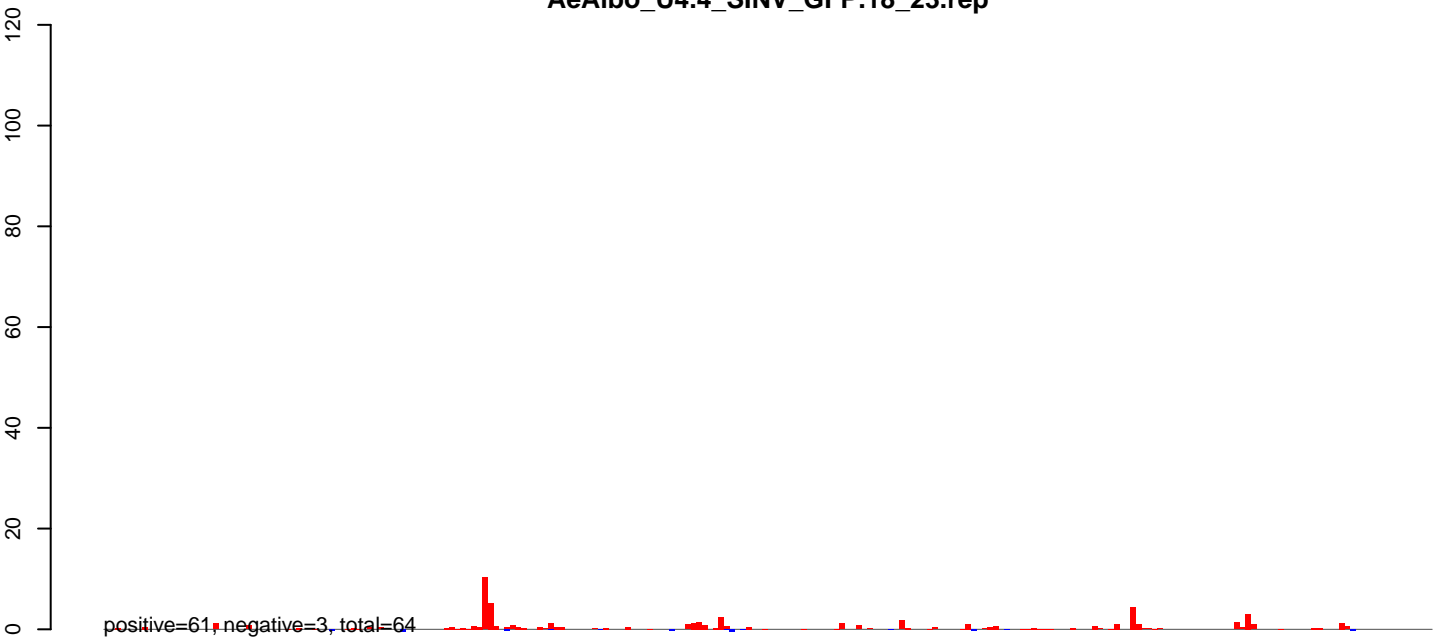
positive=190, negative=1, total=191

AeAlbo_U4.4_SINV_GFP.rep

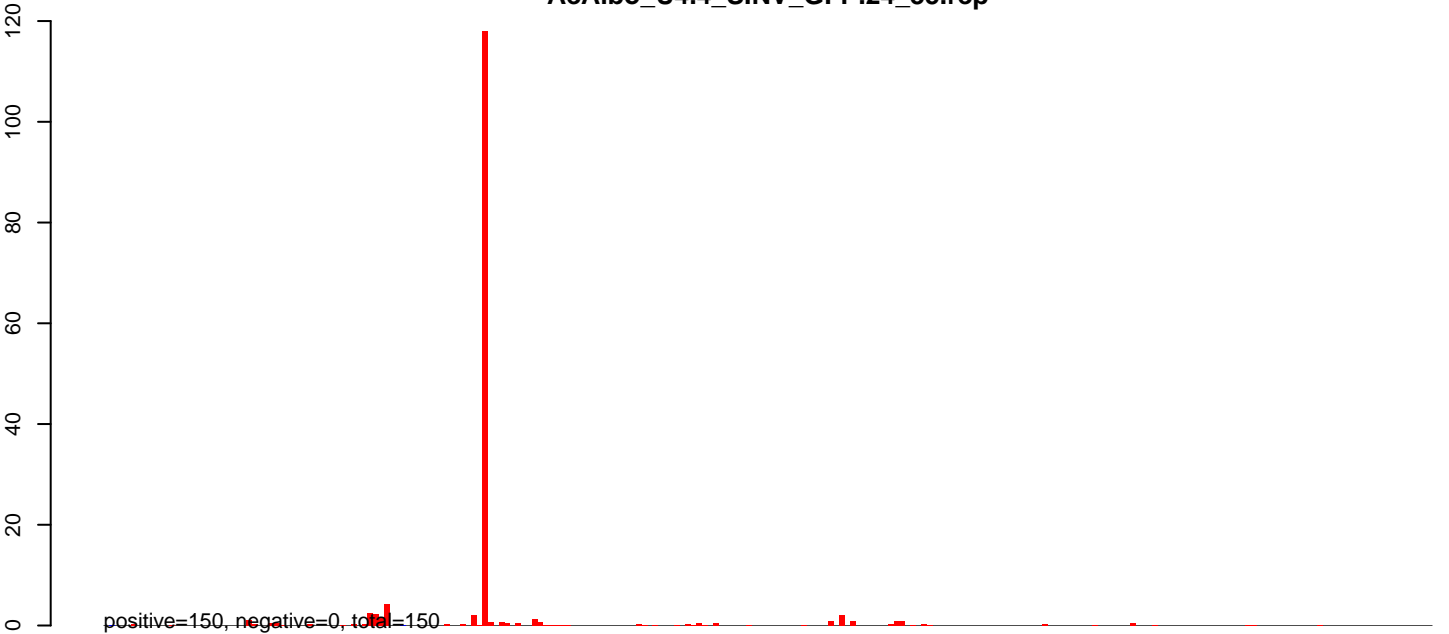
positive=1627, negative=5, window size=5, length=1506, AAEL028907-RA-rRNA-1-205653557-205655062-1-gene-AAEL028907:1-1506



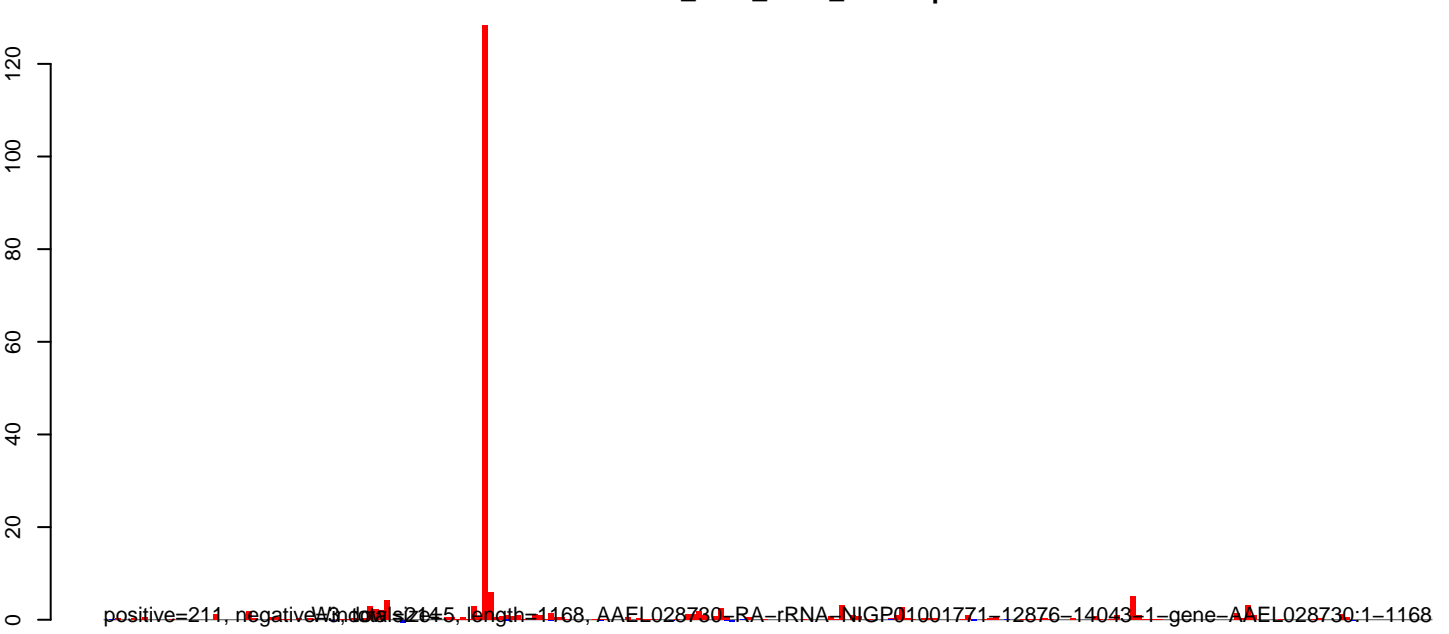
AeAlbo_U4.4_SINV_GFP.18_23.rep



AeAlbo_U4.4_SINV_GFP.24_35.rep

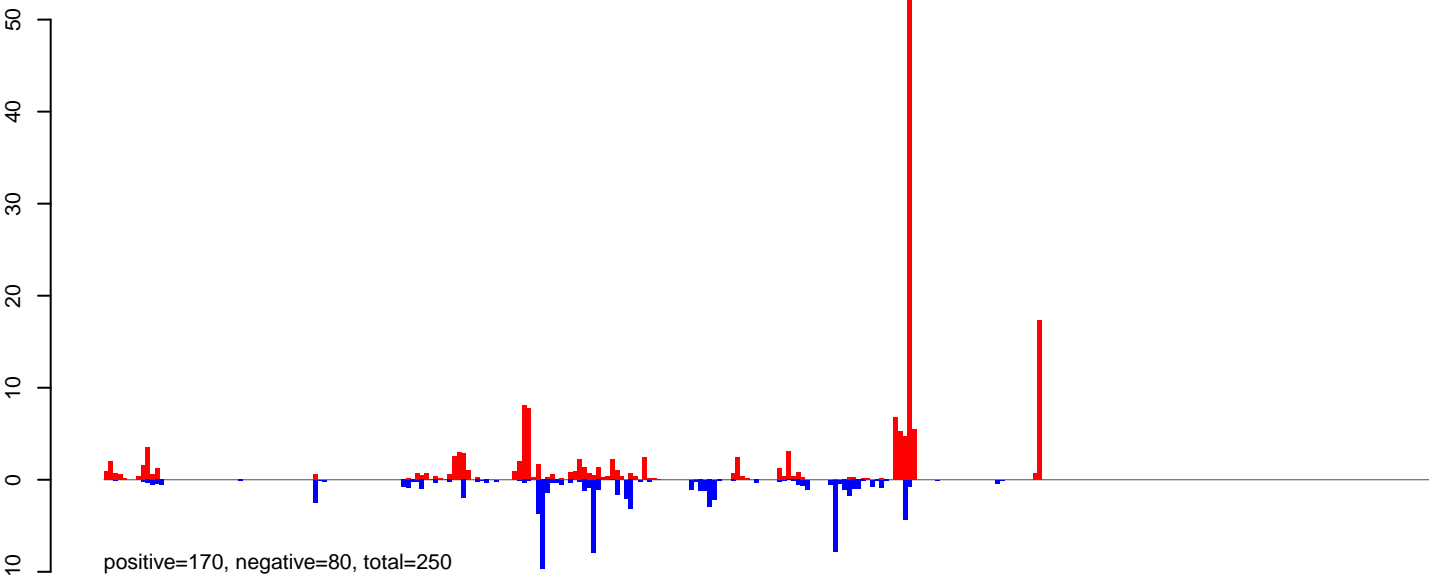


AeAlbo_U4.4_SINV_GFP.rep

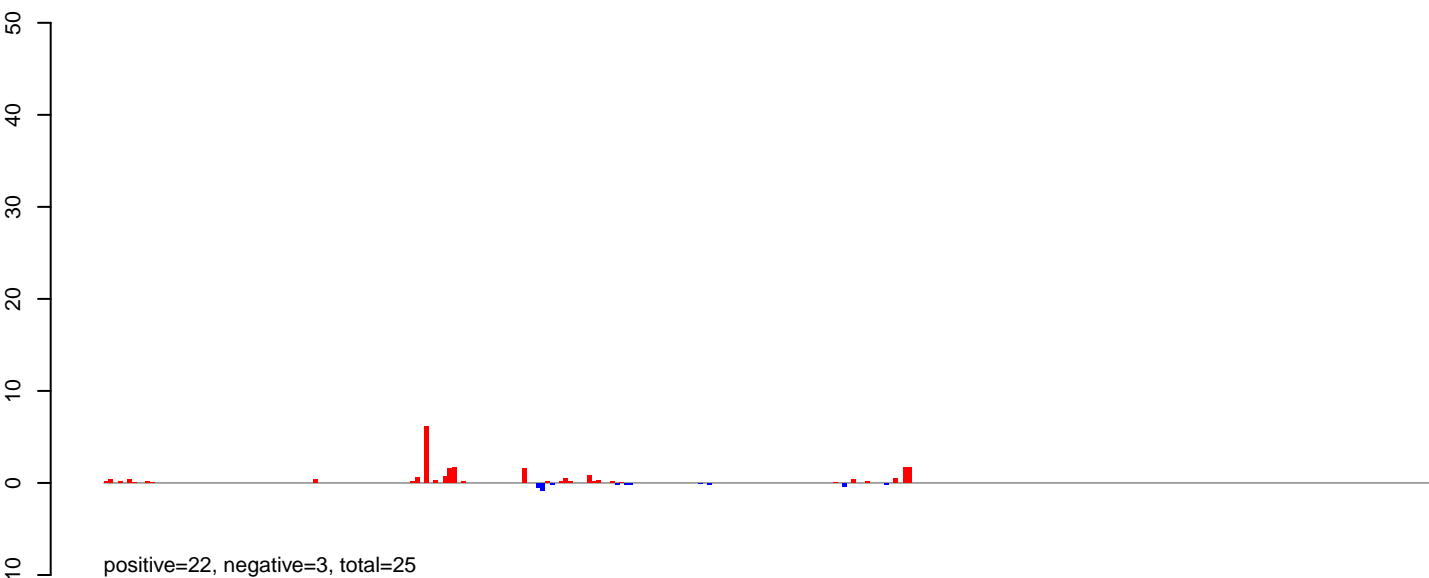


0 200 400 600 800 1000 1200

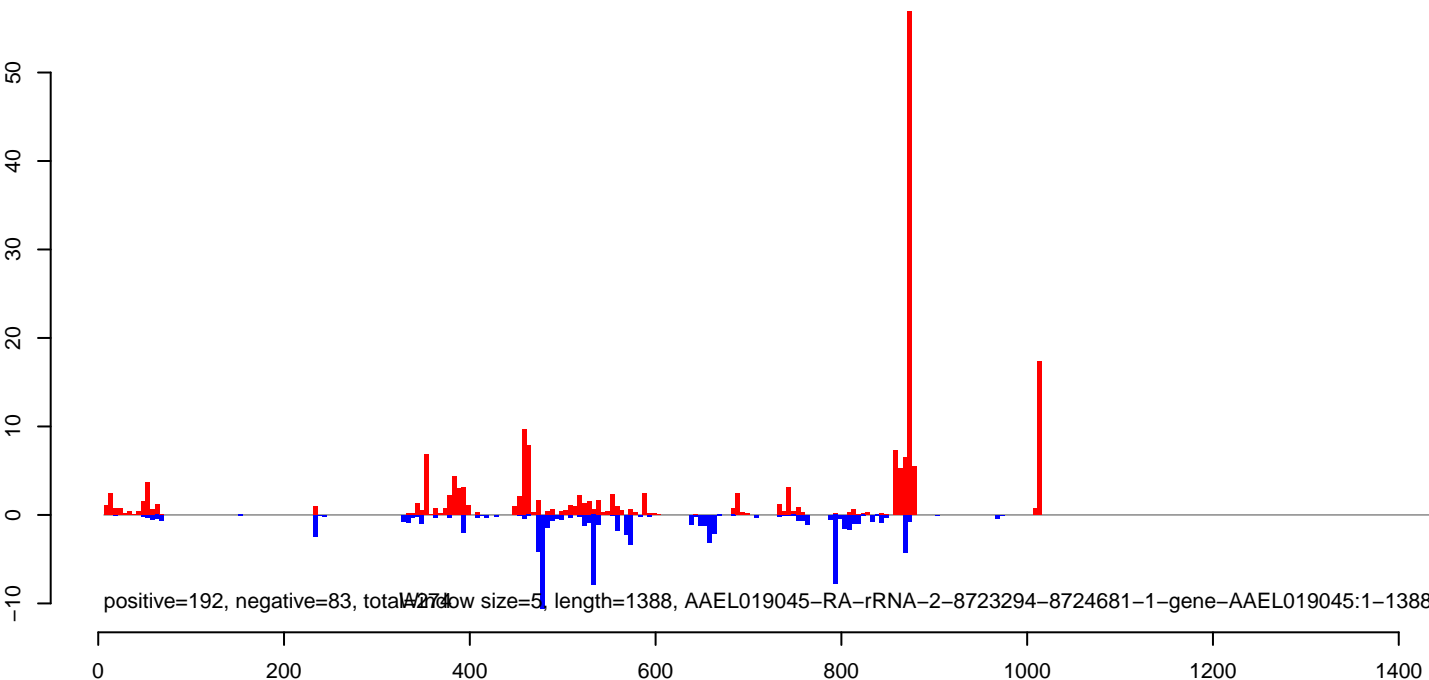
AeAlbo_U4.4_SINV_GFP.18_23.rep



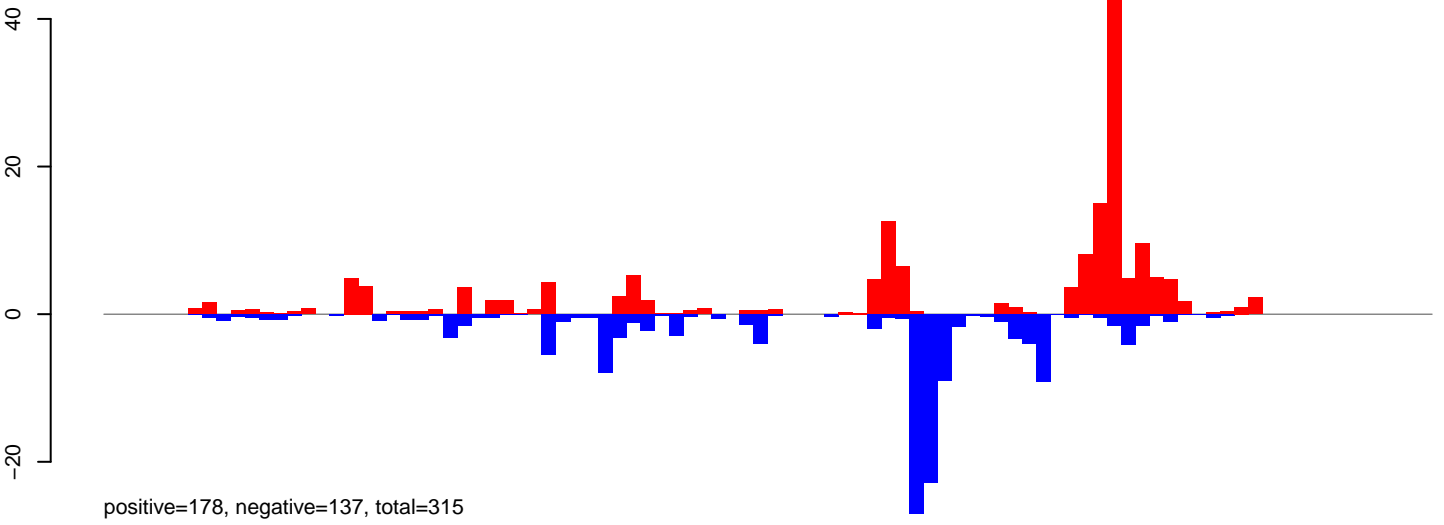
AeAlbo_U4.4_SINV_GFP.24_35.rep



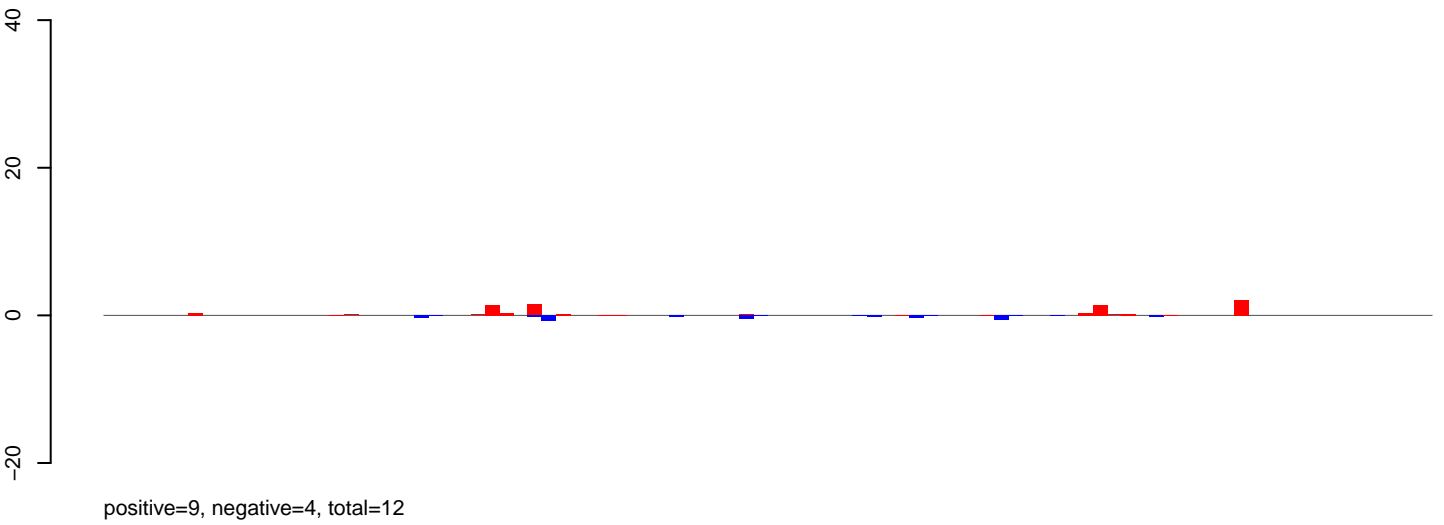
AeAlbo_U4.4_SINV_GFP.rep



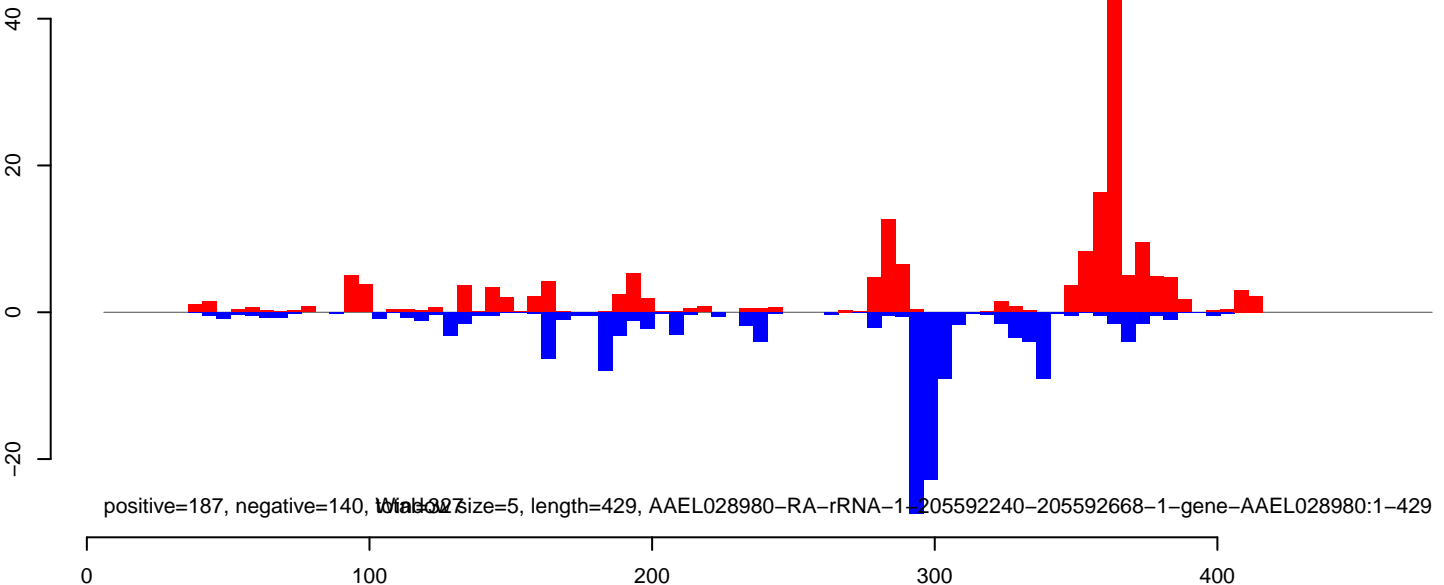
AeAlbo_U4.4_SINV_GFP.18_23.rep



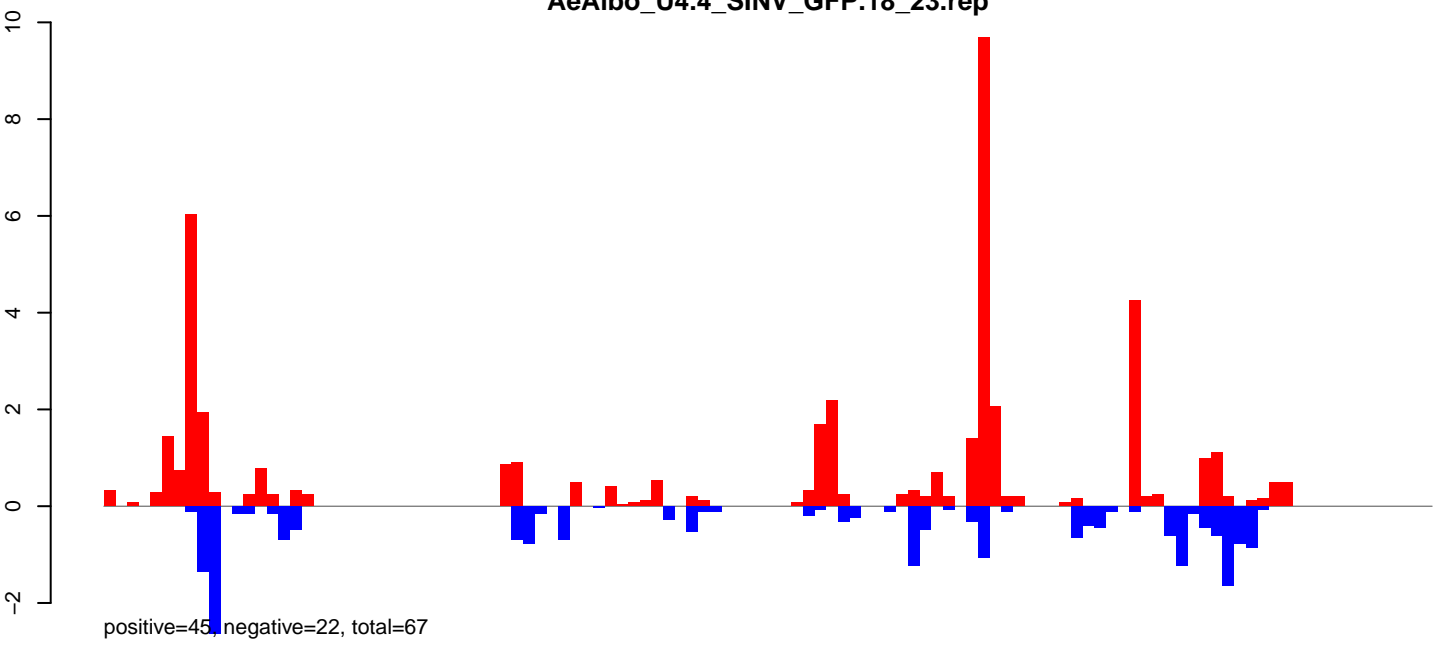
AeAlbo_U4.4_SINV_GFP.24_35.rep



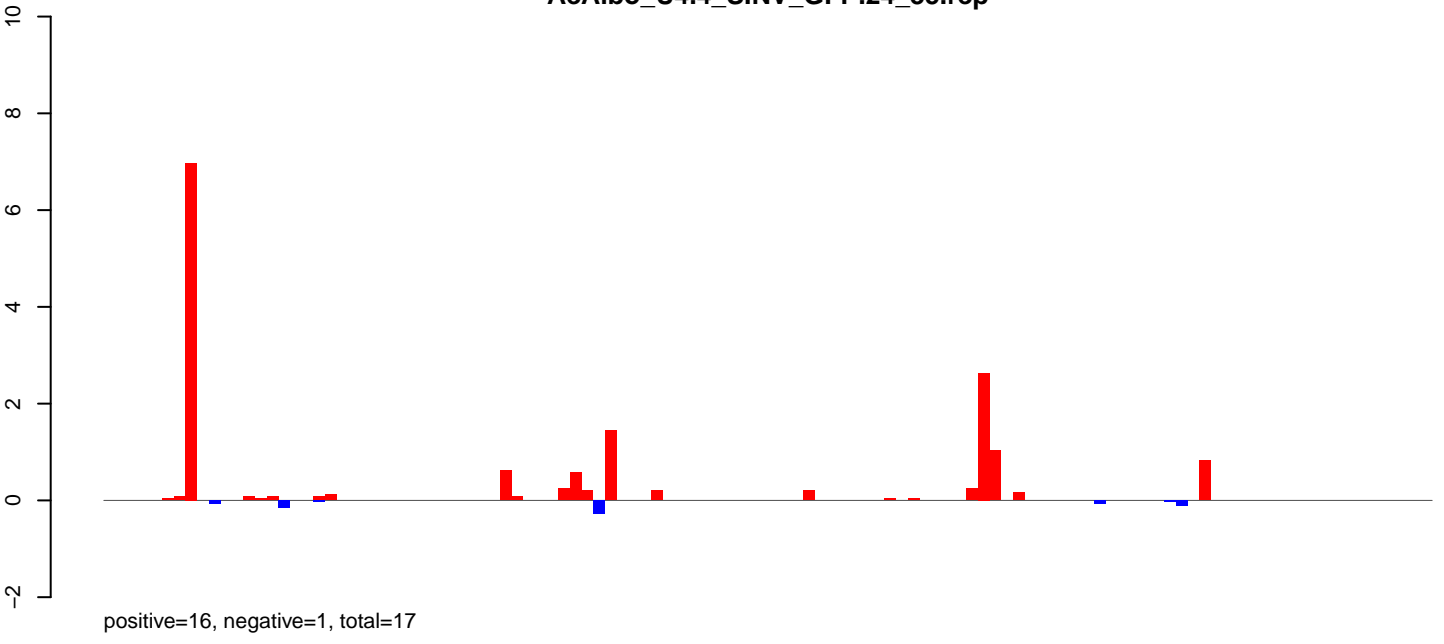
AeAlbo_U4.4_SINV_GFP.rep



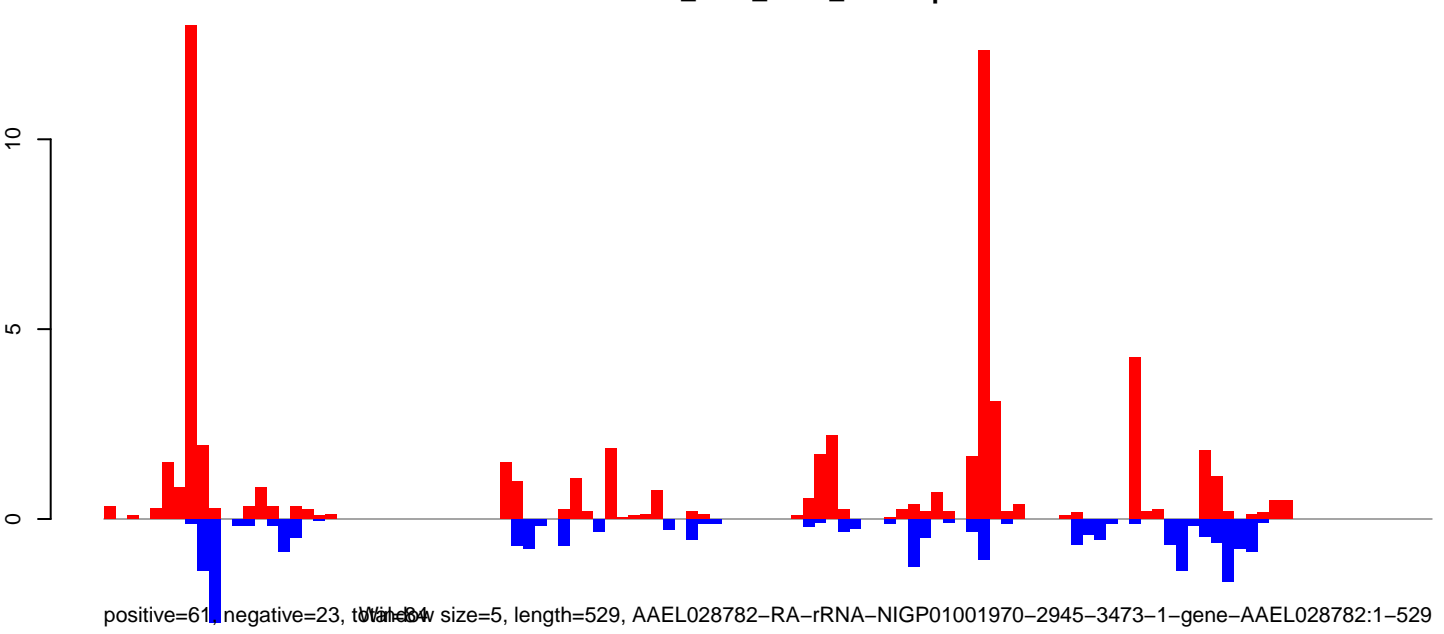
AeAlbo_U4.4_SINV_GFP.18_23.rep



AeAlbo_U4.4_SINV_GFP.24_35.rep

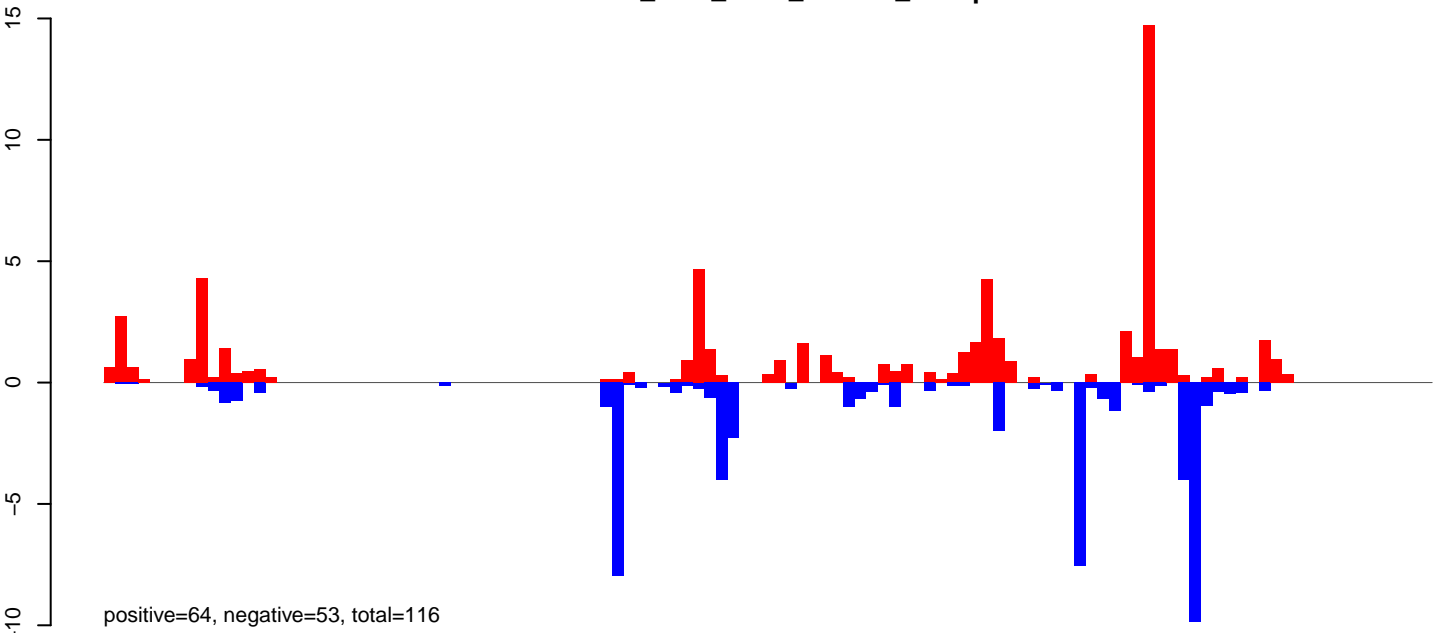


AeAlbo_U4.4_SINV_GFP.rep

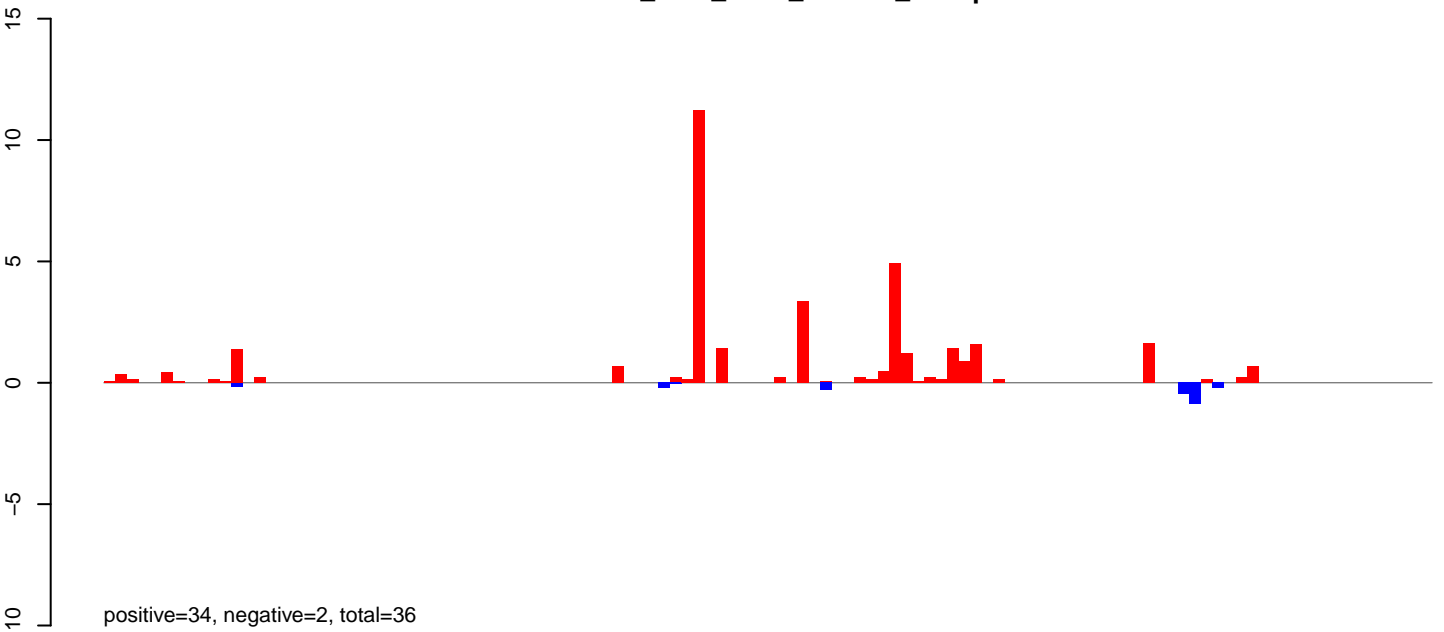


Window size=5, length=529, AAEL028782-RA-rRNA-NIGP01001970-2945-3473-1-gene-AAEL028782:1-529

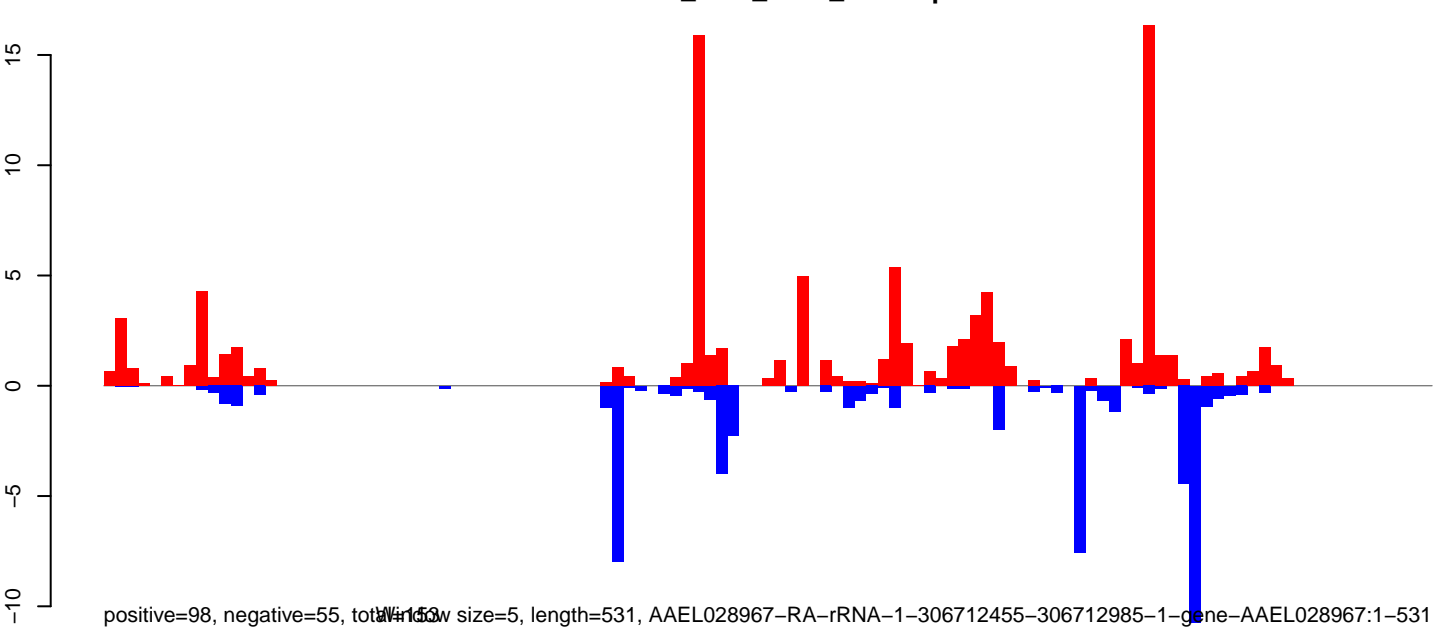
AeAlbo_U4.4_SINV_GFP.18_23.rep



AeAlbo_U4.4_SINV_GFP.24_35.rep

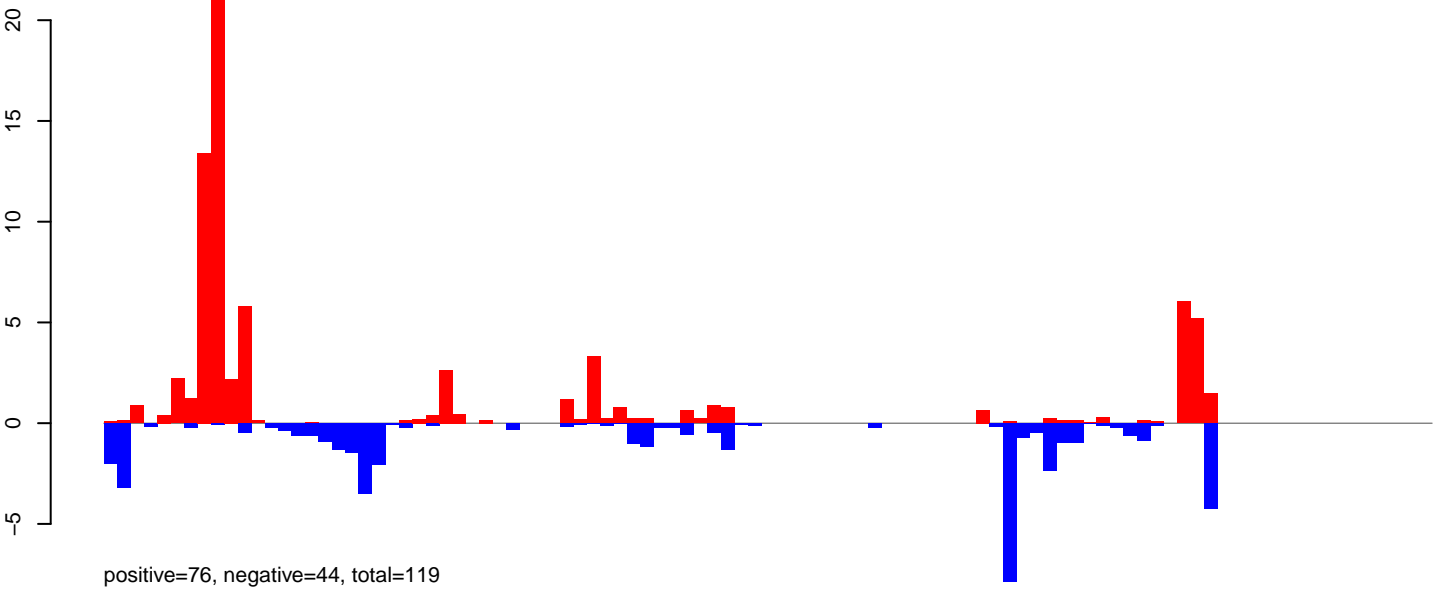


AeAlbo_U4.4_SINV_GFP.rep

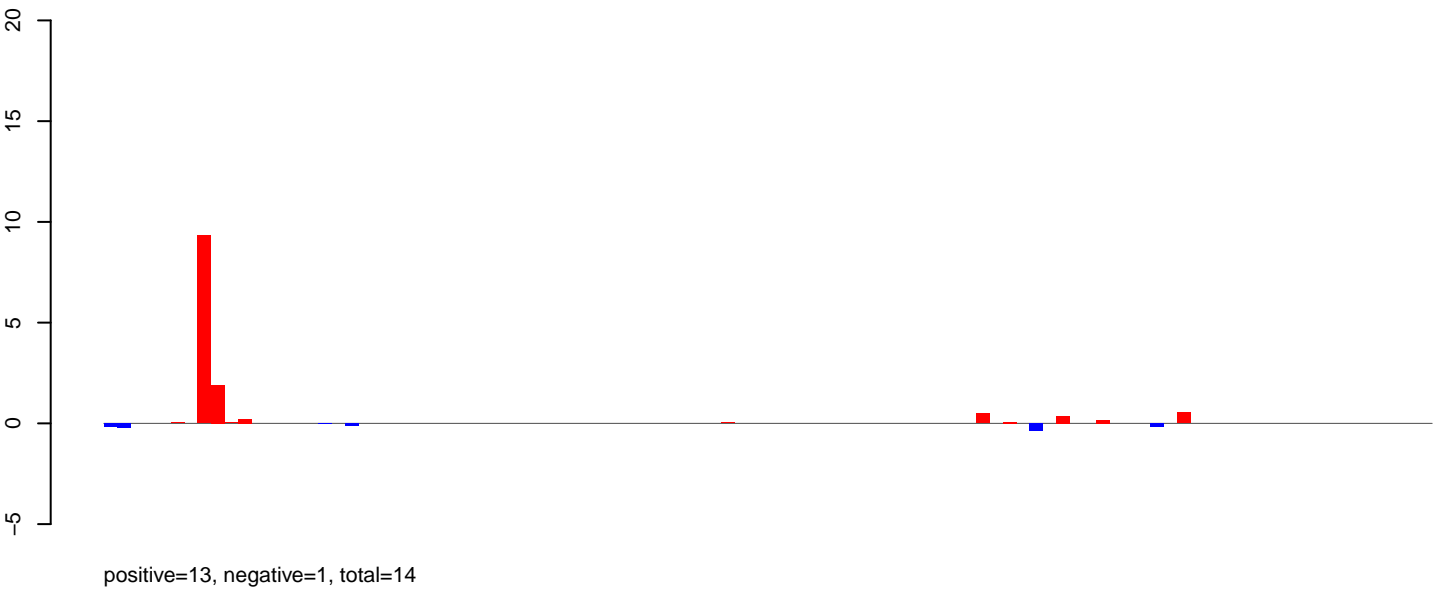


0 100 200 300 400 500 600

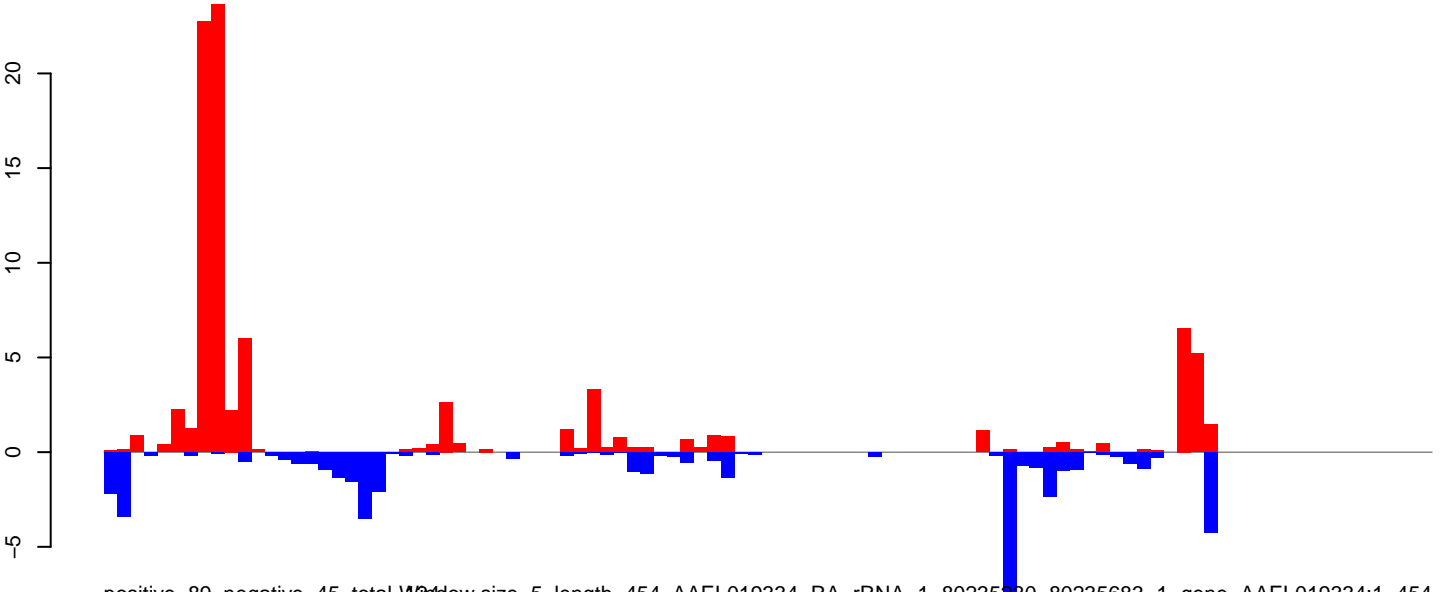
AeAlbo_U4.4_SINV_GFP.18_23.rep



AeAlbo_U4.4_SINV_GFP.24_35.rep

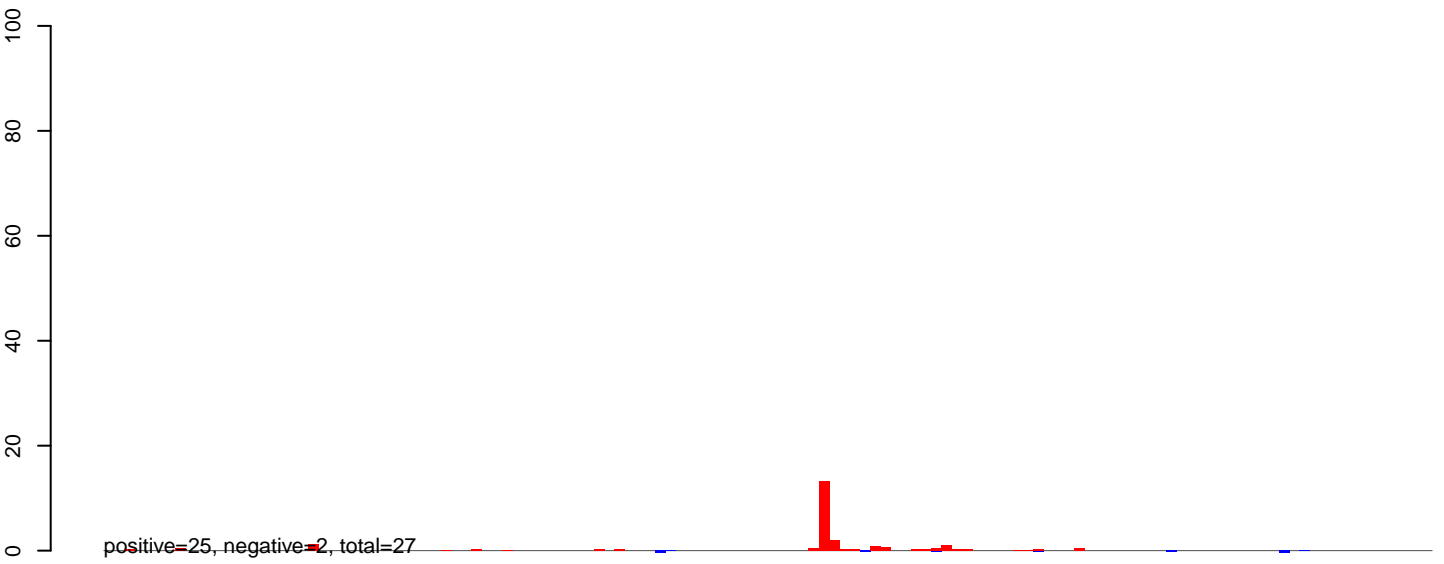


AeAlbo_U4.4_SINV_GFP.rep

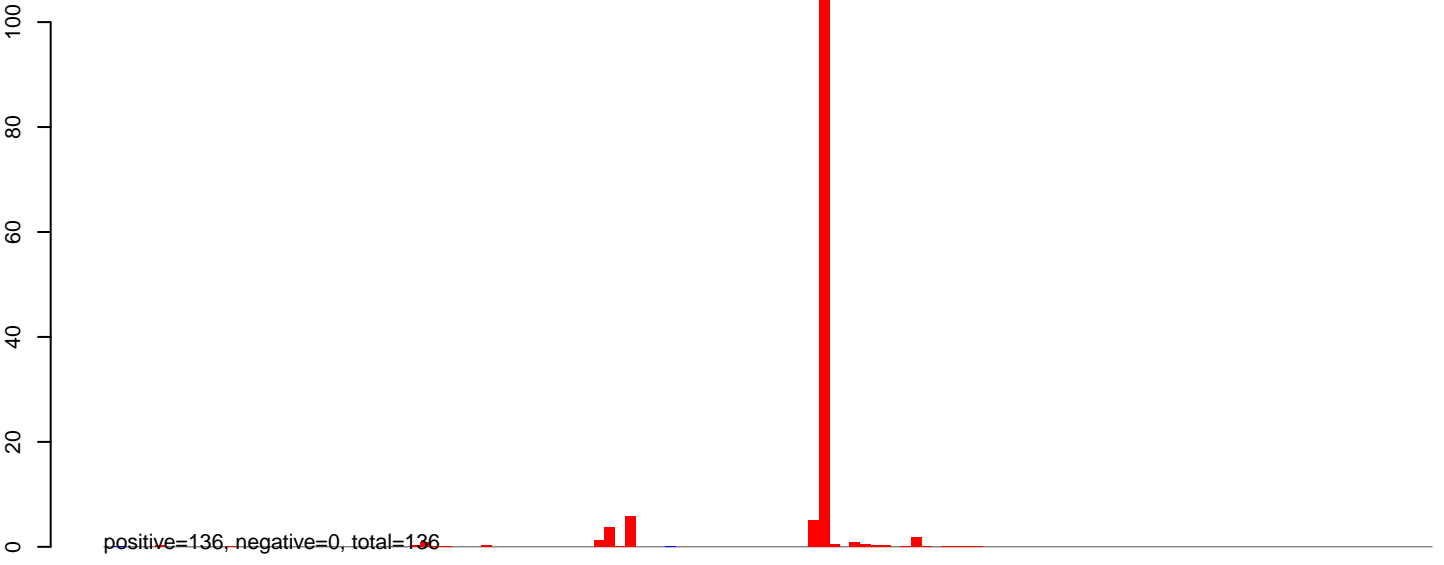


Window size=5, length=454, AAEL019334-RA-rRNA-1-80235230-80235683-1-gene-AAEL019334:1-454

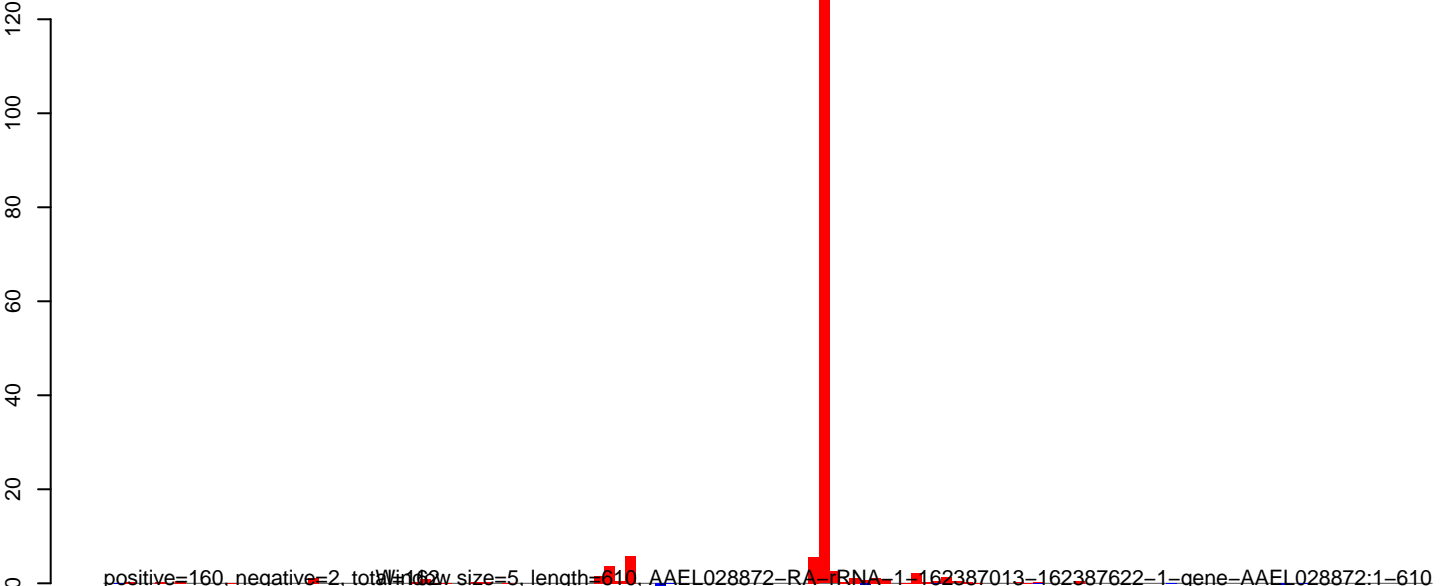
AeAlbo_U4.4_SINV_GFP.18_23.rep



AeAlbo_U4.4_SINV_GFP.24_35.rep

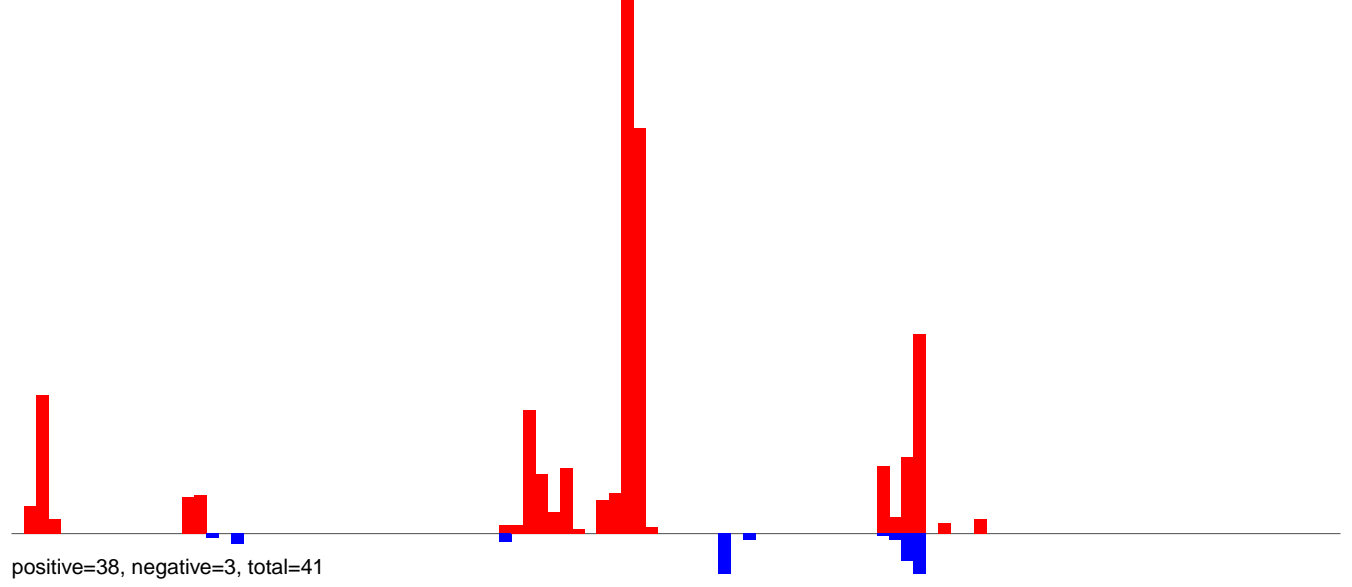


AeAlbo_U4.4_SINV_GFP.rep

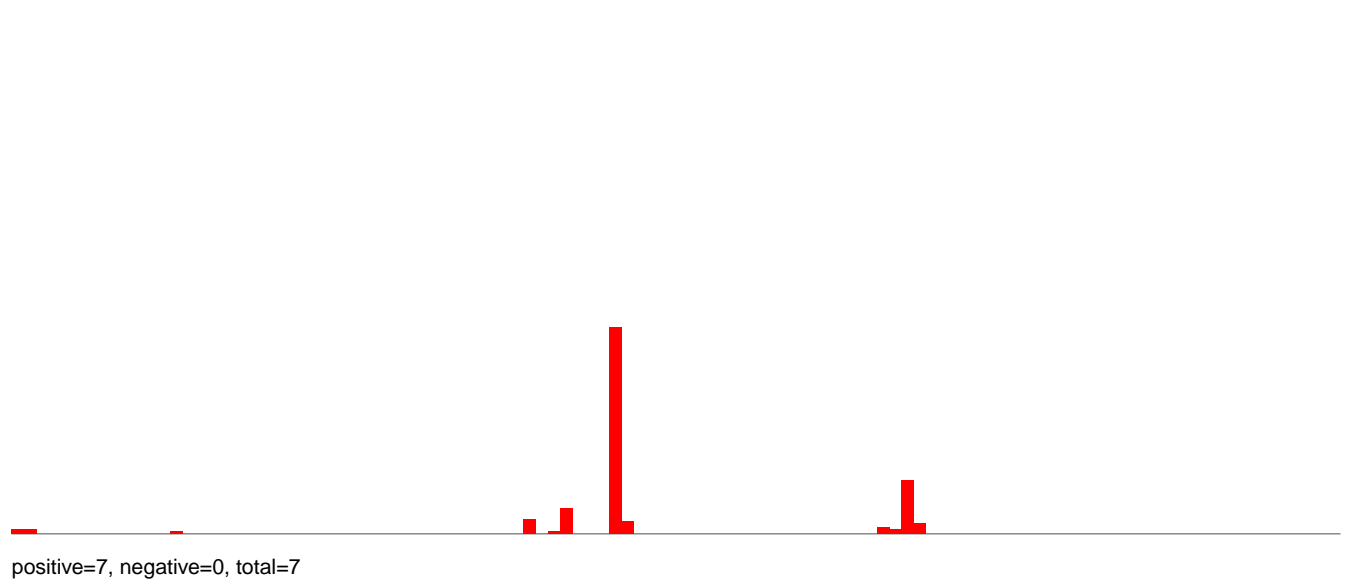


AAEL028872-RA-RNA-1-162387013-162387622-1-gene-AAEL028872:1-610

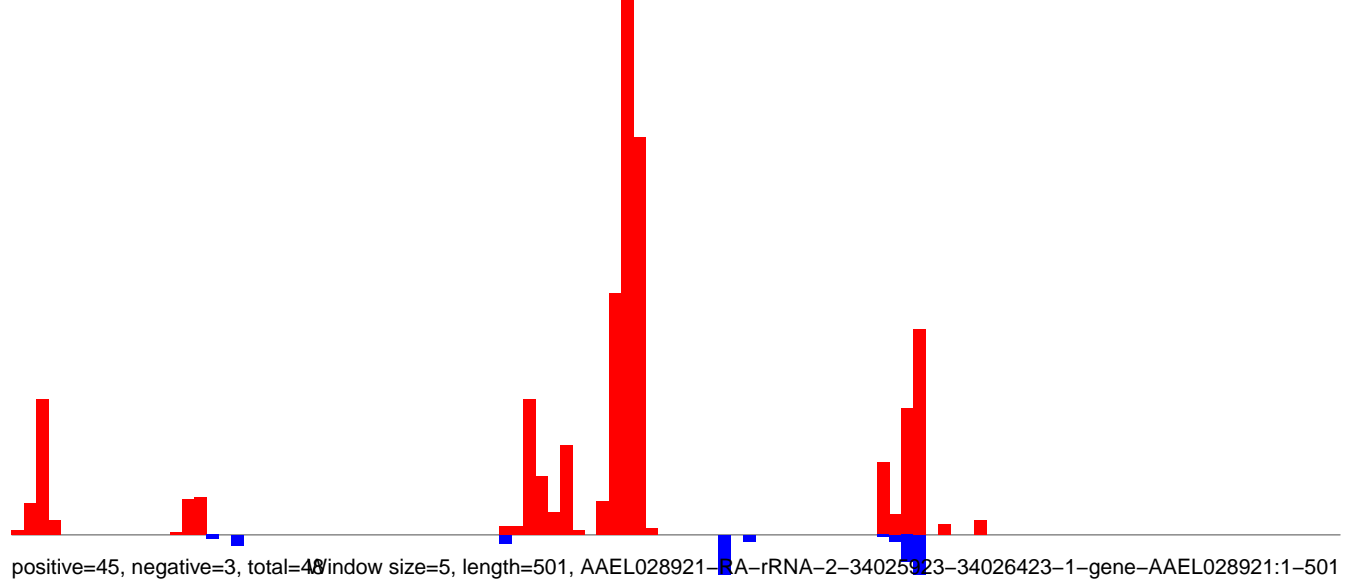
AeAlbo_U4.4_SINV_GFP.18_23.rep



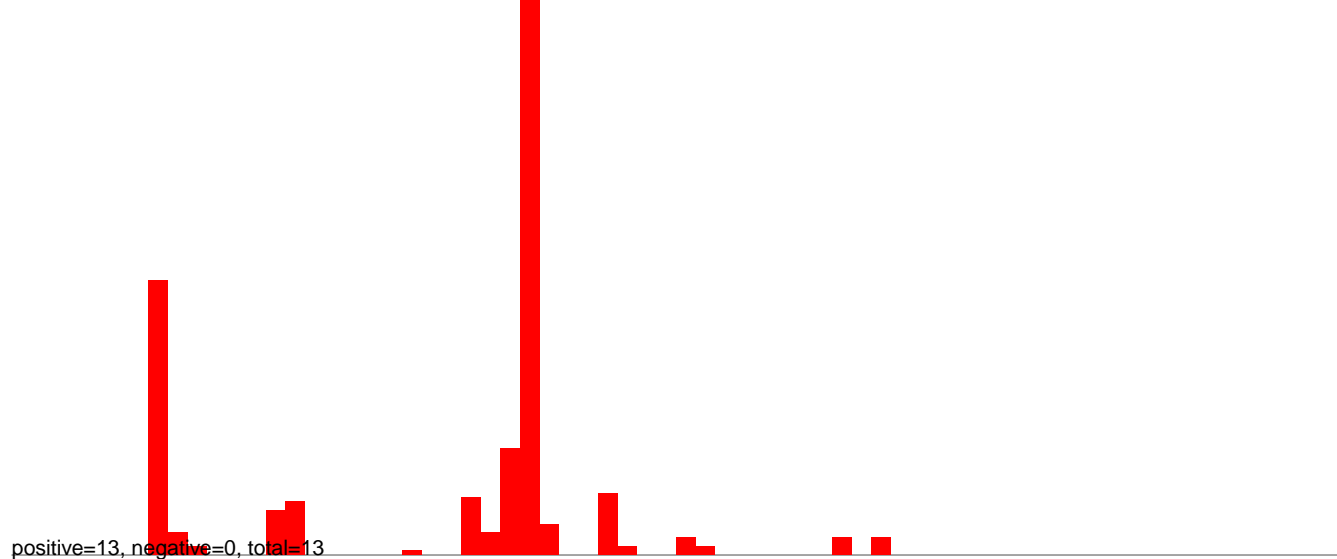
AeAlbo_U4.4_SINV_GFP.24_35.rep



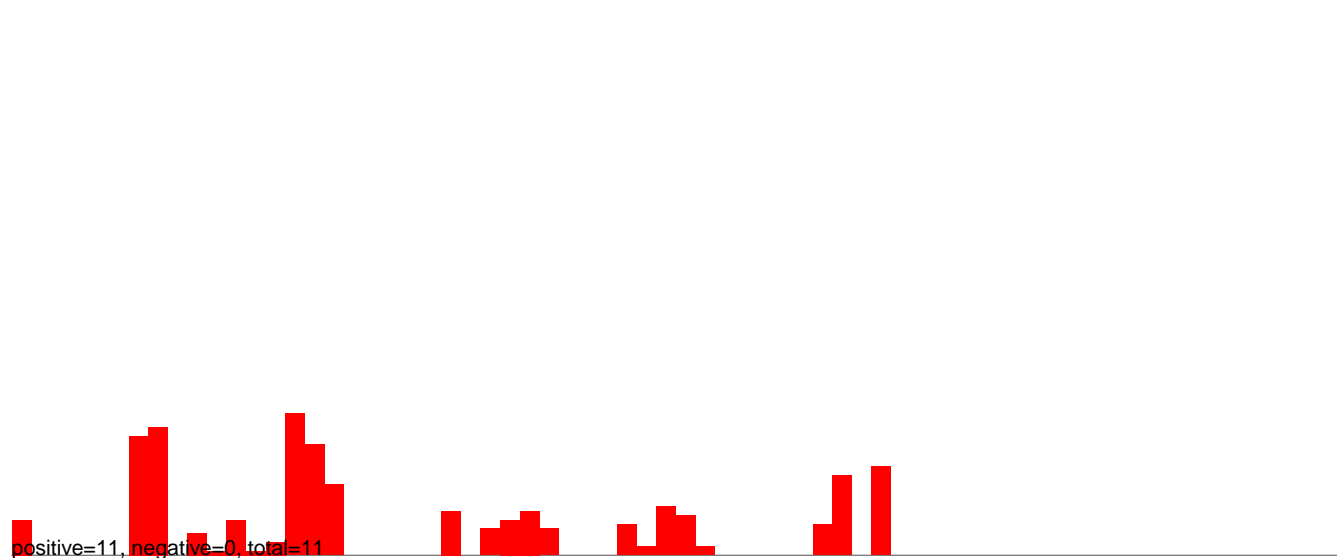
AeAlbo_U4.4_SINV_GFP.rep



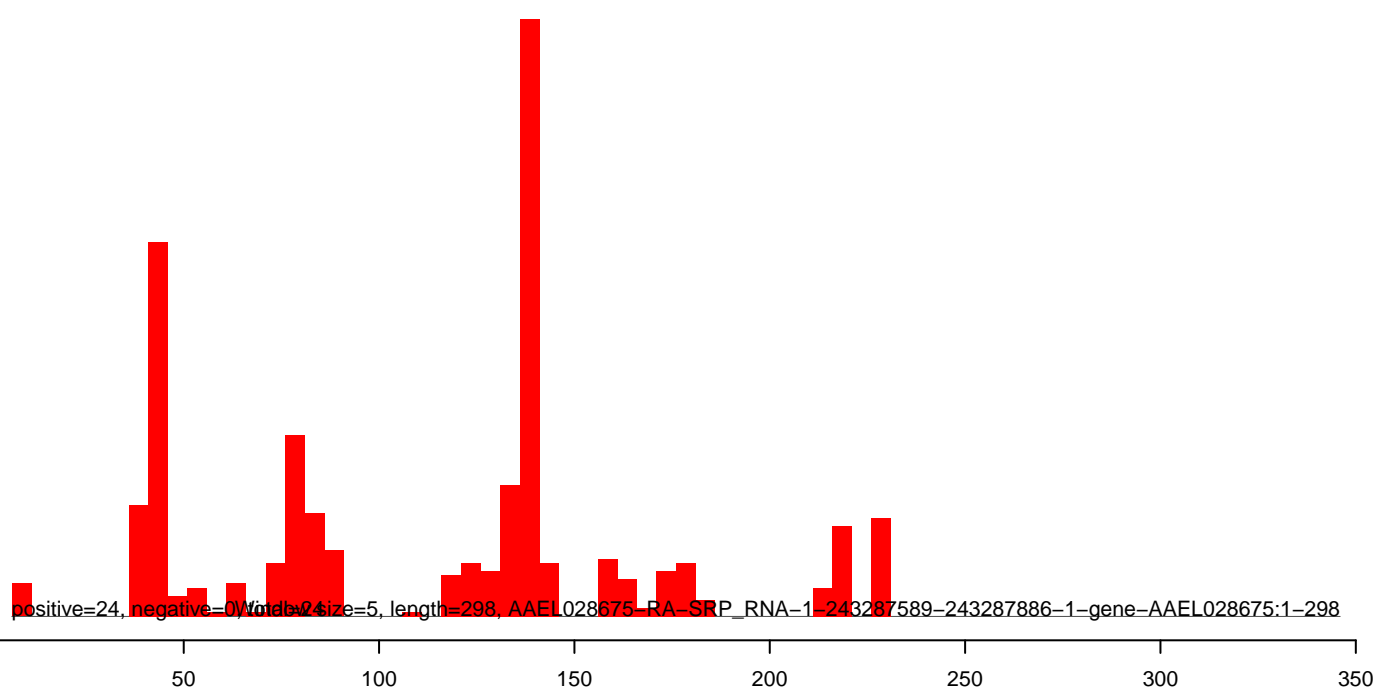
AeAlbo_U4.4_SINV_GFP.18_23.rep



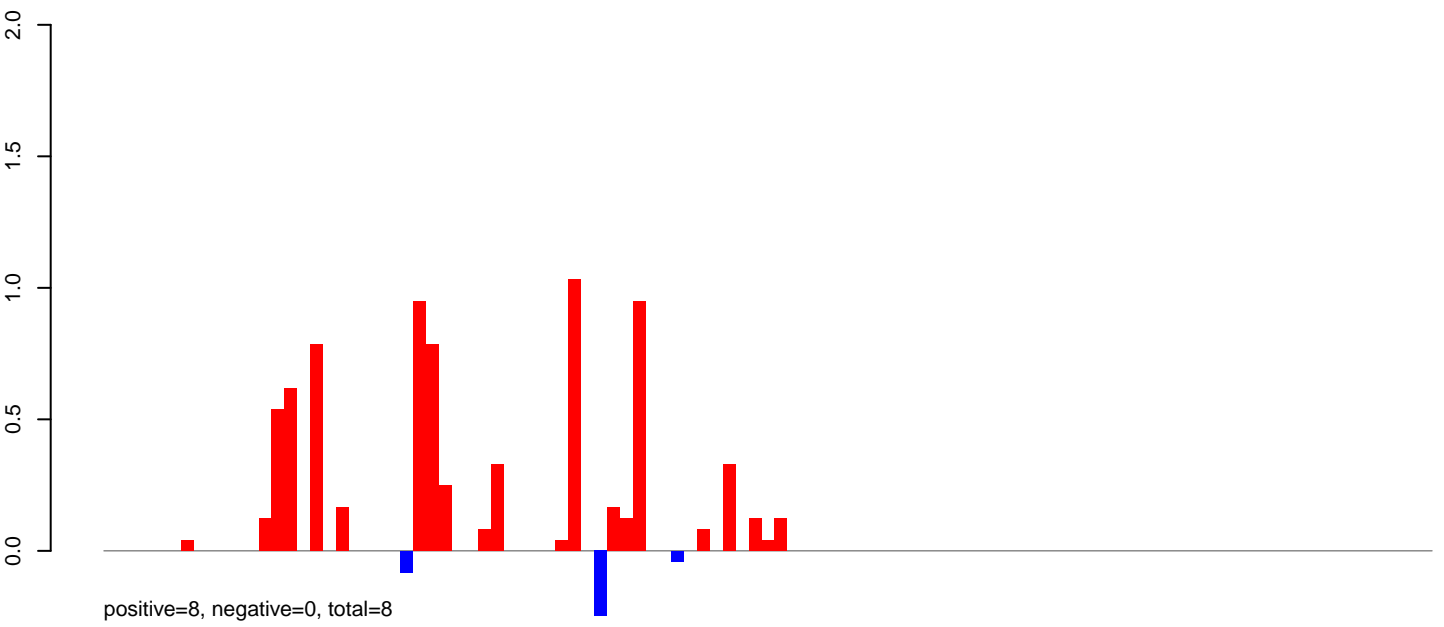
AeAlbo_U4.4_SINV_GFP.24_35.rep



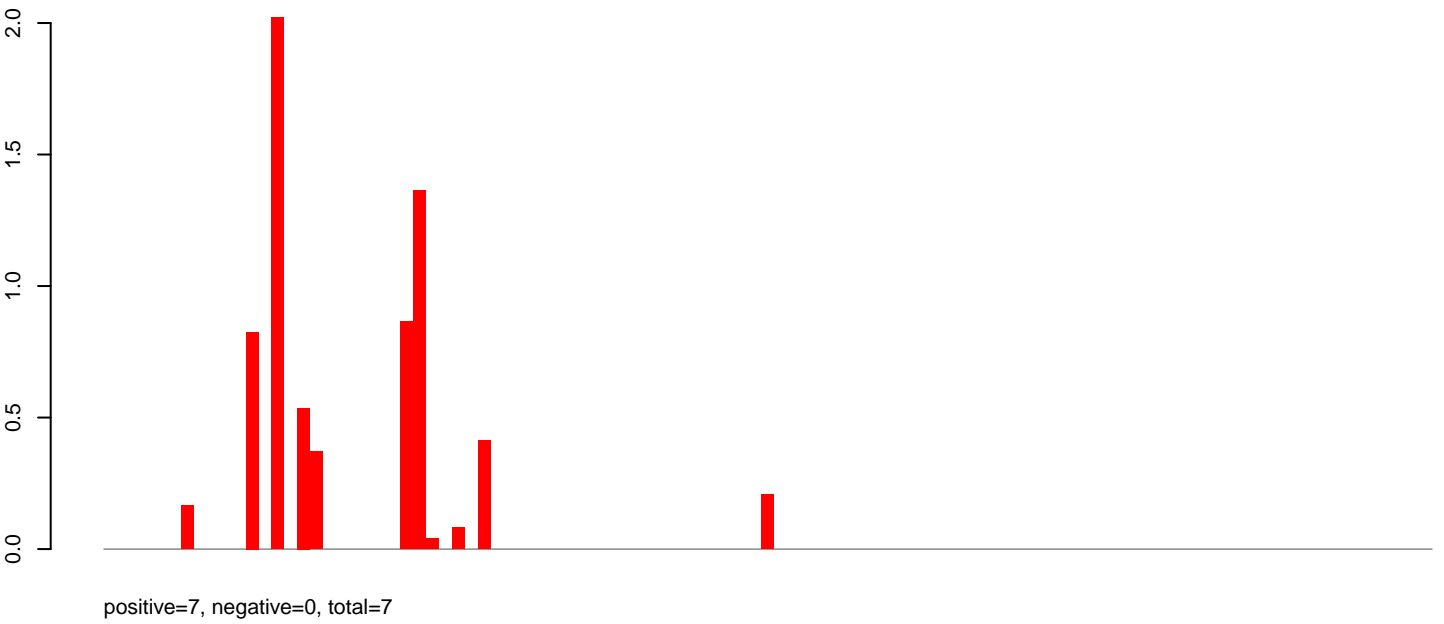
AeAlbo_U4.4_SINV_GFP.rep



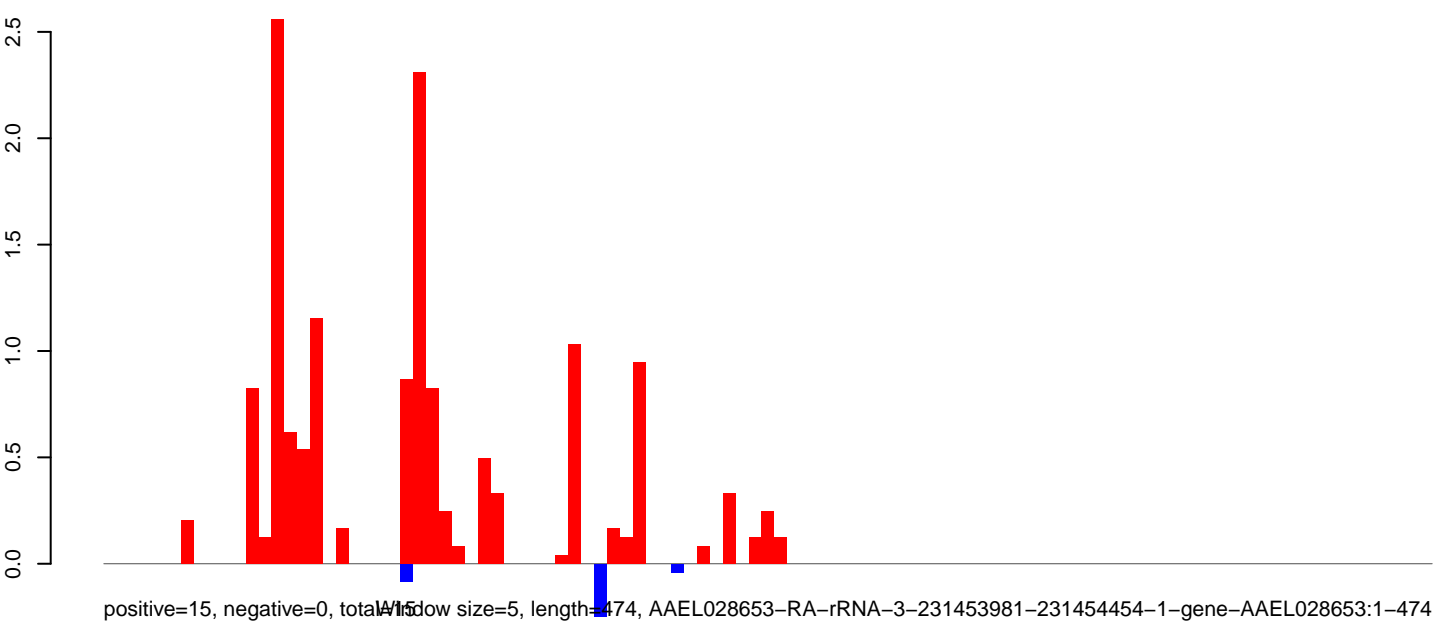
AeAlbo_U4.4_SINV_GFP.18_23.rep



AeAlbo_U4.4_SINV_GFP.24_35.rep



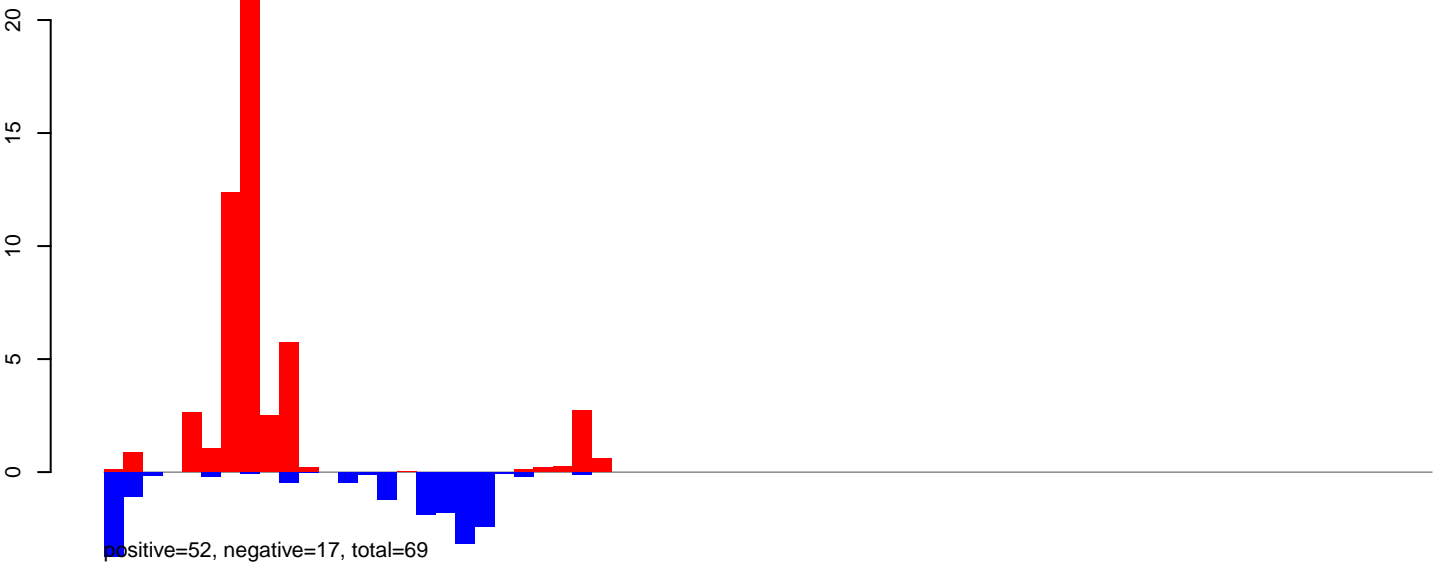
AeAlbo_U4.4_SINV_GFP.rep



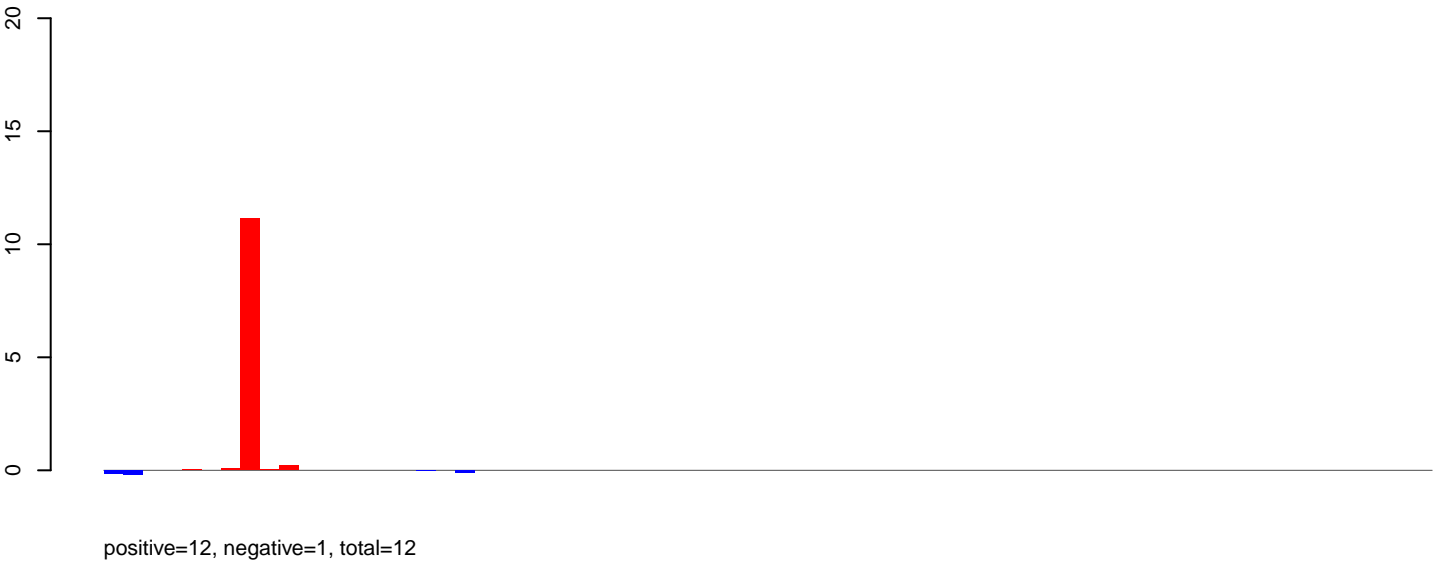
Window size=5, length=474, AAEL028653-RA-rRNA-3-231453981-231454454-1-gene-AAEL028653:1-474

0 100 200 300 400 500

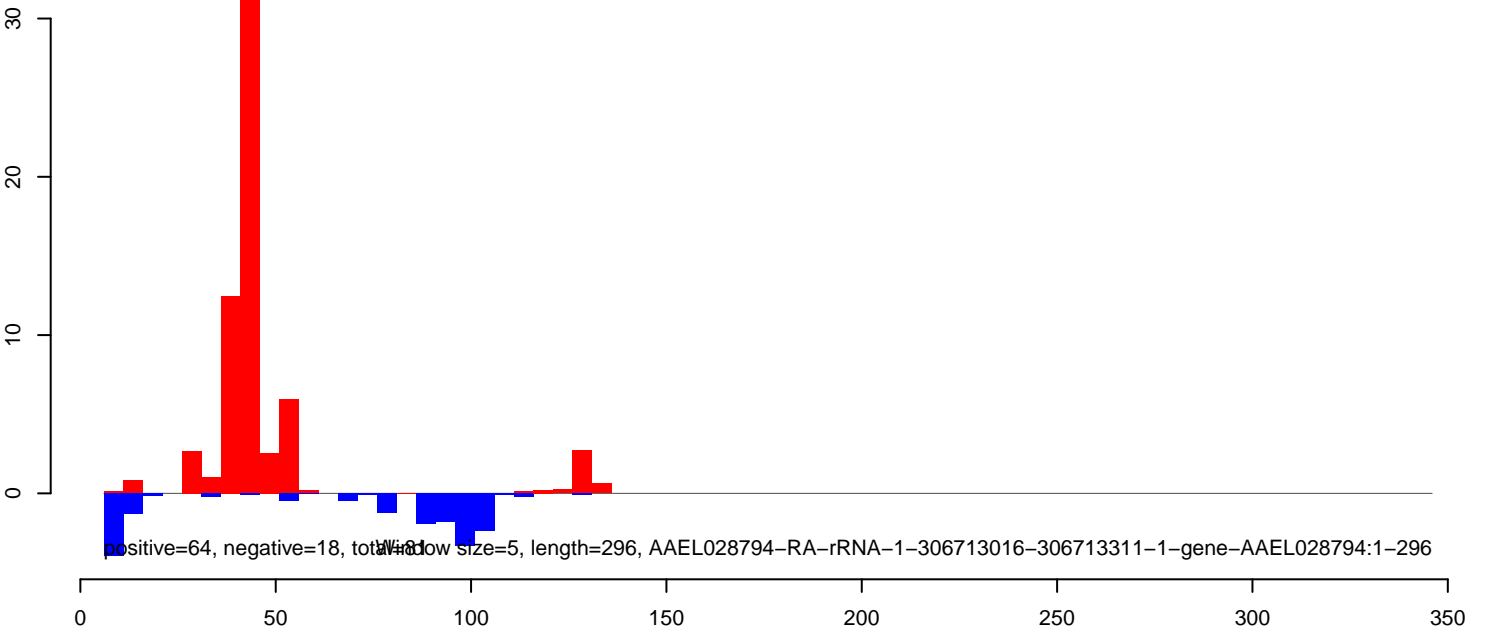
AeAlbo_U4.4_SINV_GFP.18_23.rep



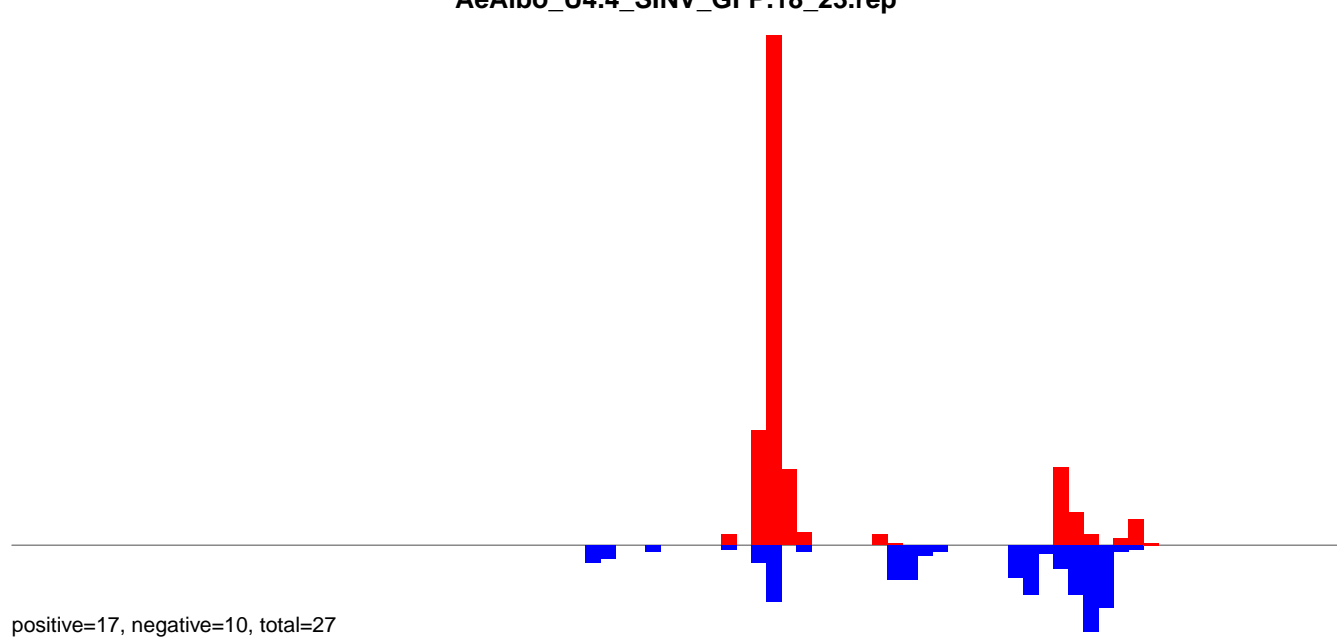
AeAlbo_U4.4_SINV_GFP.24_35.rep



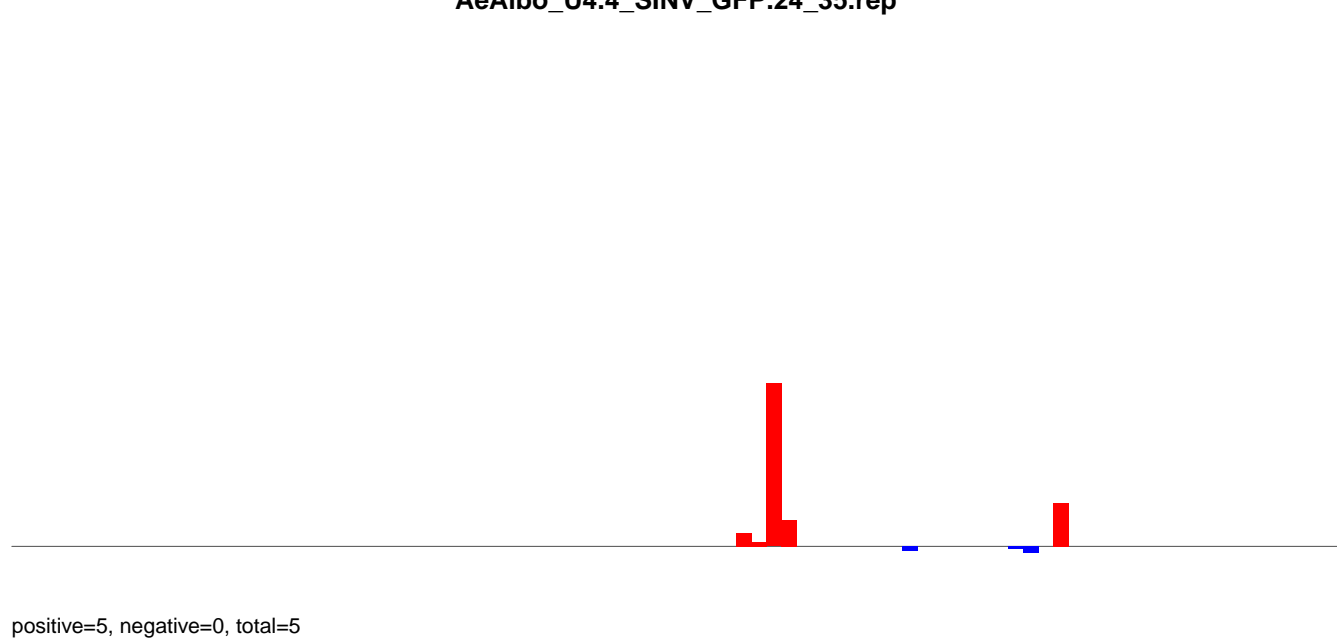
AeAlbo_U4.4_SINV_GFP.rep



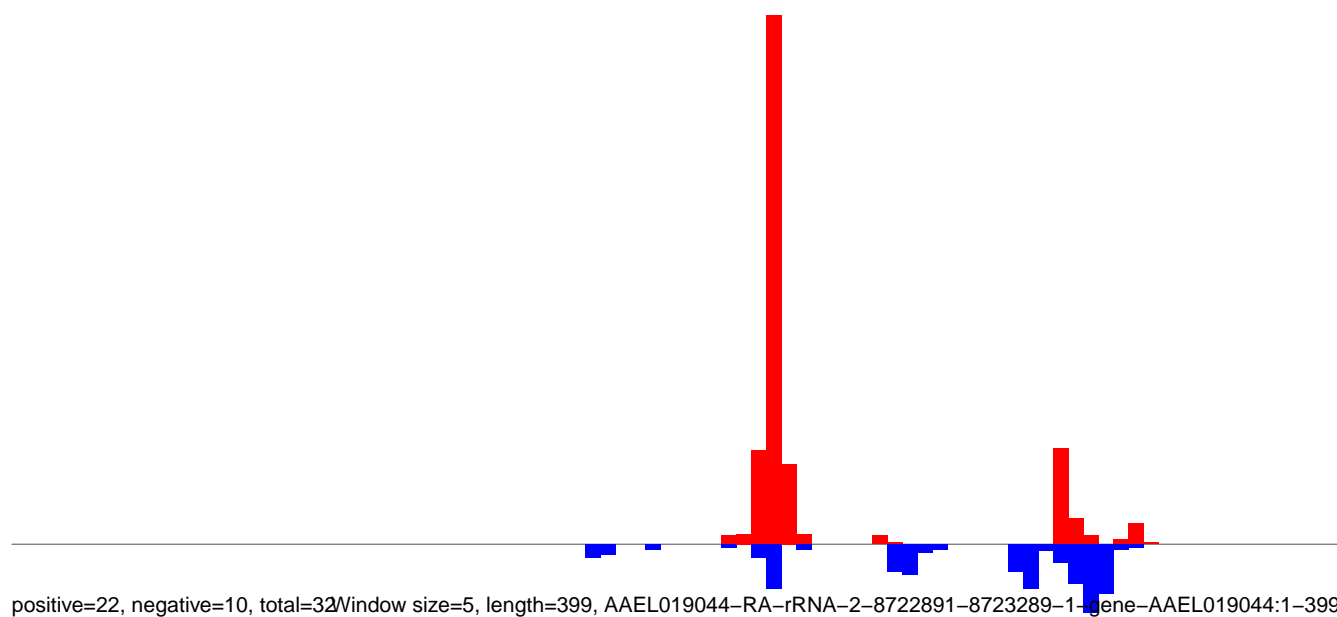
AeAlbo_U4.4_SINV_GFP.18_23.rep



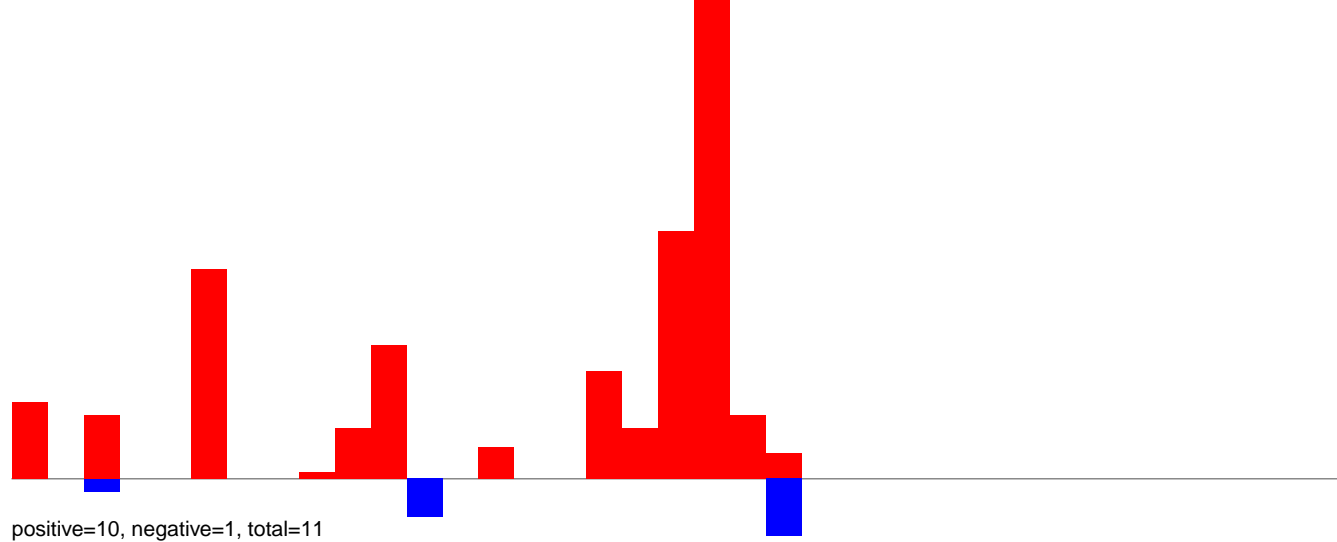
AeAlbo_U4.4_SINV_GFP.24_35.rep



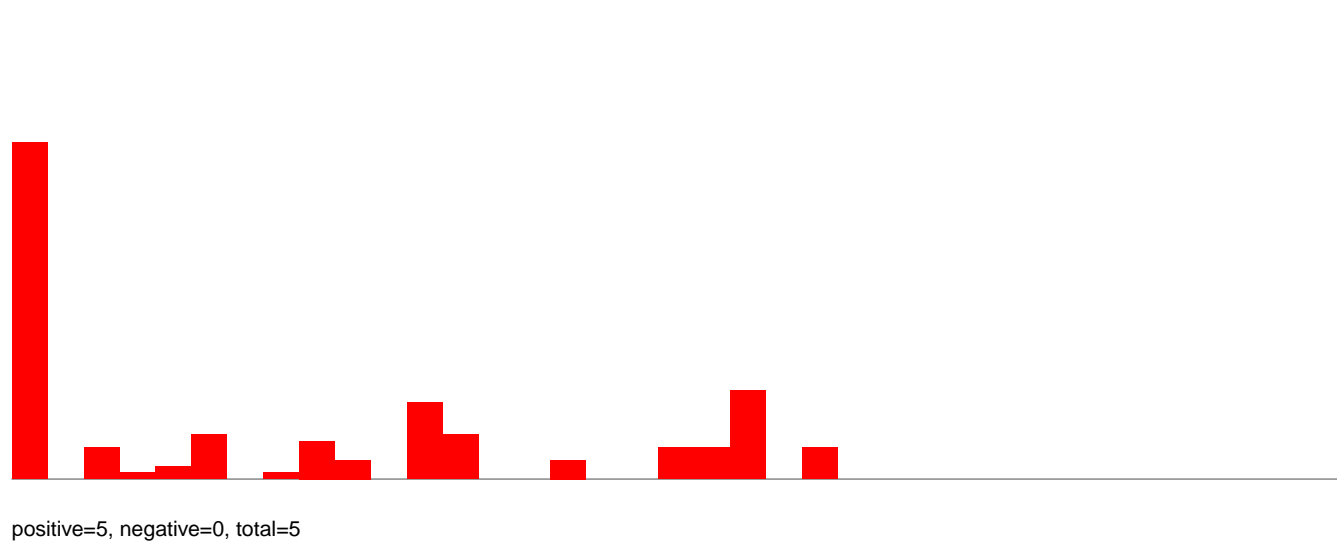
AeAlbo_U4.4_SINV_GFP.rep



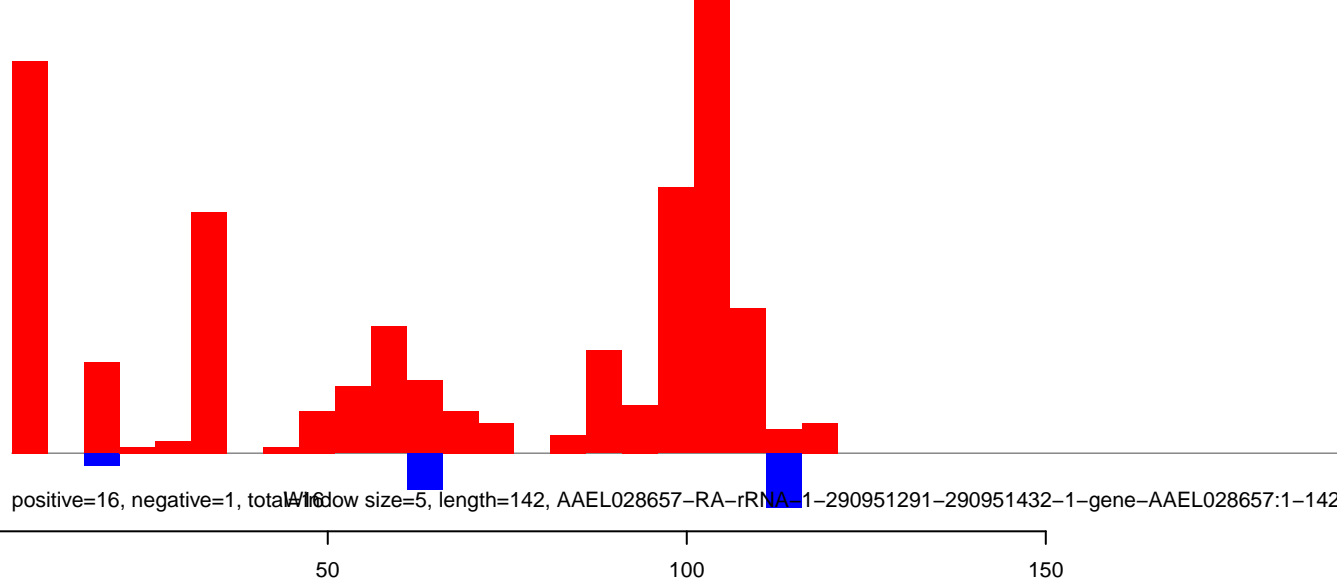
AeAlbo_U4.4_SINV_GFP.18_23.rep



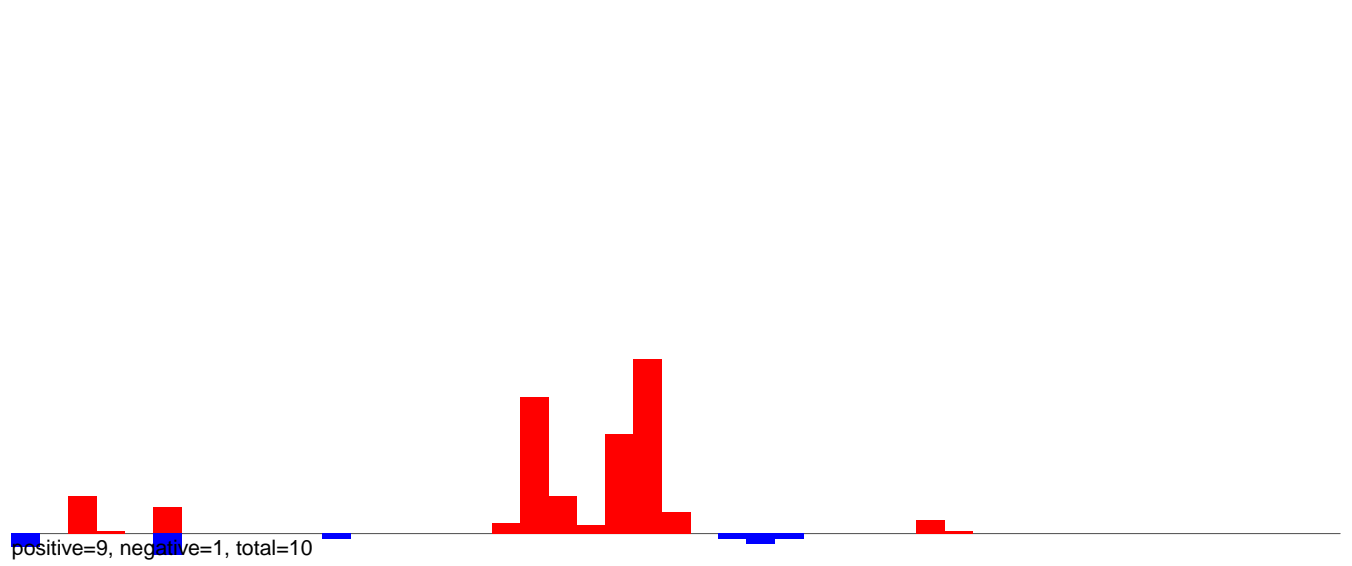
AeAlbo_U4.4_SINV_GFP.24_35.rep



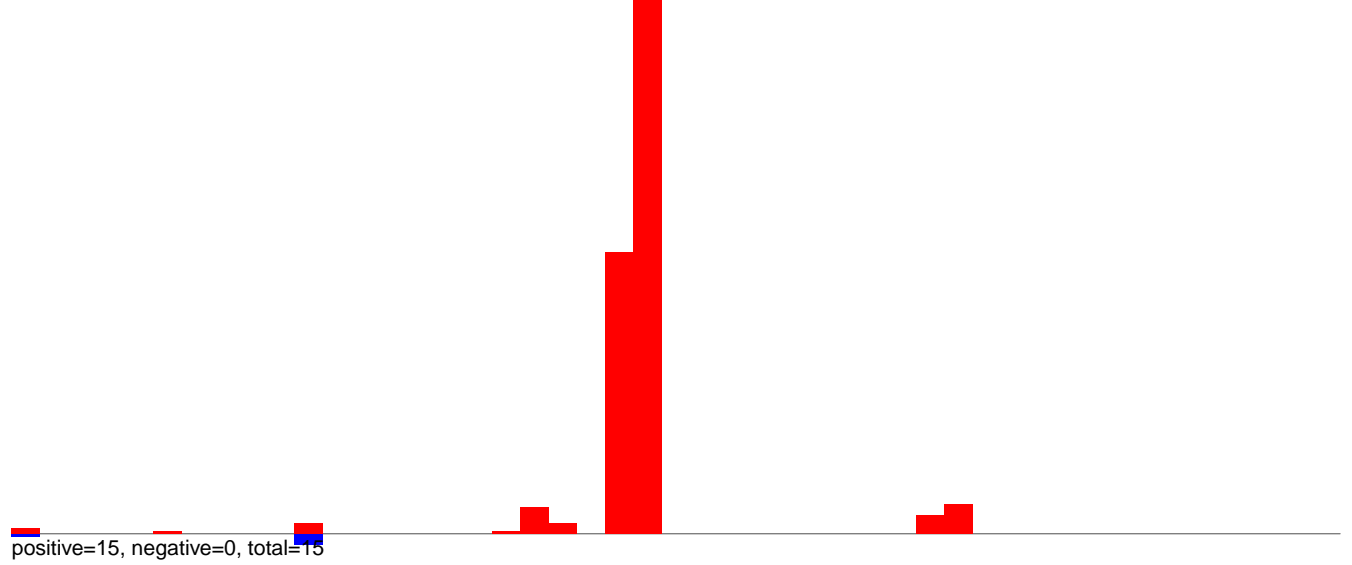
AeAlbo_U4.4_SINV_GFP.rep



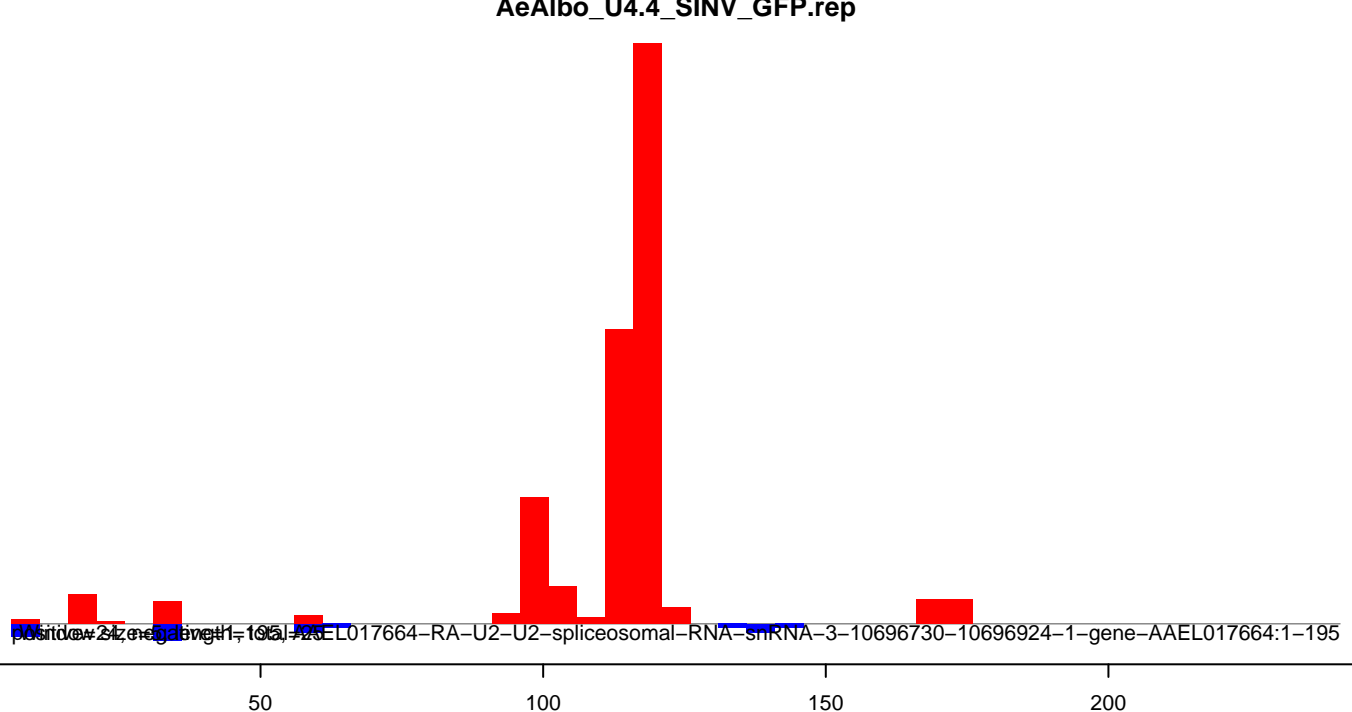
AeAlbo_U4.4_SINV_GFP.18_23.rep



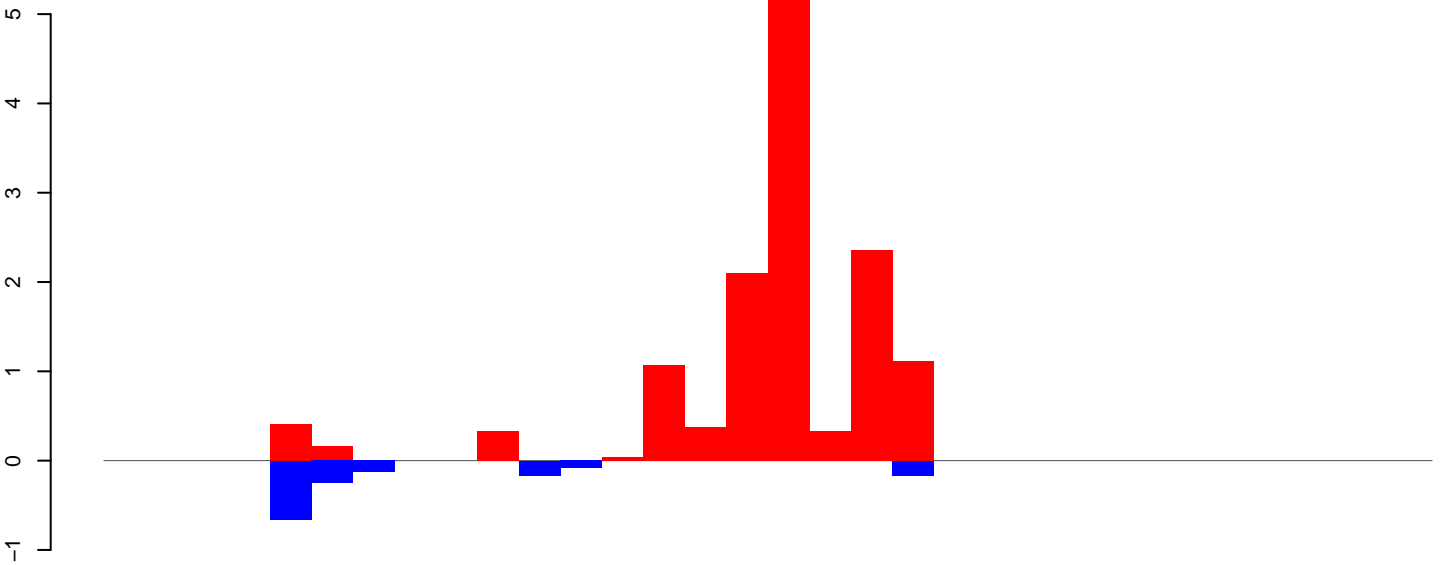
AeAlbo_U4.4_SINV_GFP.24_35.rep



AeAlbo_U4.4_SINV_GFP.rep

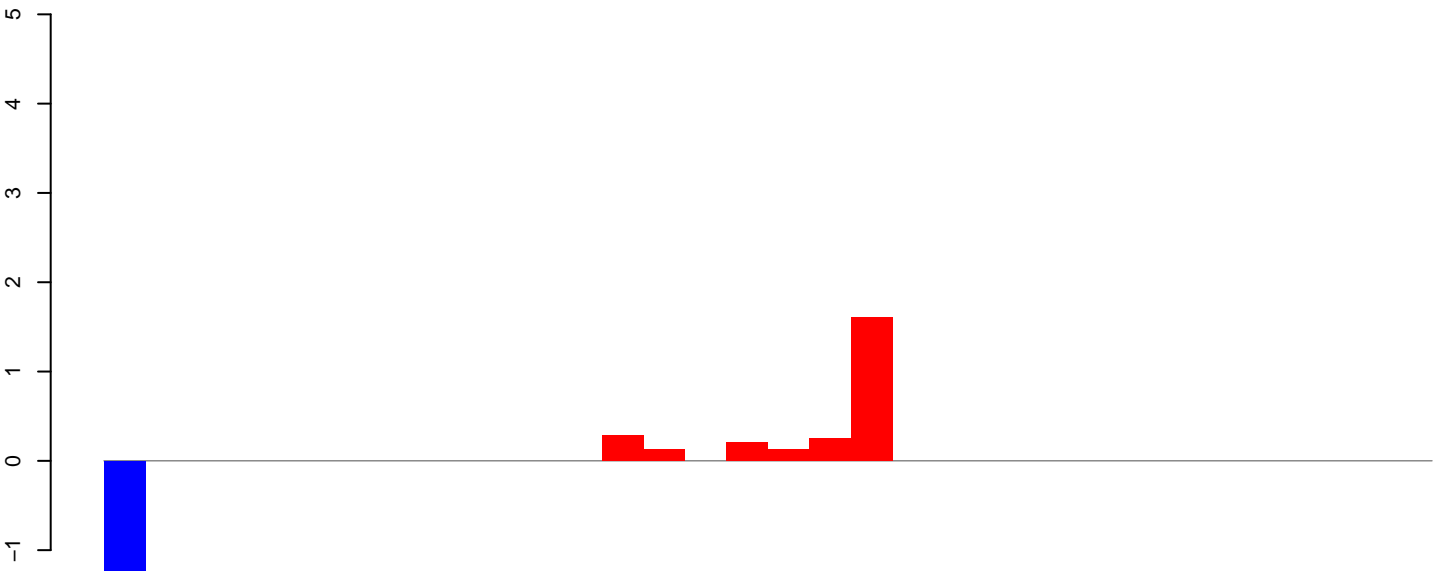


AeAlbo_U4.4_SINV_GFP.18_23.rep



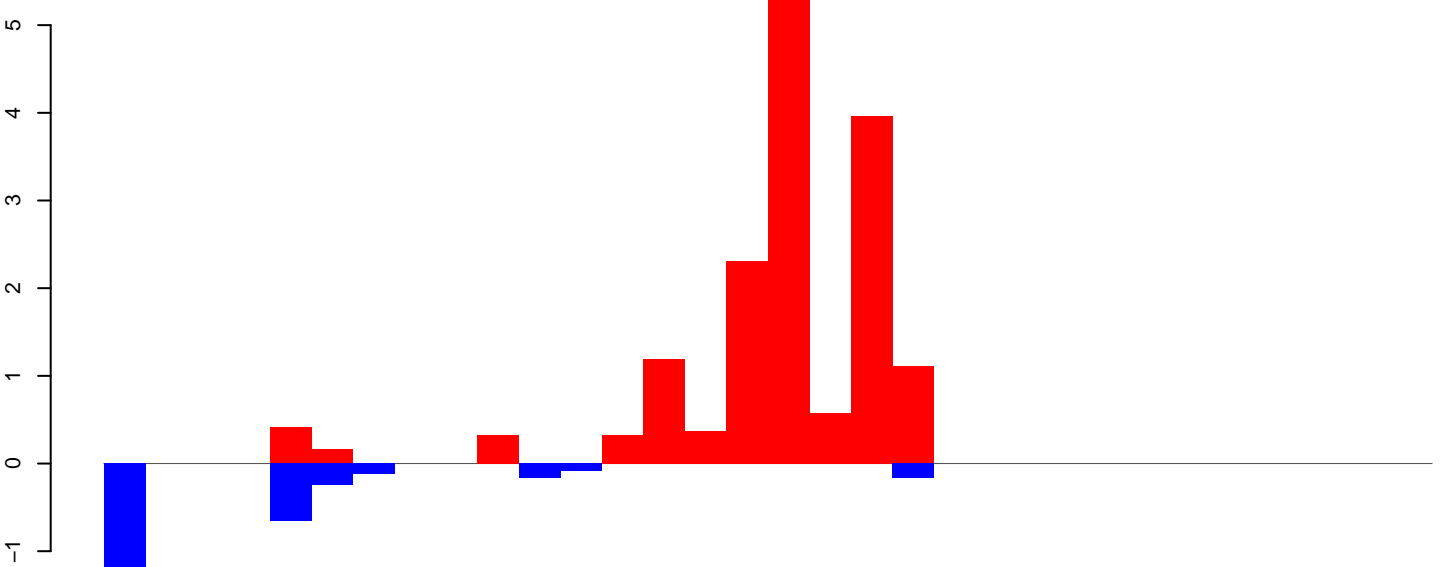
positive=13, negative=1, total=15

AeAlbo_U4.4_SINV_GFP.24_35.rep



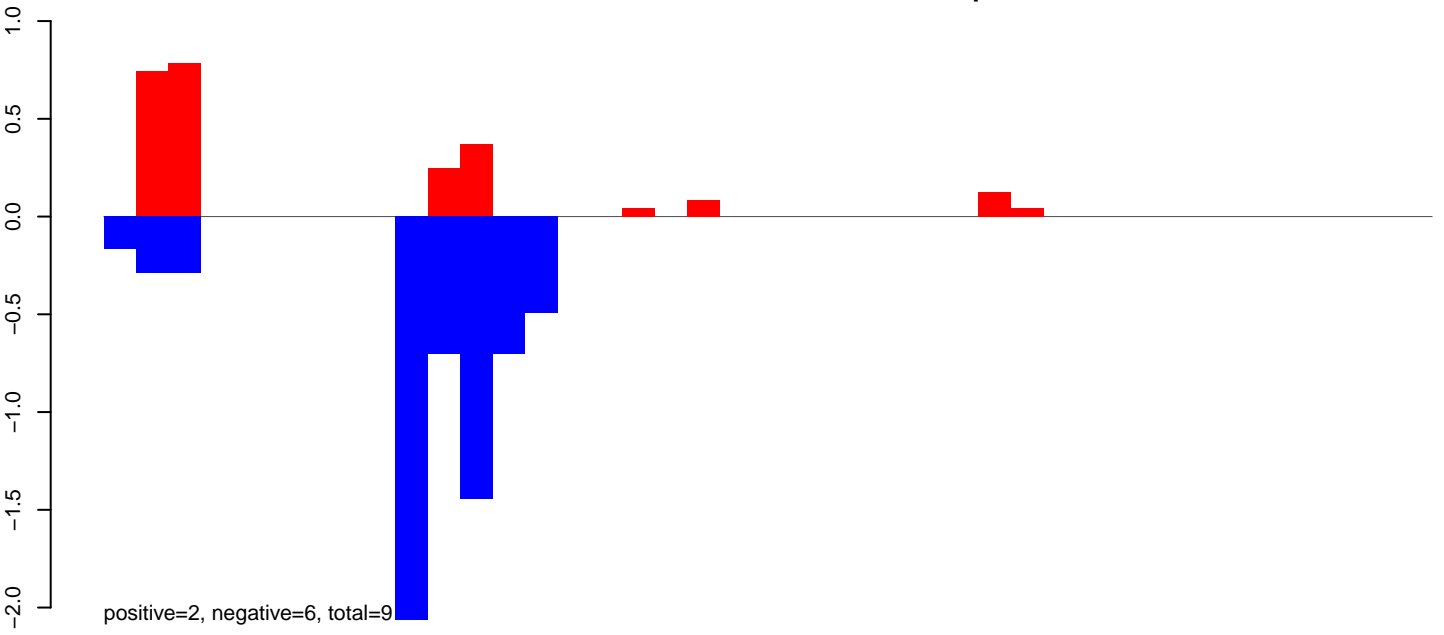
positive=3, negative=2, total=4

AeAlbo_U4.4_SINV_GFP.rep

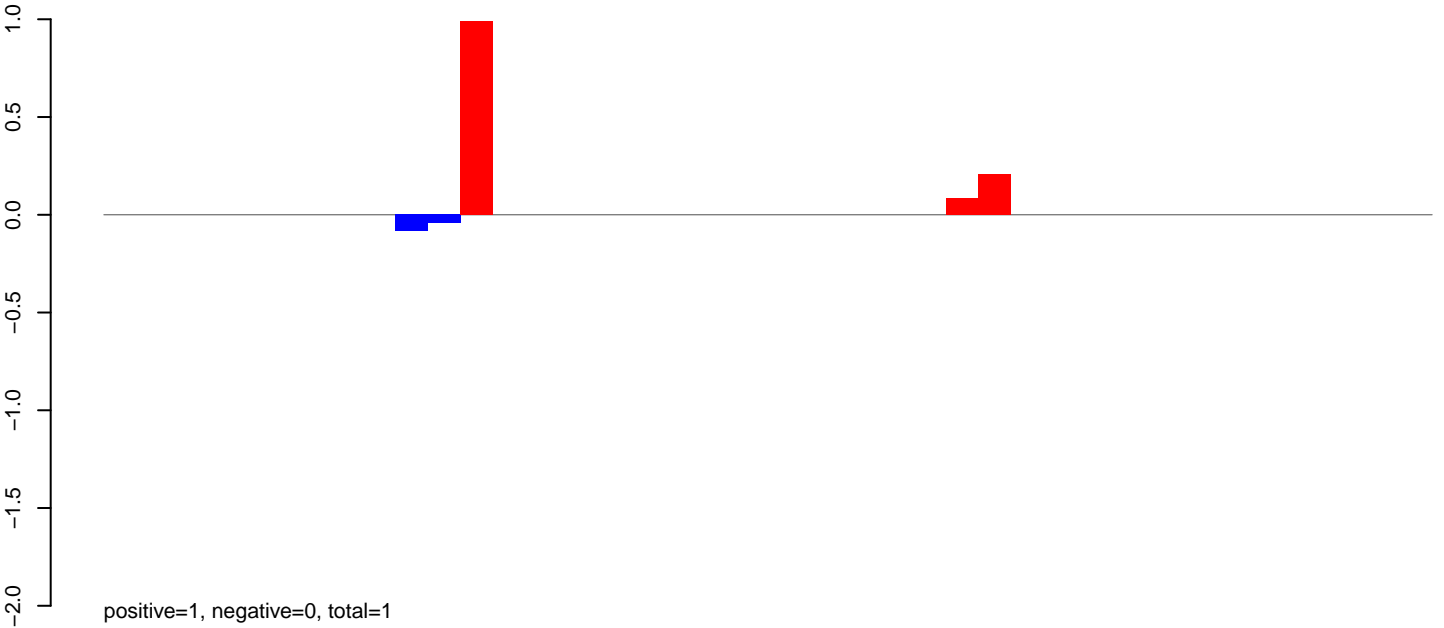


positive=16, negative=3, total=19, window size=5, length=119, AAEL019159-RA-rRNA-2-195966109-195966227-1-gene-AAEL019159:1-119

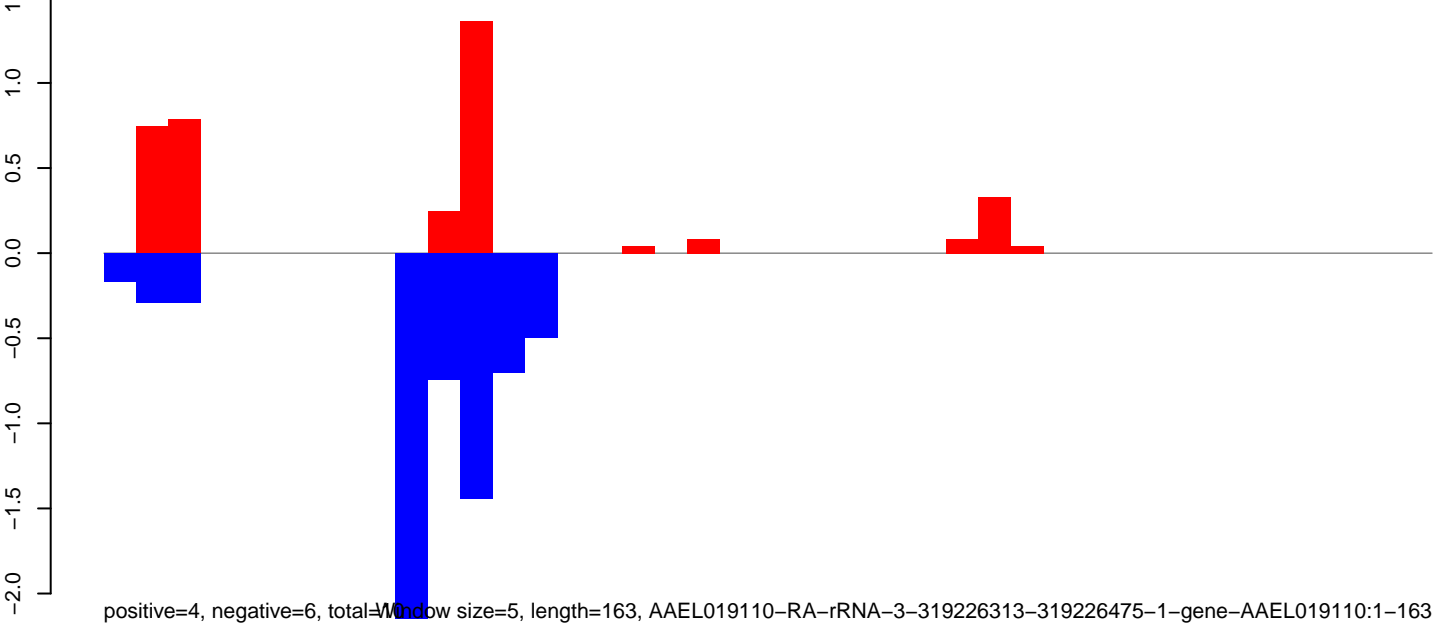
AeAlbo_U4.4_SINV_GFP.18_23.rep



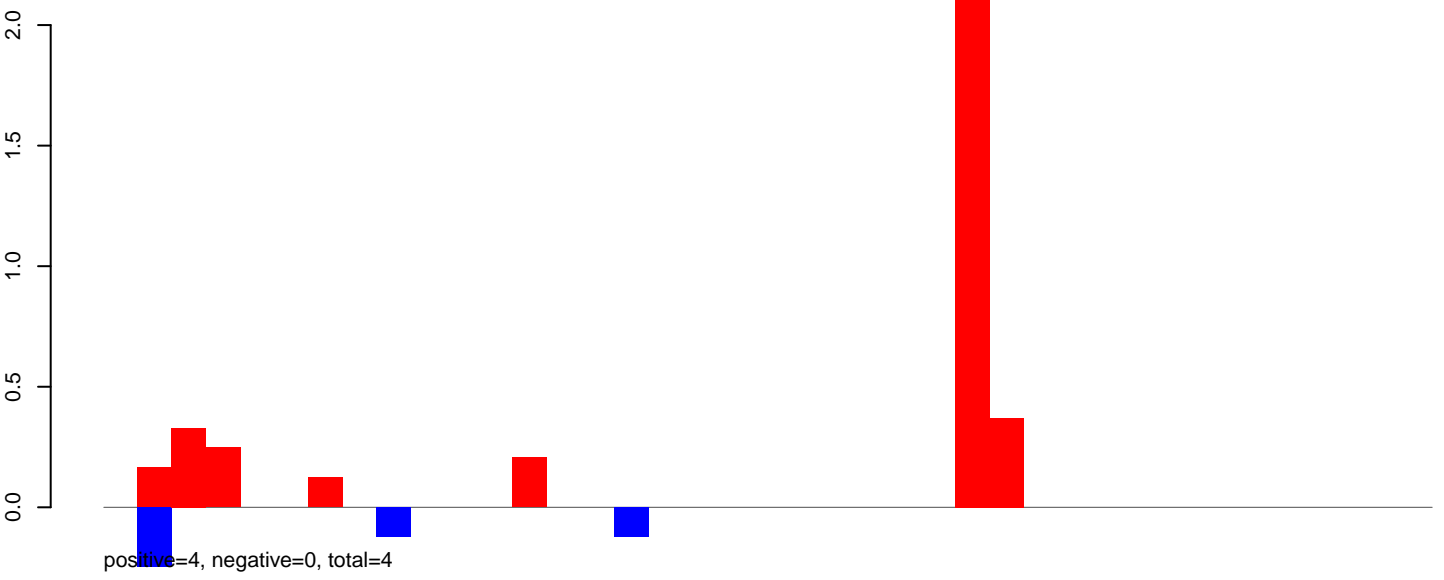
AeAlbo_U4.4_SINV_GFP.24_35.rep



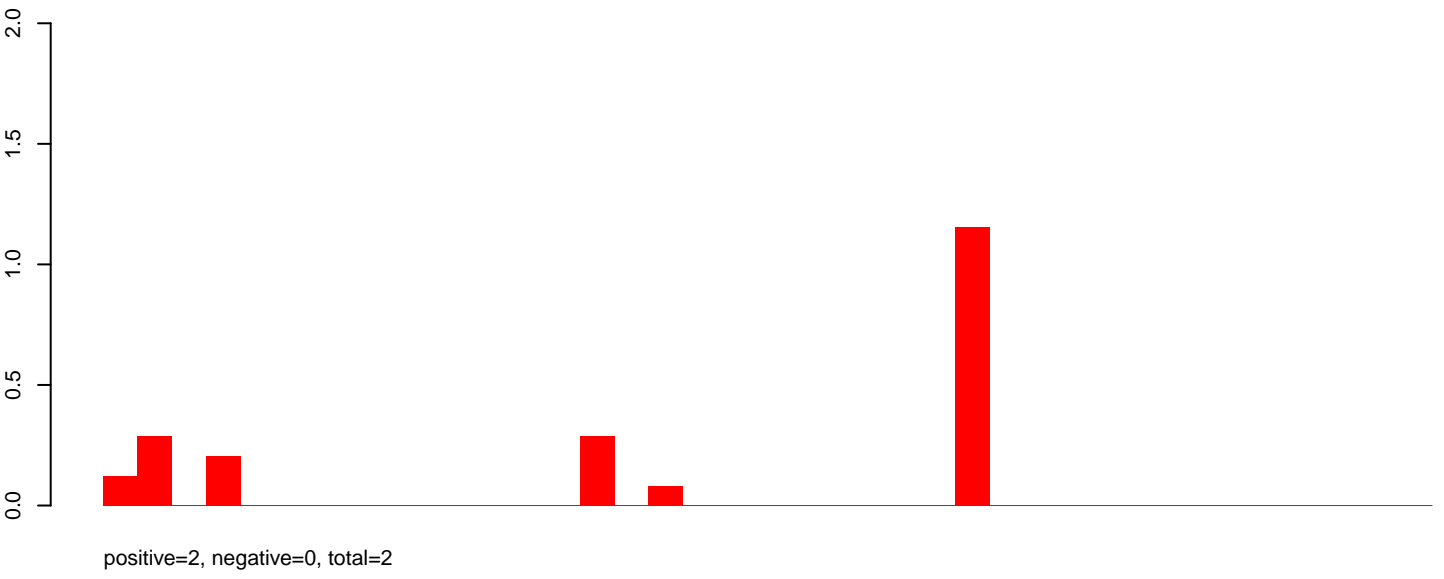
AeAlbo_U4.4_SINV_GFP.rep



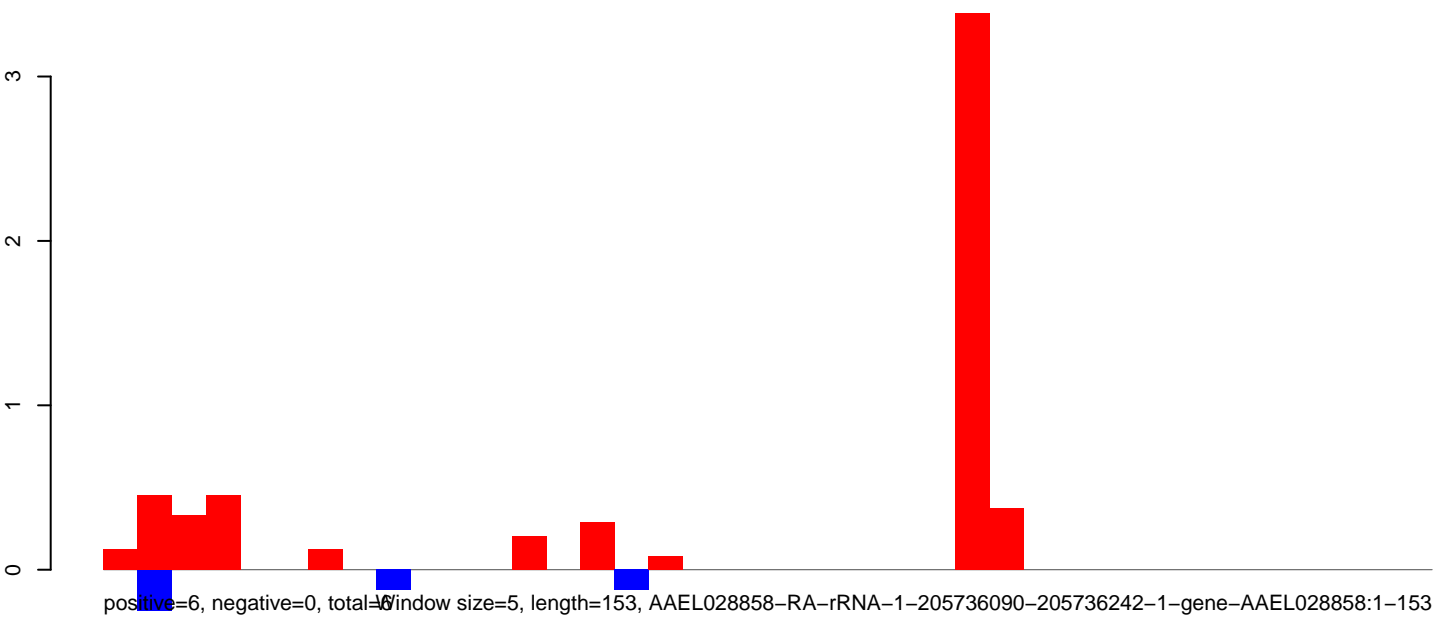
AeAlbo_U4.4_SINV_GFP.18_23.rep



AeAlbo_U4.4_SINV_GFP.24_35.rep

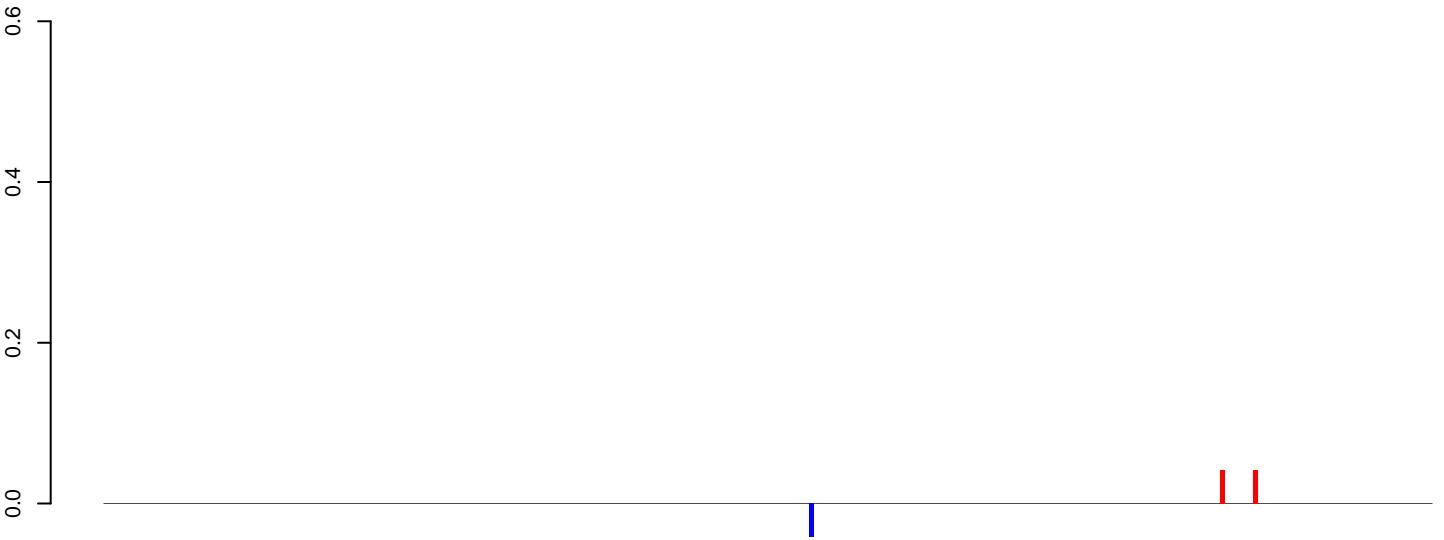


AeAlbo_U4.4_SINV_GFP.rep



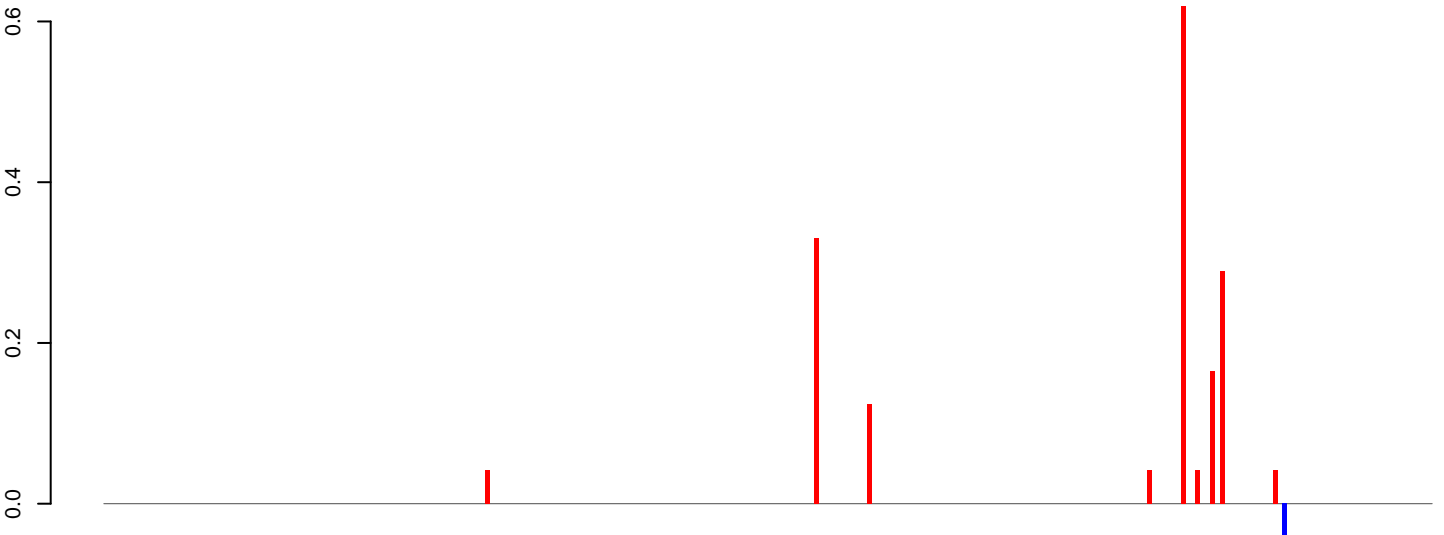
positive=6, negative=0, total=6, window size=5, length=153, AAEL028858-RA-rRNA-1-205736090-205736242-1-gene-AAEL028858:1-153

AeAlbo_U4.4_SINV_GFP.18_23.rep



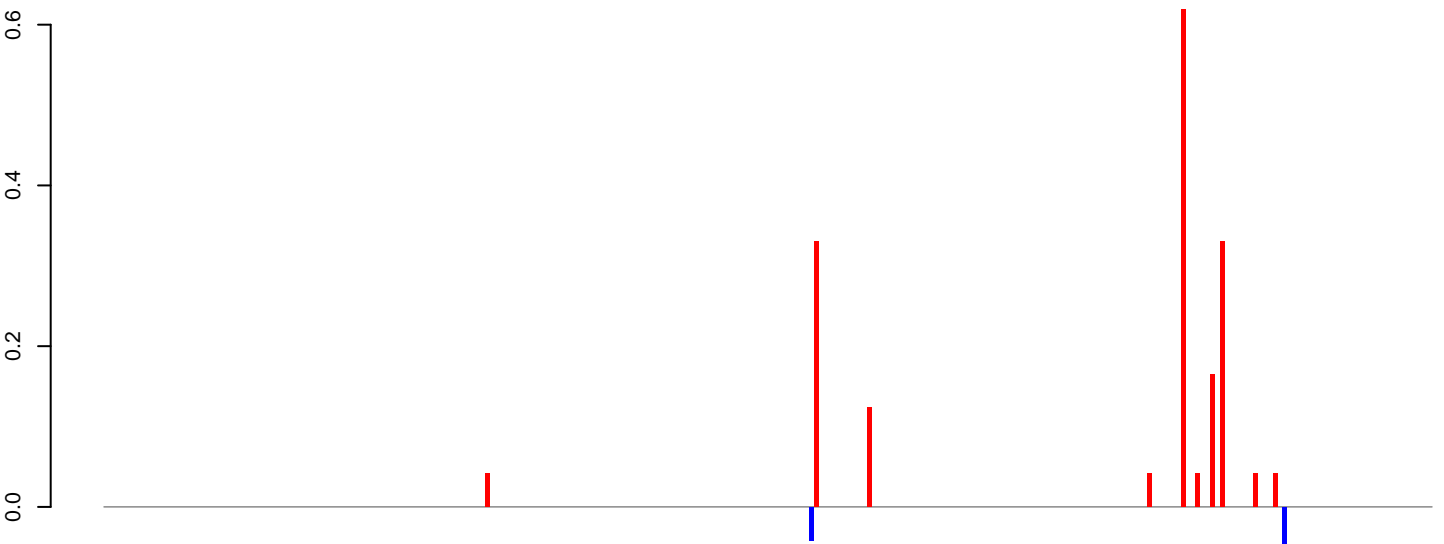
positive=0, negative=0, total=0

AeAlbo_U4.4_SINV_GFP.24_35.rep

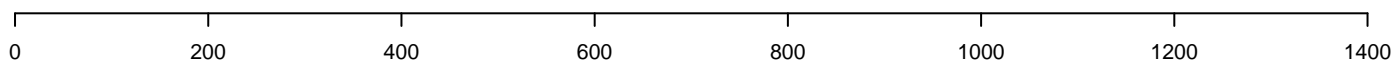


positive=2, negative=0, total=2

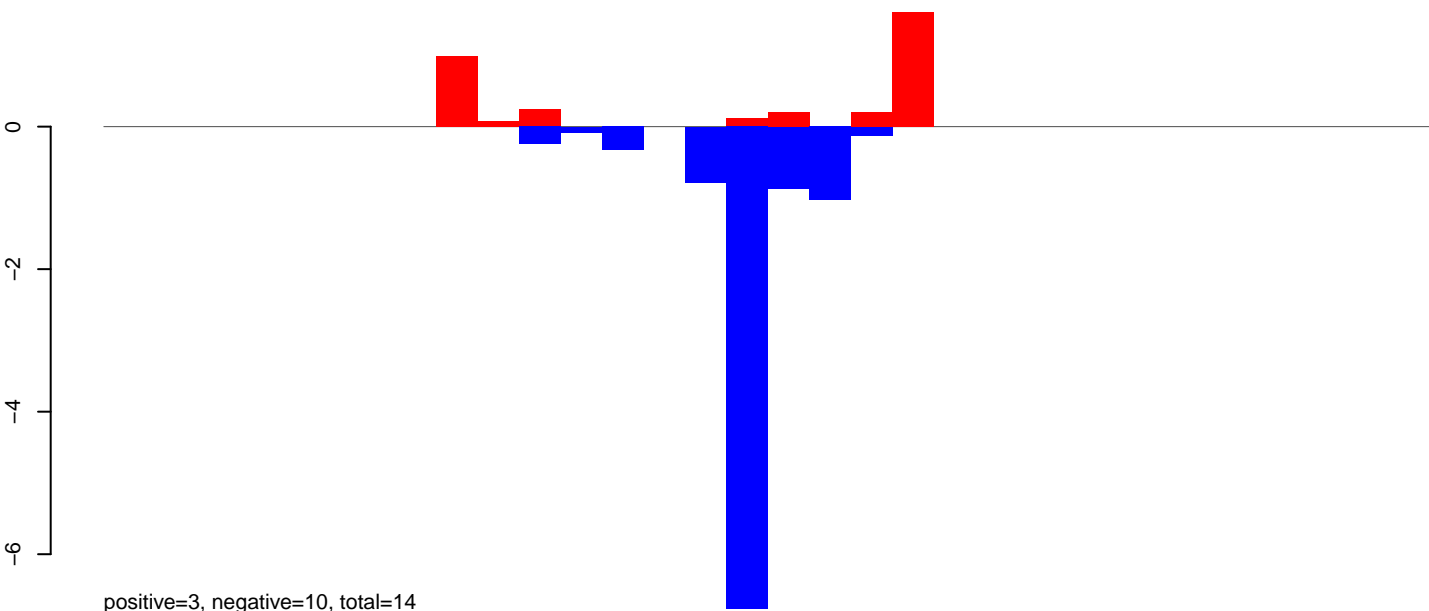
AeAlbo_U4.4_SINV_GFP.rep



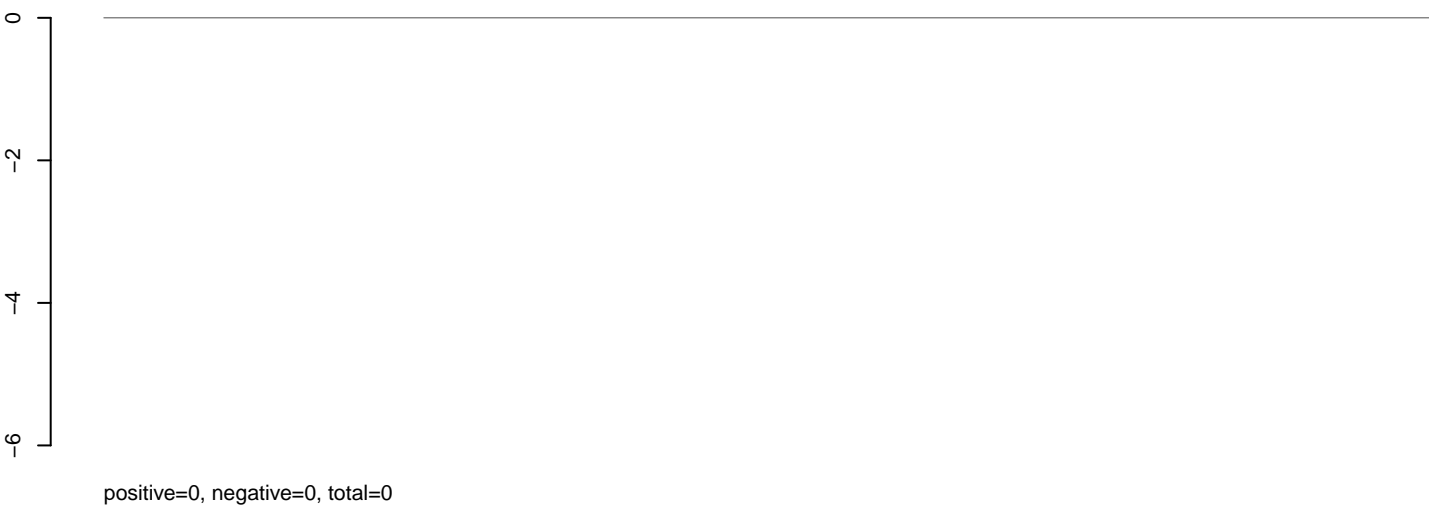
Window size: gene=1000, total=1000, AAEL018689-RA-Isu-rRNA-16S-ribosomal-rRNA-rRNA-MT-12566-13899-1-gene-AAEL018689:1-1334



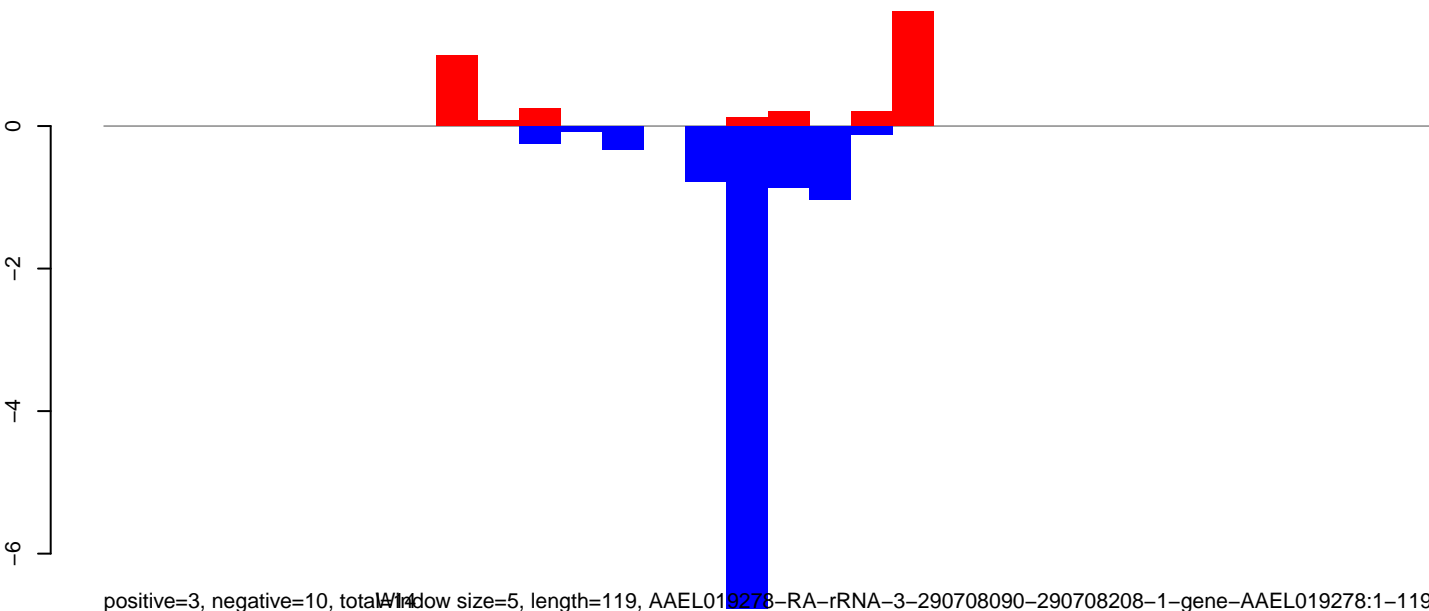
AeAlbo_U4.4_SINV_GFP.18_23.rep



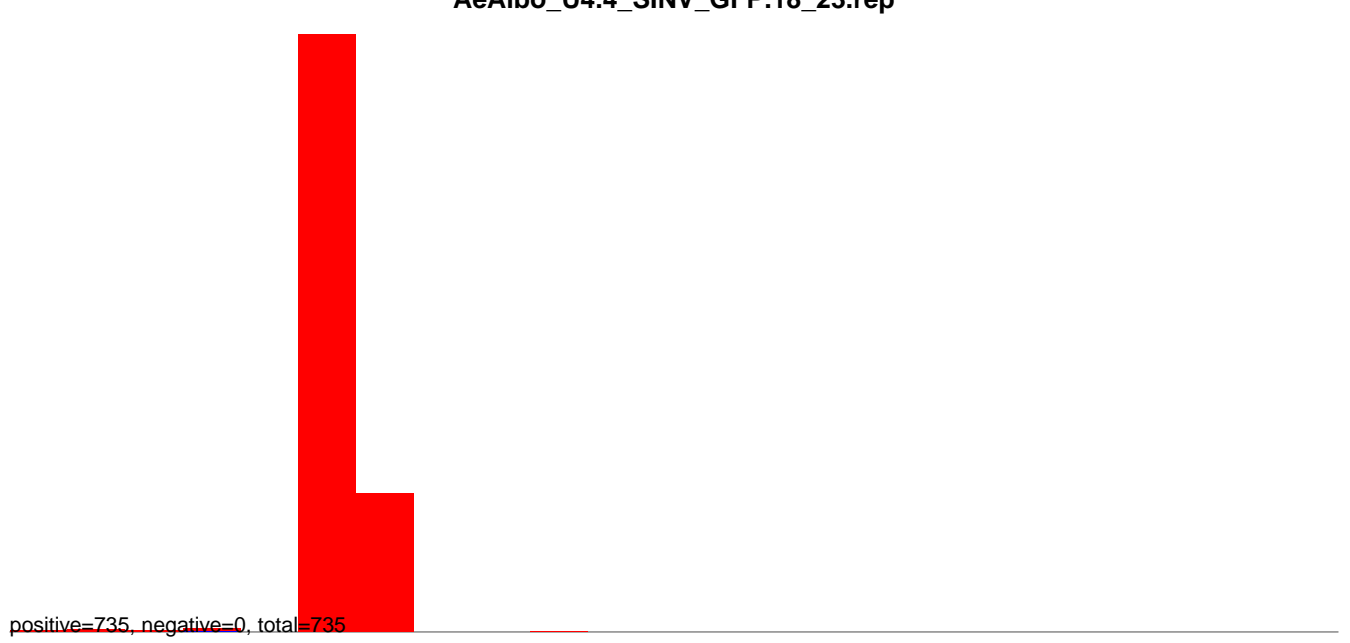
AeAlbo_U4.4_SINV_GFP.24_35.rep



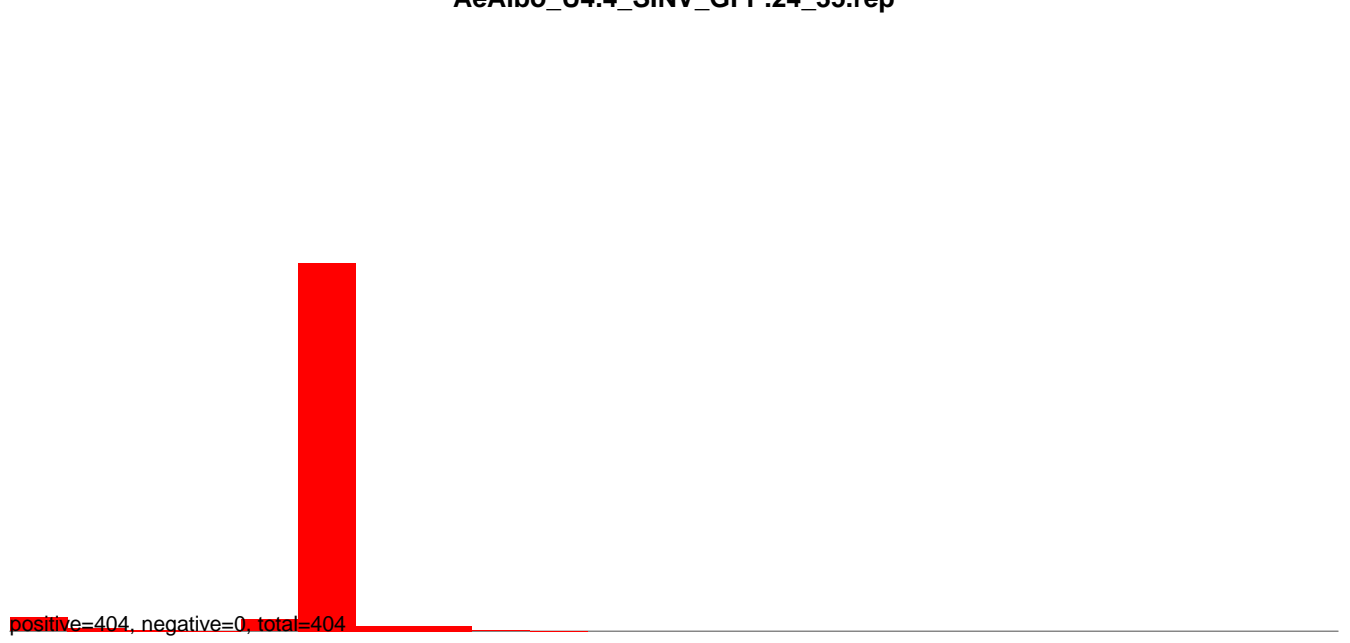
AeAlbo_U4.4_SINV_GFP.rep



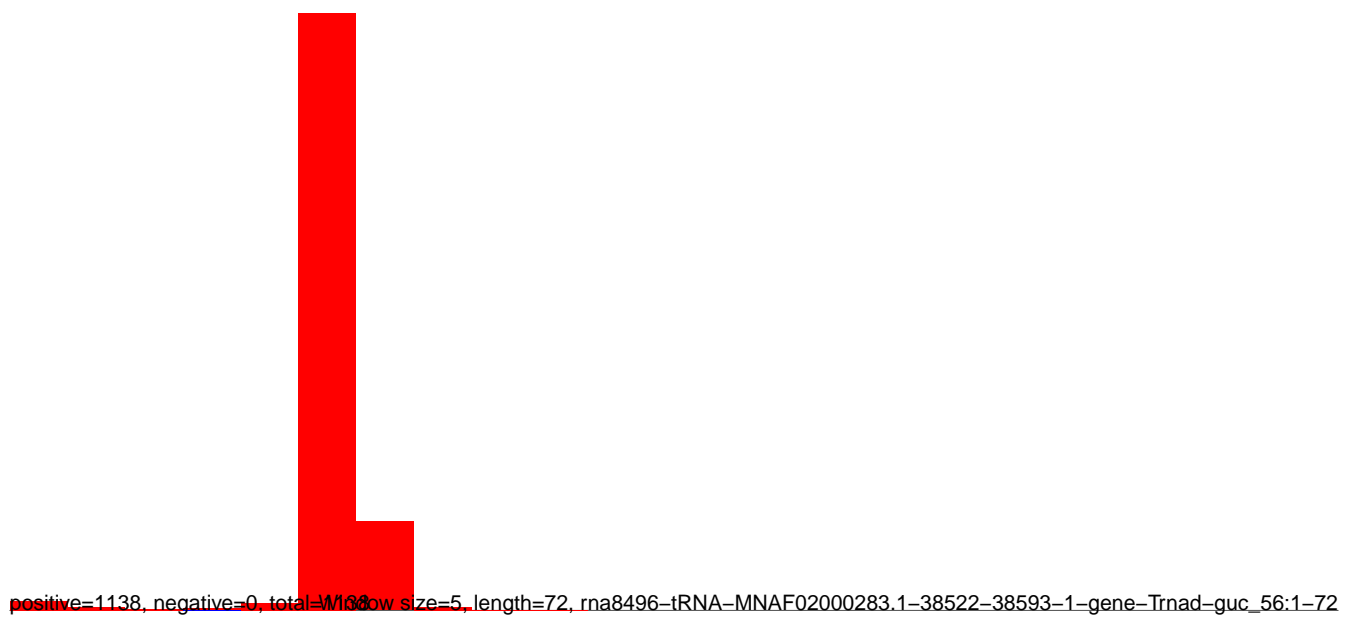
AeAlbo_U4.4_SINV_GFP.18_23.rep



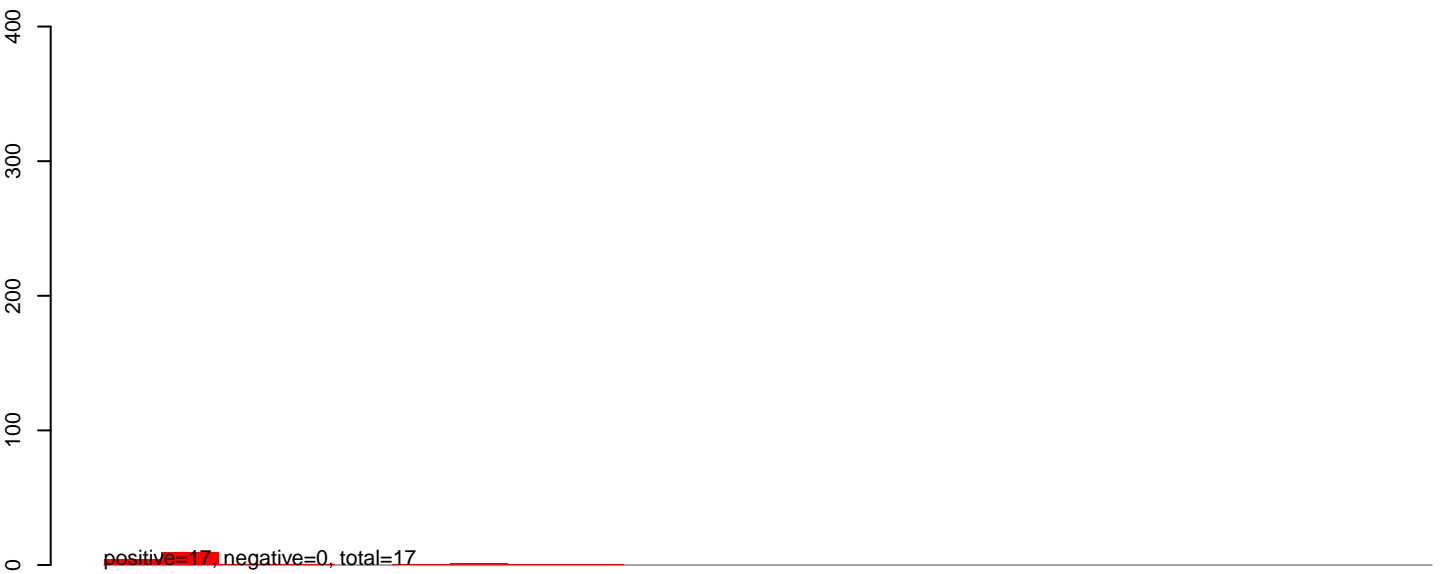
AeAlbo_U4.4_SINV_GFP.24_35.rep



AeAlbo_U4.4_SINV_GFP.rep



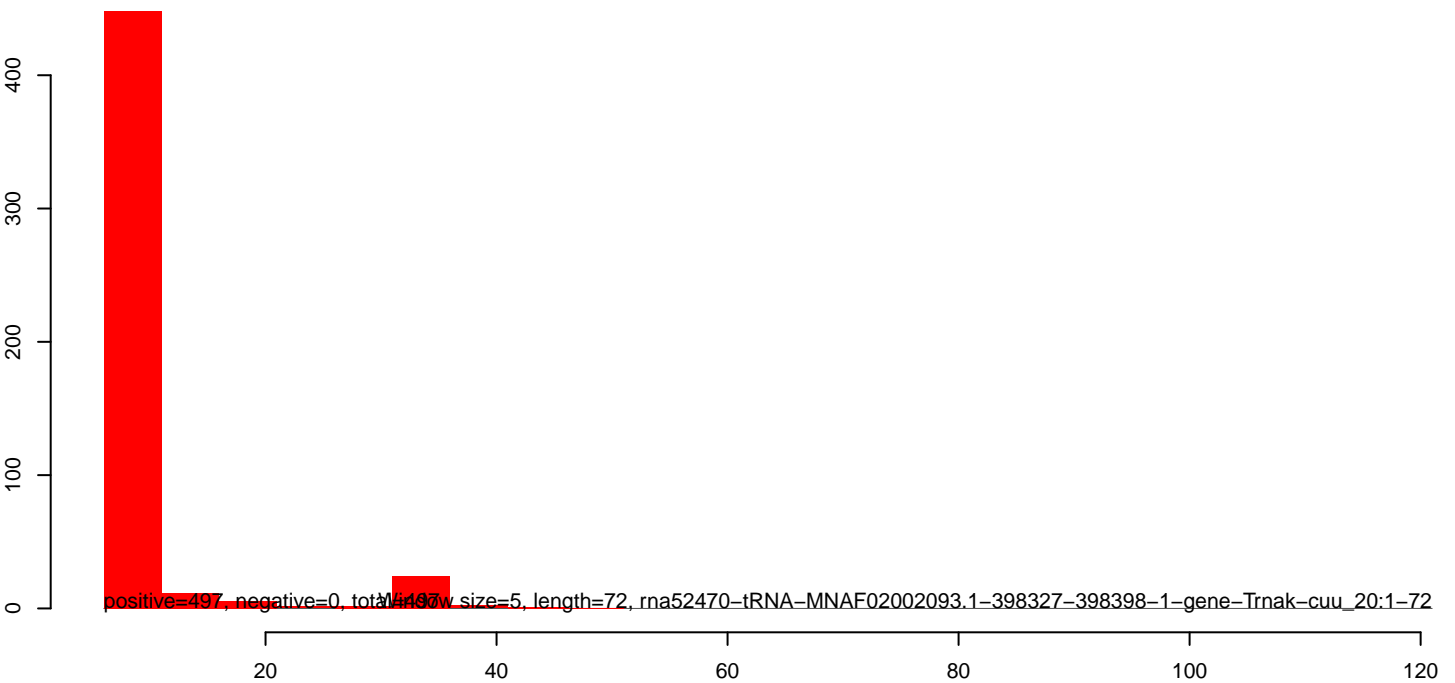
AeAlbo_U4.4_SINV_GFP.18_23.rep



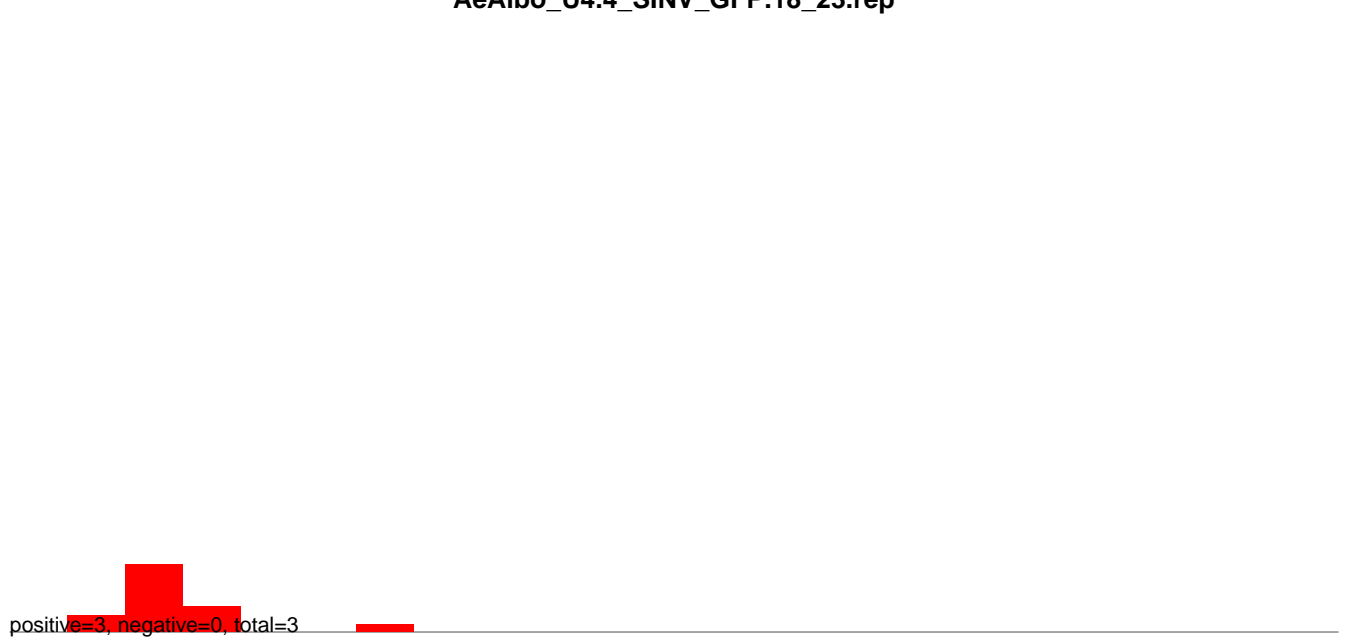
AeAlbo_U4.4_SINV_GFP.24_35.rep



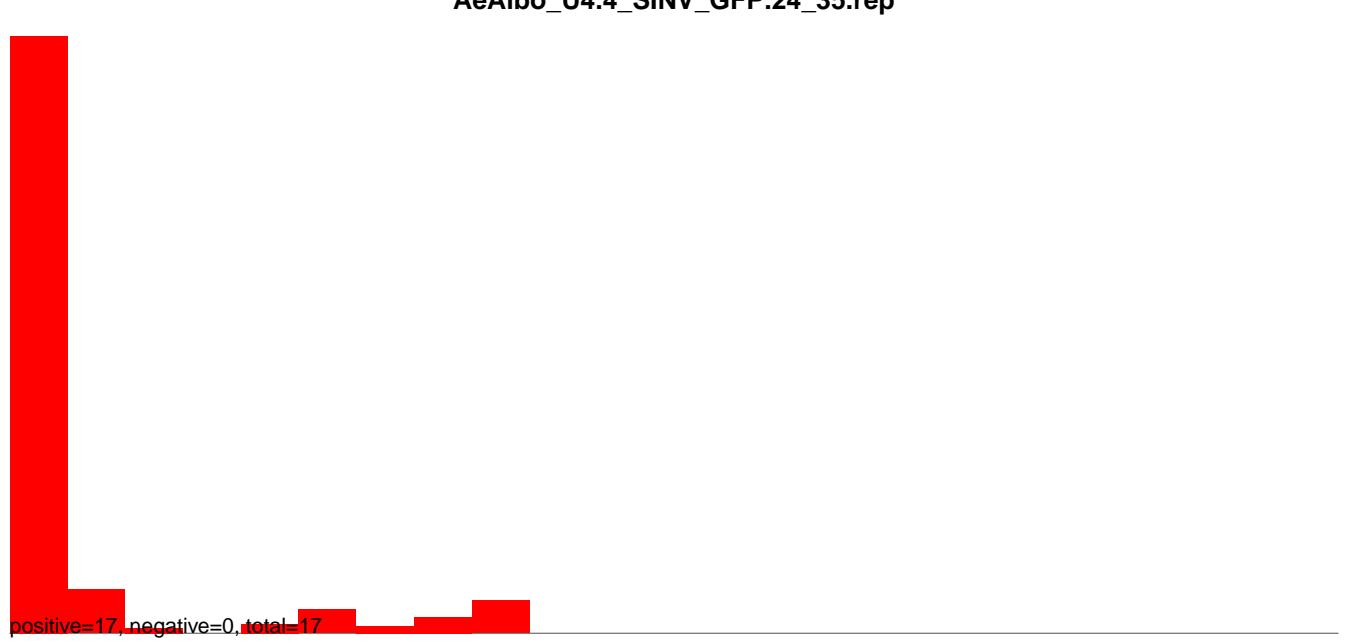
AeAlbo_U4.4_SINV_GFP.rep



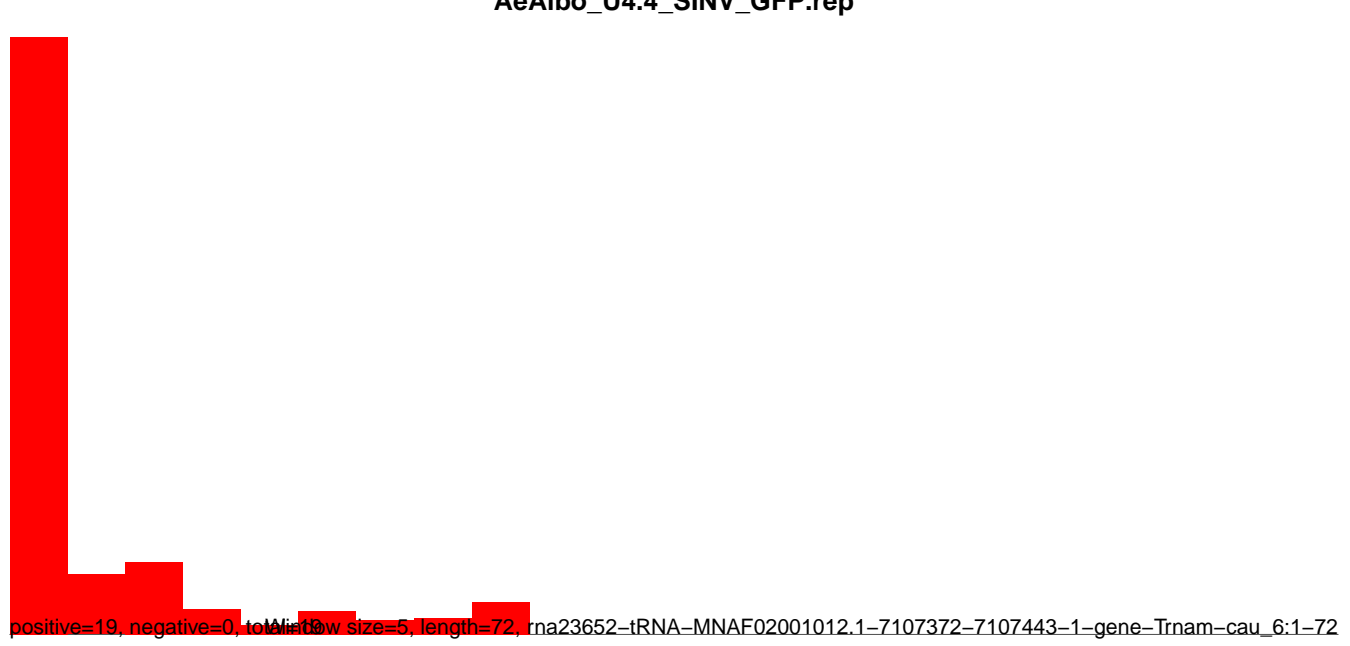
AeAlbo_U4.4_SINV_GFP.18_23.rep



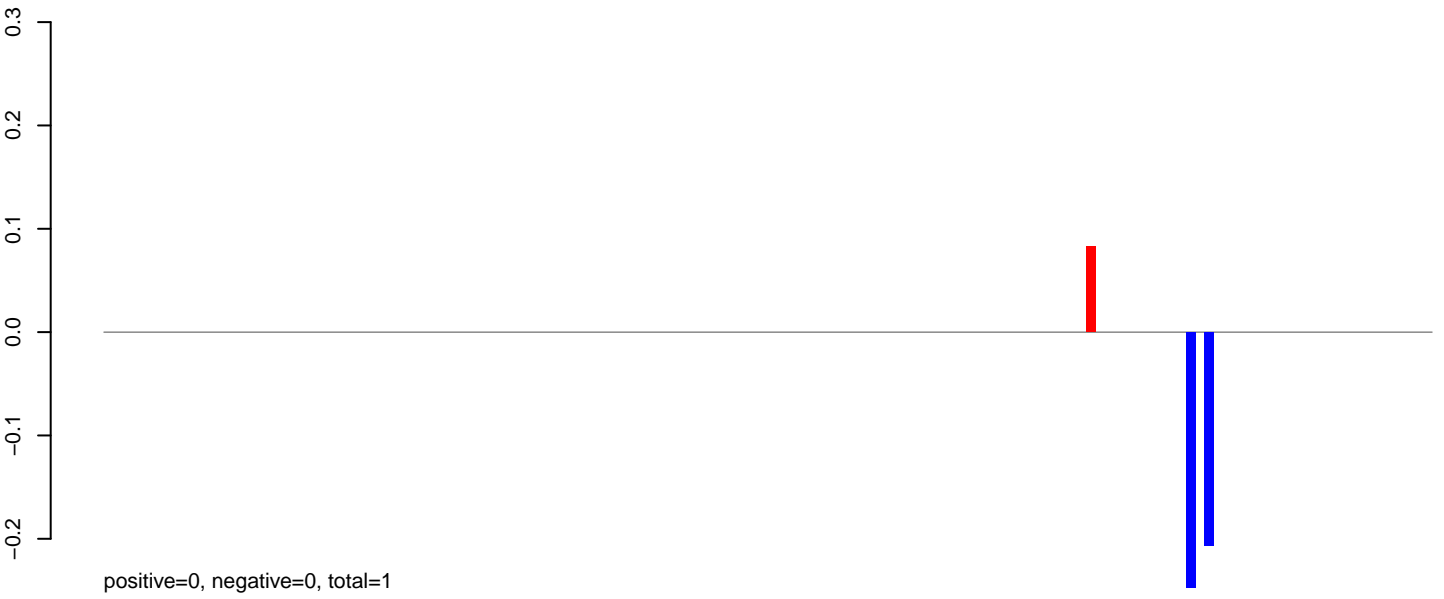
AeAlbo_U4.4_SINV_GFP.24_35.rep



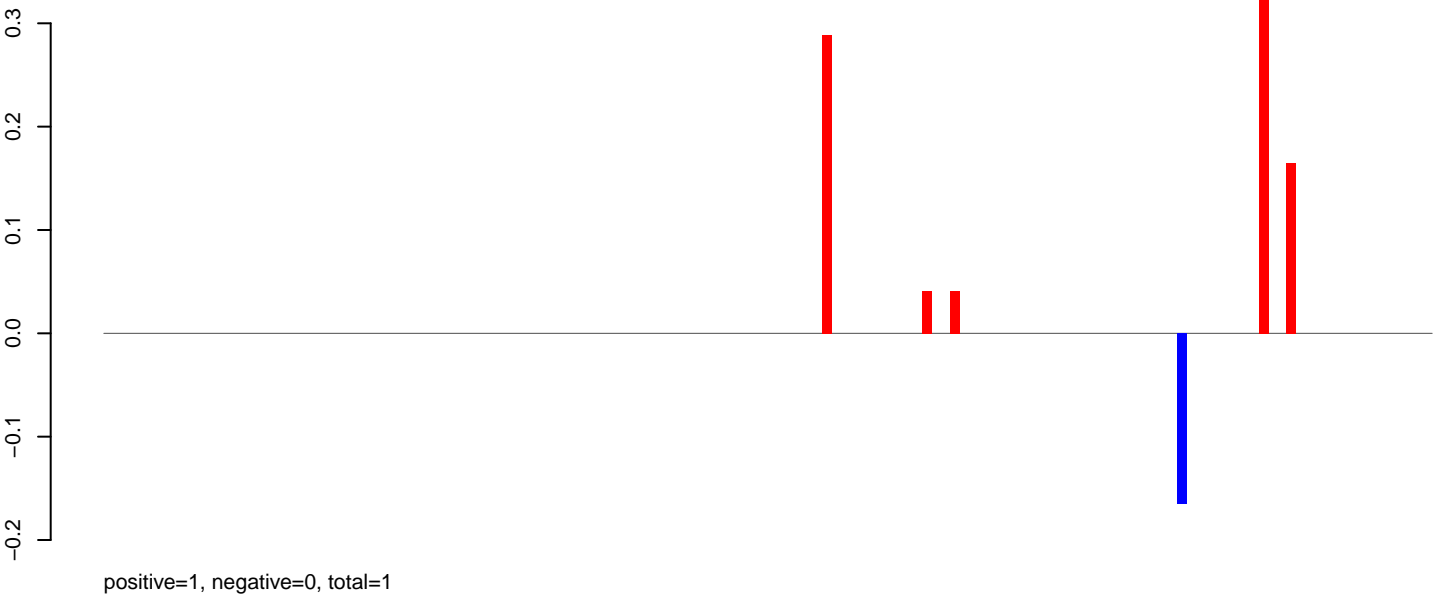
AeAlbo_U4.4_SINV_GFP.rep



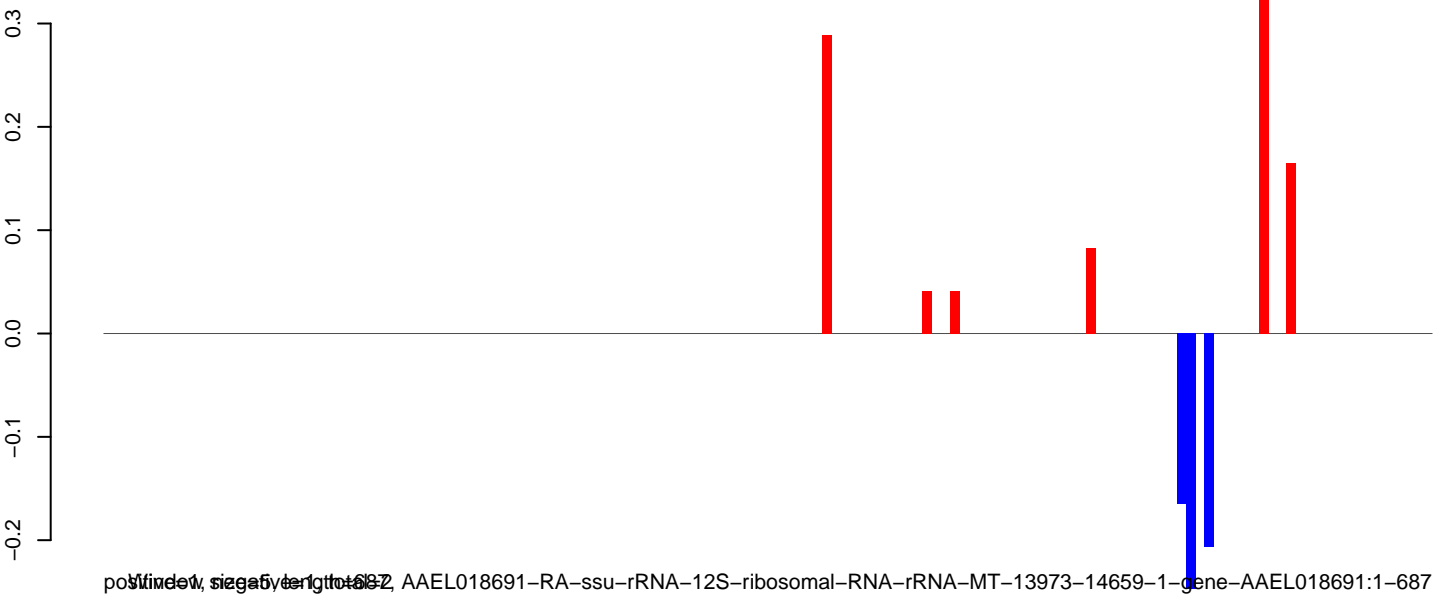
AeAlbo_U4.4_SINV_GFP.18_23.rep



AeAlbo_U4.4_SINV_GFP.24_35.rep



AeAlbo_U4.4_SINV_GFP.rep



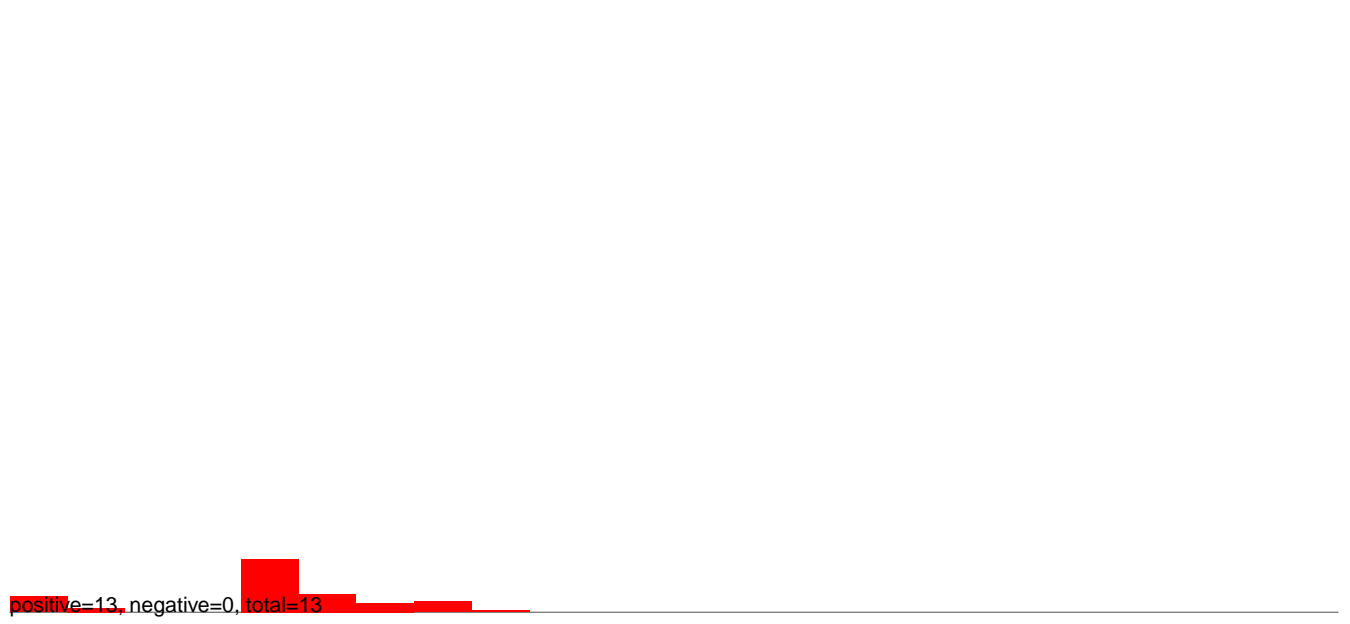
Window size: 50 bp, step: 10 bp, AAEL018691-RA-ssu-rRNA-12S-ribosomal-RNA-rRNA-MT-13973-14659-1-gene-AAEL018691:1-687

0 200 400 600

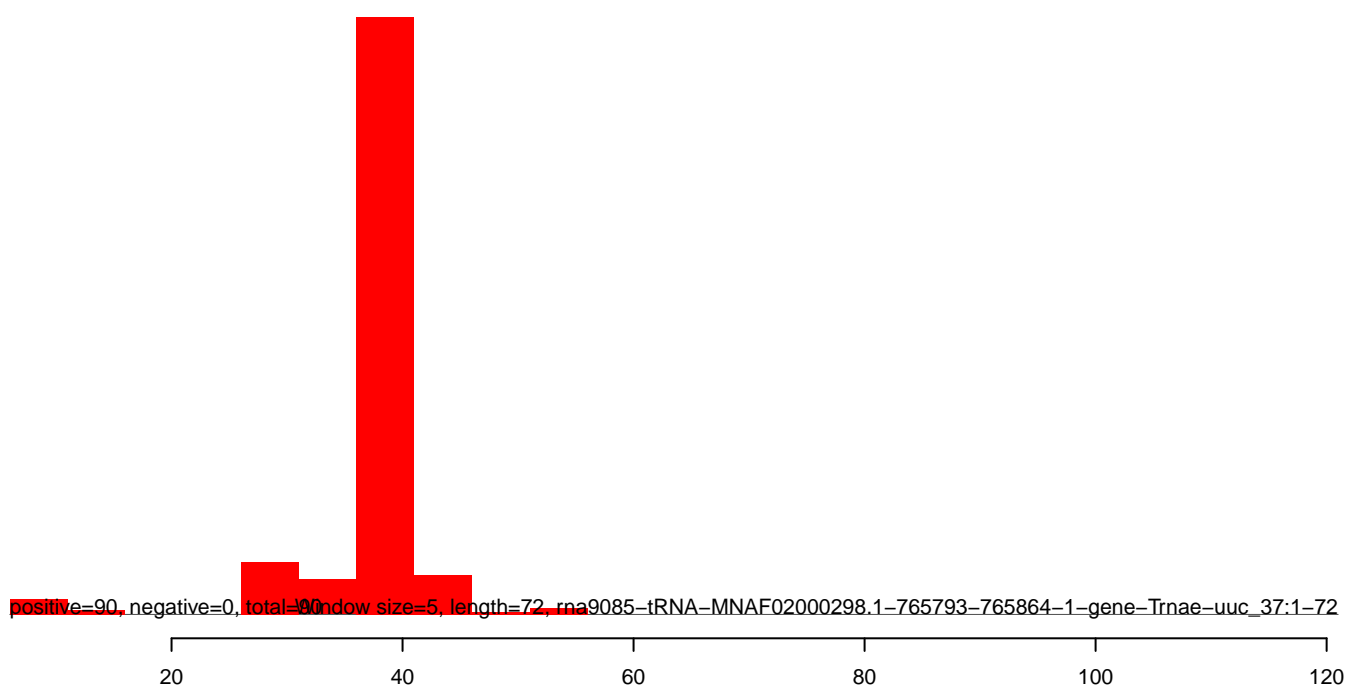
AeAlbo_U4.4_SINV_GFP.18_23.rep



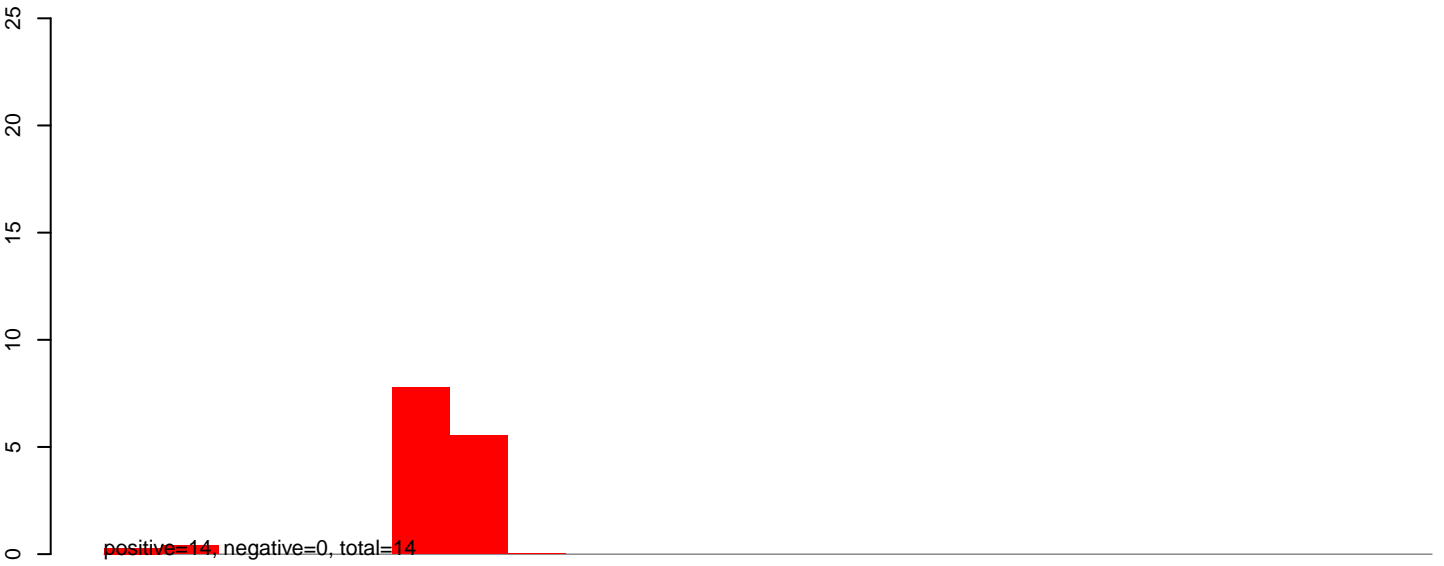
AeAlbo_U4.4_SINV_GFP.24_35.rep



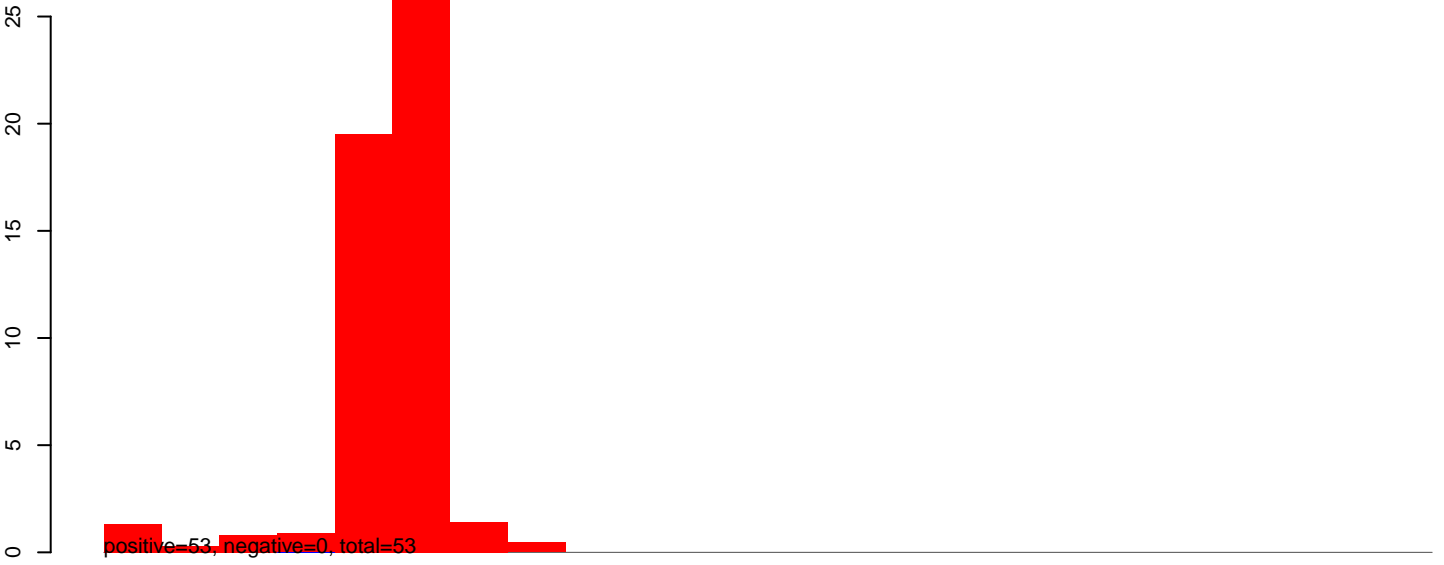
AeAlbo_U4.4_SINV_GFP.rep



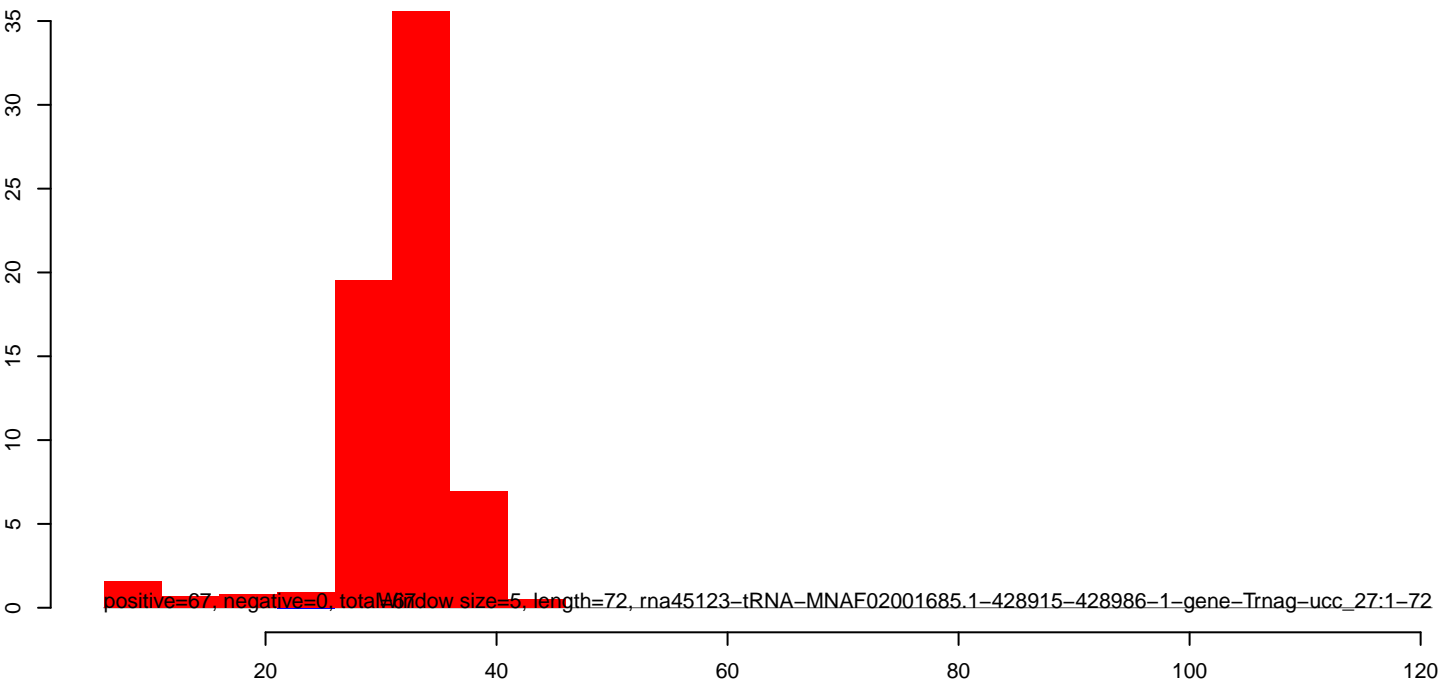
AeAlbo_U4.4_SINV_GFP.18_23.rep



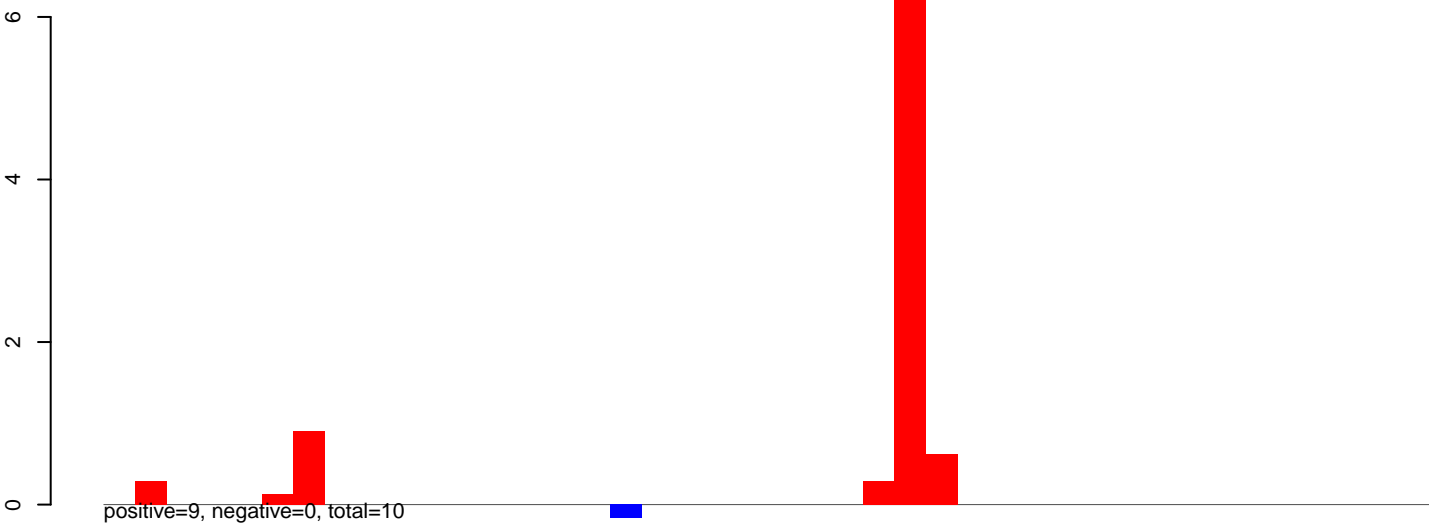
AeAlbo_U4.4_SINV_GFP.24_35.rep



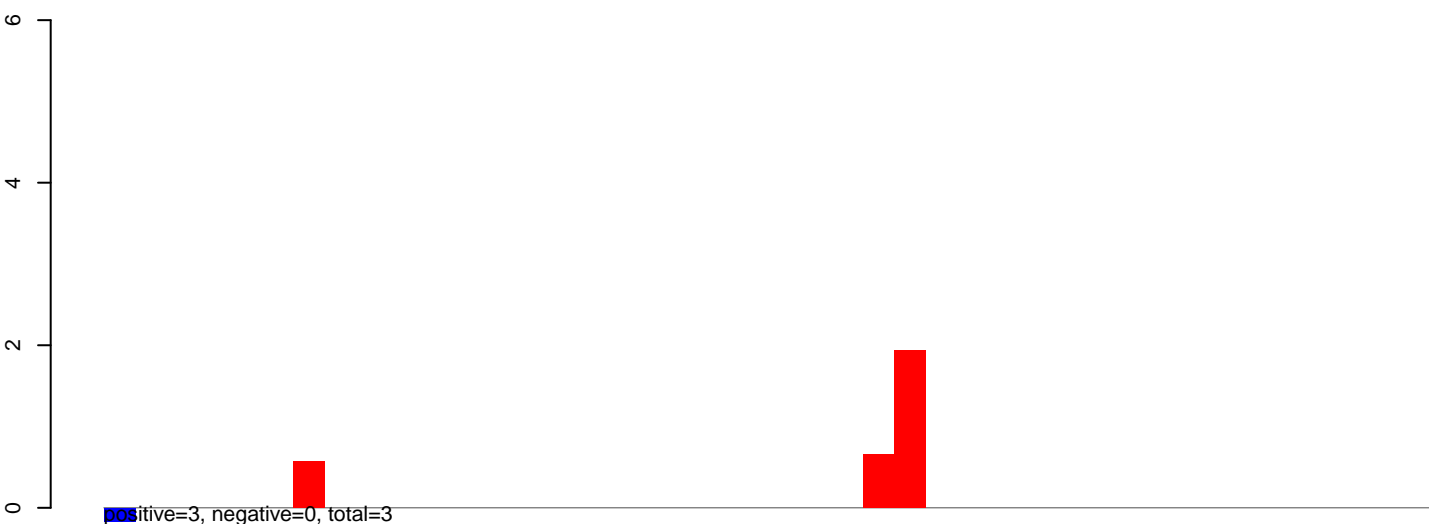
AeAlbo_U4.4_SINV_GFP.rep



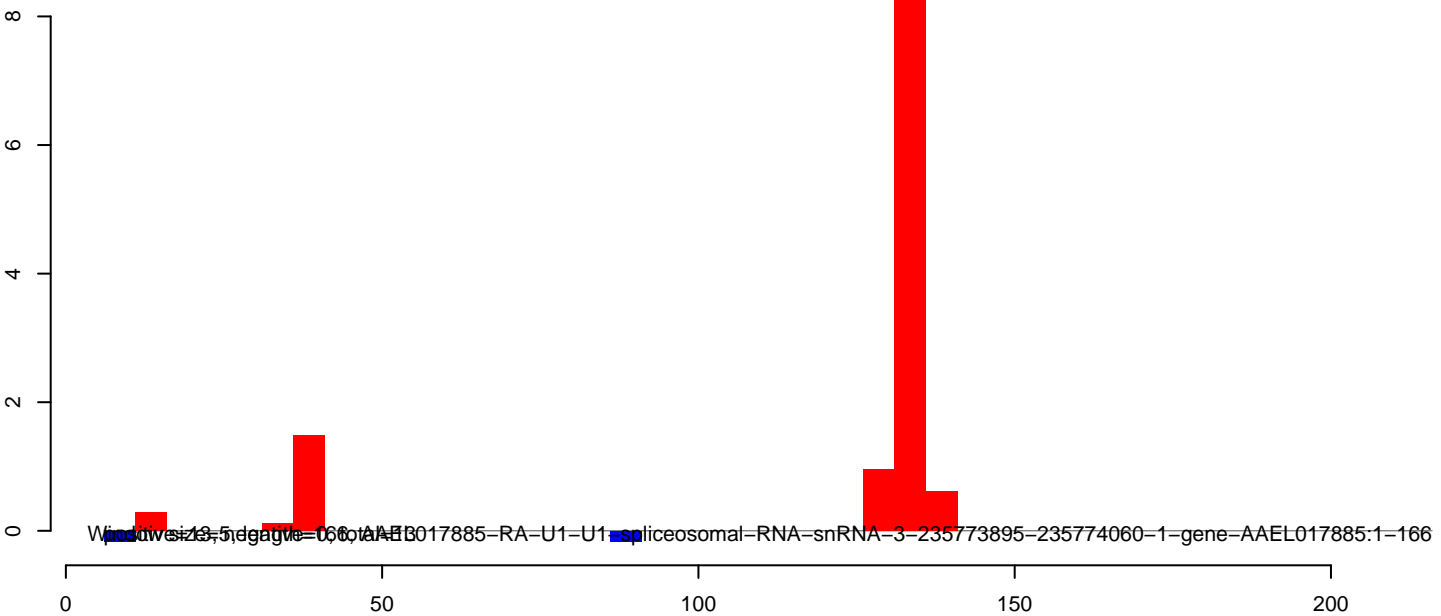
AeAlbo_U4.4_SINV_GFP.18_23.rep



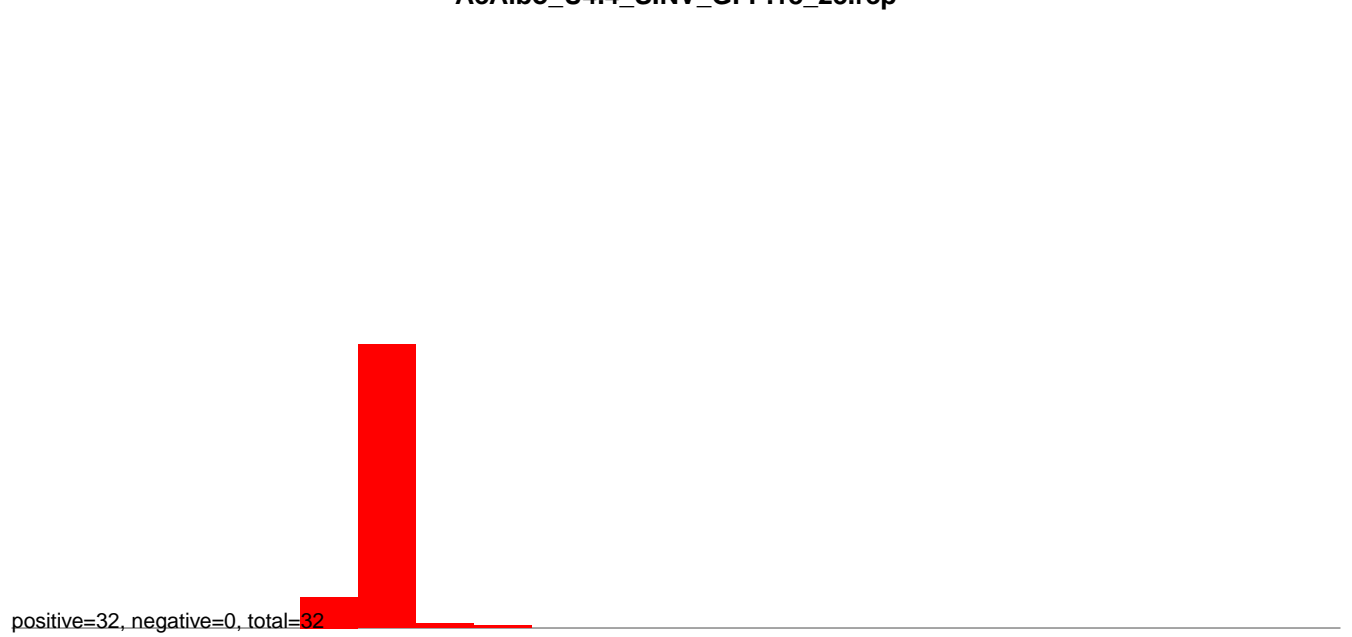
AeAlbo_U4.4_SINV_GFP.24_35.rep



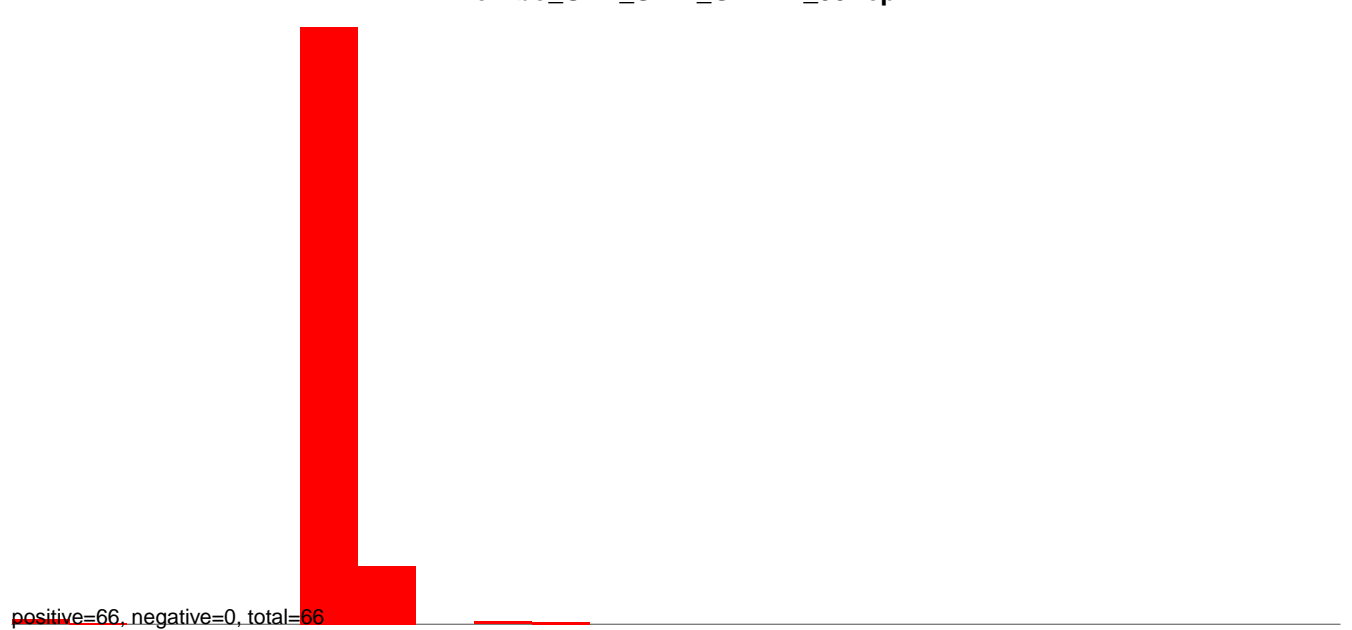
AeAlbo_U4.4_SINV_GFP.rep



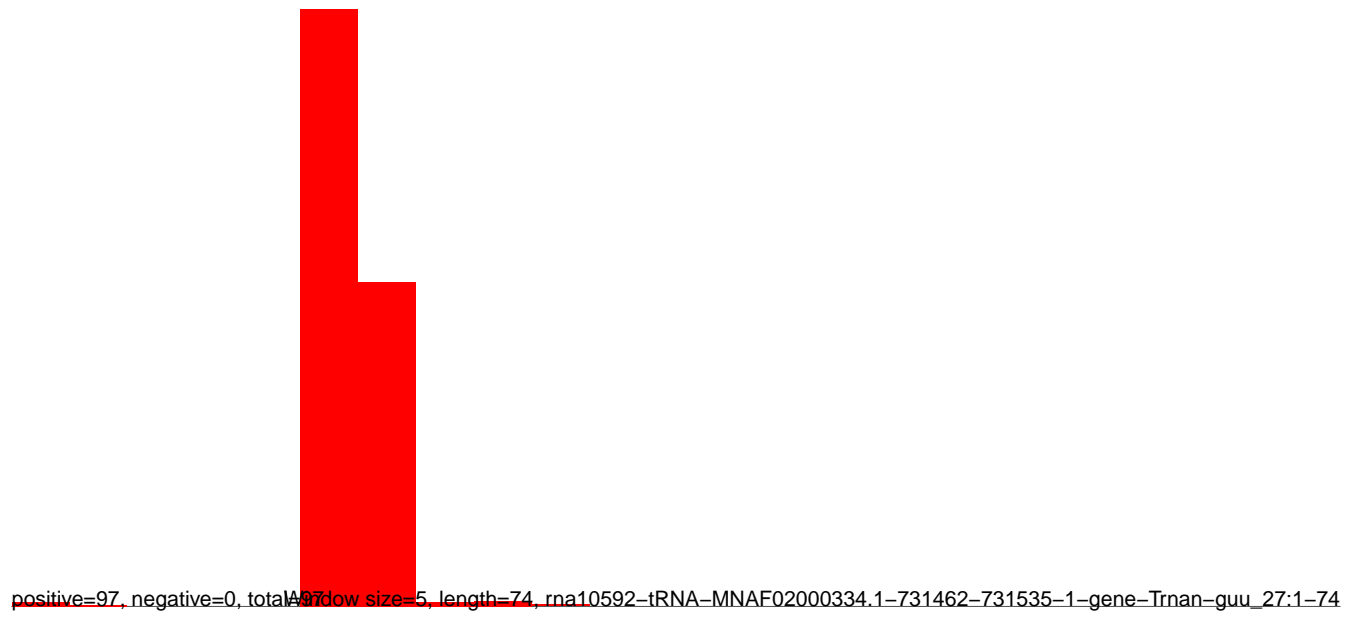
AeAlbo_U4.4_SINV_GFP.18_23.rep



AeAlbo_U4.4_SINV_GFP.24_35.rep

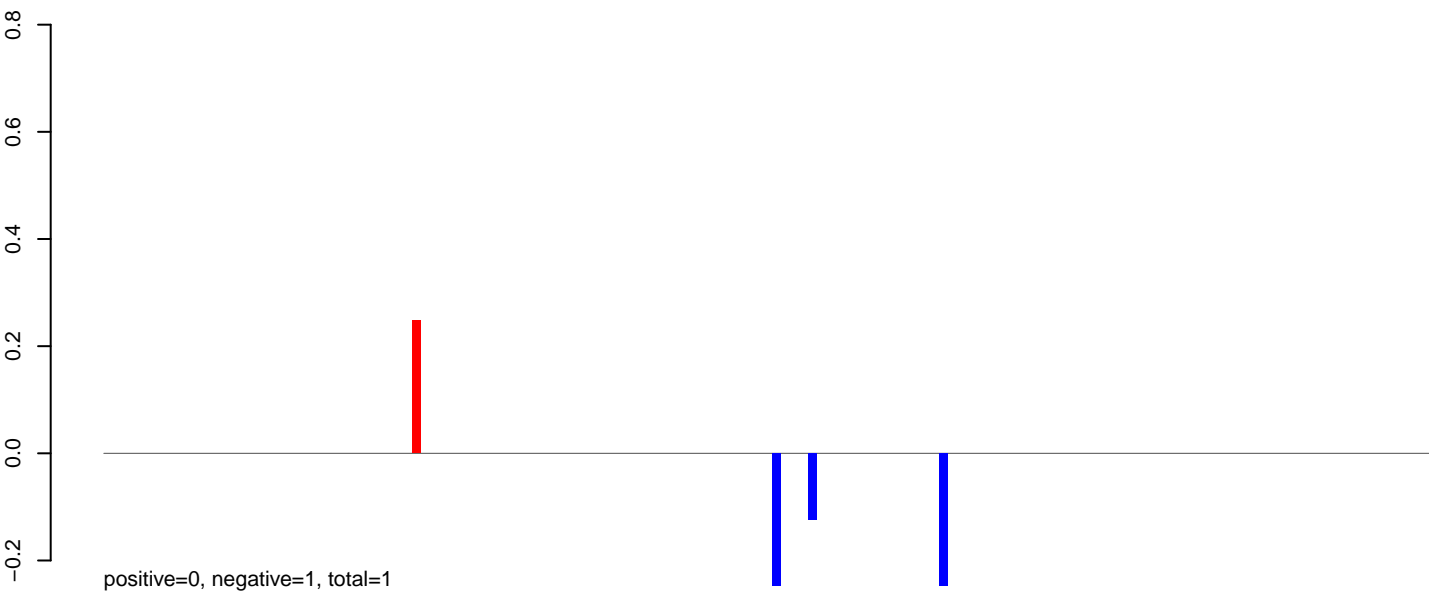


AeAlbo_U4.4_SINV_GFP.rep

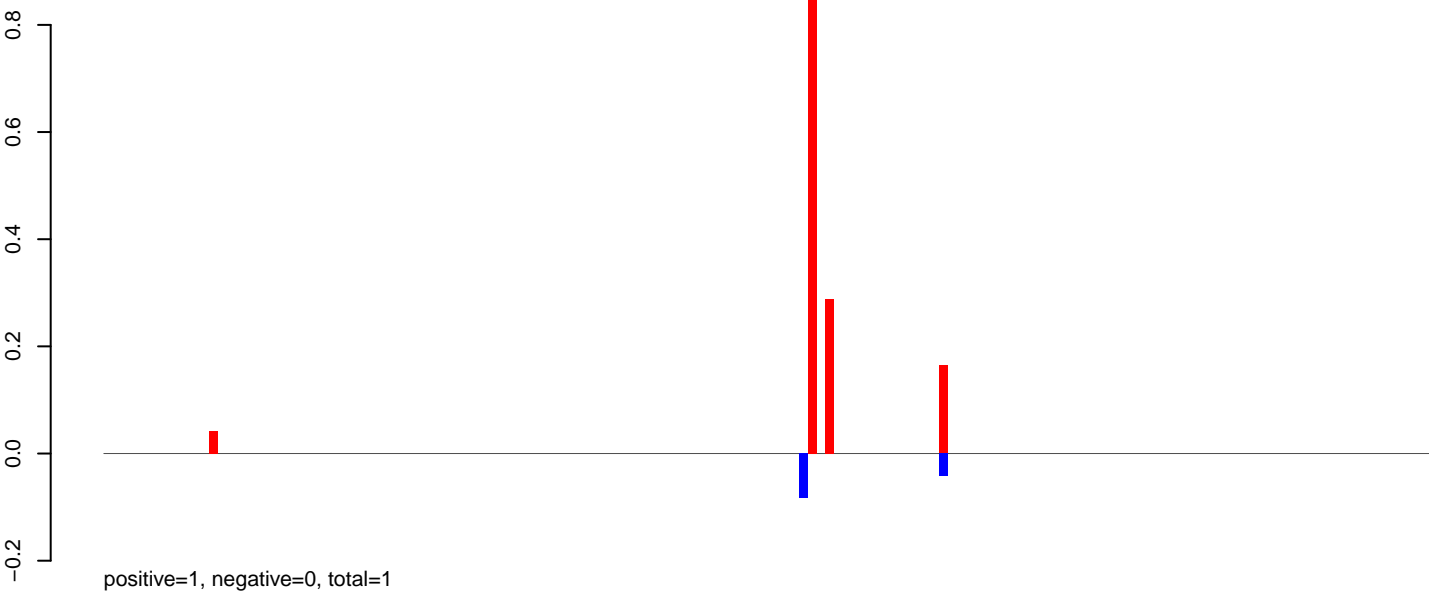


20 40 60 80 100 120

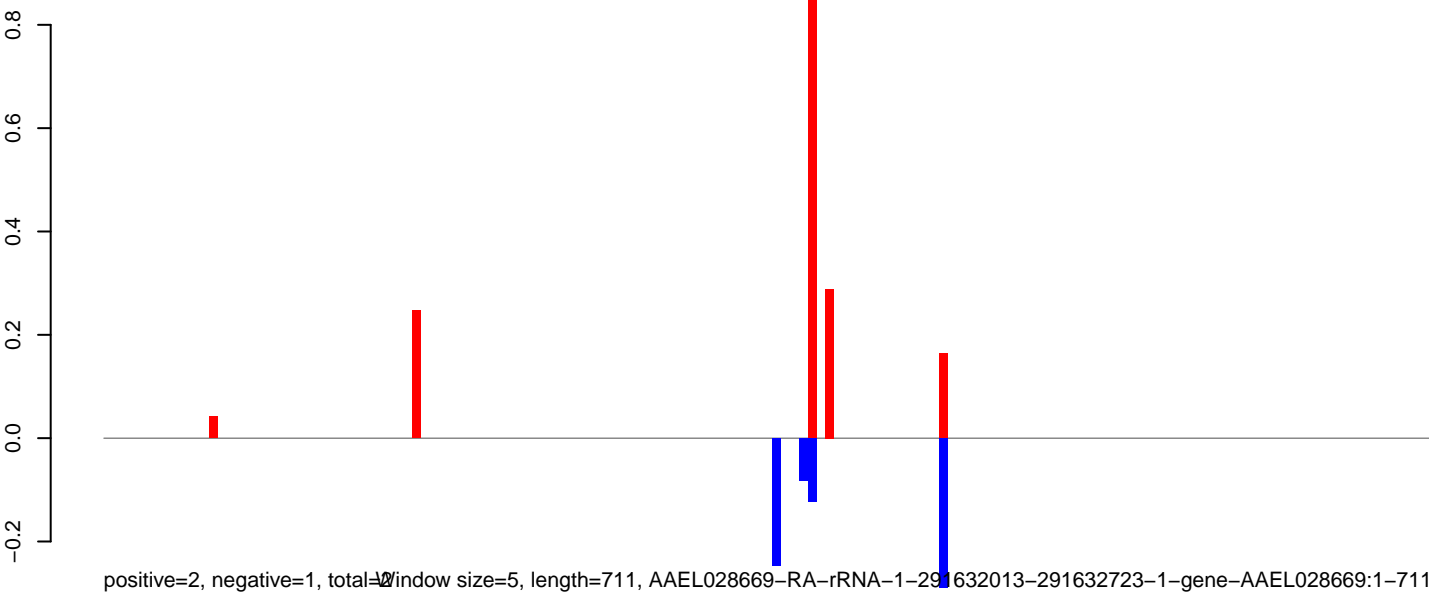
AeAlbo_U4.4_SINV_GFP.18_23.rep



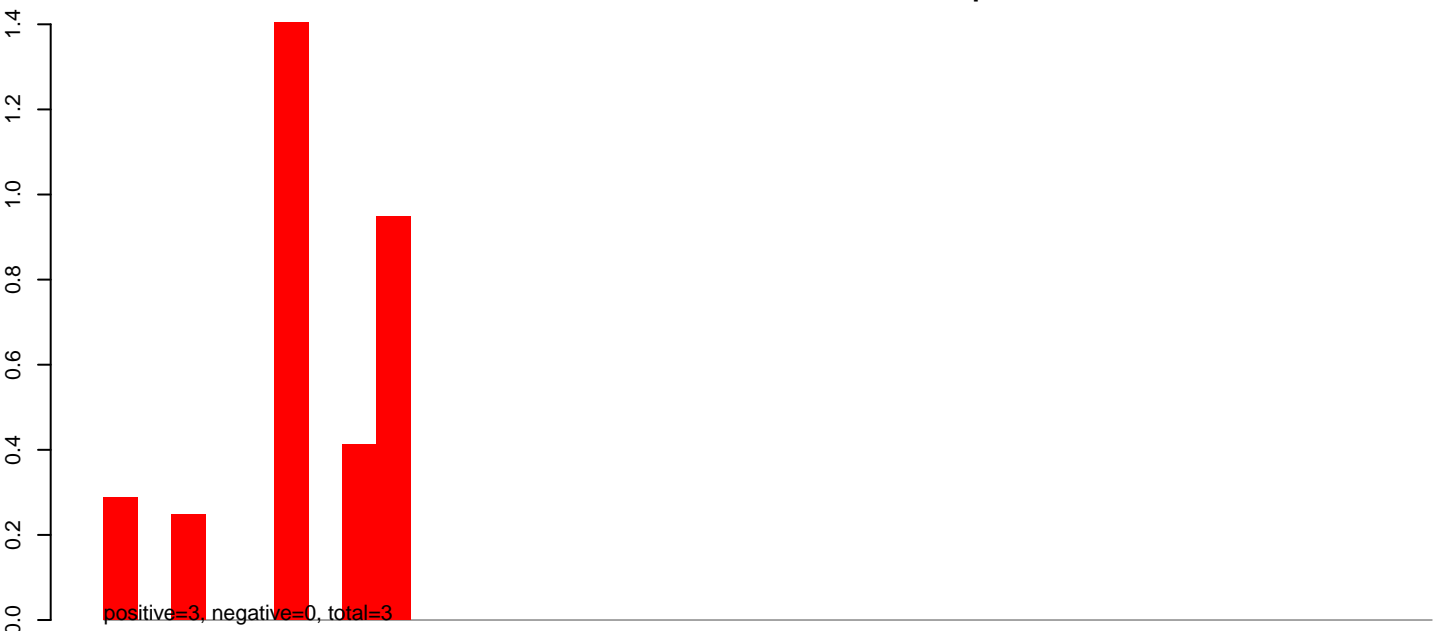
AeAlbo_U4.4_SINV_GFP.24_35.rep



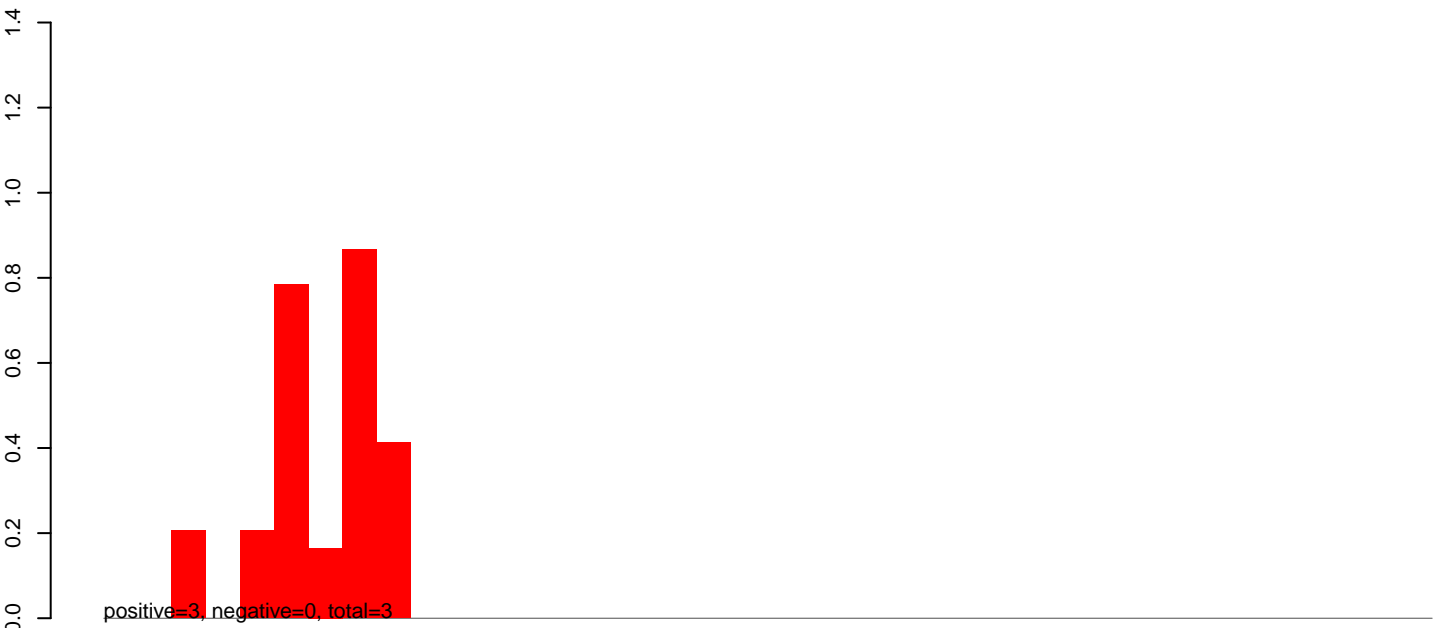
AeAlbo_U4.4_SINV_GFP.rep



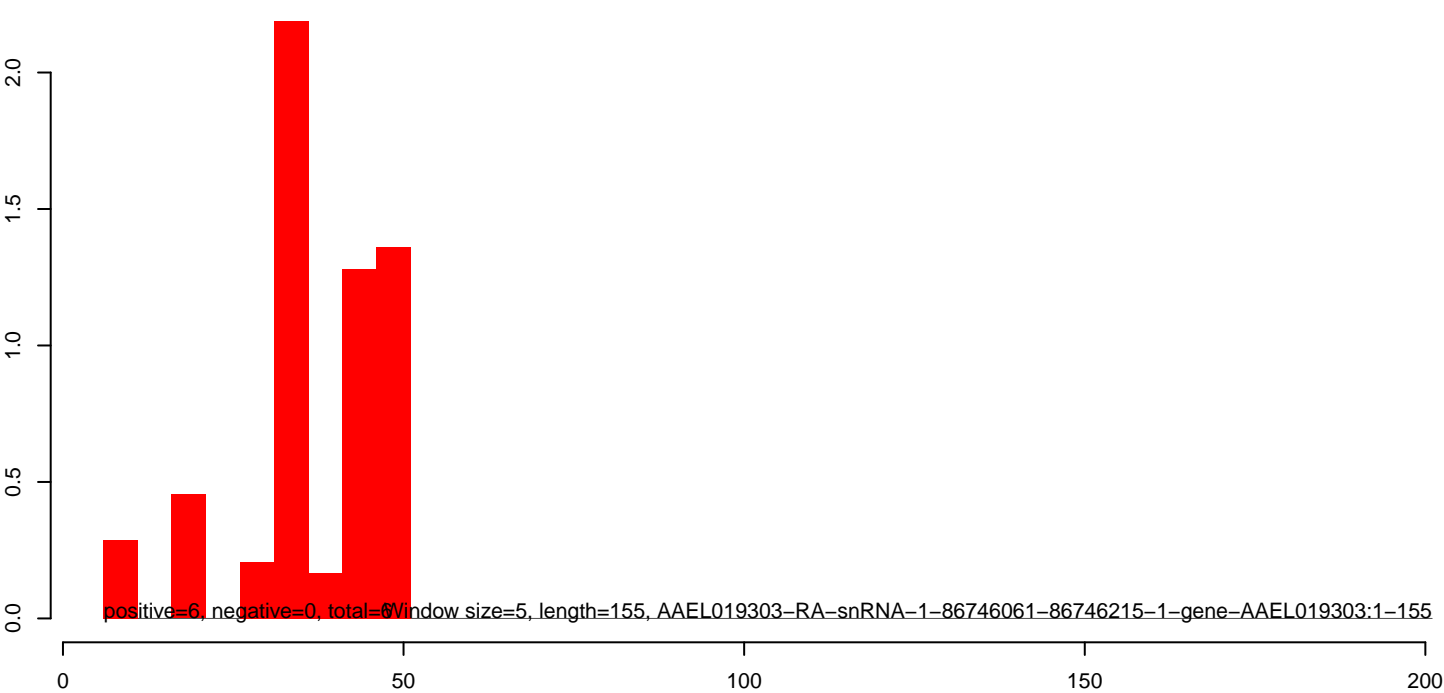
AeAlbo_U4.4_SINV_GFP.18_23.rep



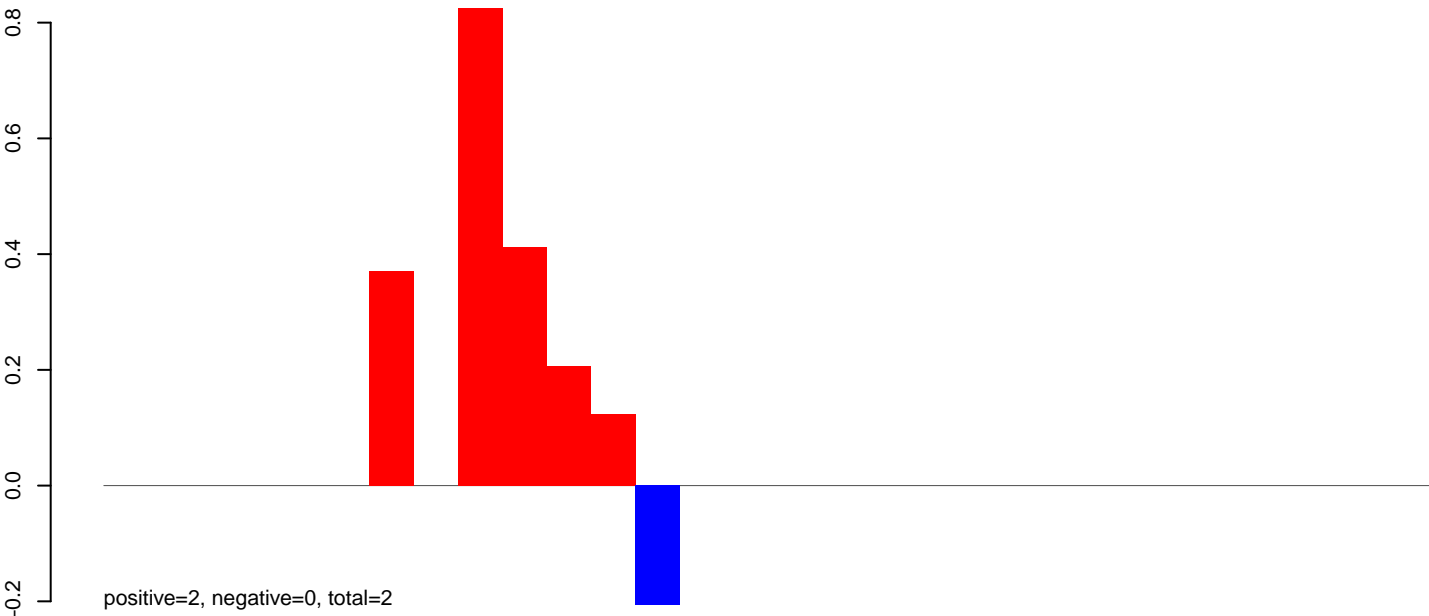
AeAlbo_U4.4_SINV_GFP.24_35.rep



AeAlbo_U4.4_SINV_GFP.rep



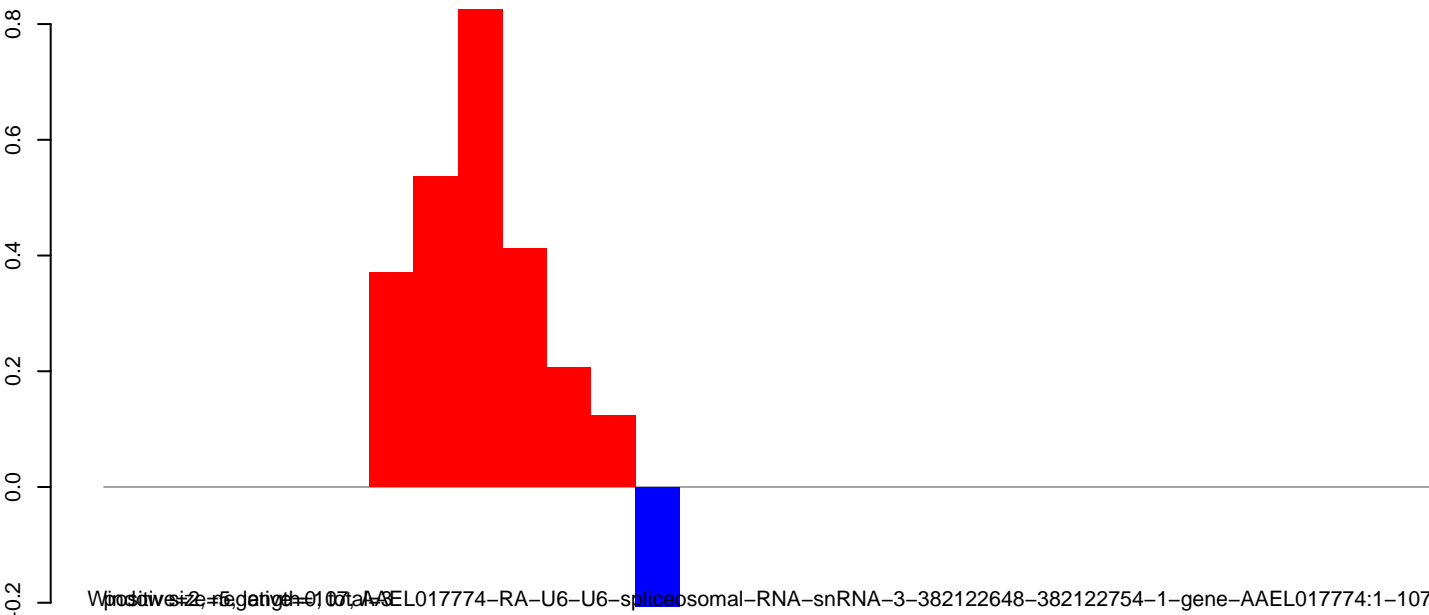
AeAlbo_U4.4_SINV_GFP.18_23.rep



AeAlbo_U4.4_SINV_GFP.24_35.rep

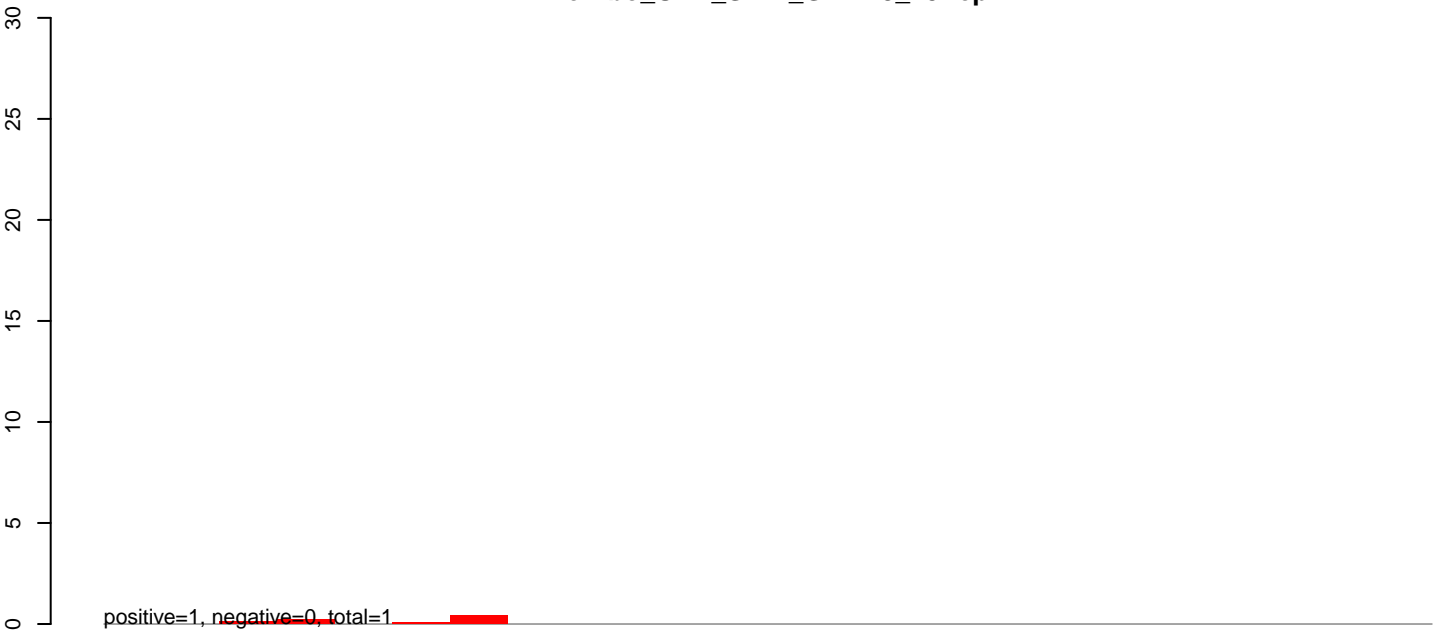


AeAlbo_U4.4_SINV_GFP.rep



Worm size, gene=AAEL017774-RA-U6-U6-spliceosomal-RNA-snRNA-3-382122648-382122754-1-gene-AAEL017774:1-107

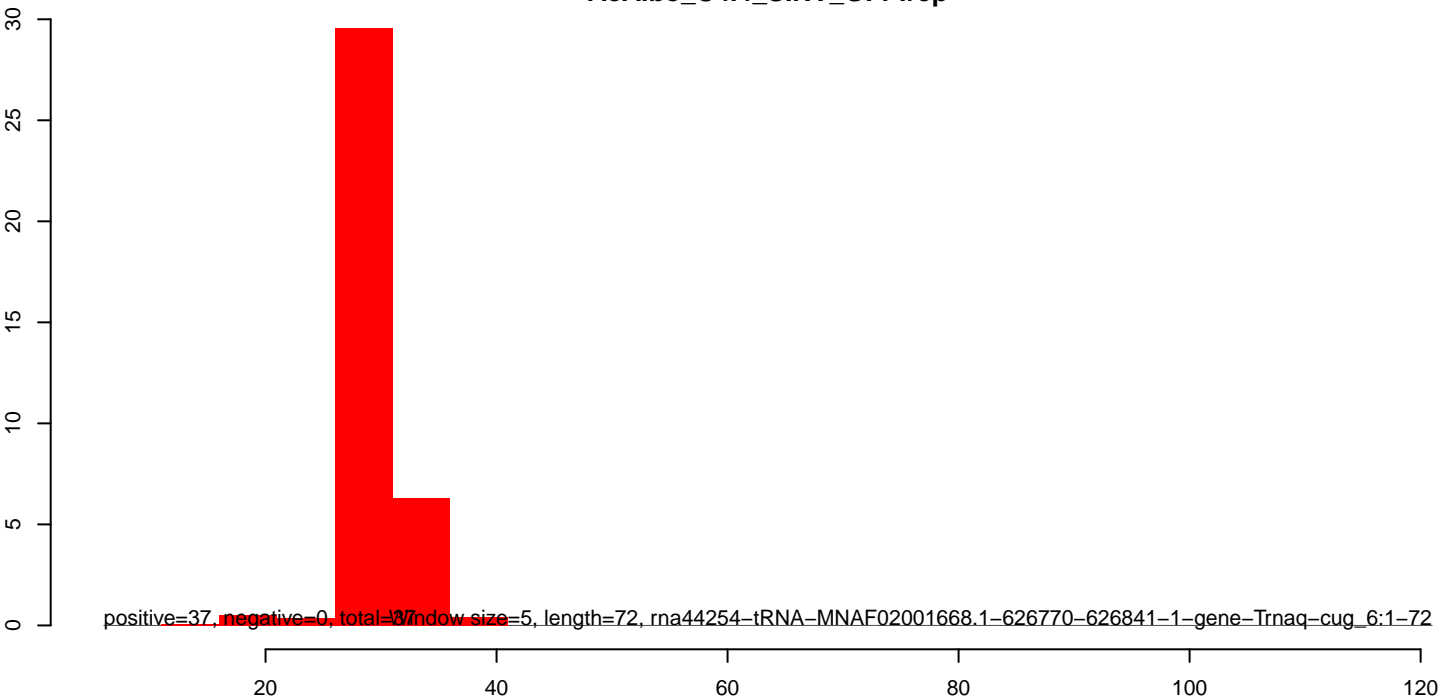
AeAlbo_U4.4_SINV_GFP.18_23.rep



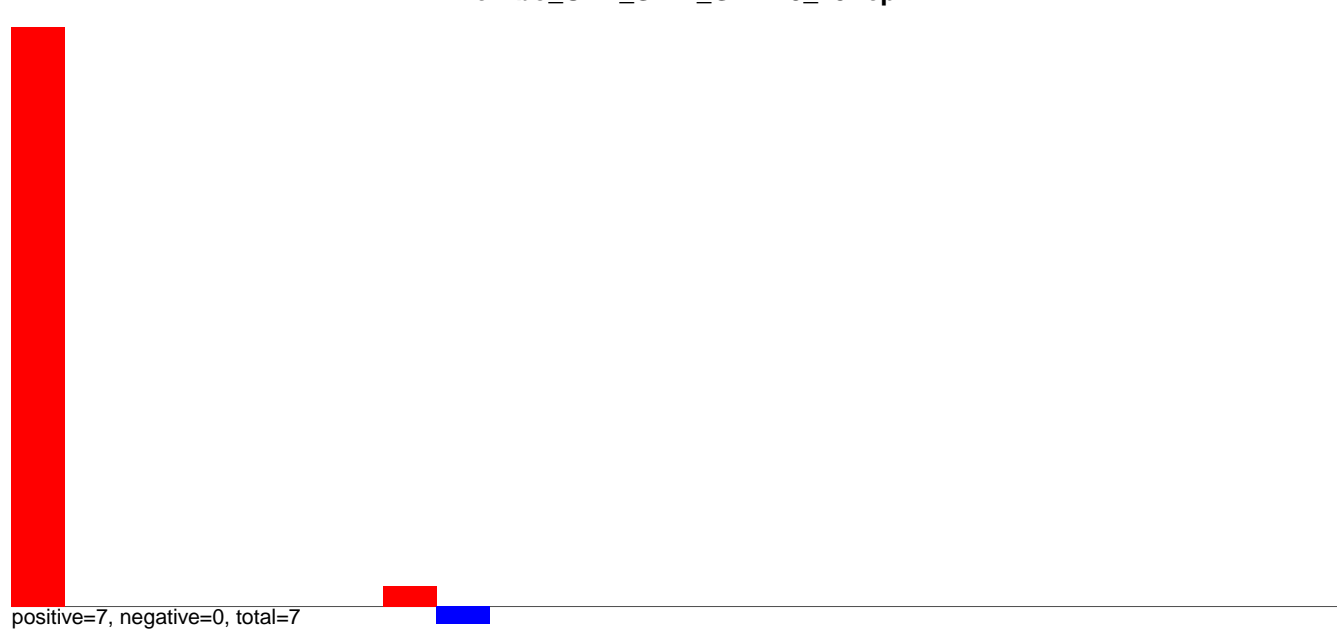
AeAlbo_U4.4_SINV_GFP.24_35.rep



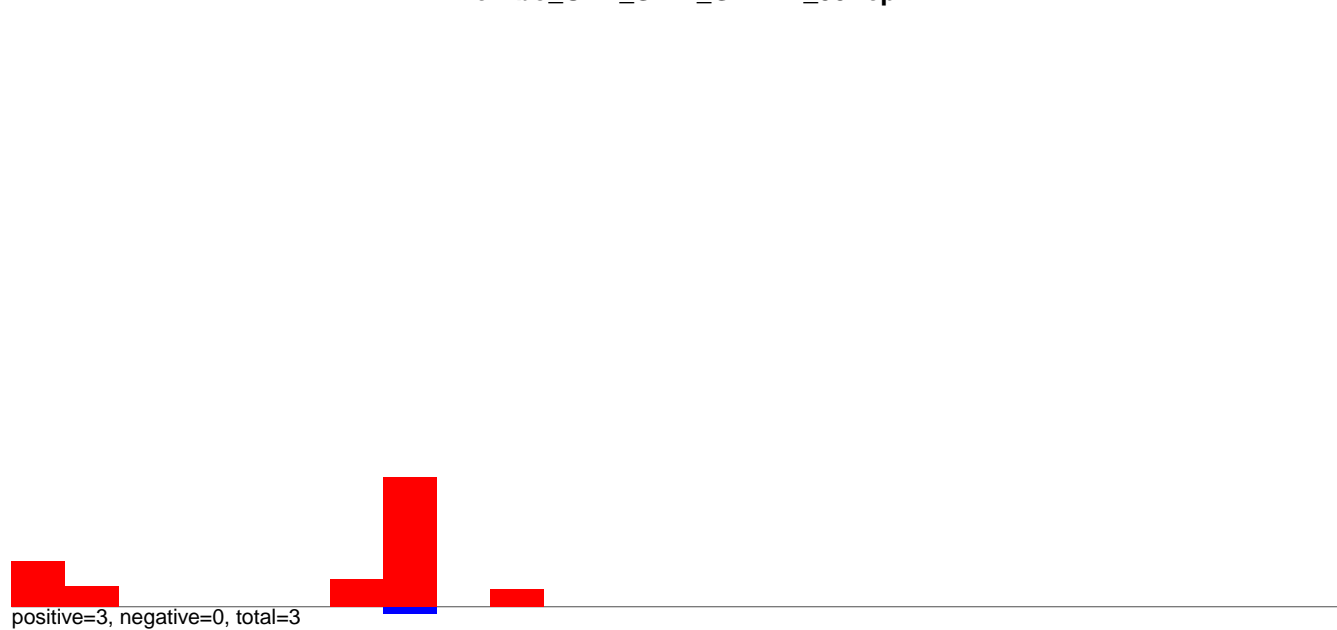
AeAlbo_U4.4_SINV_GFP.rep



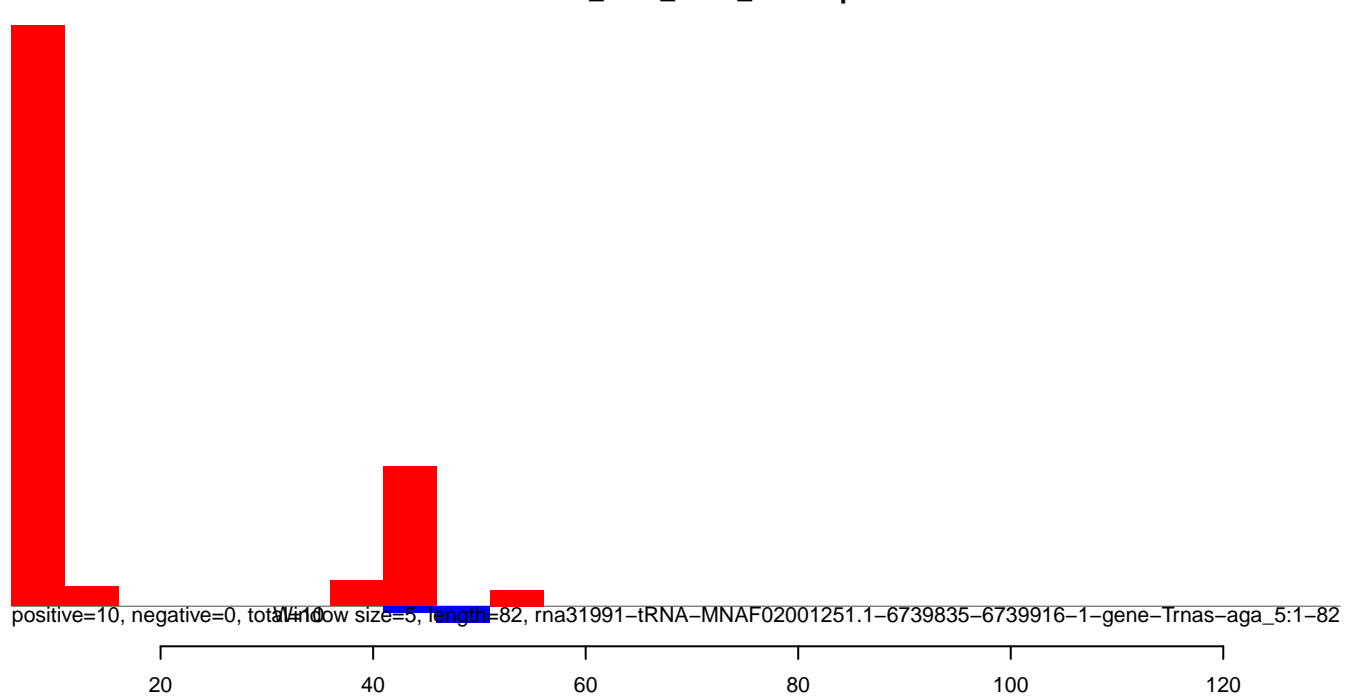
AeAlbo_U4.4_SINV_GFP.18_23.rep



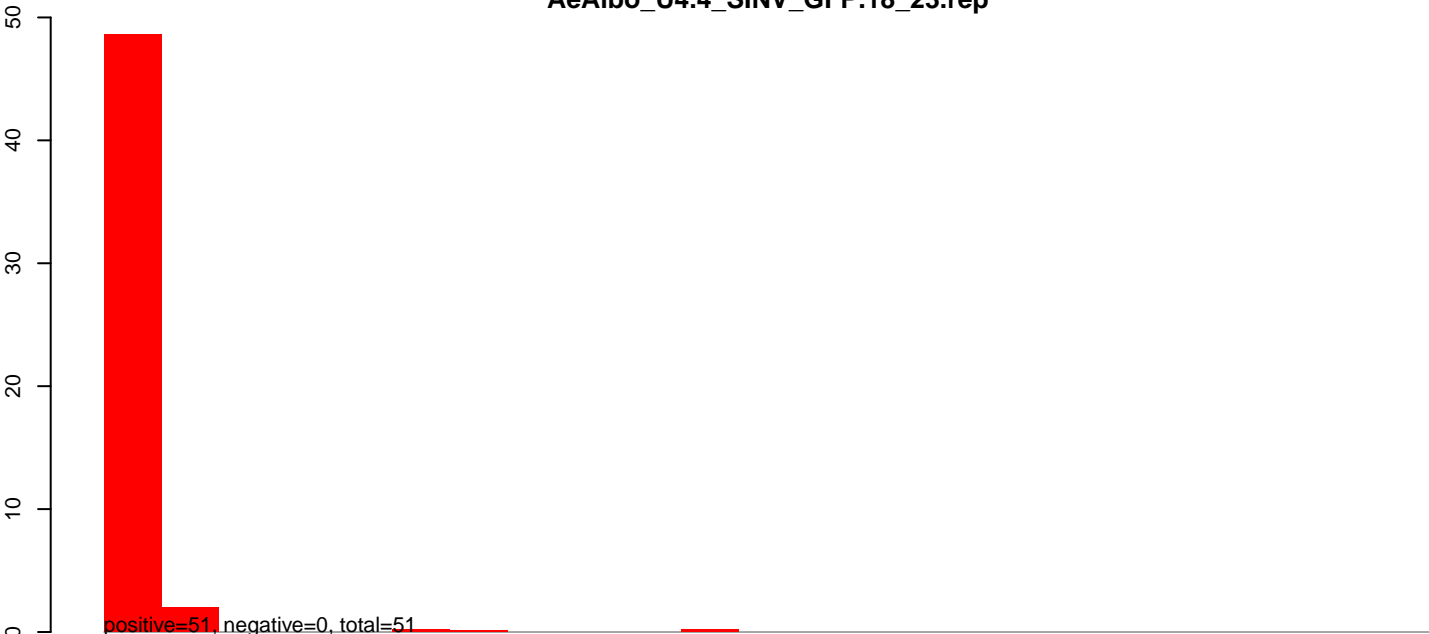
AeAlbo_U4.4_SINV_GFP.24_35.rep



AeAlbo_U4.4_SINV_GFP.rep



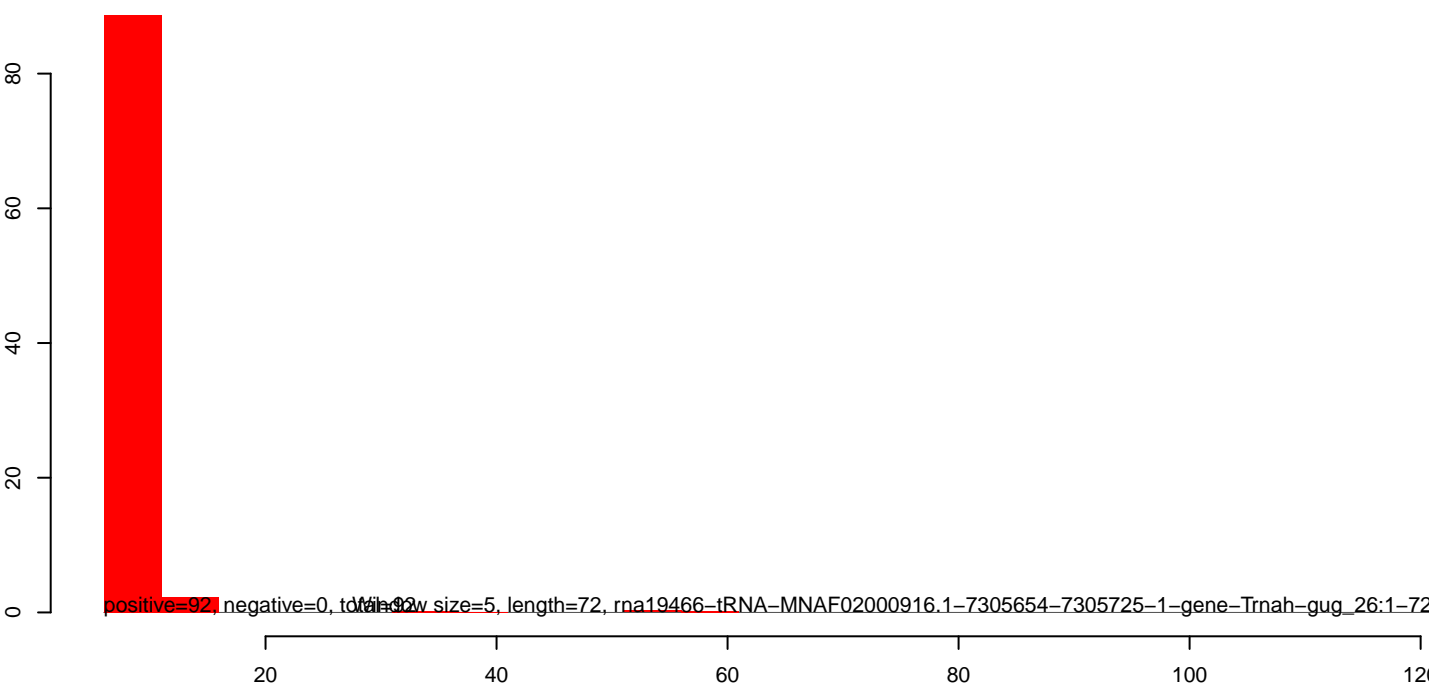
AeAlbo_U4.4_SINV_GFP.18_23.rep



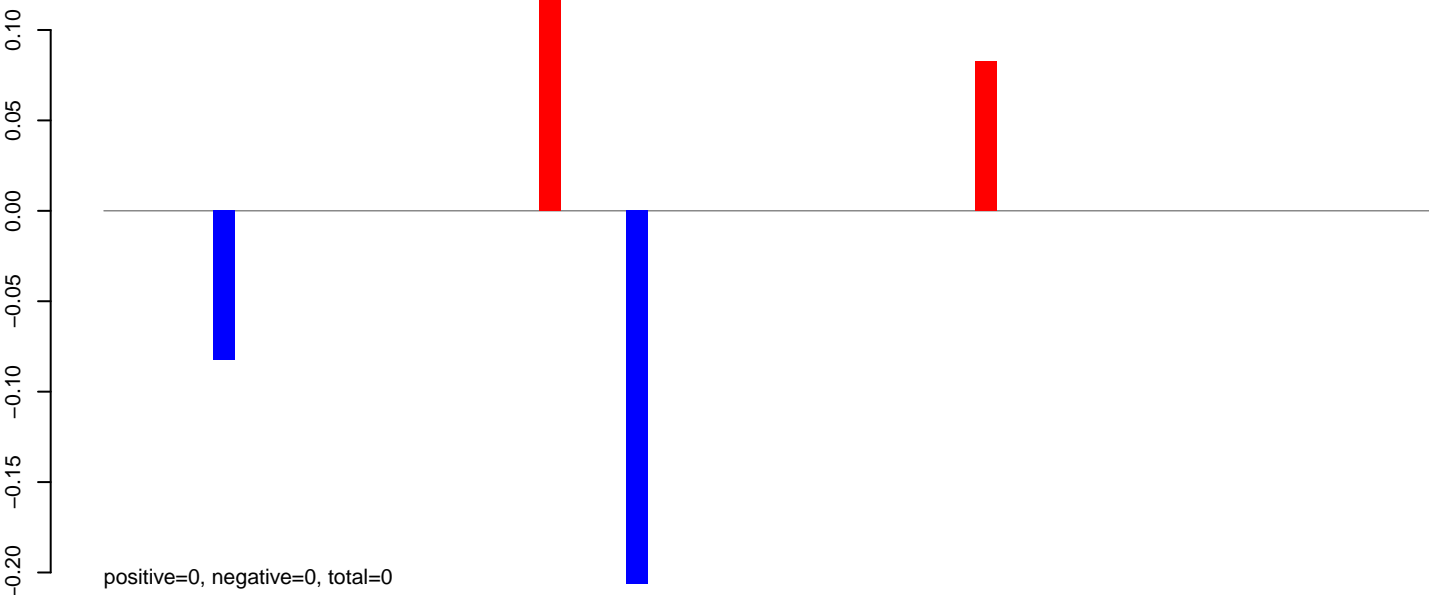
AeAlbo_U4.4_SINV_GFP.24_35.rep



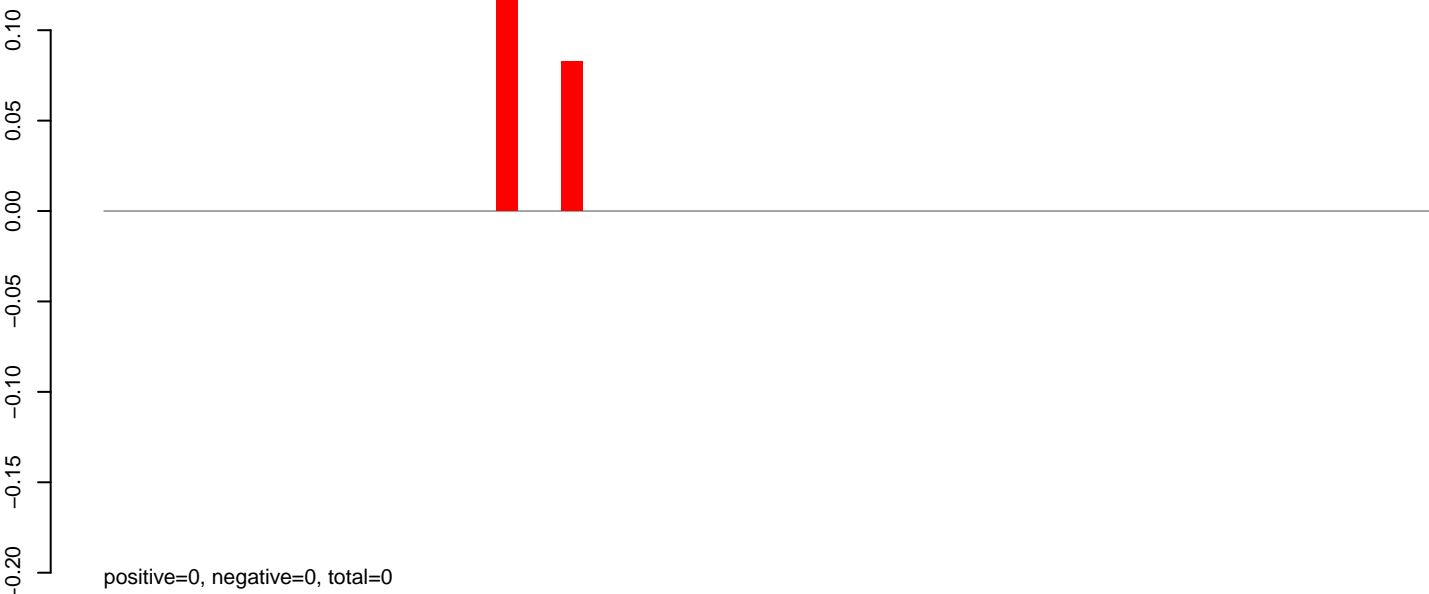
AeAlbo_U4.4_SINV_GFP.rep



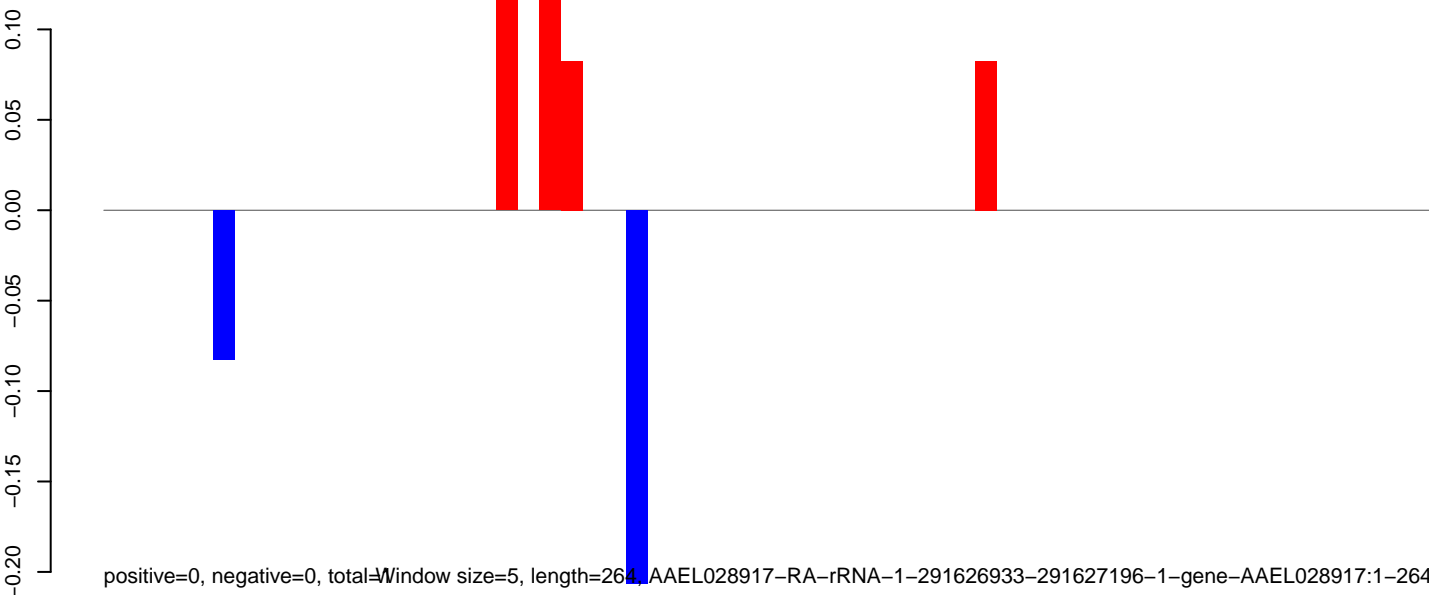
AeAlbo_U4.4_SINV_GFP.18_23.rep



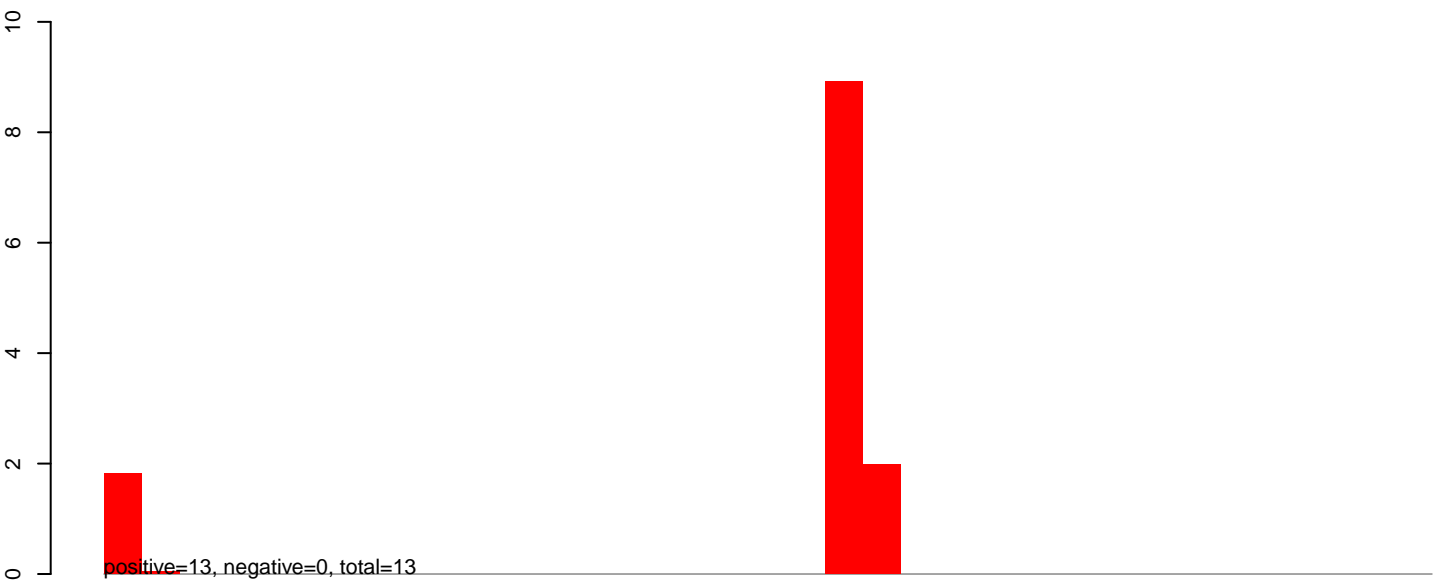
AeAlbo_U4.4_SINV_GFP.24_35.rep



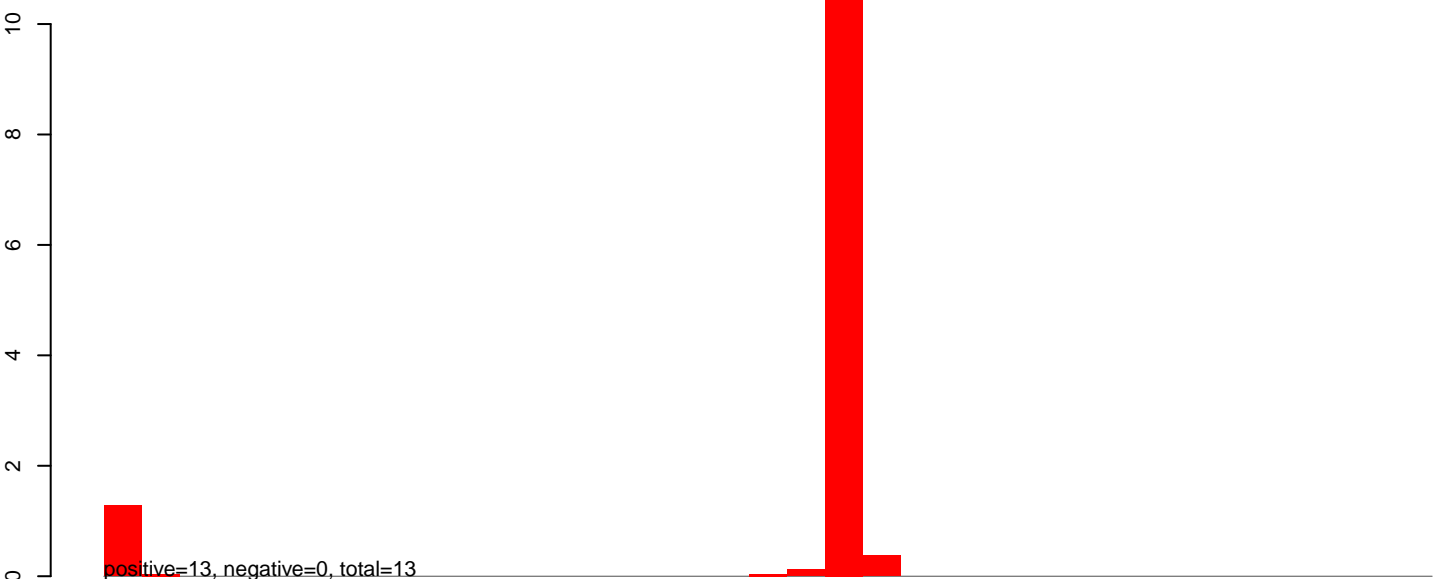
AeAlbo_U4.4_SINV_GFP.rep



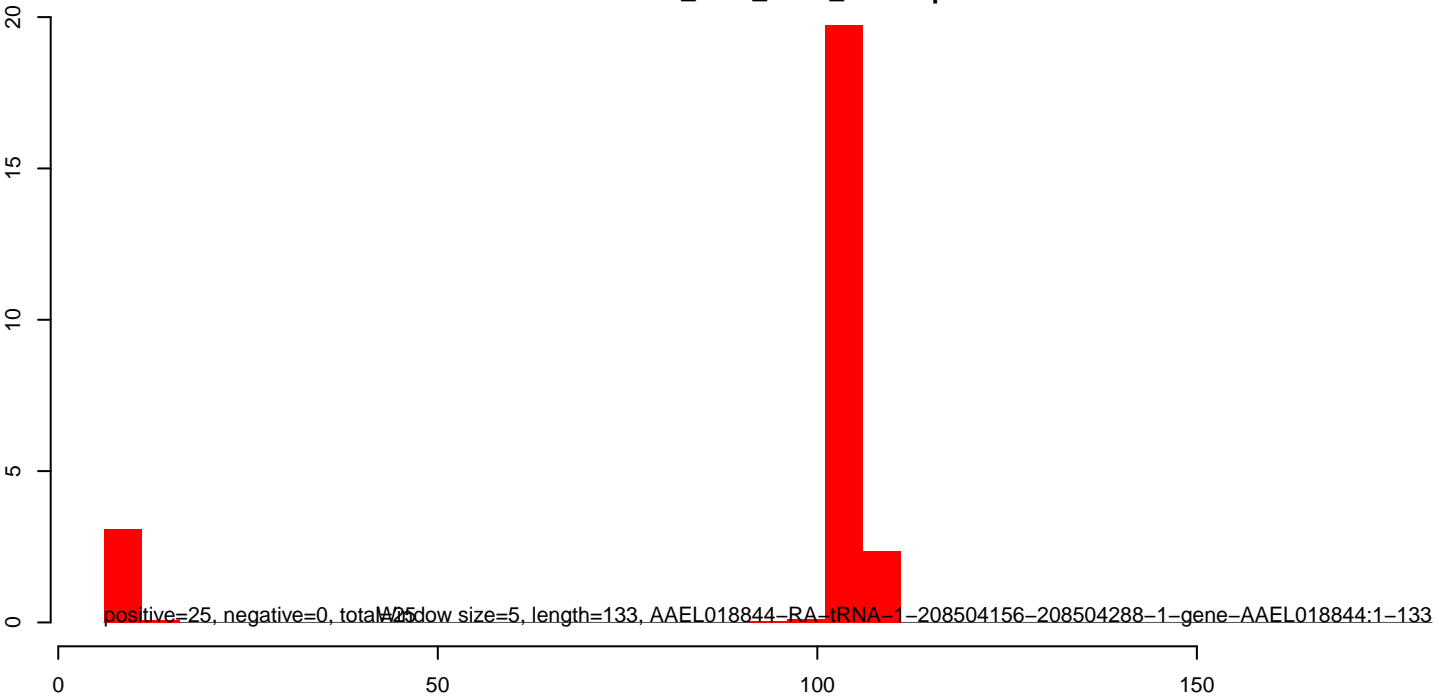
AeAlbo_U4.4_SINV_GFP.18_23.rep



AeAlbo_U4.4_SINV_GFP.24_35.rep



AeAlbo_U4.4_SINV_GFP.rep



AeAlbo_U4.4_SINV_GFP.18_23.rep

positive=312, negative=0, total=312

AeAlbo_U4.4_SINV_GFP.24_35.rep

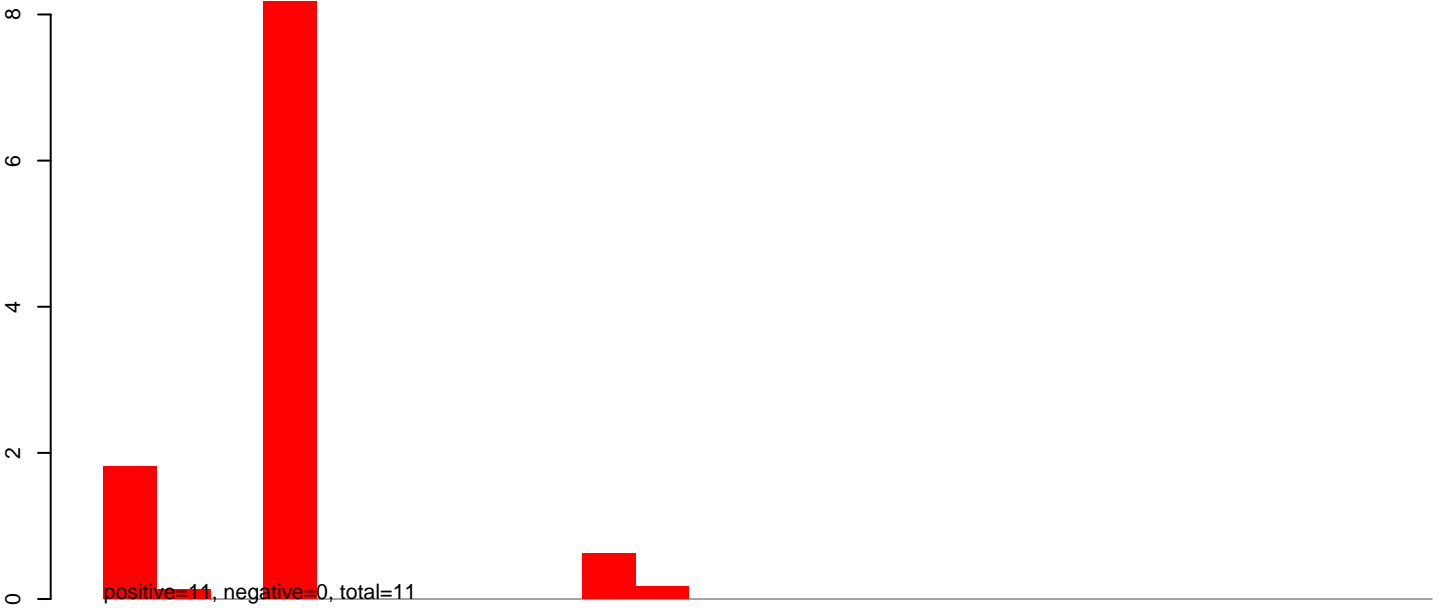
positive=4, negative=0, total=4

AeAlbo_U4.4_SINV_GFP.rep

positive=316, negative=0, total=316 size=5, length=71, rna6878-tRNA-MNAF02000224.1-1859499-1859569-1-gene-Trnap-ugg_21:1-71

20 40 60 80 100 120

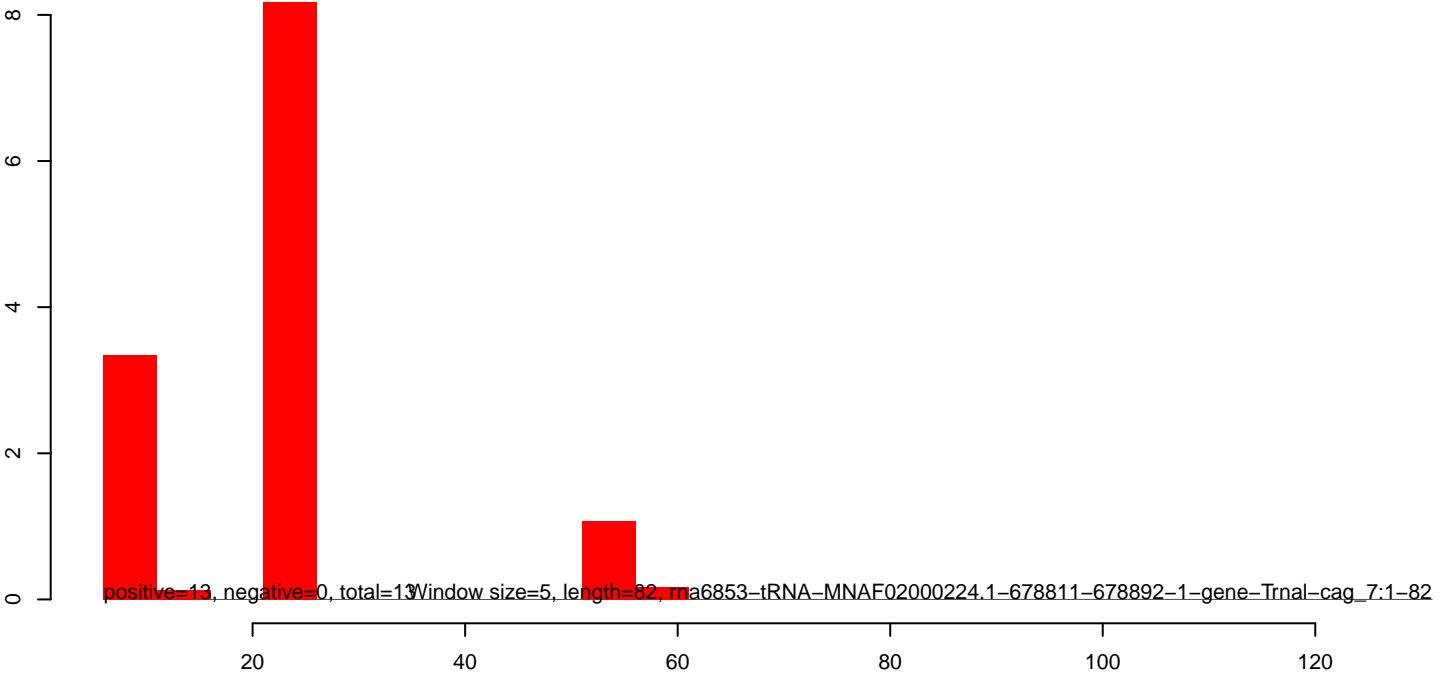
AeAlbo_U4.4_SINV_GFP.18_23.rep



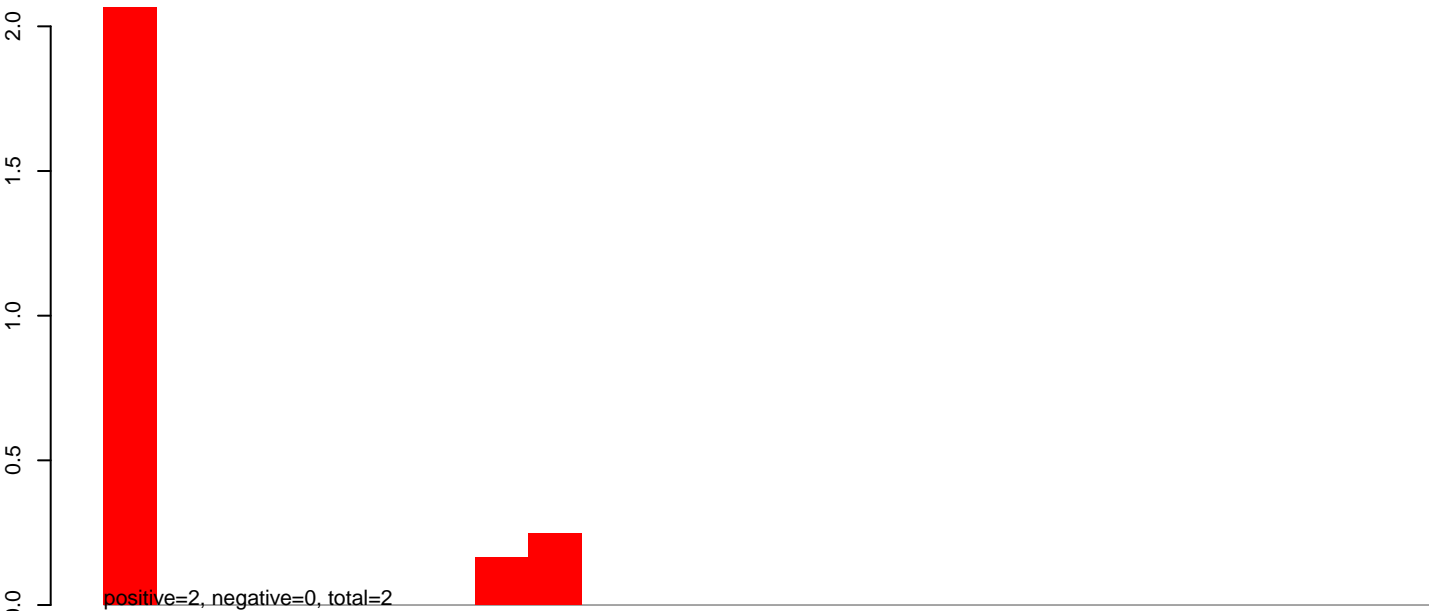
AeAlbo_U4.4_SINV_GFP.24_35.rep



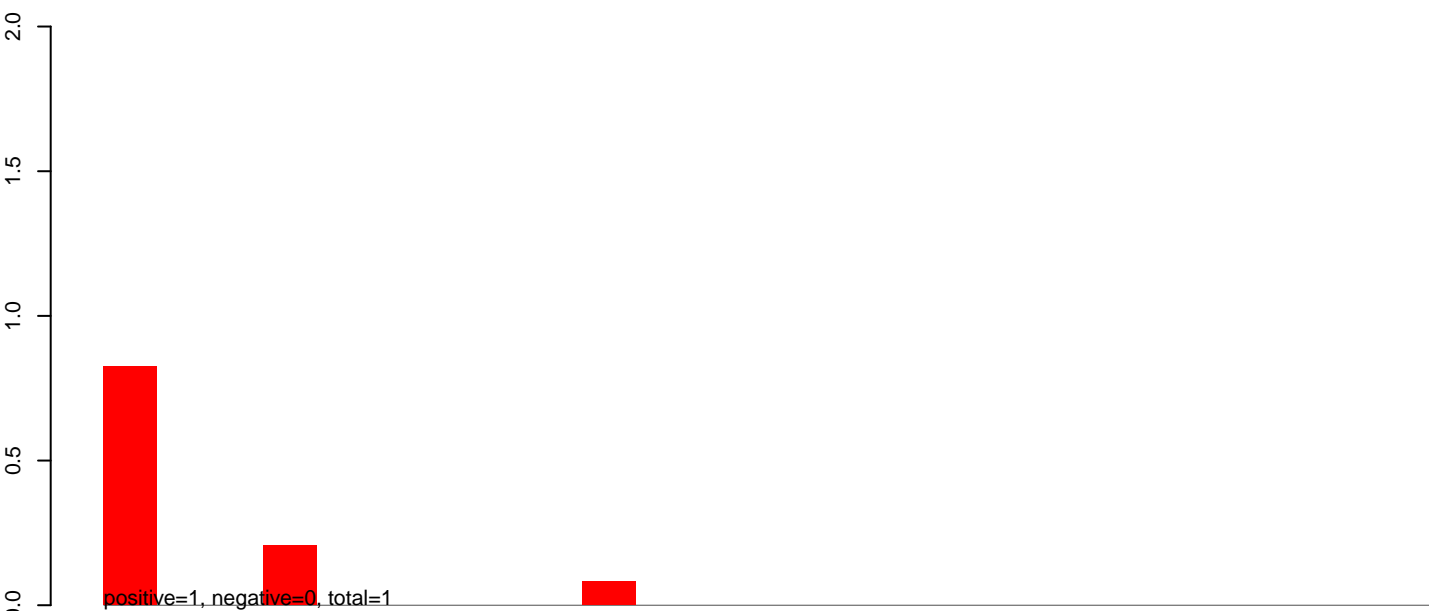
AeAlbo_U4.4_SINV_GFP.rep



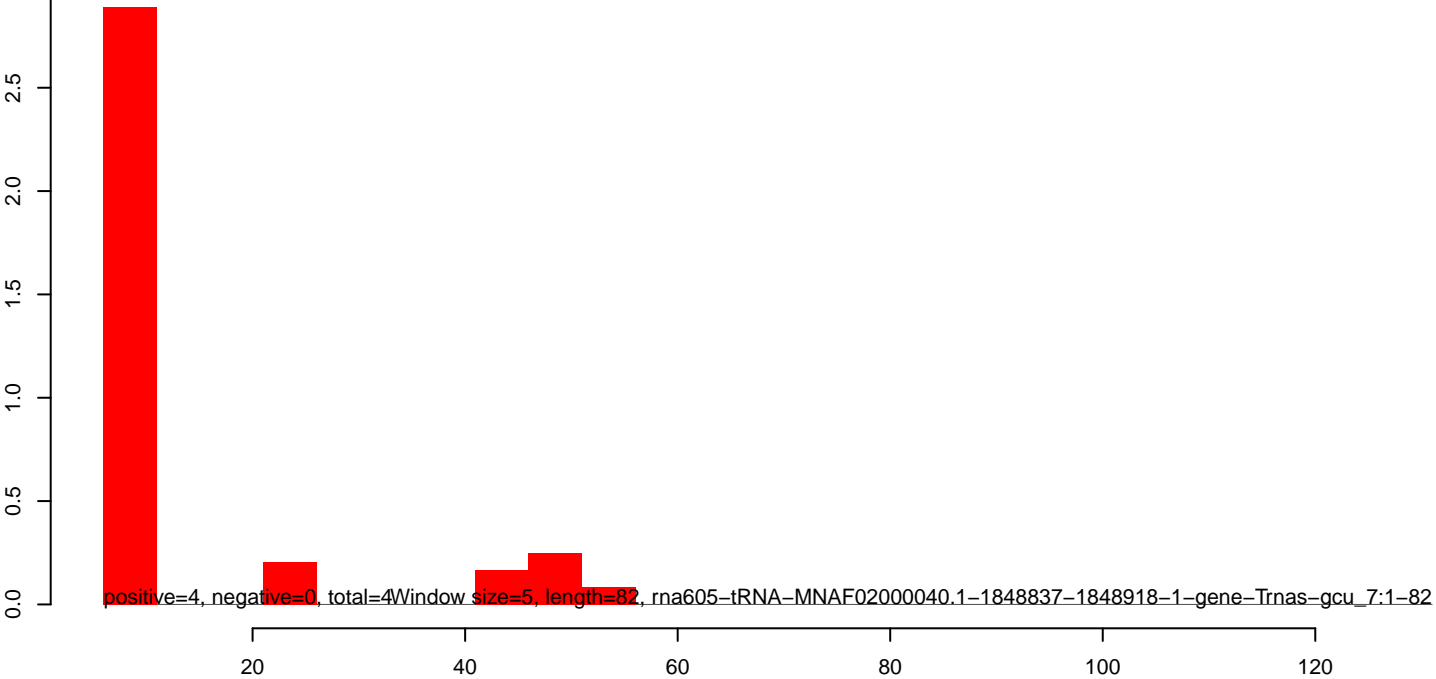
AeAlbo_U4.4_SINV_GFP.18_23.rep



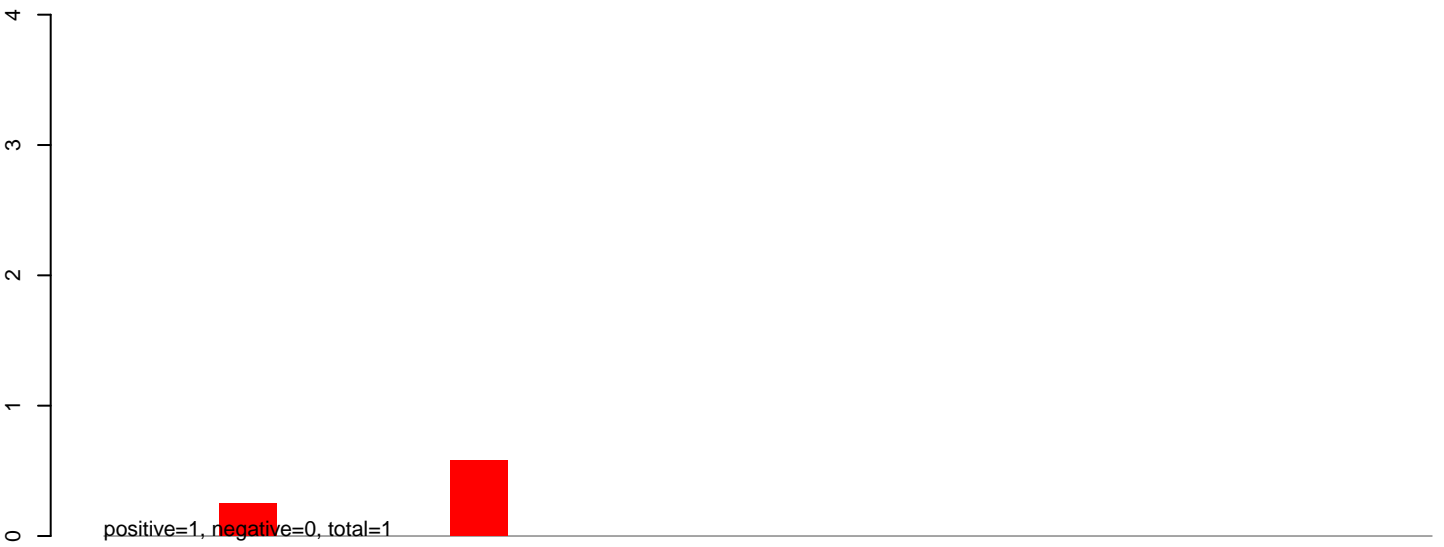
AeAlbo_U4.4_SINV_GFP.24_35.rep



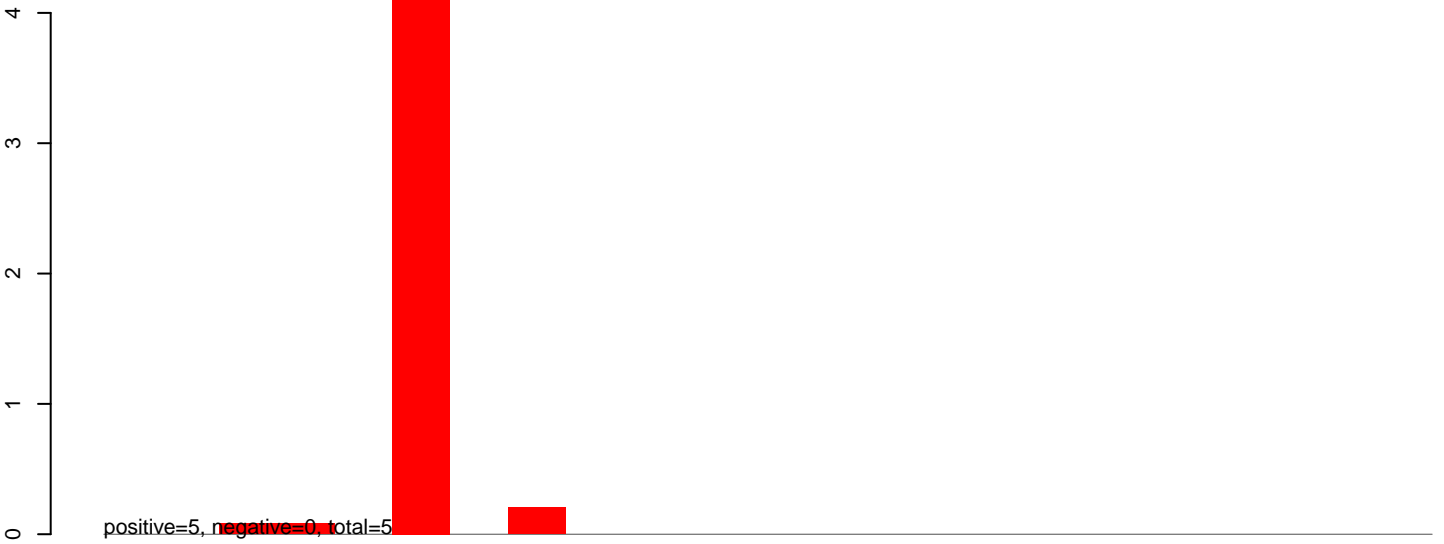
AeAlbo_U4.4_SINV_GFP.rep



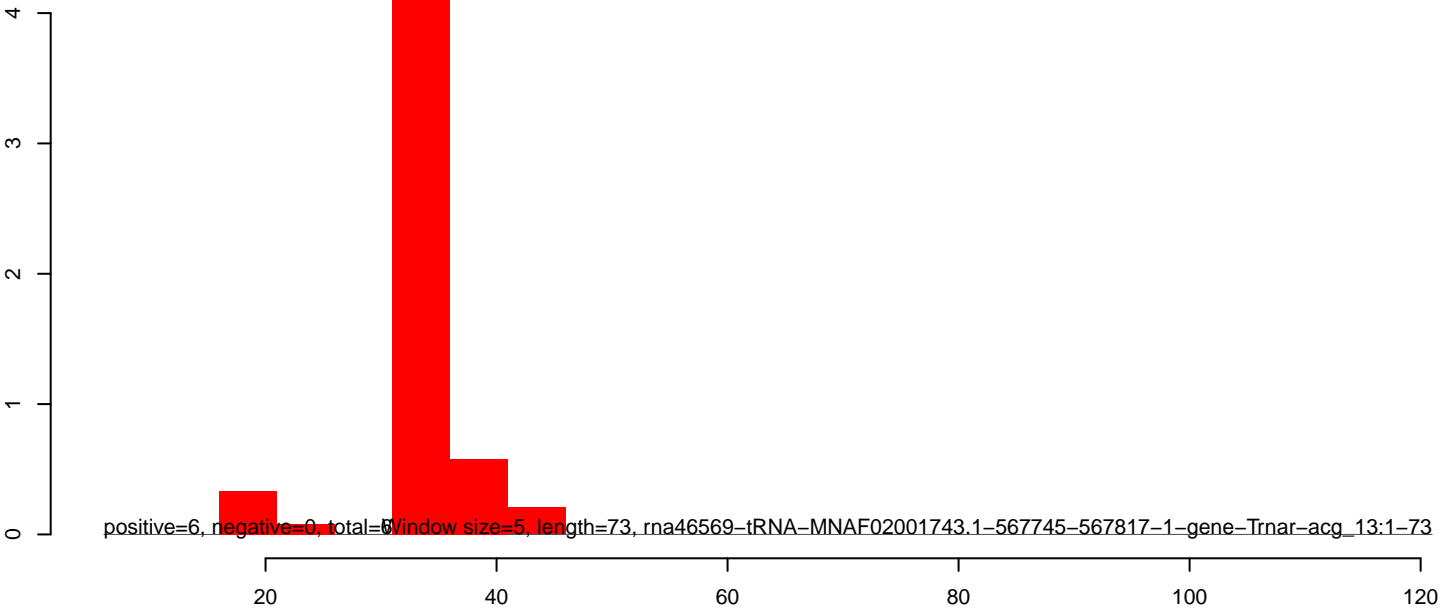
AeAlbo_U4.4_SINV_GFP.18_23.rep



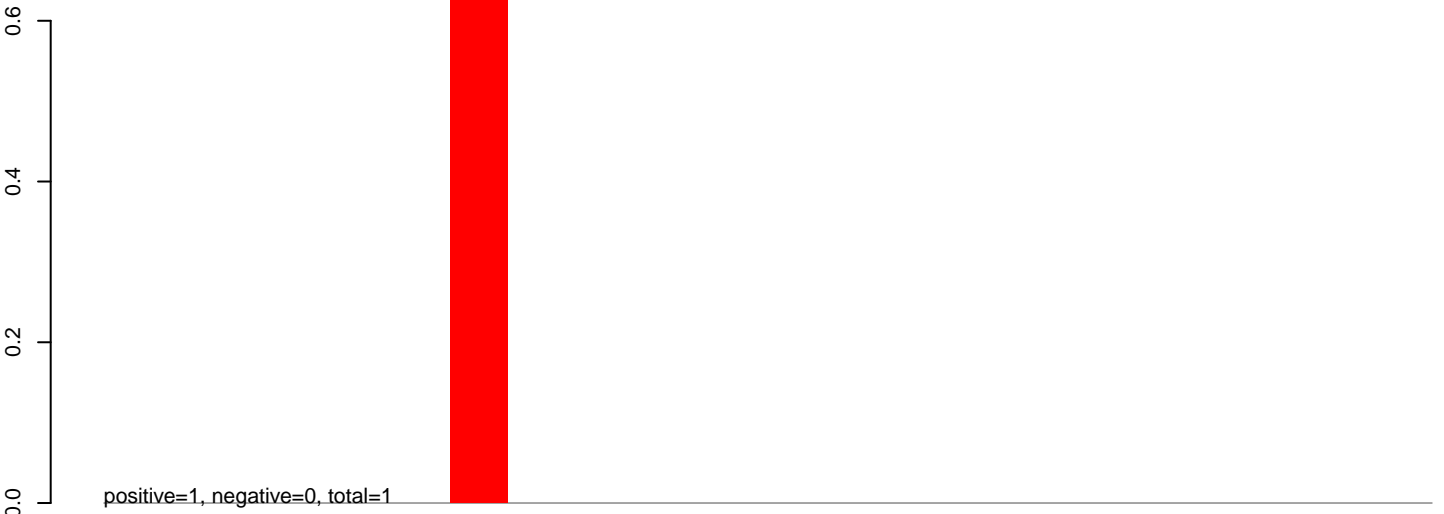
AeAlbo_U4.4_SINV_GFP.24_35.rep



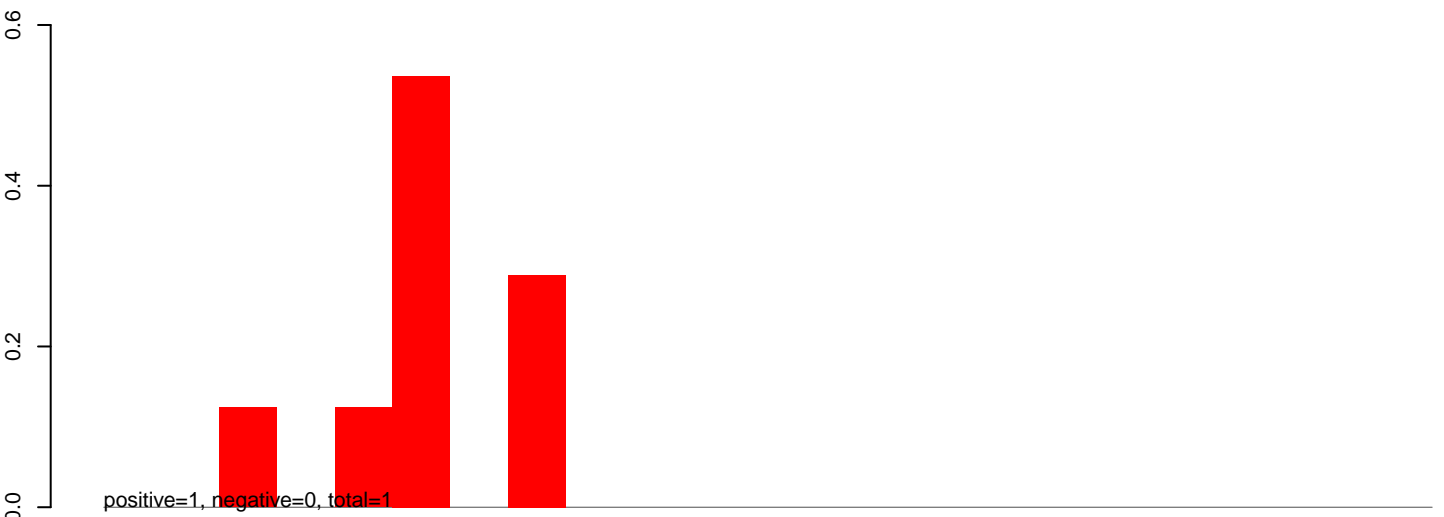
AeAlbo_U4.4_SINV_GFP.rep



AeAlbo_U4.4_SINV_GFP.18_23.rep



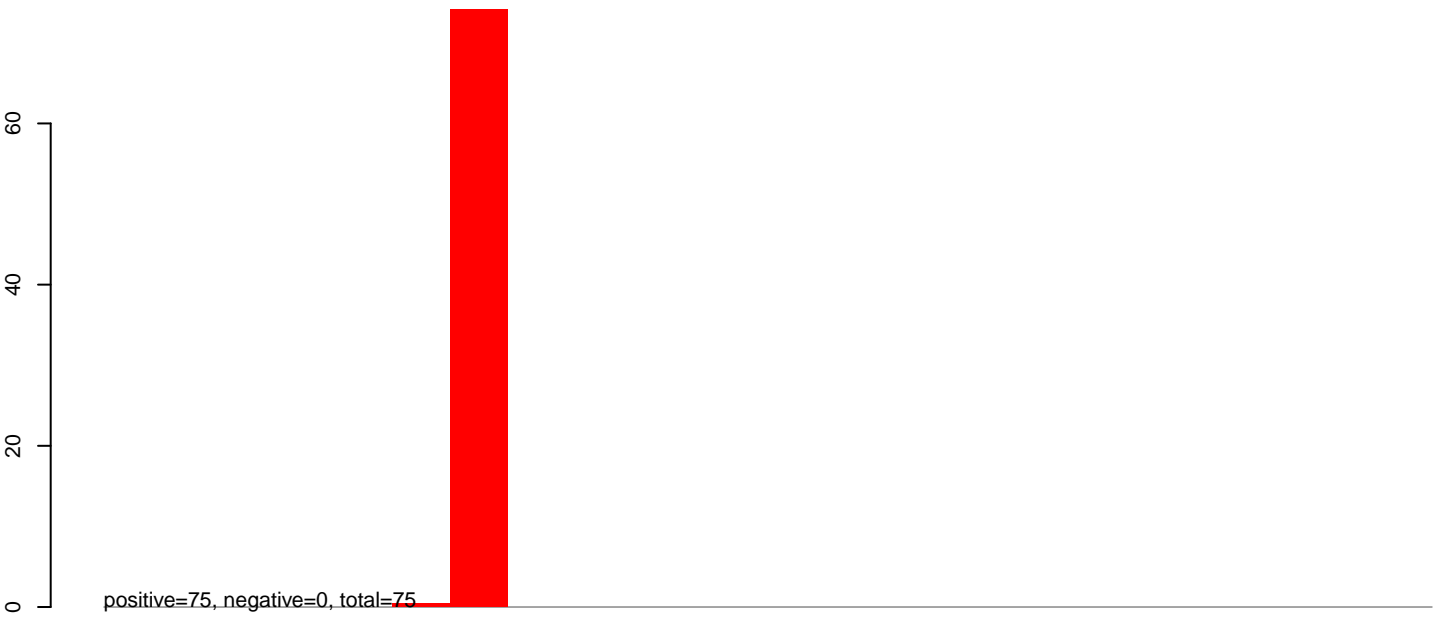
AeAlbo_U4.4_SINV_GFP.24_35.rep



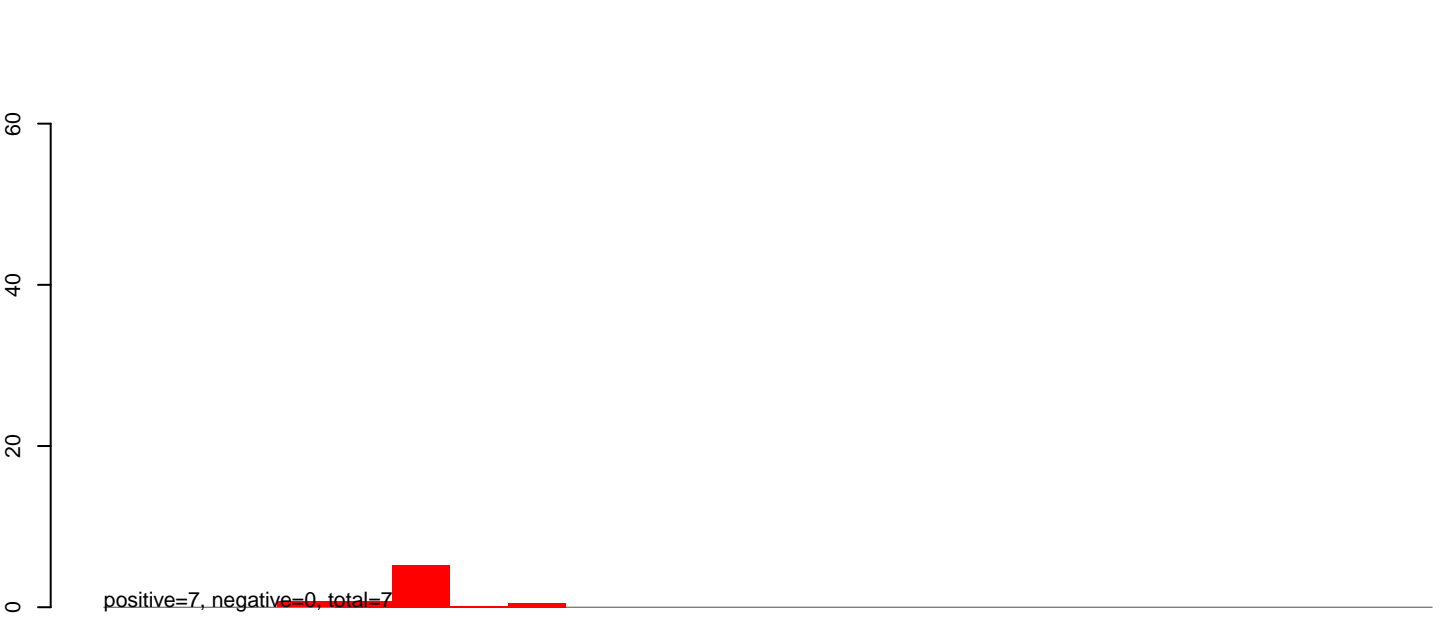
AeAlbo_U4.4_SINV_GFP.rep



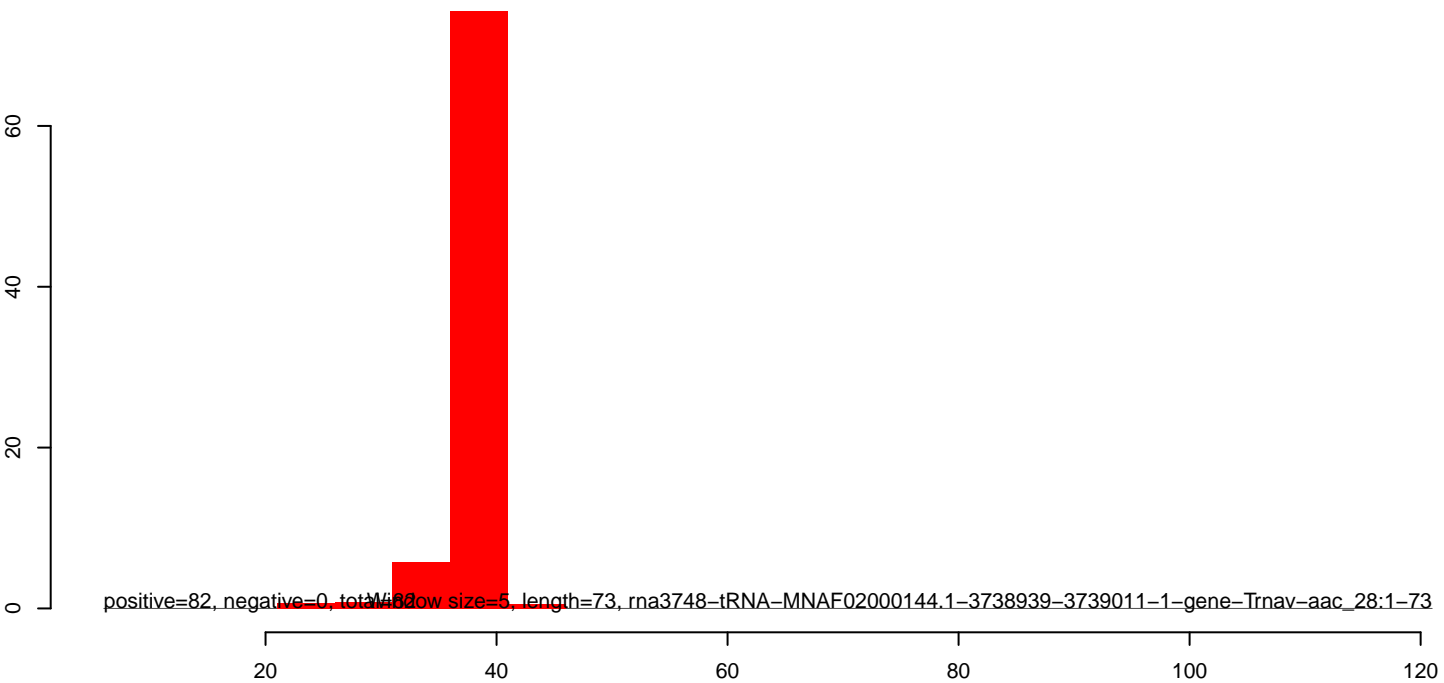
AeAlbo_U4.4_SINV_GFP.18_23.rep



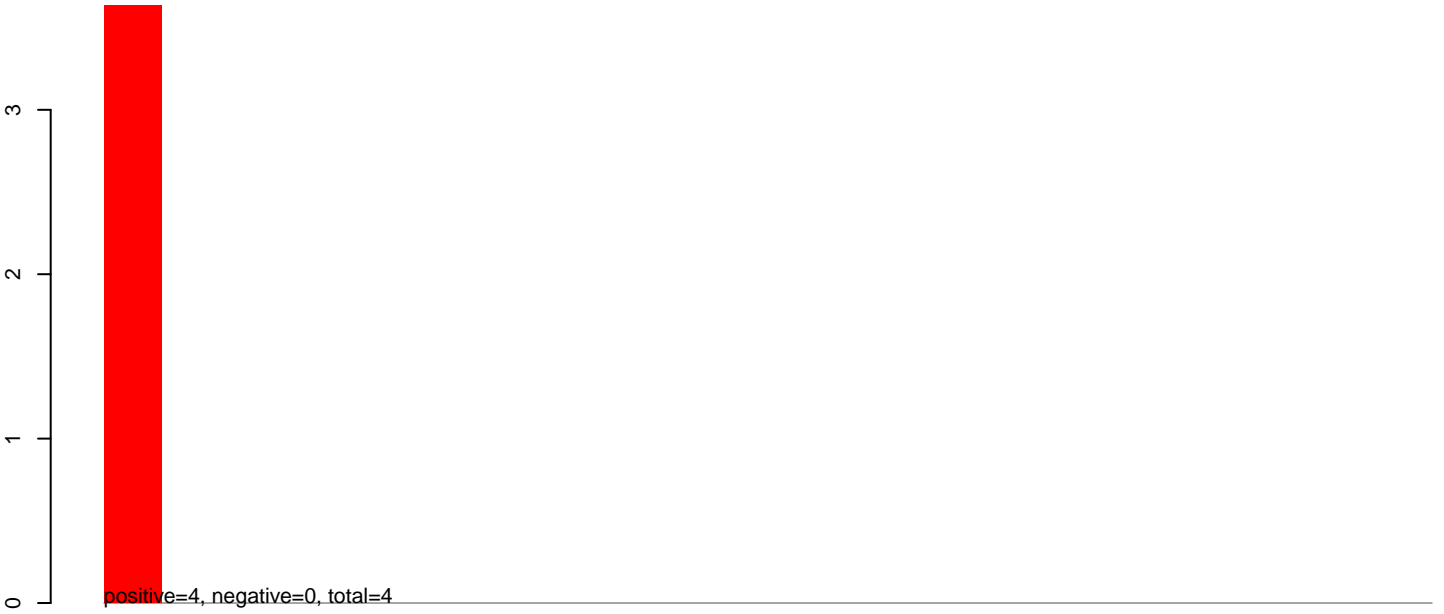
AeAlbo_U4.4_SINV_GFP.24_35.rep



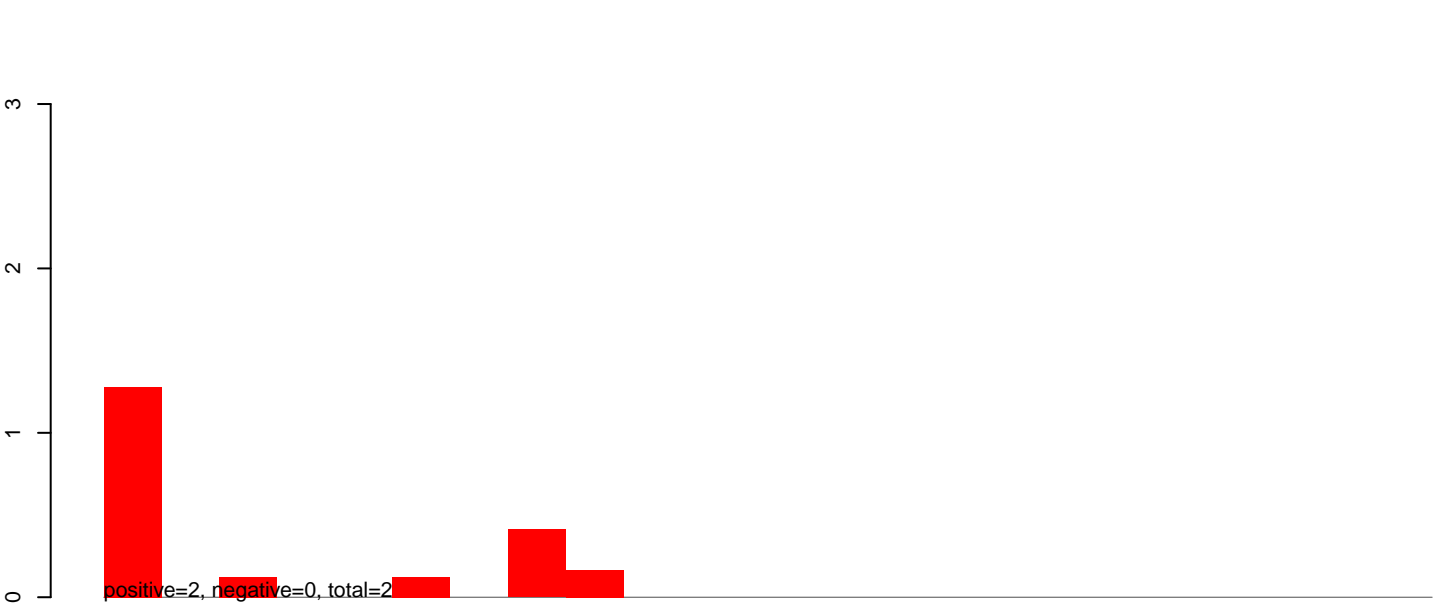
AeAlbo_U4.4_SINV_GFP.rep



AeAlbo_U4.4_SINV_GFP.18_23.rep



AeAlbo_U4.4_SINV_GFP.24_35.rep



AeAlbo_U4.4_SINV_GFP.rep



AeAlbo_U4.4_SINV_GFP.18_23.rep

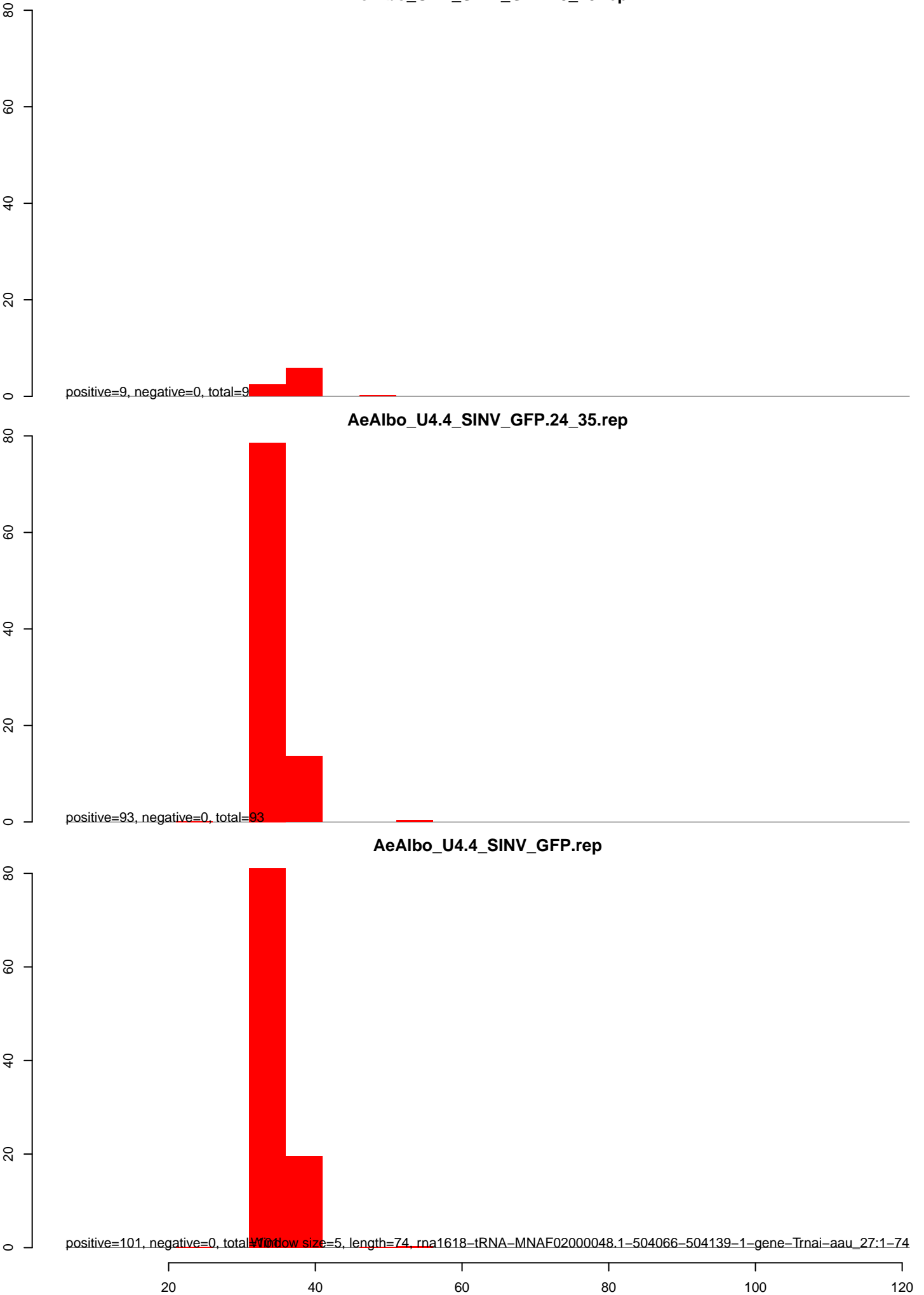
positive=9, negative=0, total=9

AeAlbo_U4.4_SINV_GFP.24_35.rep

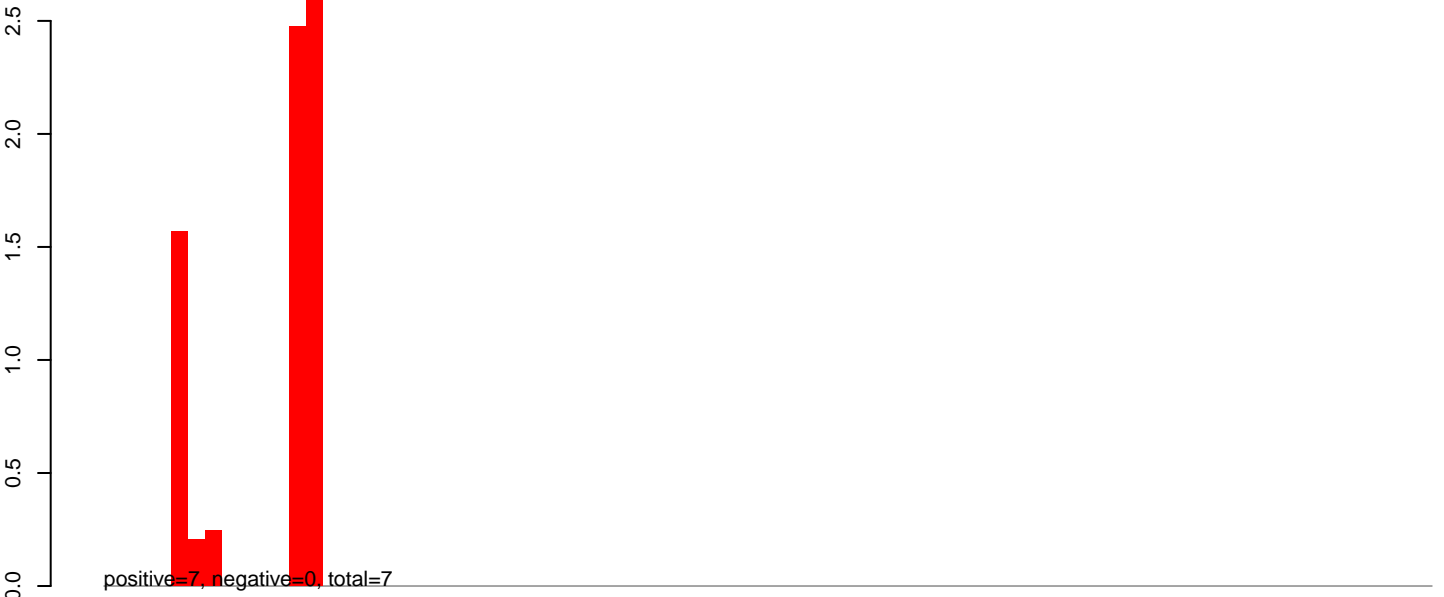
positive=93, negative=0, total=93

AeAlbo_U4.4_SINV_GFP.rep

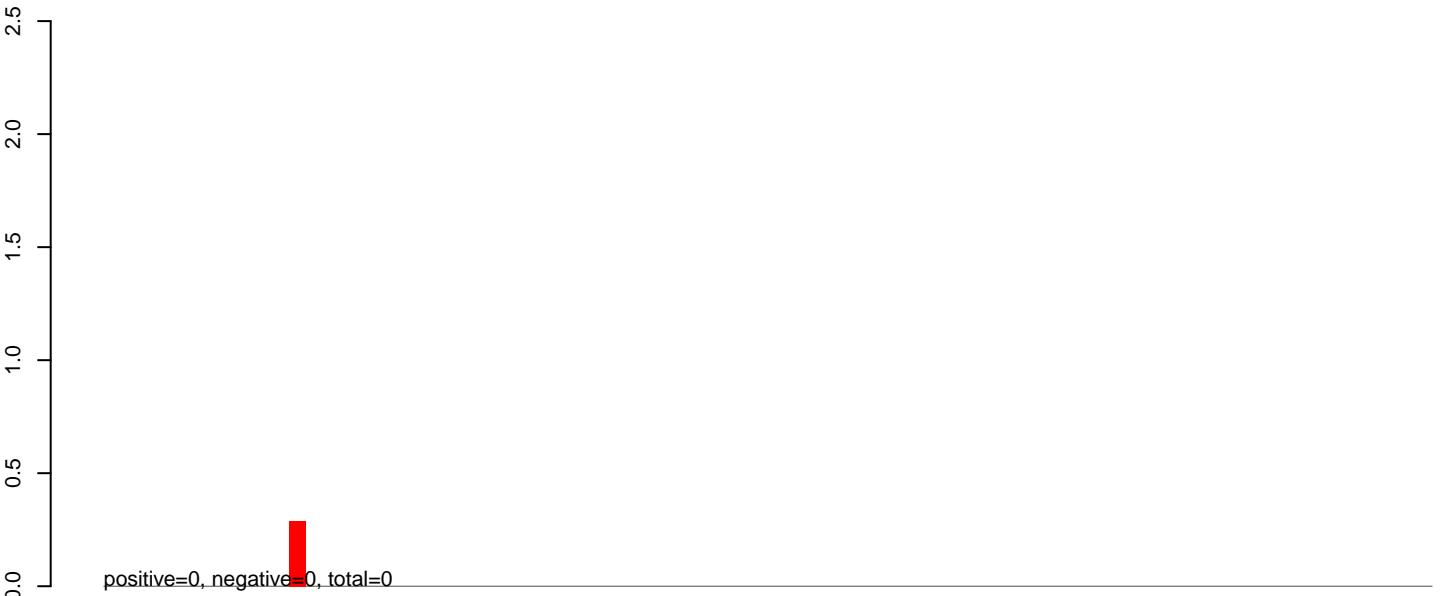
positive=101, negative=0, total=101, window size=5, length=74, rna1618-tRNA-MNAF02000048.1-504066-504139-1-gene-Trnai-aau_27:1-74



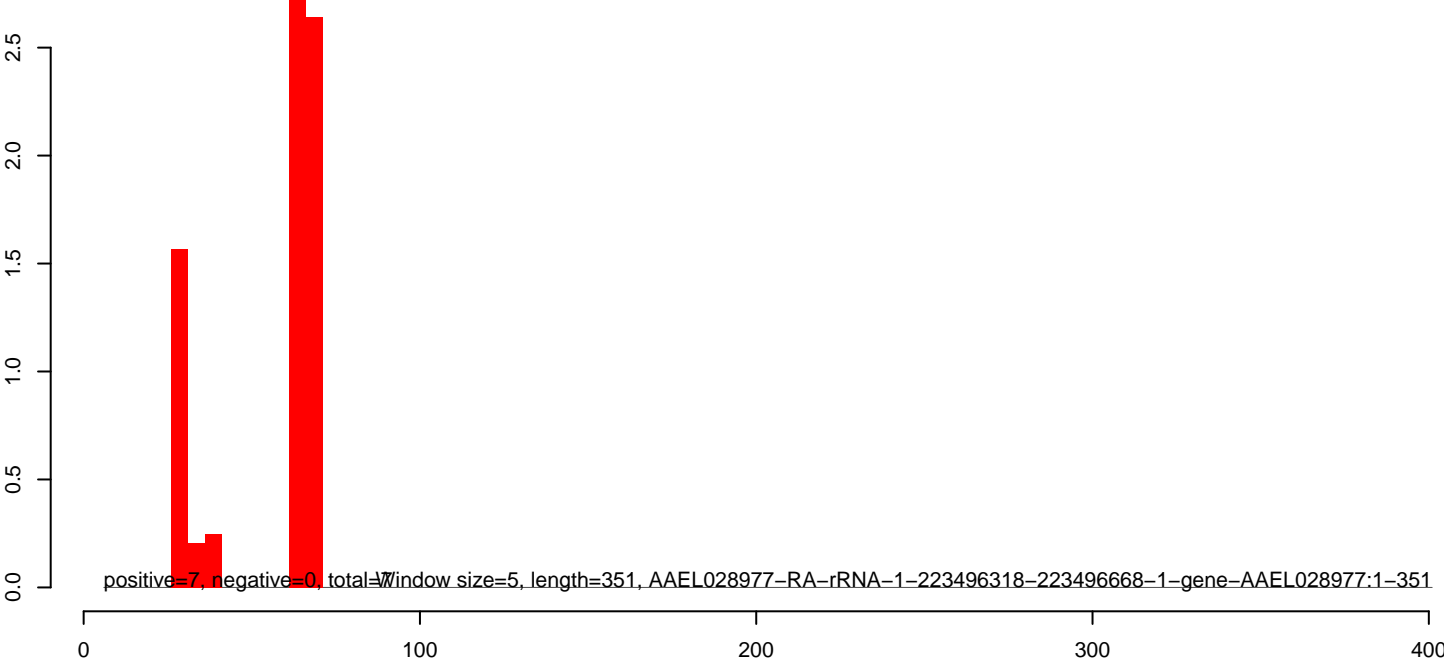
AeAlbo_U4.4_SINV_GFP.18_23.rep



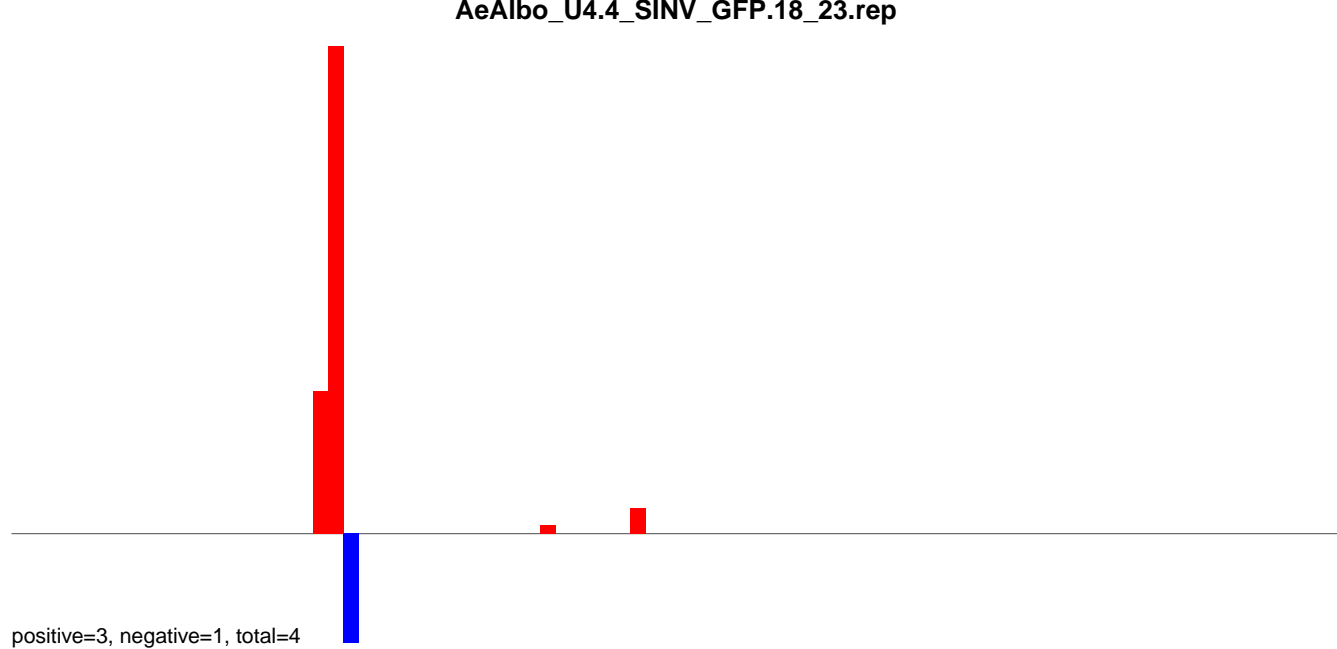
AeAlbo_U4.4_SINV_GFP.24_35.rep



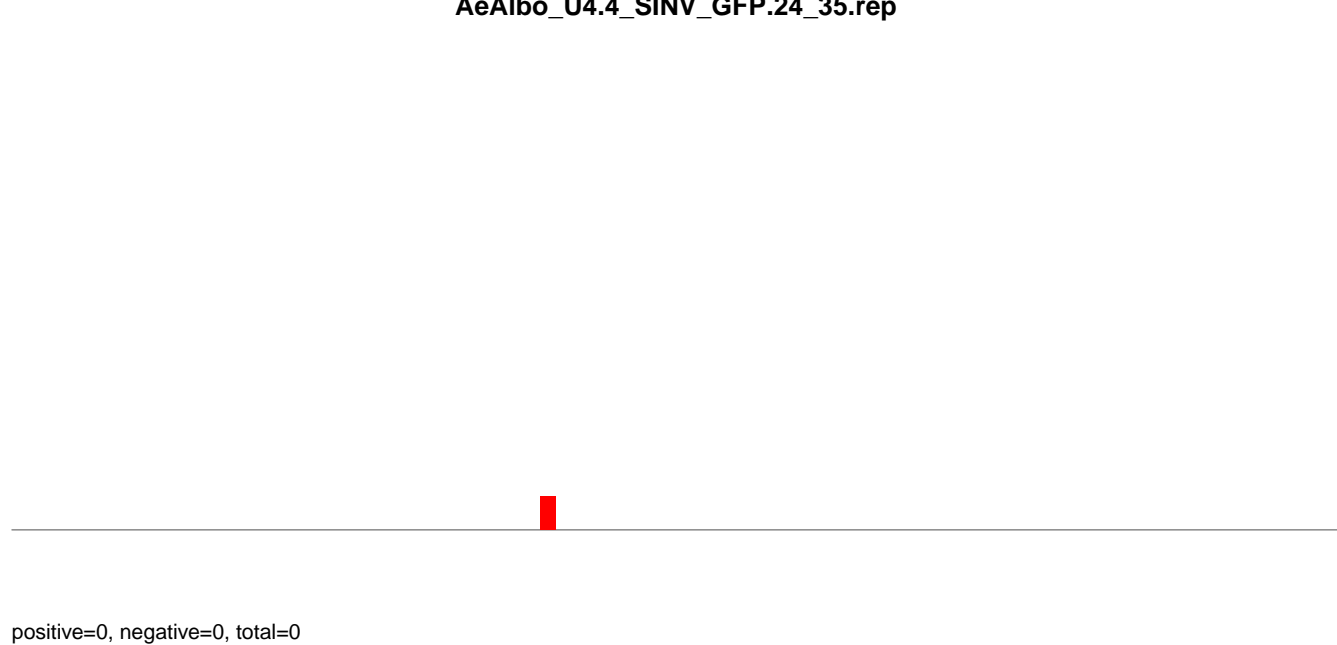
AeAlbo_U4.4_SINV_GFP.rep



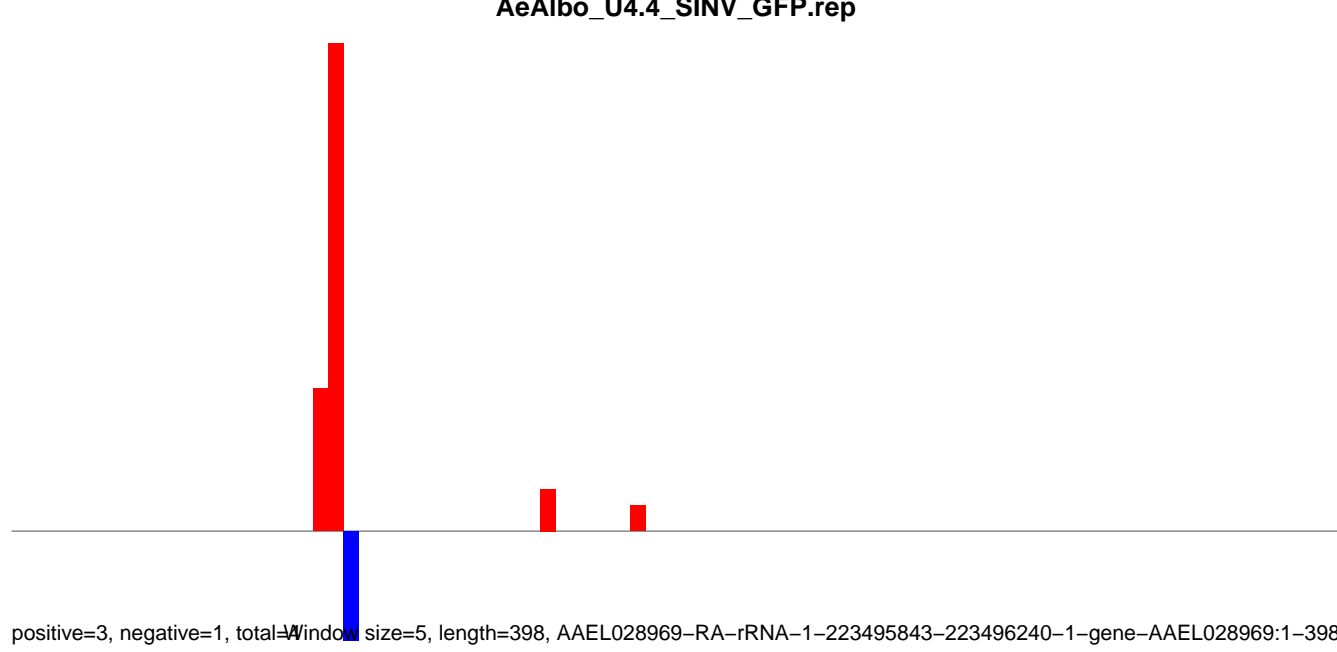
AeAlbo_U4.4_SINV_GFP.18_23.rep



AeAlbo_U4.4_SINV_GFP.24_35.rep



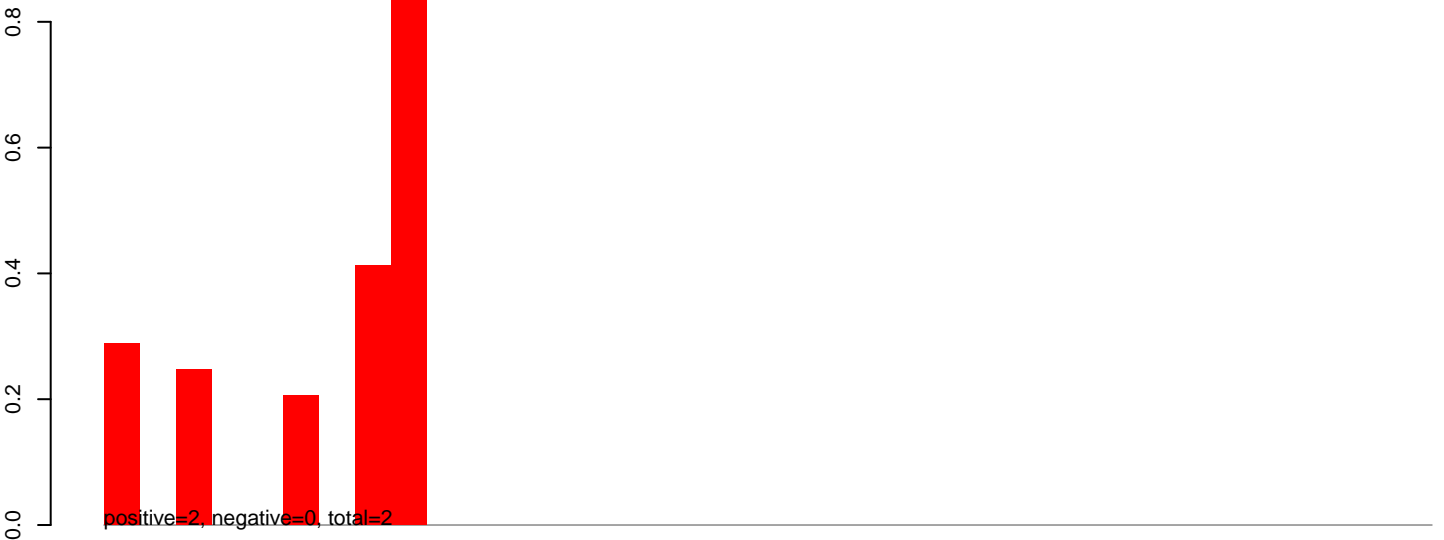
AeAlbo_U4.4_SINV_GFP.rep



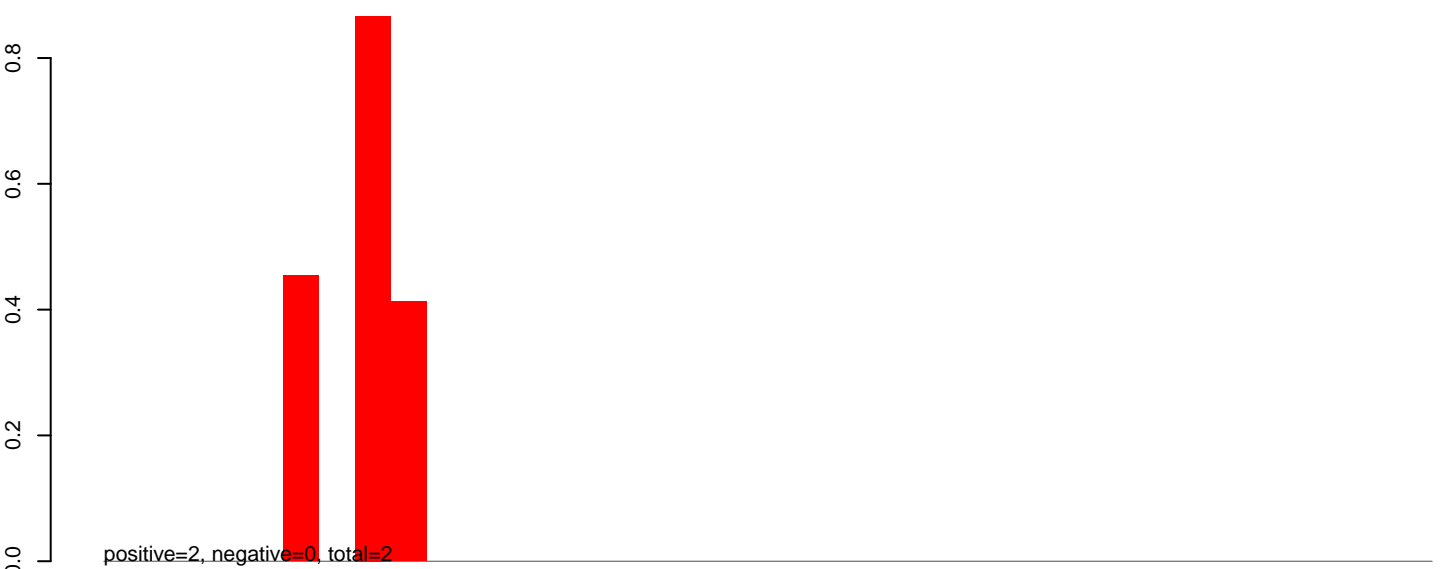
Window size=5, length=398, AAEL028969-RA-rRNA-1-223495843-223496240-1-gene-AAEL028969:1-398

0 100 200 300 400

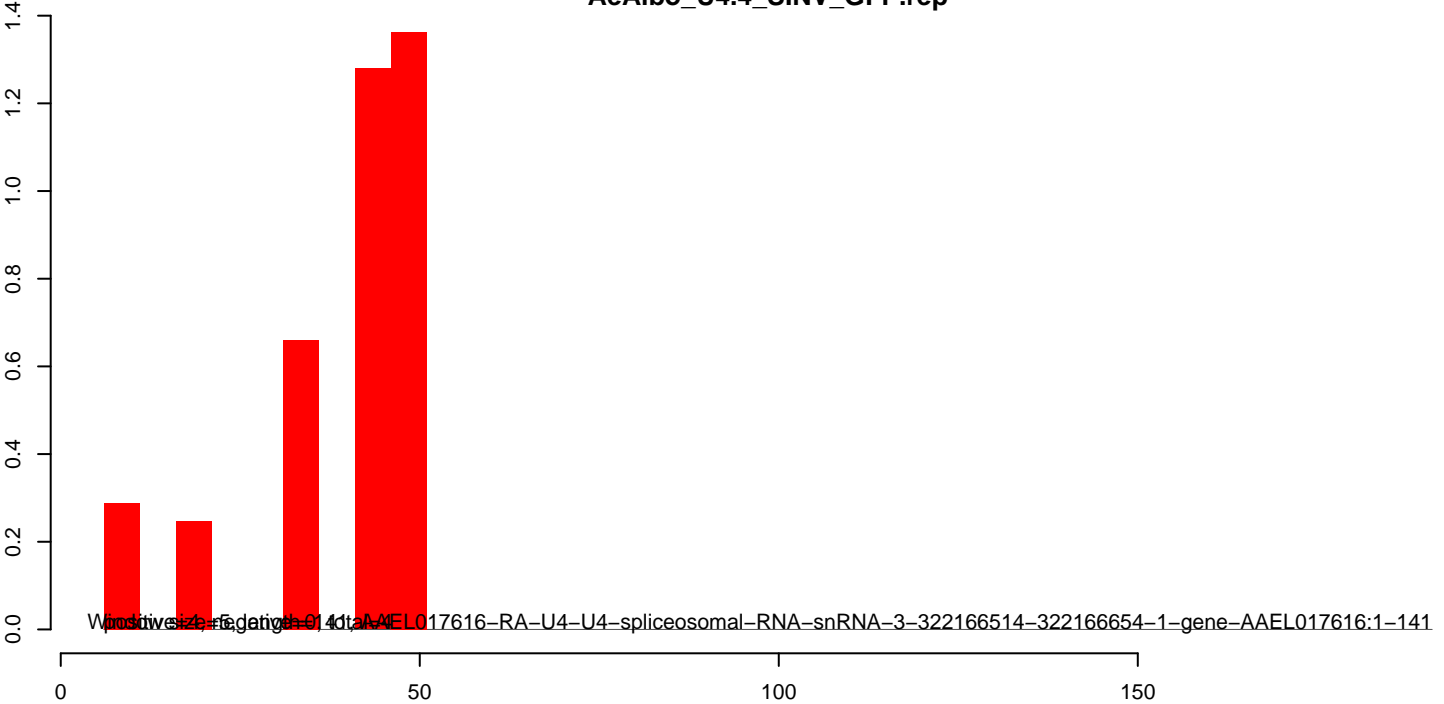
AeAlbo_U4.4_SINV_GFP.18_23.rep



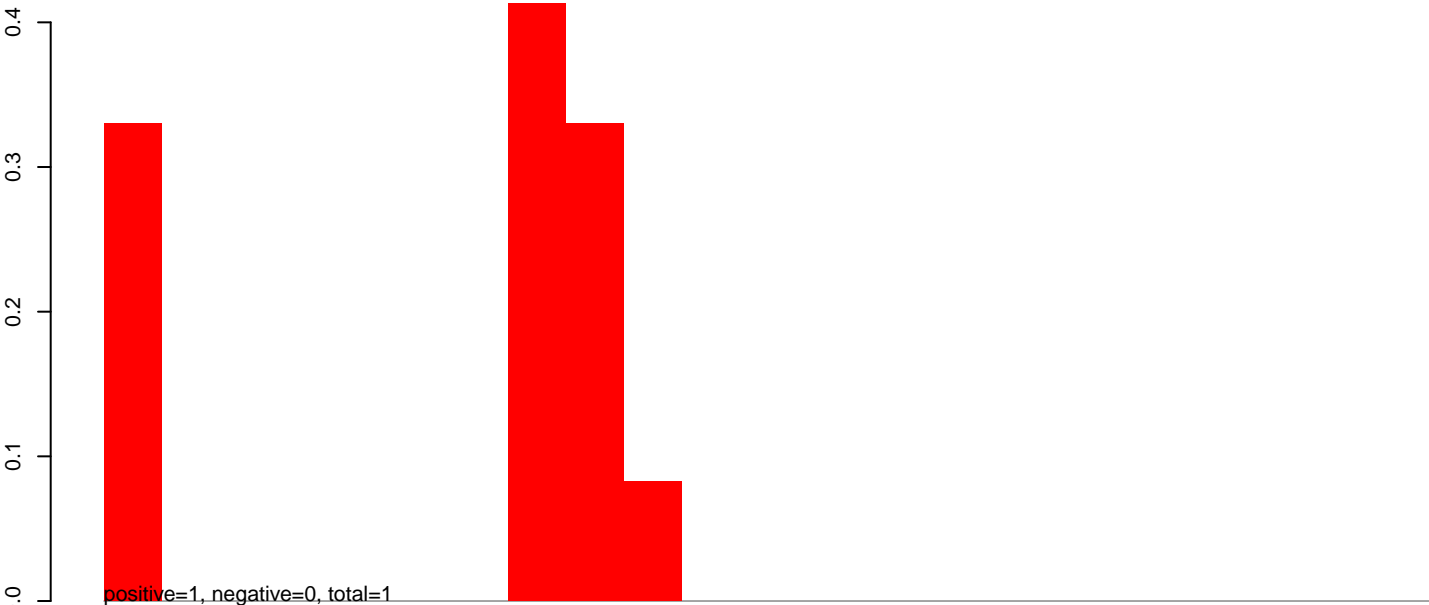
AeAlbo_U4.4_SINV_GFP.24_35.rep



AeAlbo_U4.4_SINV_GFP.rep



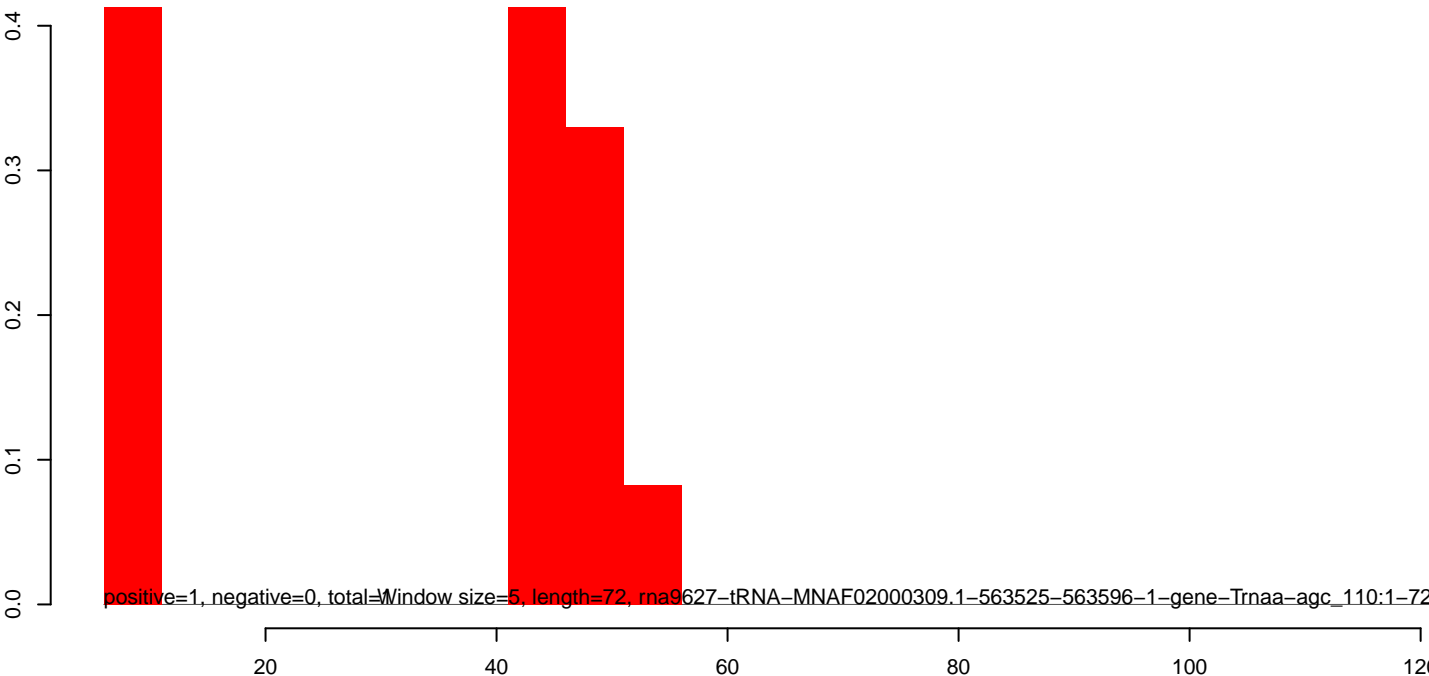
AeAlbo_U4.4_SINV_GFP.18_23.rep



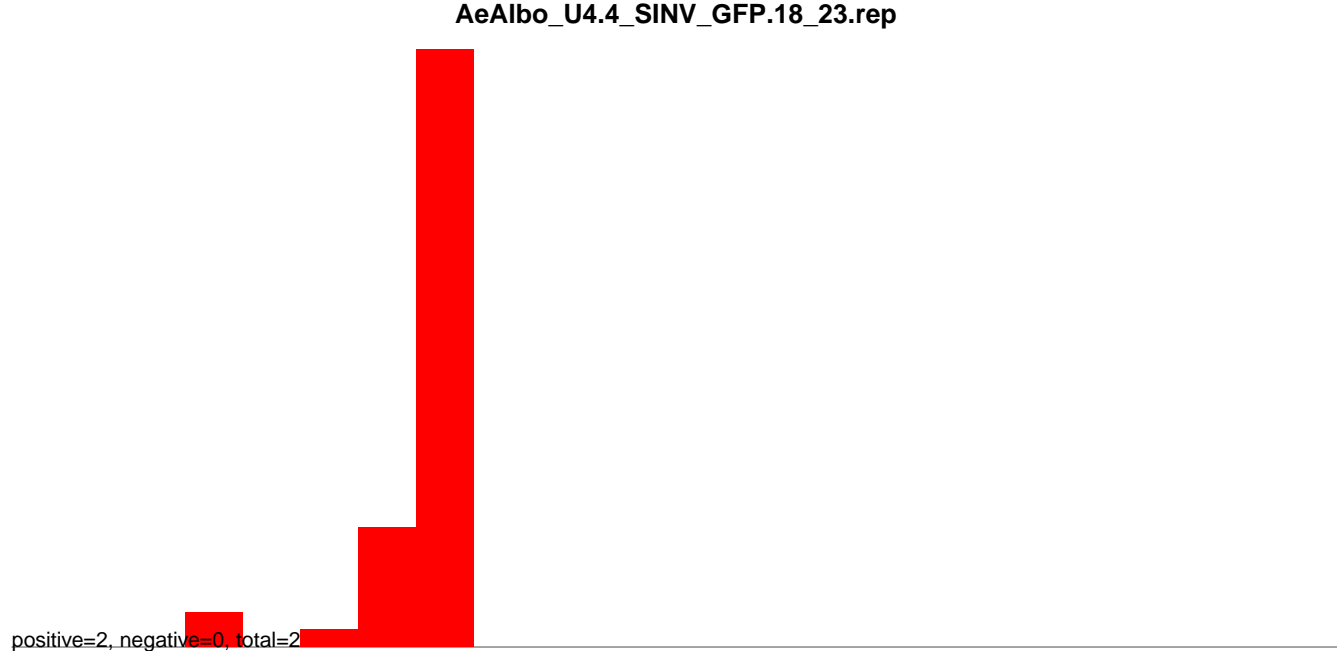
AeAlbo_U4.4_SINV_GFP.24_35.rep



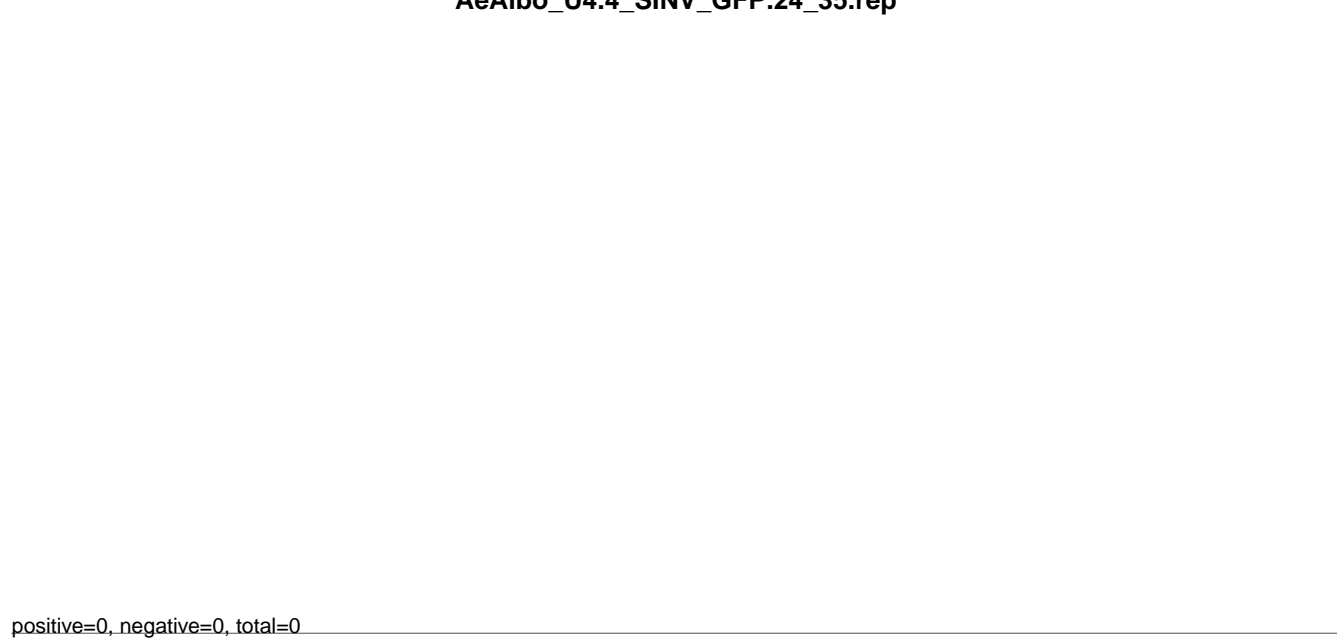
AeAlbo_U4.4_SINV_GFP.rep



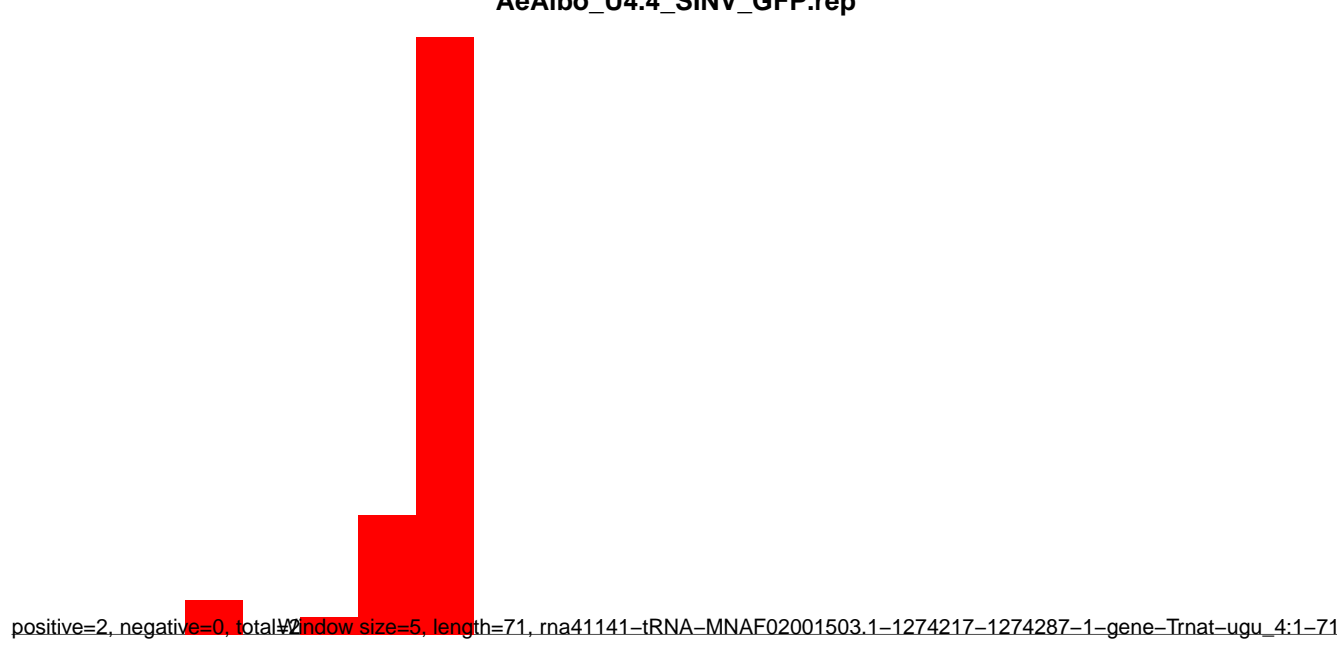
AeAlbo_U4.4_SINV_GFP.18_23.rep



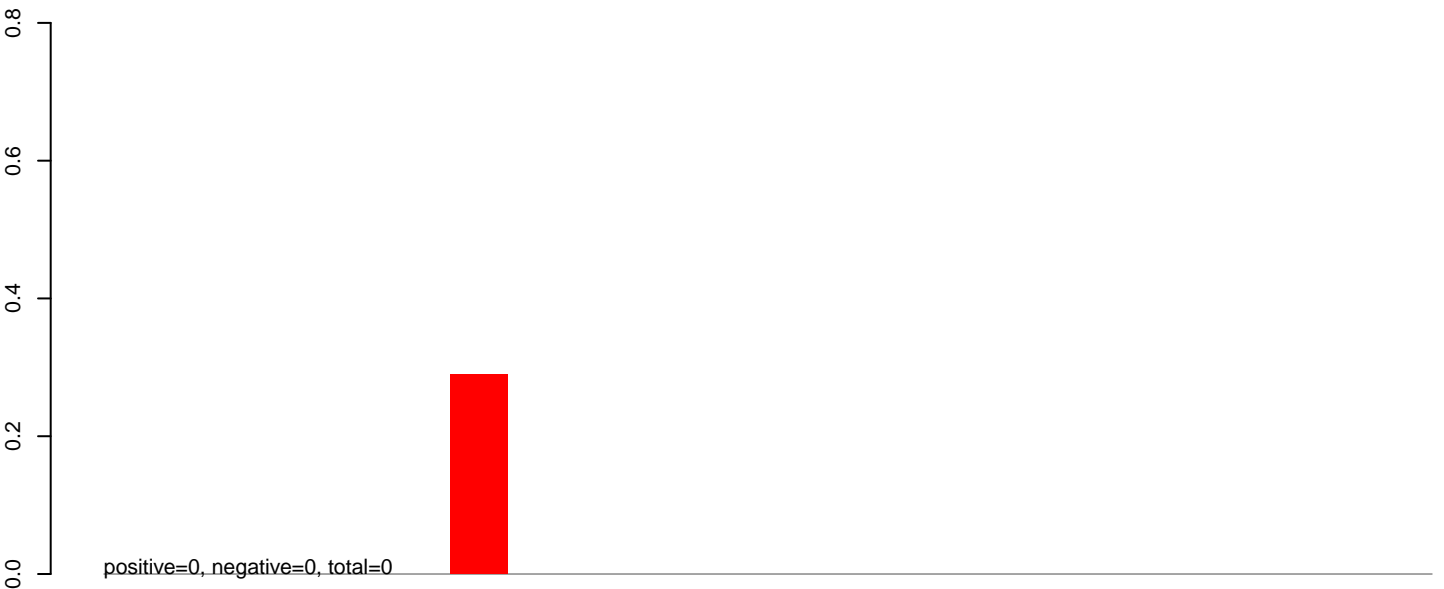
AeAlbo_U4.4_SINV_GFP.24_35.rep



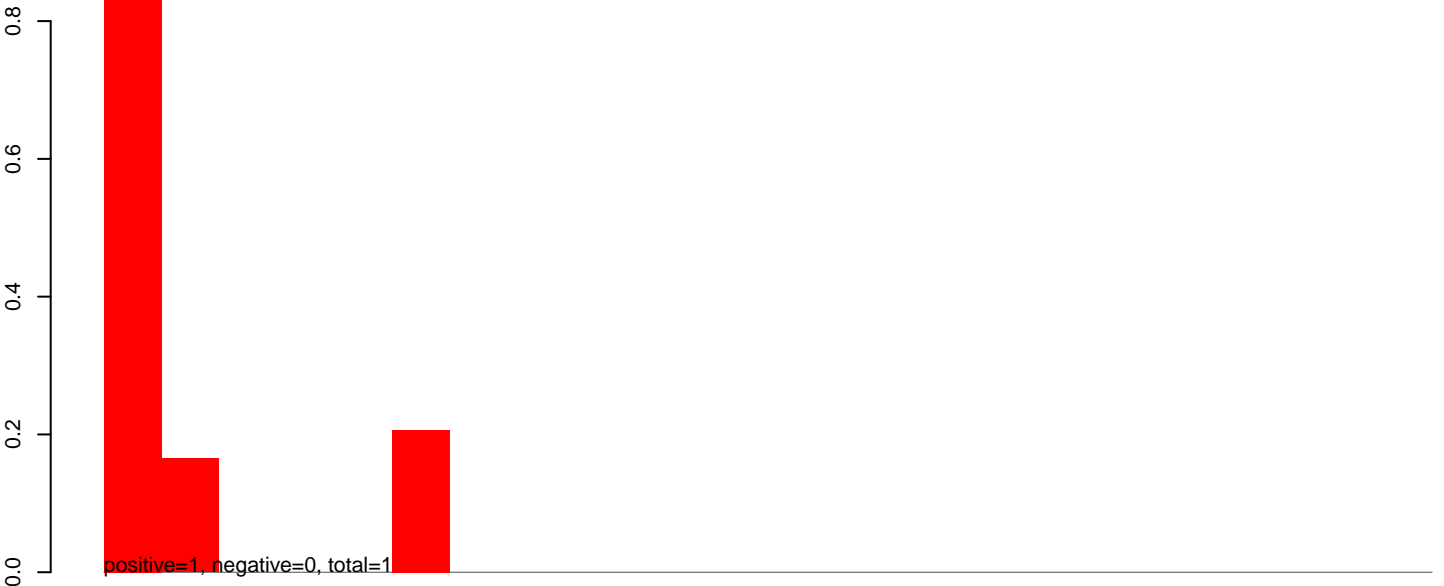
AeAlbo_U4.4_SINV_GFP.rep



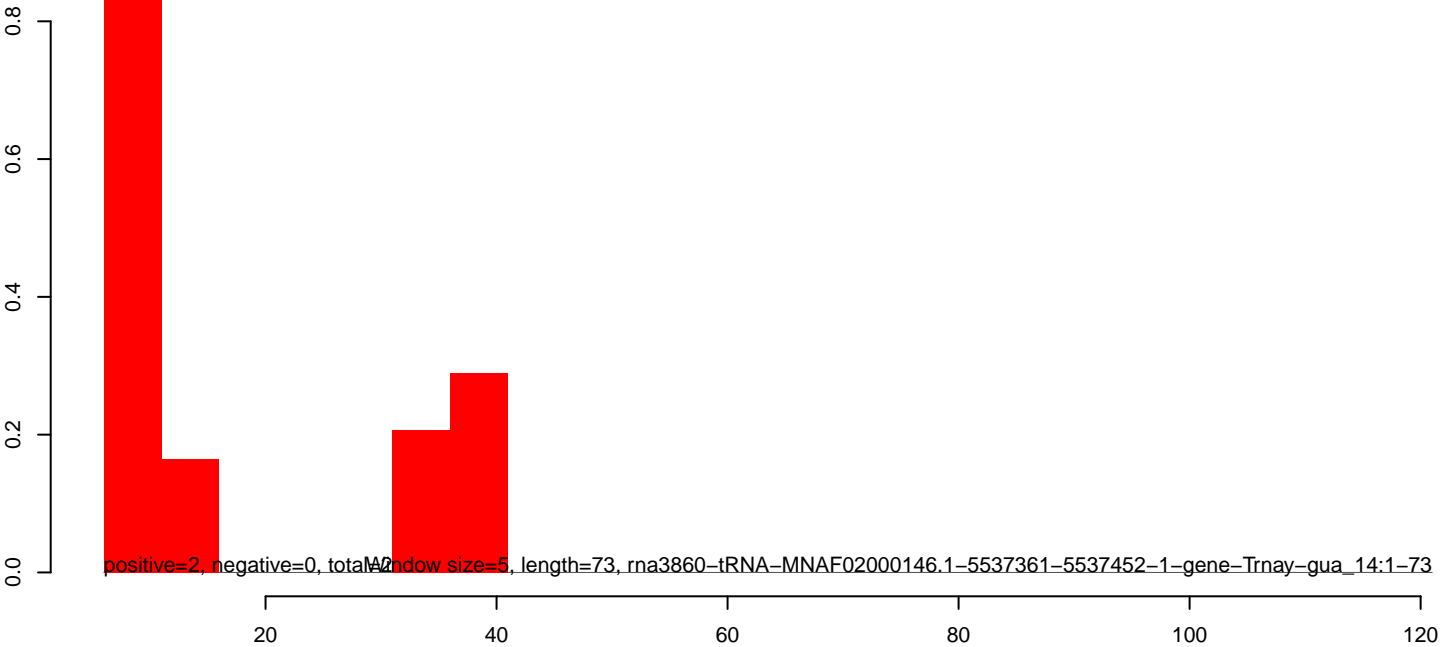
AeAlbo_U4.4_SINV_GFP.18_23.rep



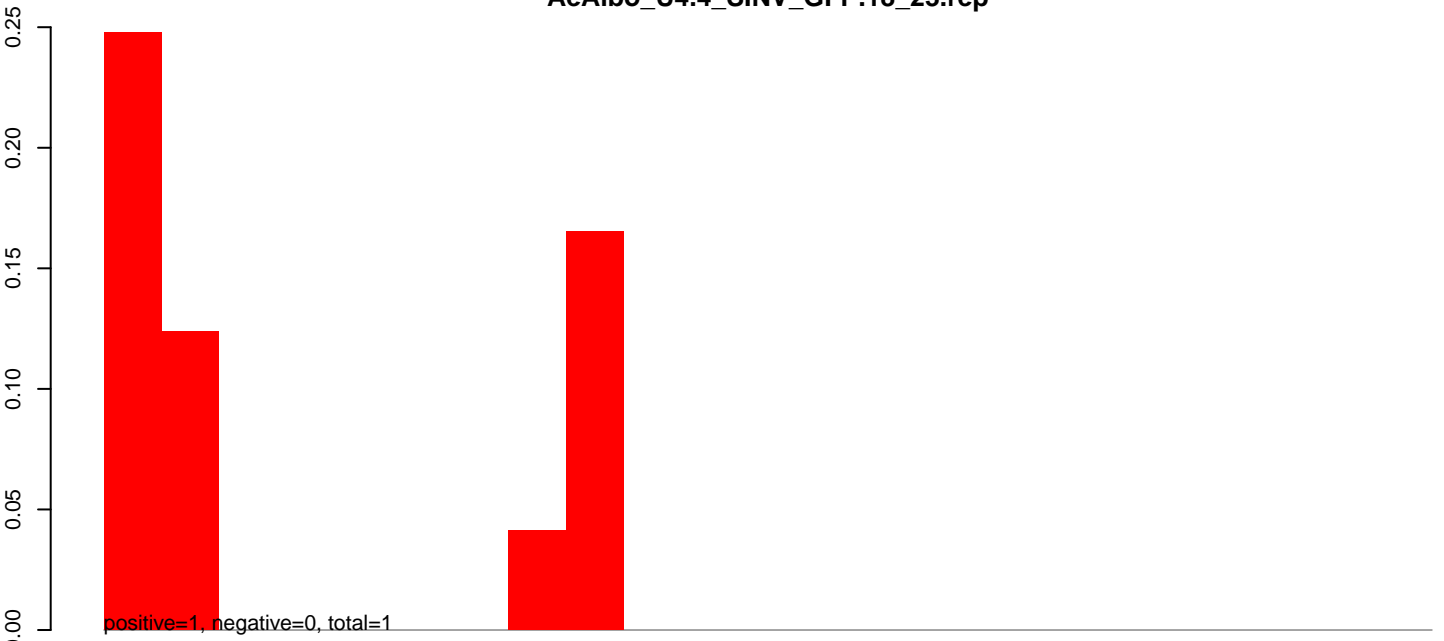
AeAlbo_U4.4_SINV_GFP.24_35.rep



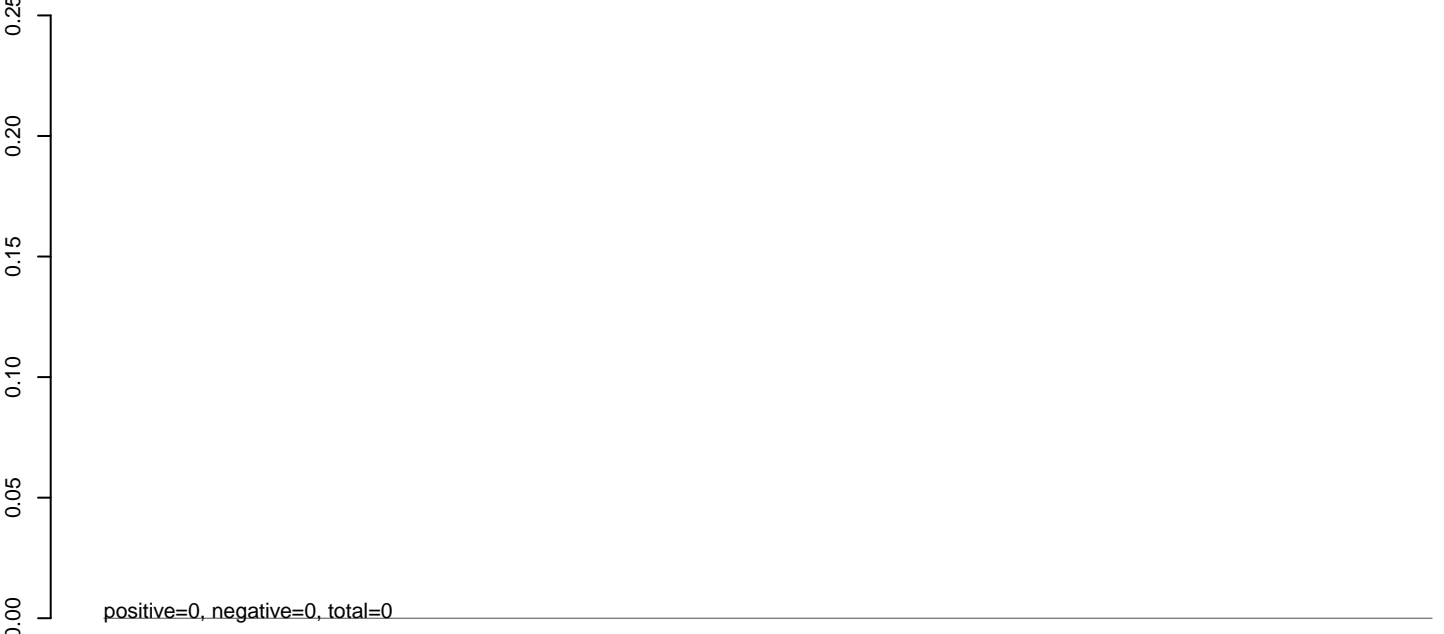
AeAlbo_U4.4_SINV_GFP.rep



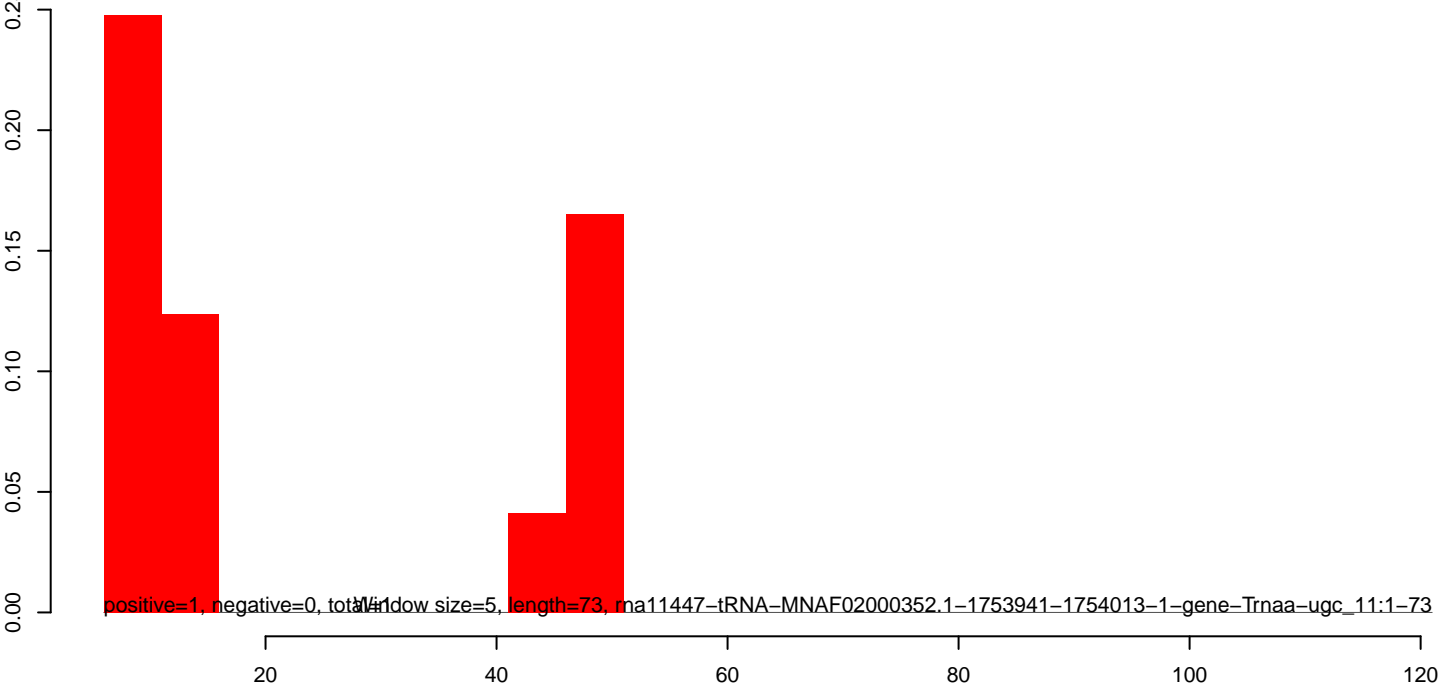
AeAlbo_U4.4_SINV_GFP.18_23.rep



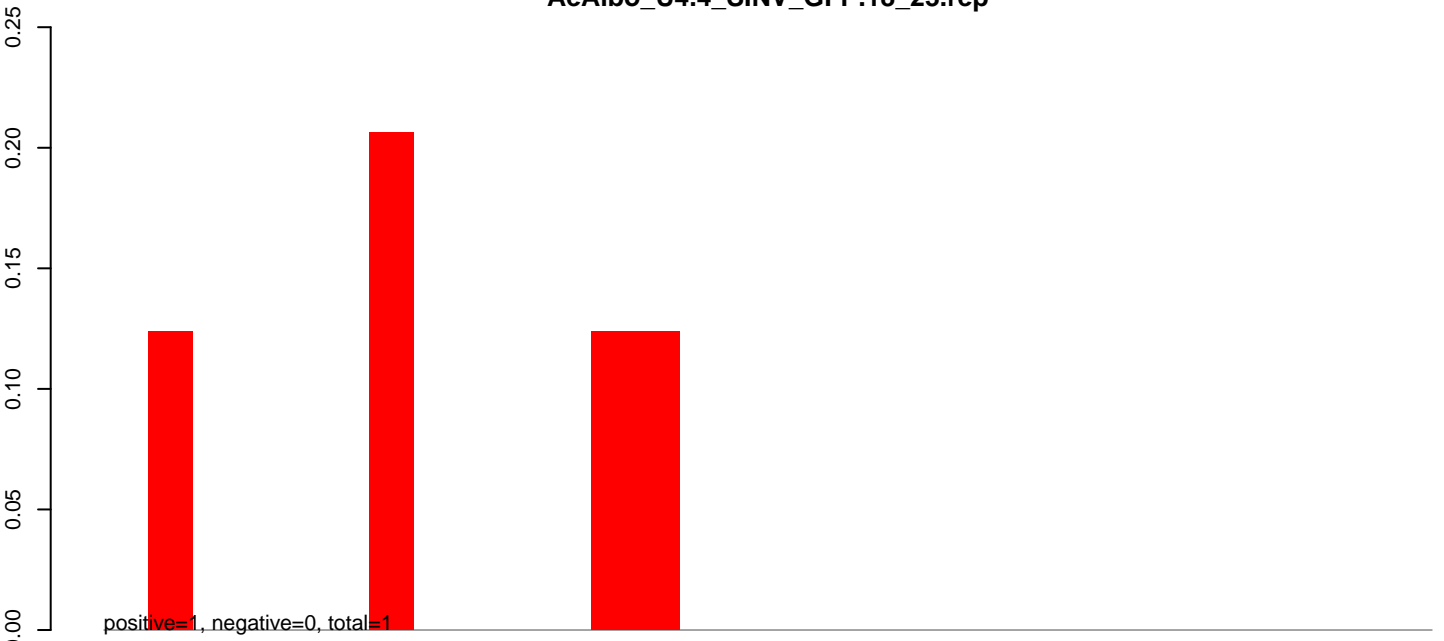
AeAlbo_U4.4_SINV_GFP.24_35.rep



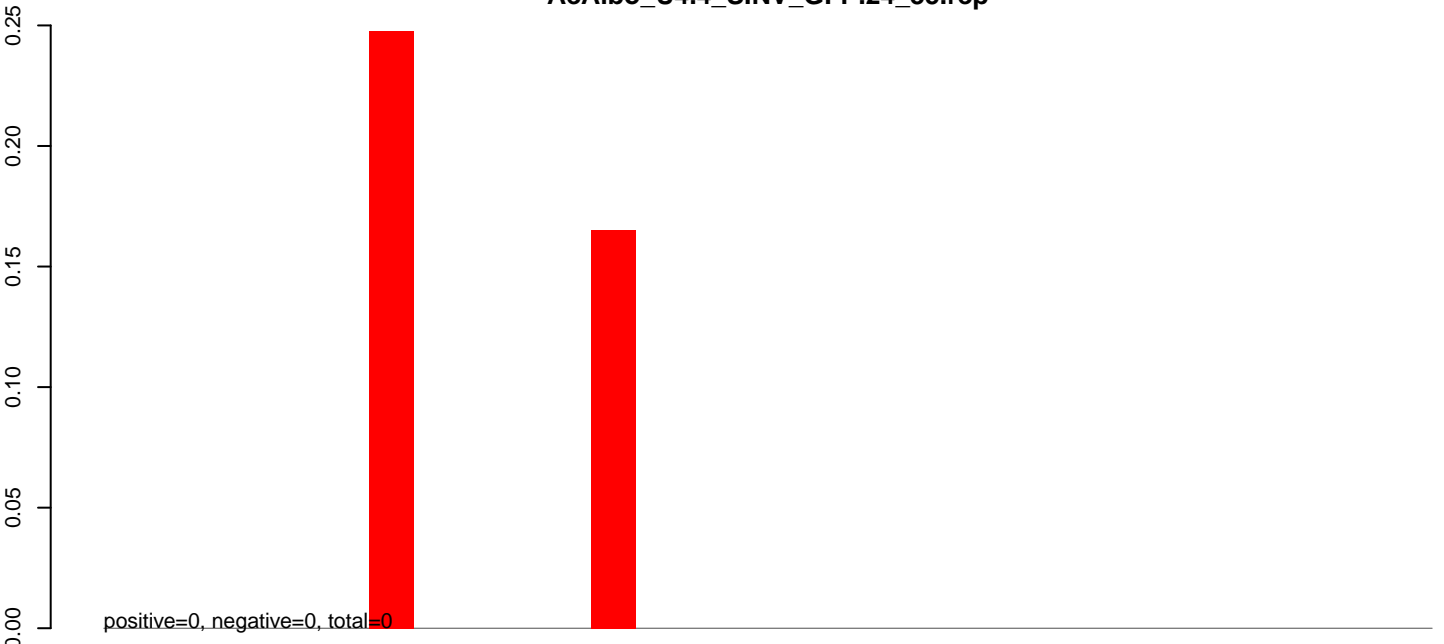
AeAlbo_U4.4_SINV_GFP.rep



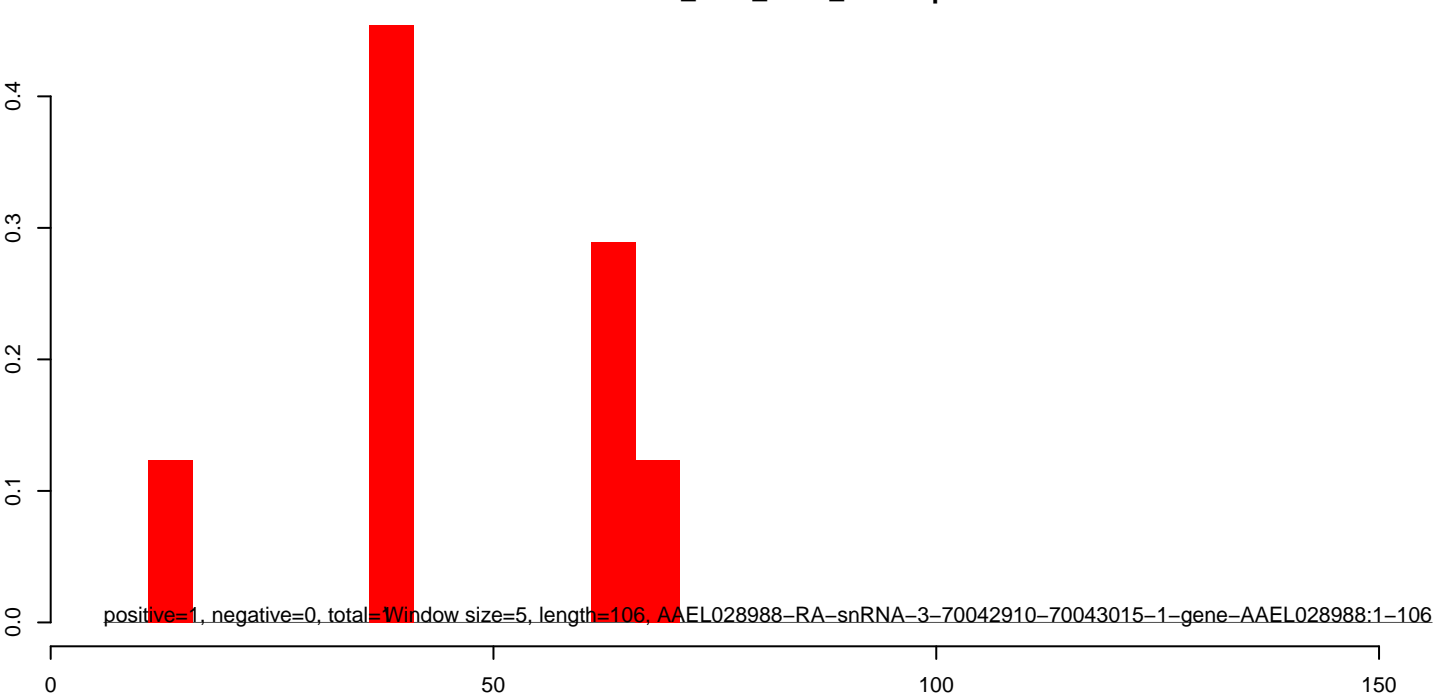
AeAlbo_U4.4_SINV_GFP.18_23.rep



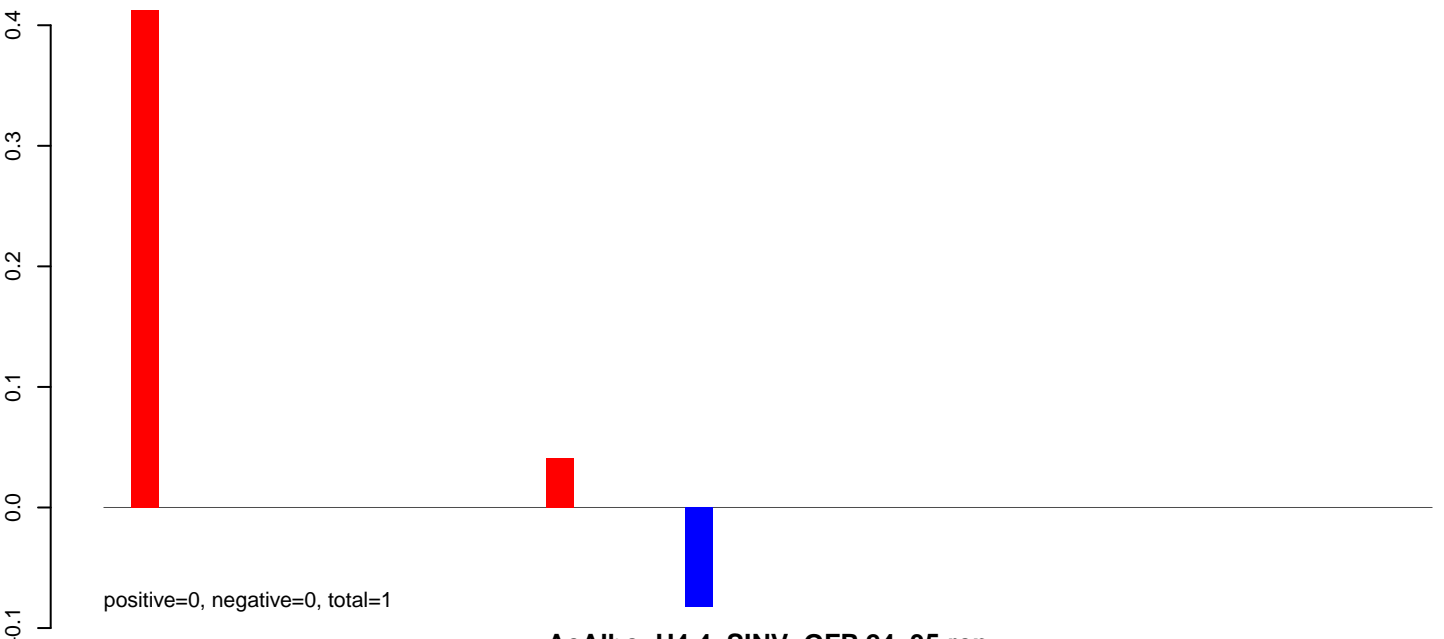
AeAlbo_U4.4_SINV_GFP.24_35.rep



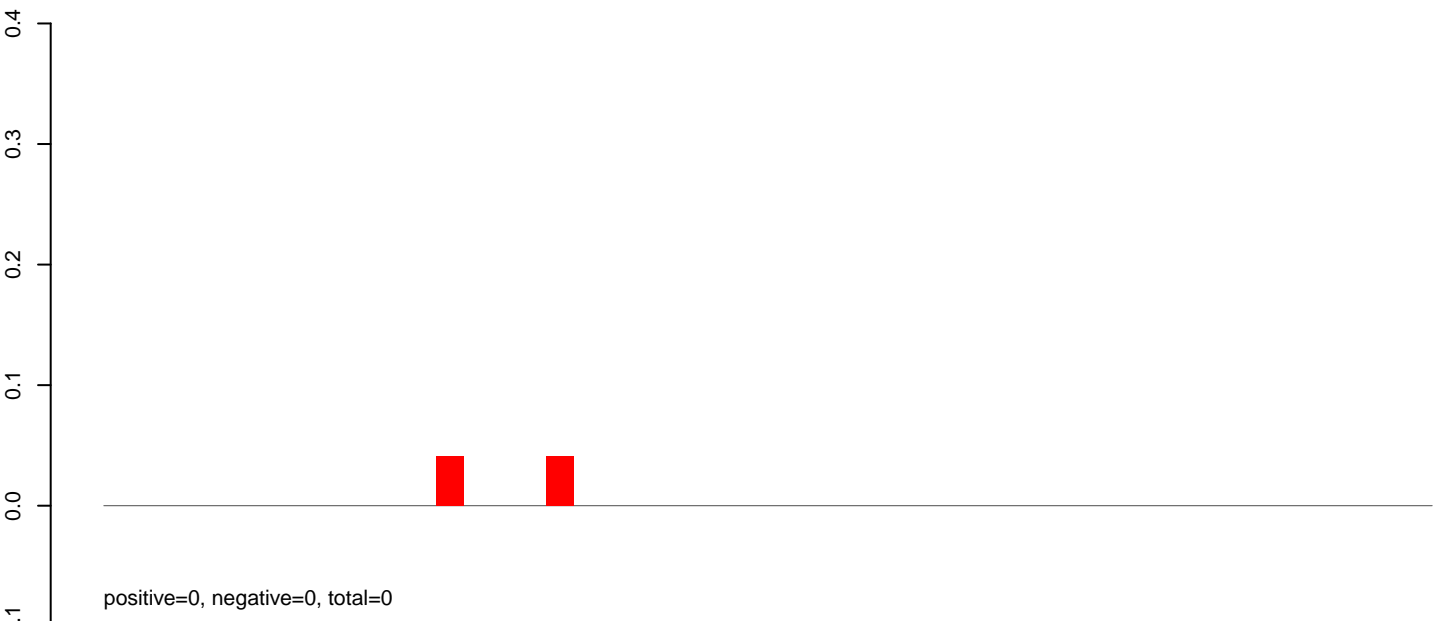
AeAlbo_U4.4_SINV_GFP.rep



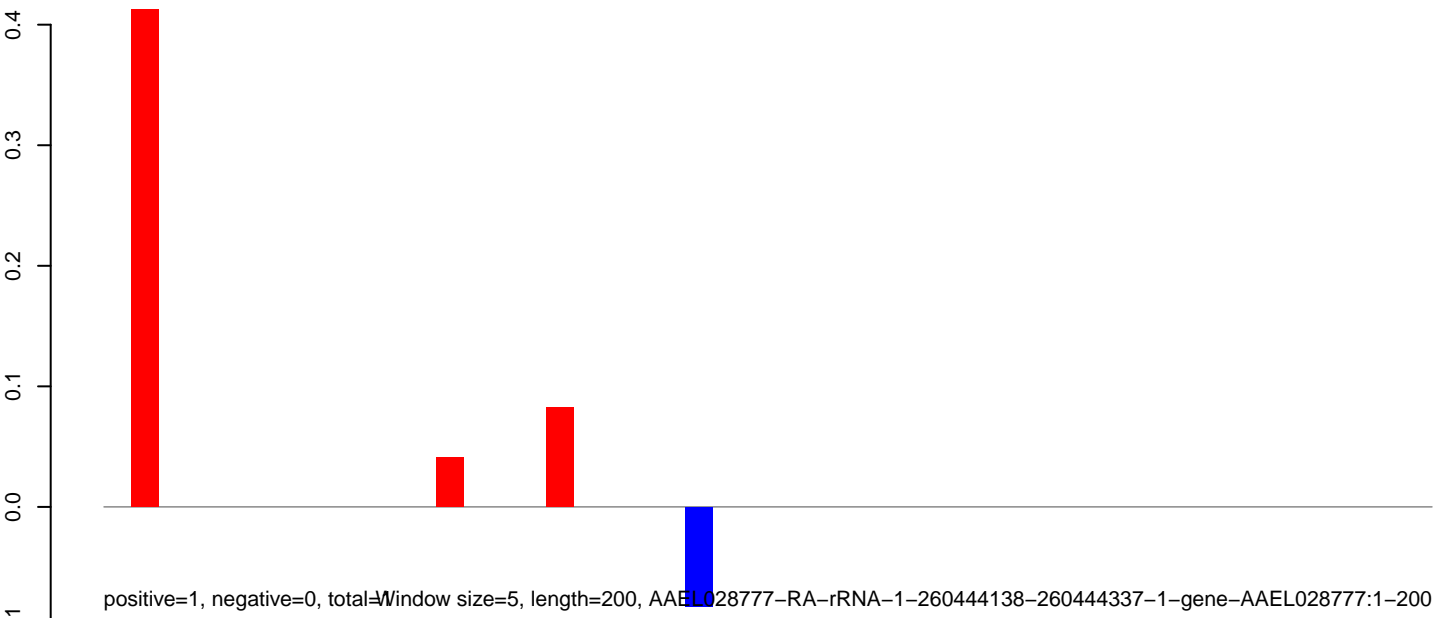
AeAlbo_U4.4_SINV_GFP.18_23.rep



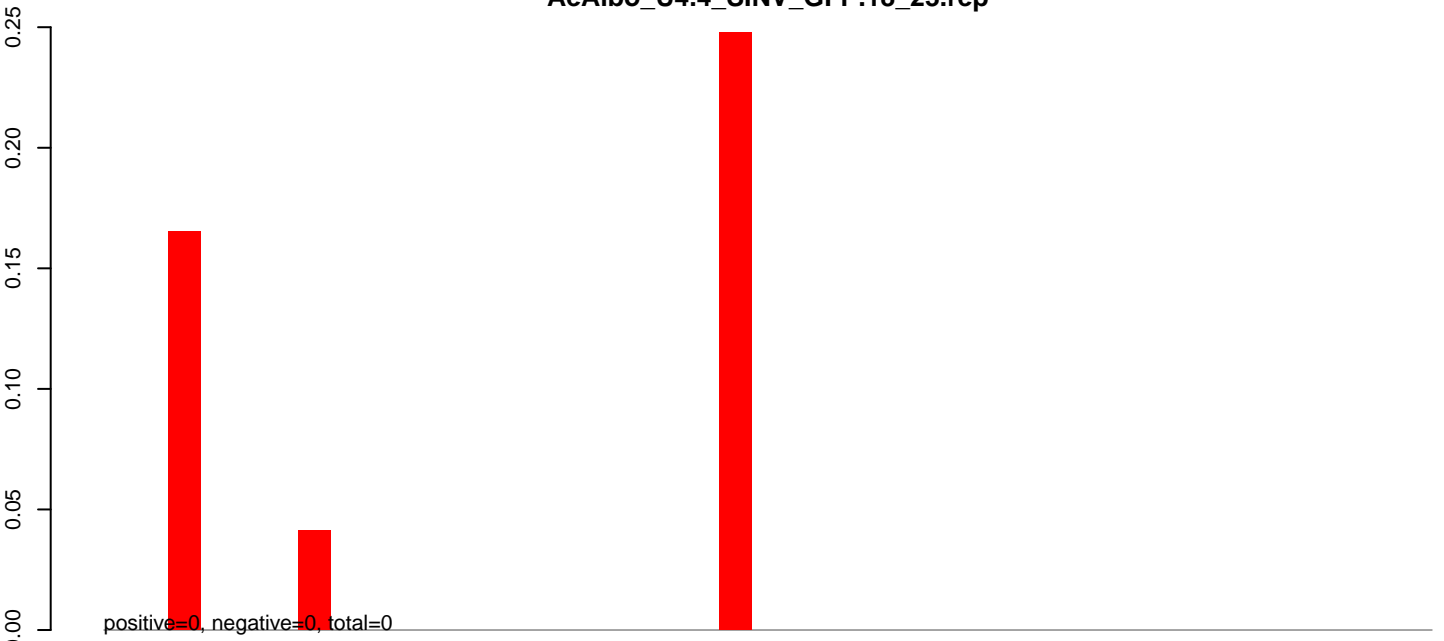
AeAlbo_U4.4_SINV_GFP.24_35.rep



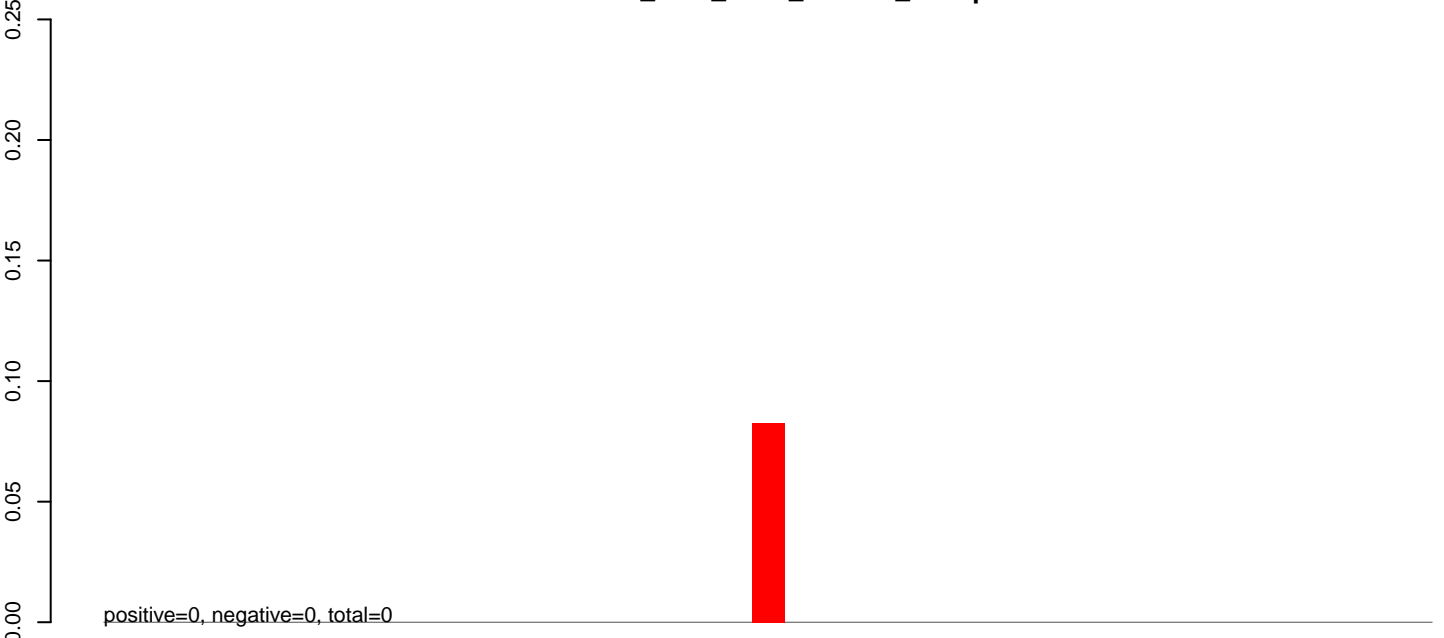
AeAlbo_U4.4_SINV_GFP.rep



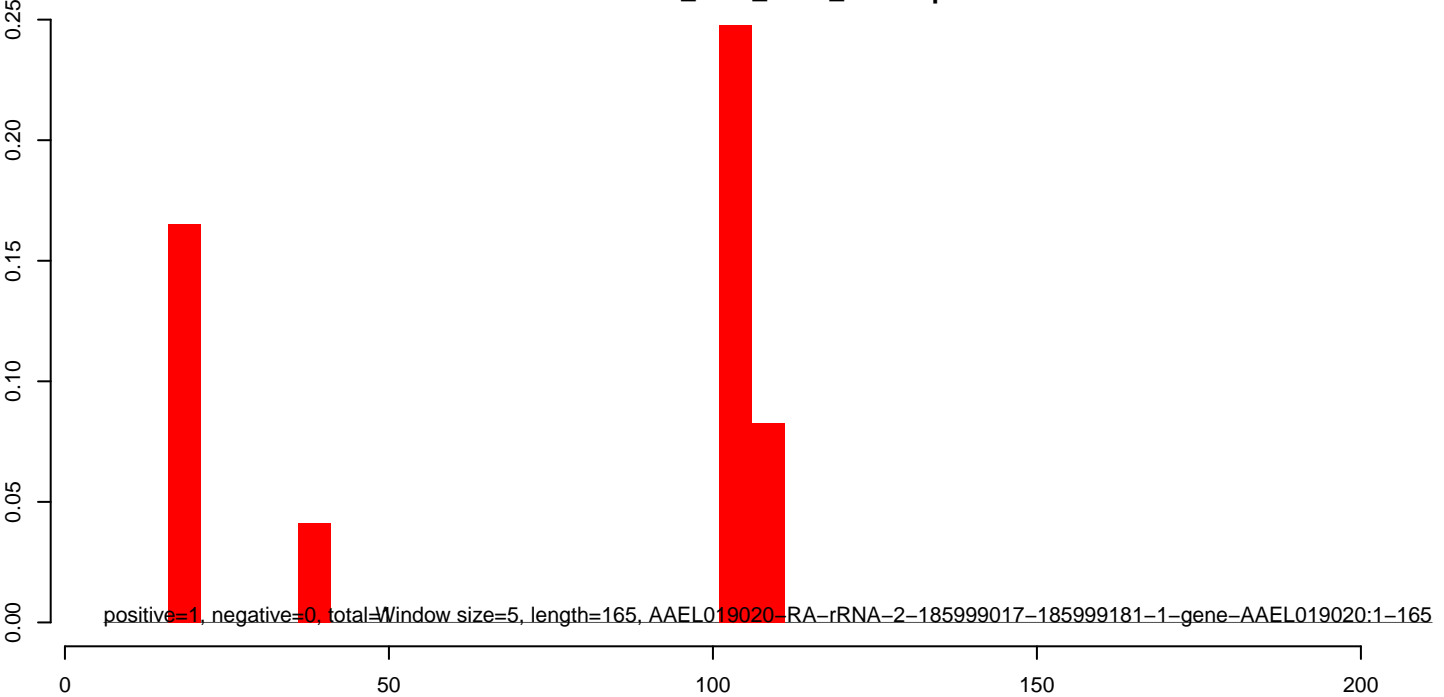
AeAlbo_U4.4_SINV_GFP.18_23.rep



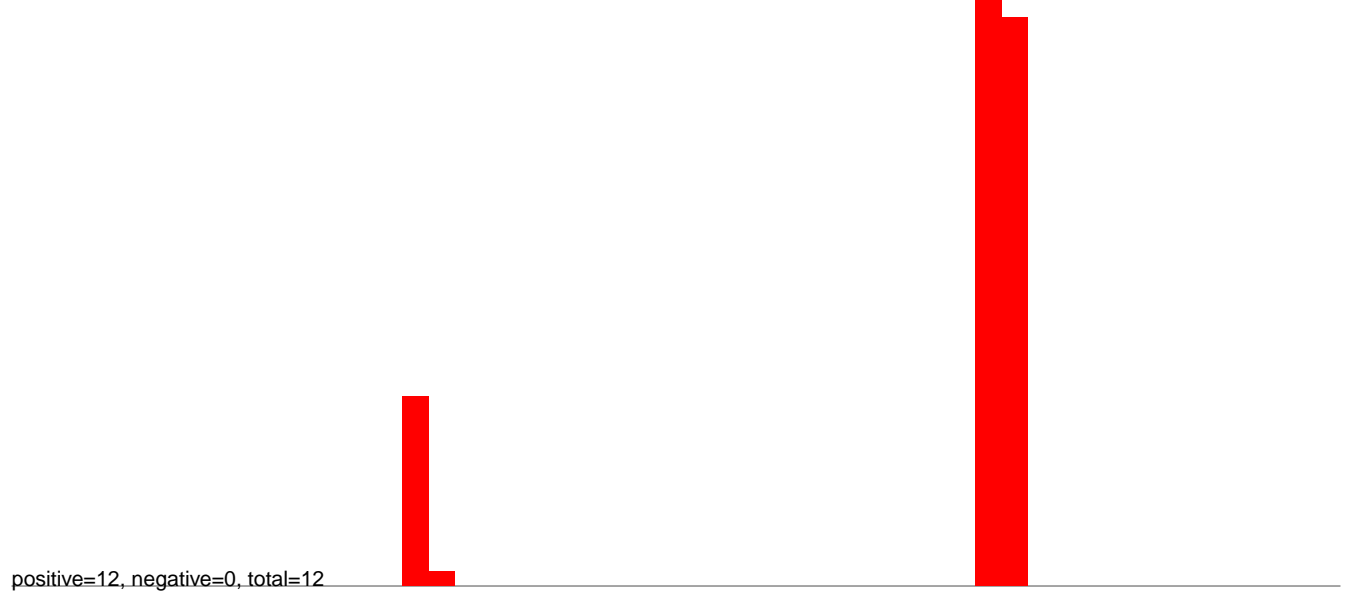
AeAlbo_U4.4_SINV_GFP.24_35.rep



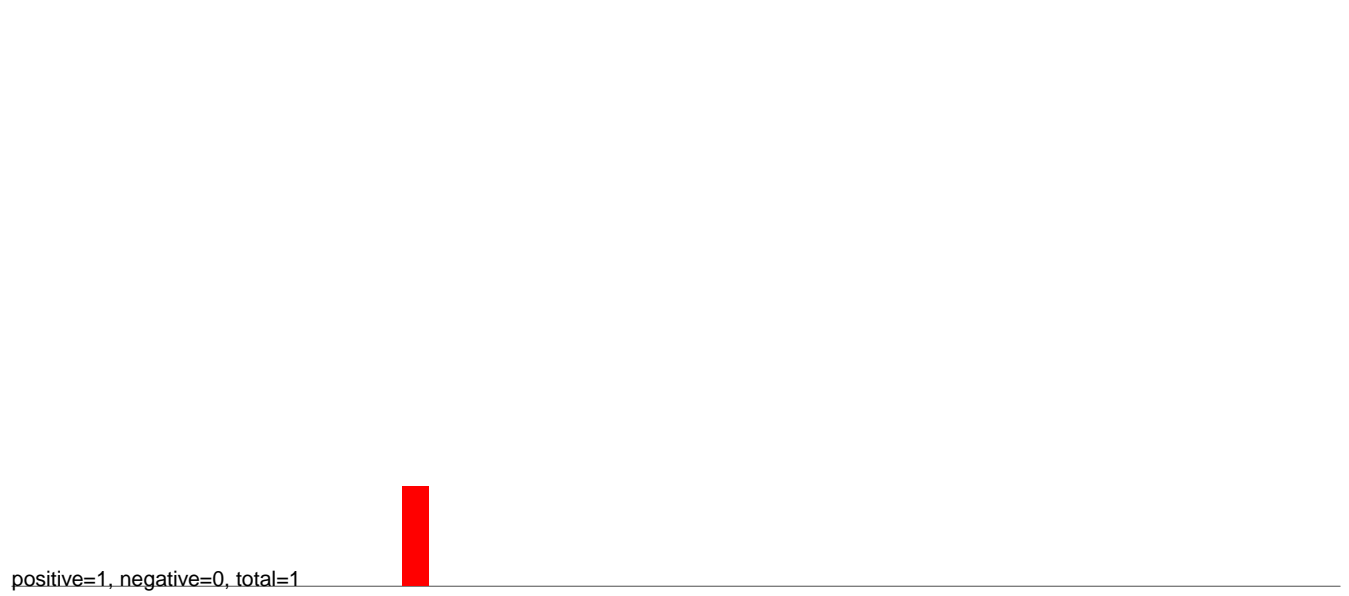
AeAlbo_U4.4_SINV_GFP.rep



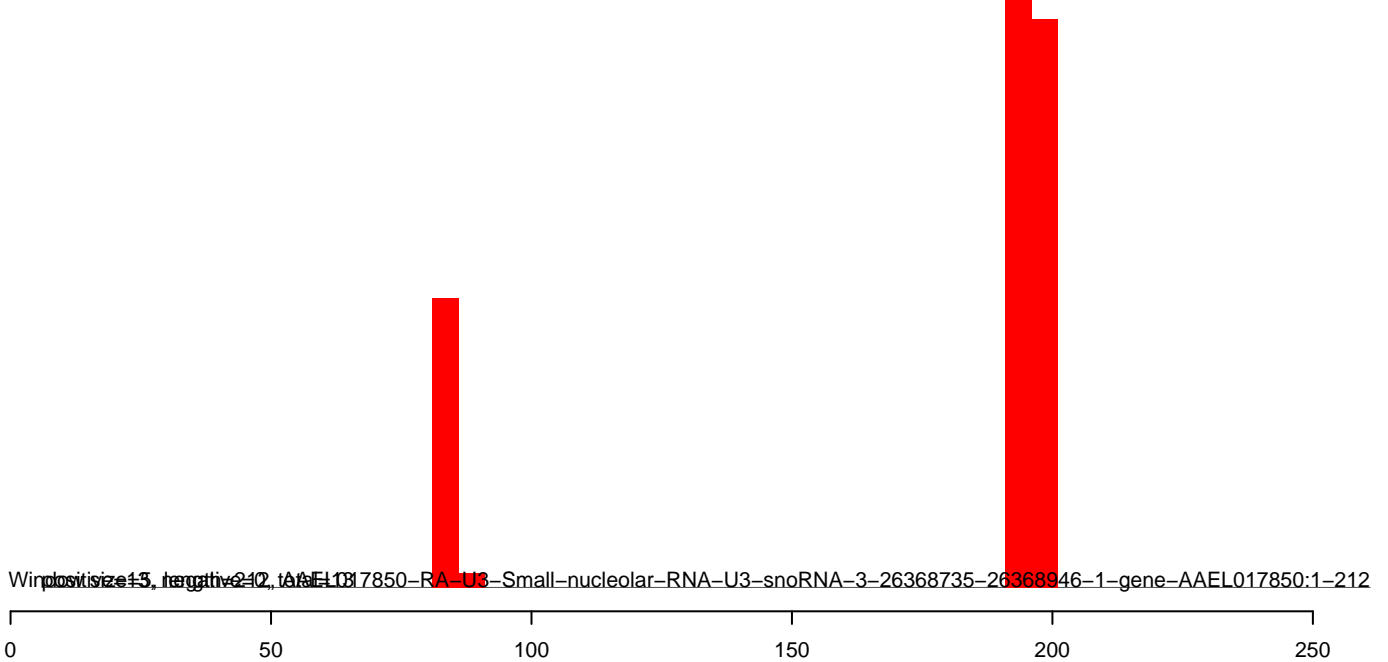
AeAlbo_U4.4_SINV_GFP.18_23.rep



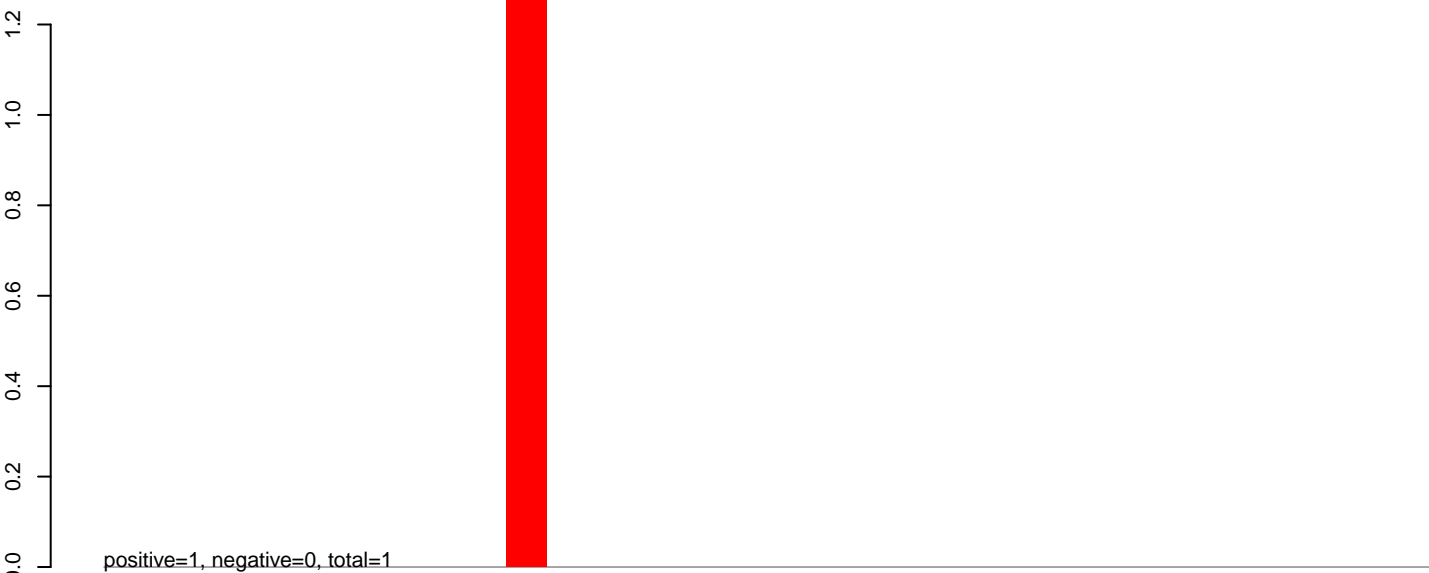
AeAlbo_U4.4_SINV_GFP.24_35.rep



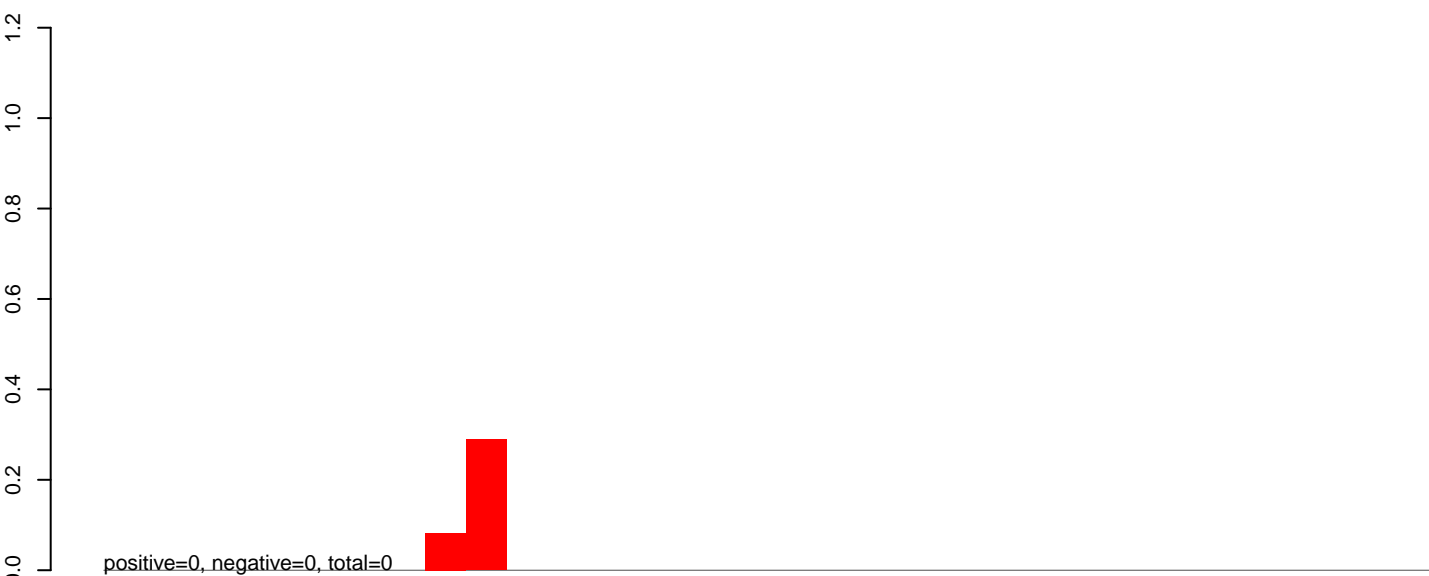
AeAlbo_U4.4_SINV_GFP.rep



AeAlbo_U4.4_SINV_GFP.18_23.rep



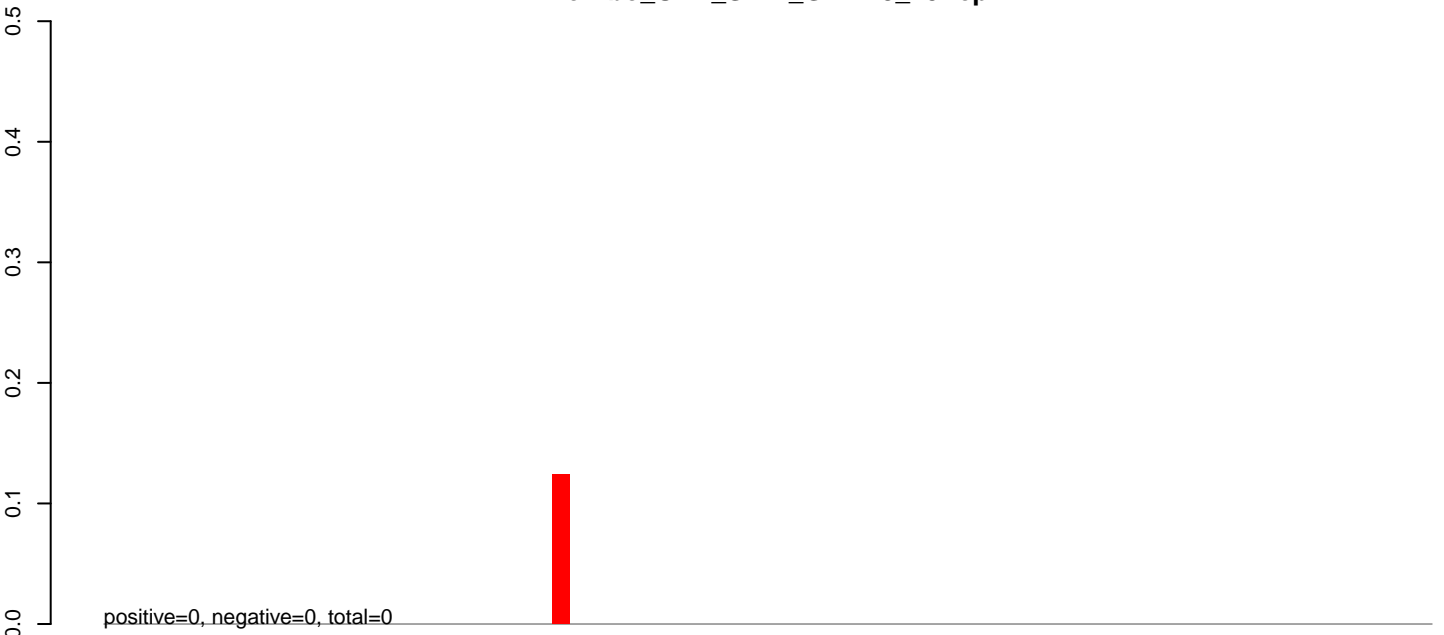
AeAlbo_U4.4_SINV_GFP.24_35.rep



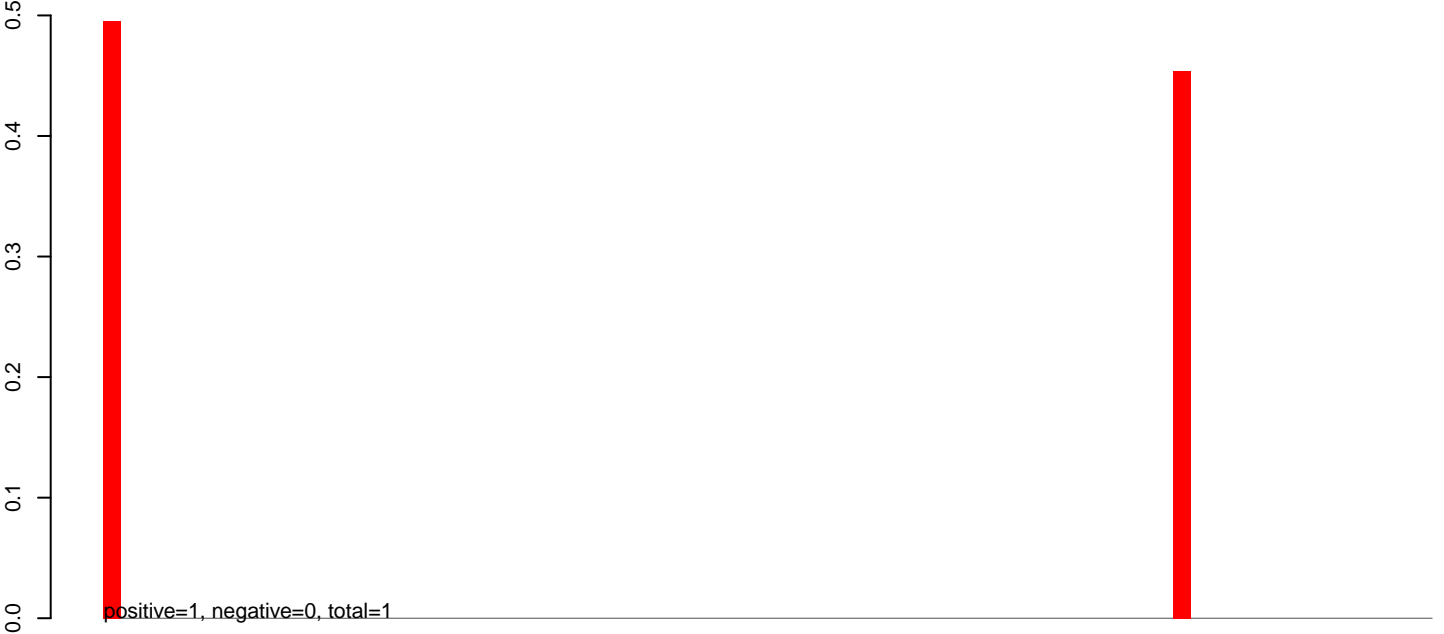
AeAlbo_U4.4_SINV_GFP.rep



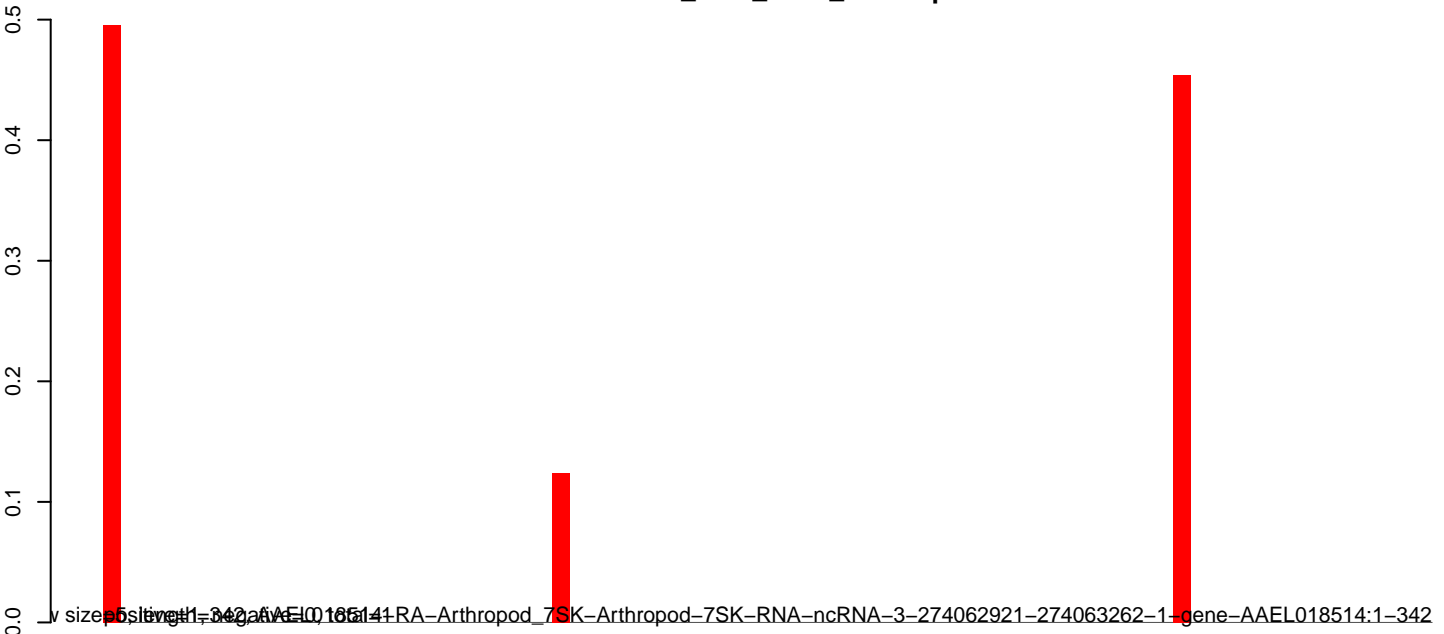
AeAlbo_U4.4_SINV_GFP.18_23.rep



AeAlbo_U4.4_SINV_GFP.24_35.rep



AeAlbo_U4.4_SINV_GFP.rep



view size=551 gene=1-342 gene=AAEL018514-RA-Arthropod_7SK-Arthropod-7SK-RNA-ncRNA-3-274062921-274063262-1-gene-AAEL018514:1-342

0 100 200 300 400

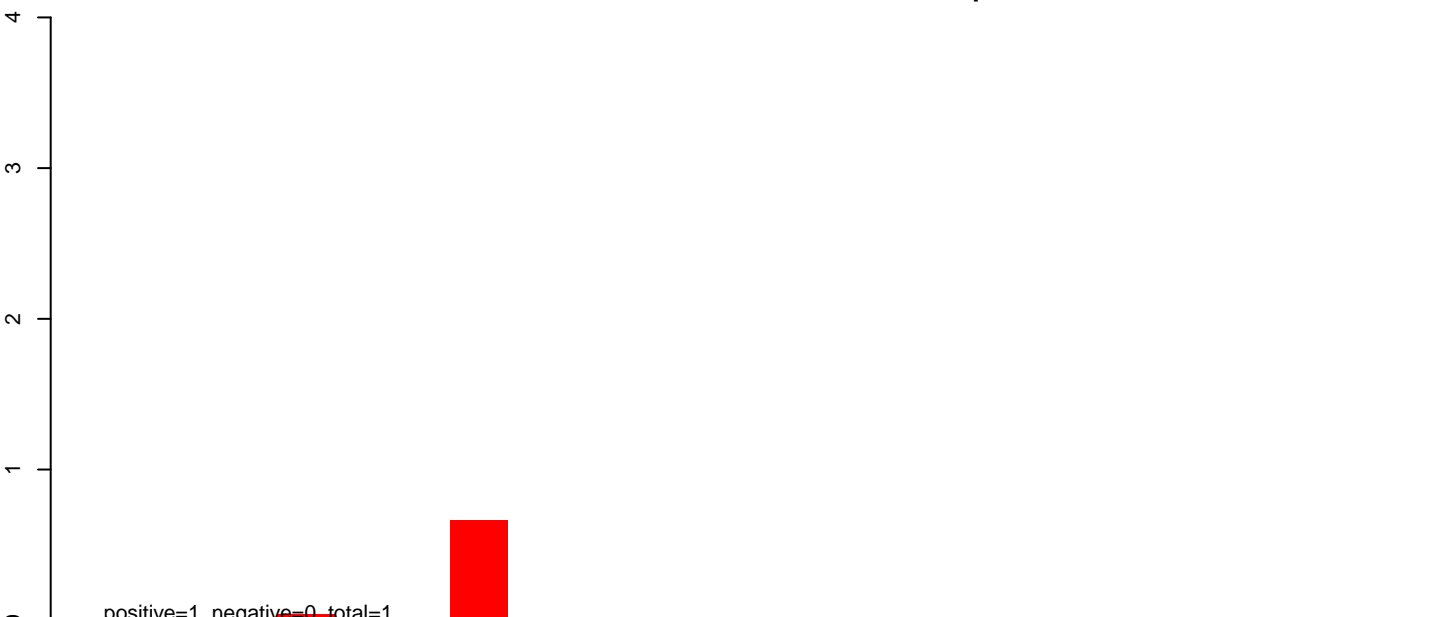
AeAlbo_U4.4_SINV_GFP.18_23.rep

positive=4, negative=0, total=4



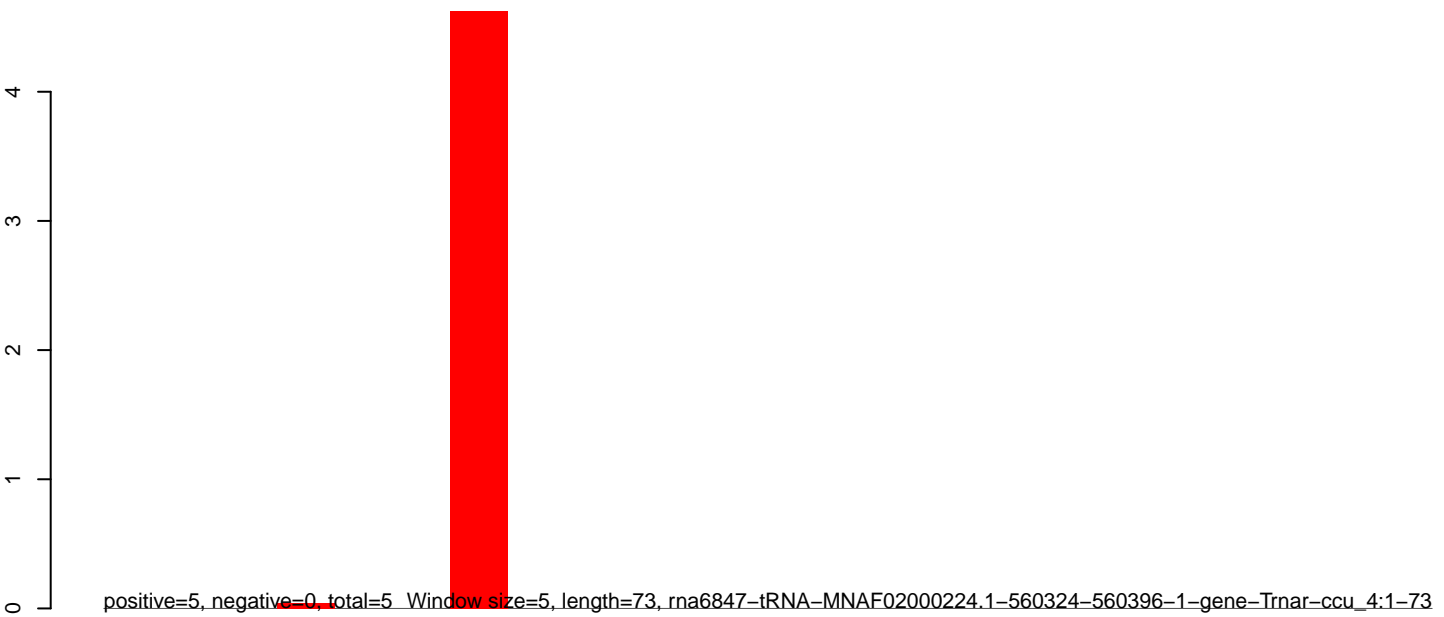
AeAlbo_U4.4_SINV_GFP.24_35.rep

positive=1, negative=0, total=1



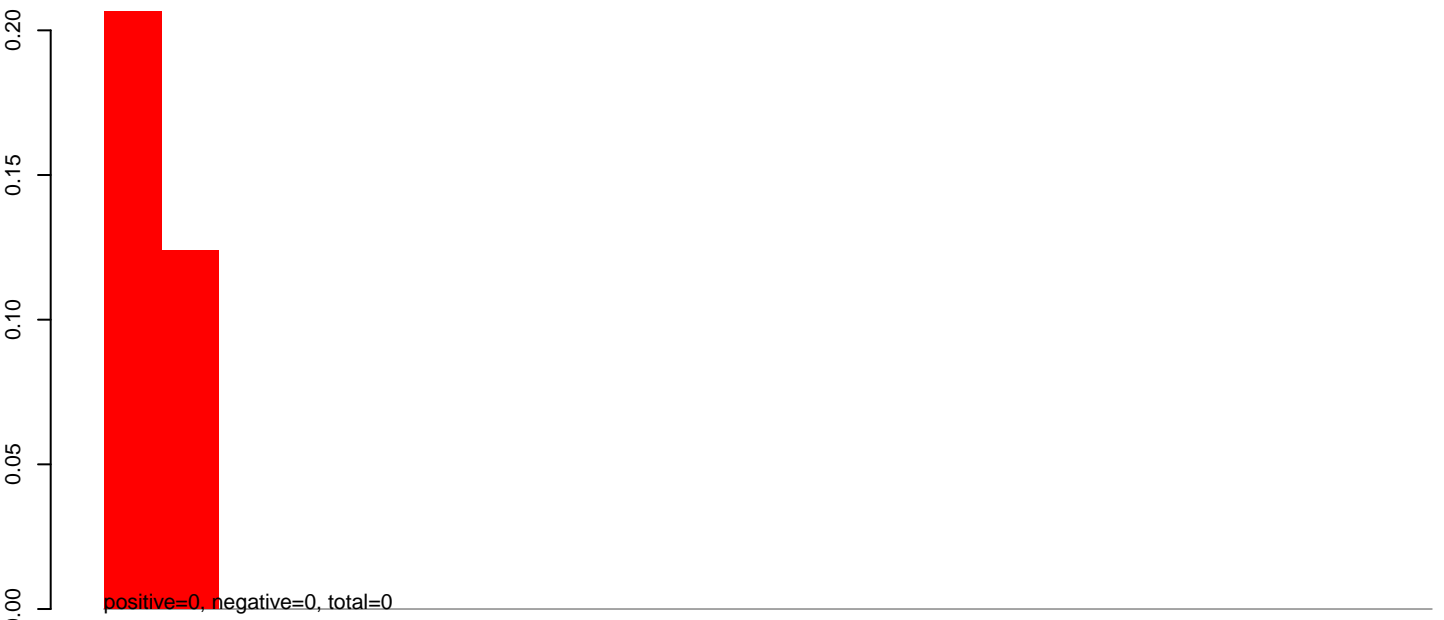
AeAlbo_U4.4_SINV_GFP.rep

positive=5, negative=0, total=5 Window size=5, length=73, rna6847-tRNA-MNAF02000224.1-560324-560396-1-gene-Trnar-ccu_4:1-73

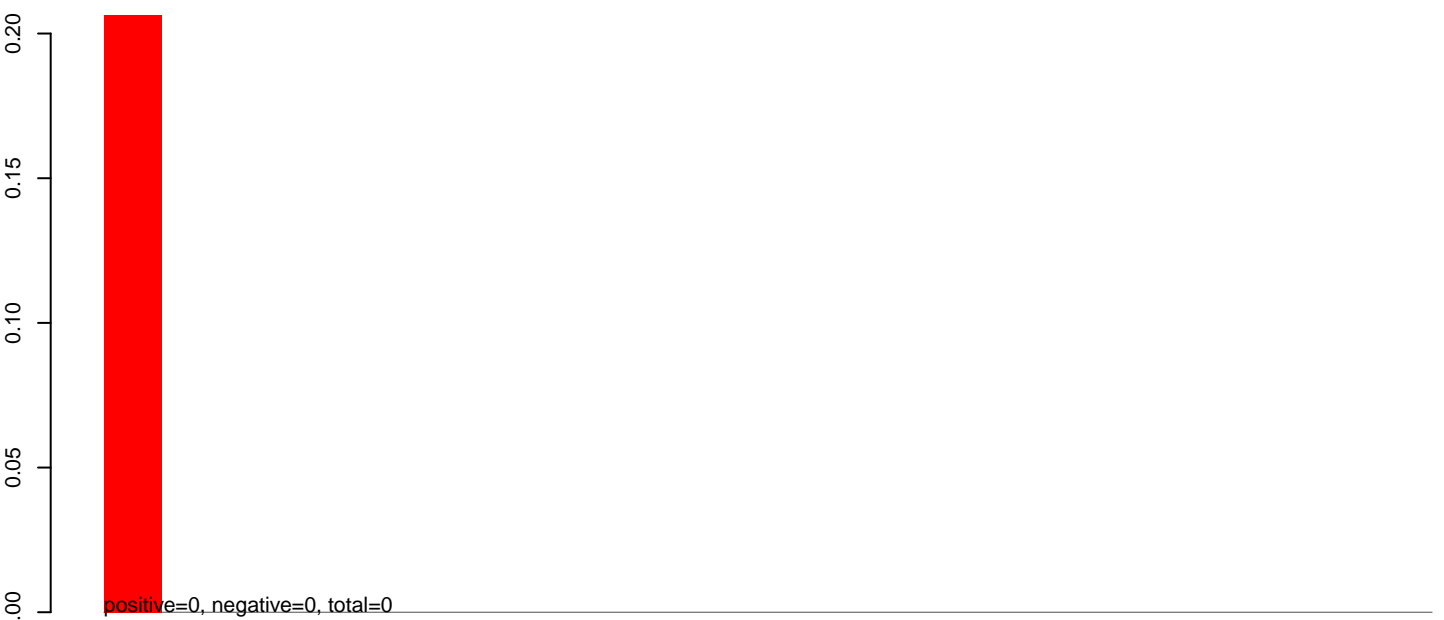


20 40 60 80 100 120

AeAlbo_U4.4_SINV_GFP.18_23.rep



AeAlbo_U4.4_SINV_GFP.24_35.rep



AeAlbo_U4.4_SINV_GFP.rep



AeAlbo_U4.4_SINV_GFP.18_23.rep

0.0
-0.1
-0.2
-0.3
-0.4

positive=0, negative=0, total=0

AeAlbo_U4.4_SINV_GFP.24_35.rep

0.0
-0.1
-0.2
-0.3
-0.4

positive=0, negative=0, total=0

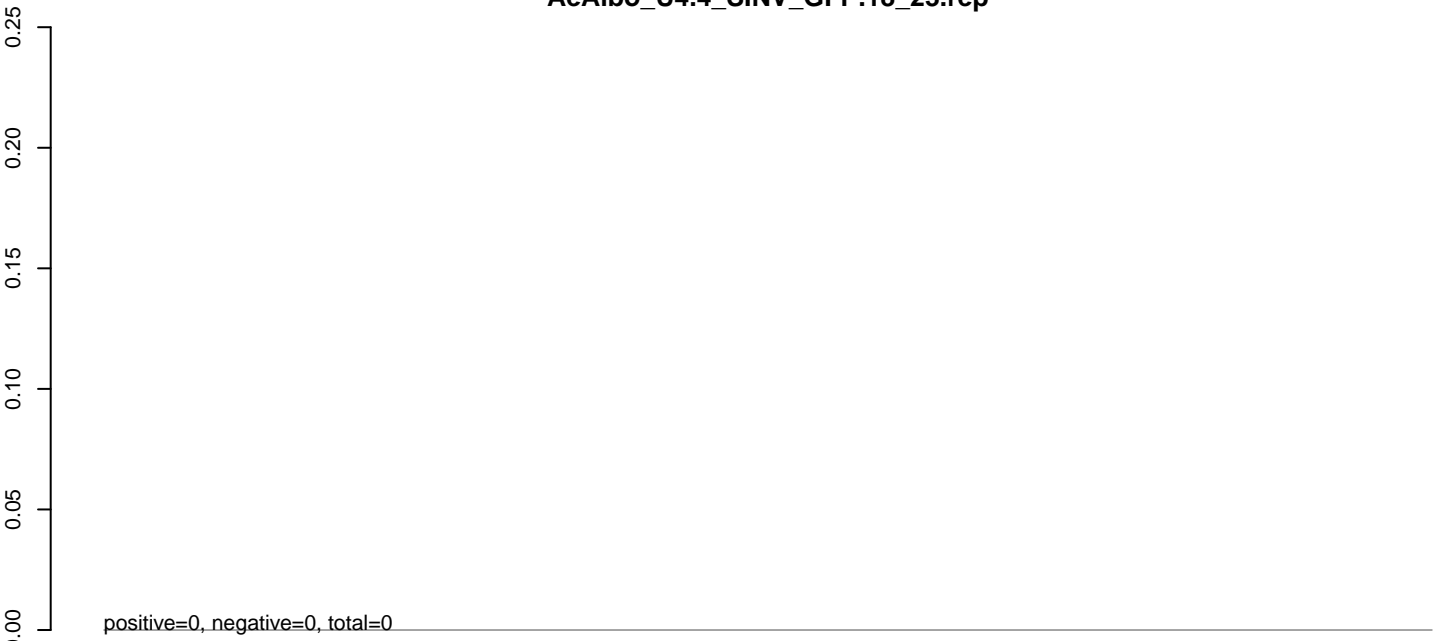
AeAlbo_U4.4_SINV_GFP.rep

0.0
-0.1
-0.2
-0.3
-0.4

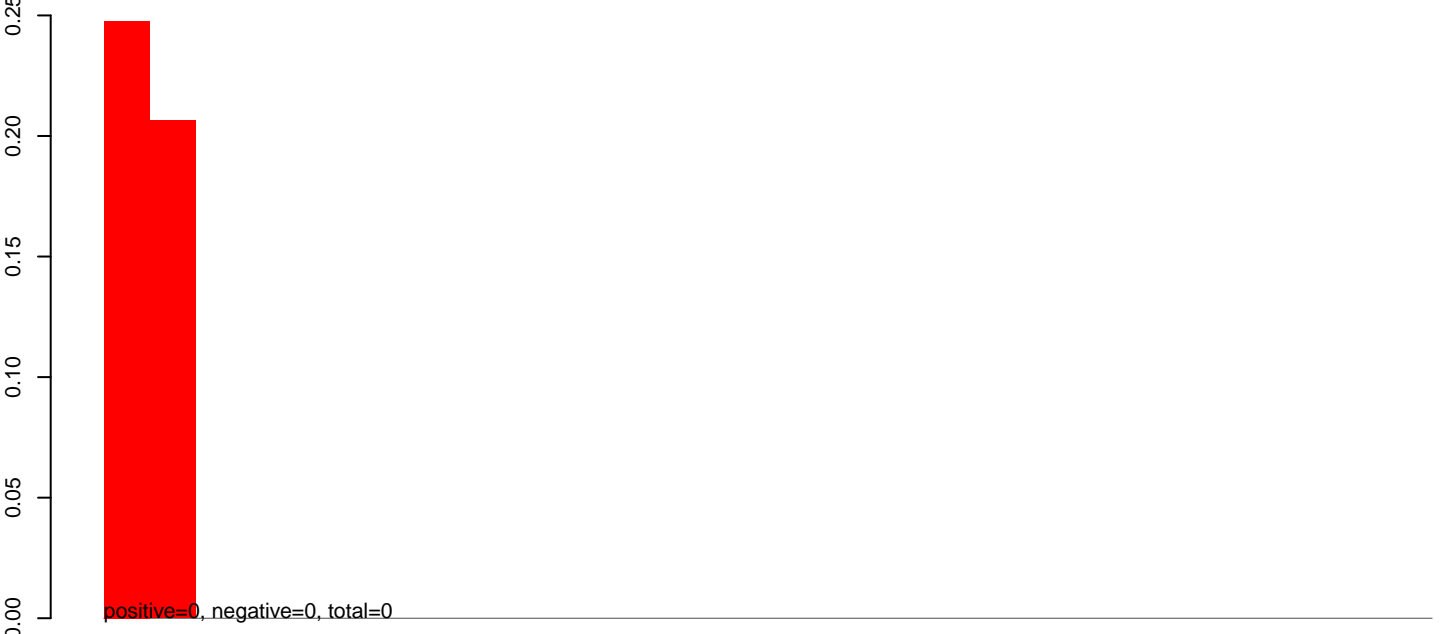
positive=0, negative=5, total=5, length=67, AAEL018675-RA-tRNA-Ser-tRNA-Ser-tRNA-MT-5996-6062-1-gene-AAEL018675:1-67

20 40 60 80 100 120

AeAlbo_U4.4_SINV_GFP.18_23.rep



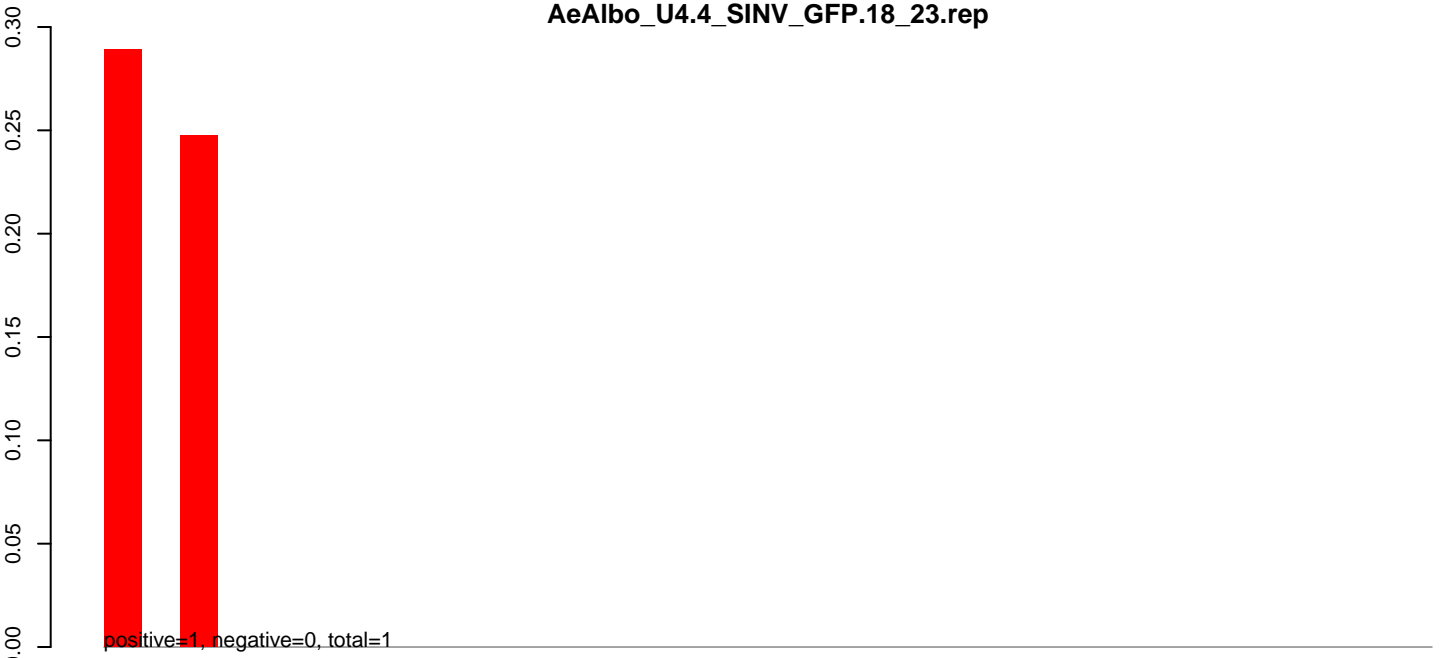
AeAlbo_U4.4_SINV_GFP.24_35.rep



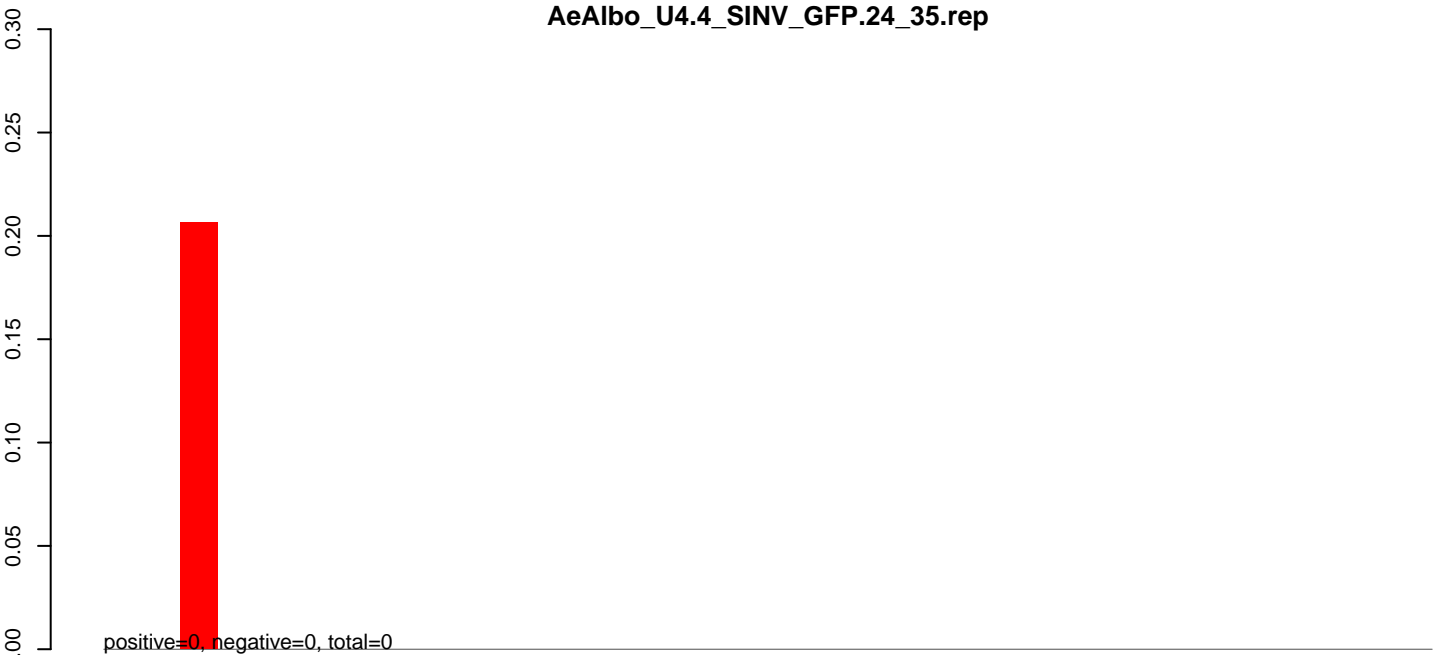
AeAlbo_U4.4_SINV_GFP.rep



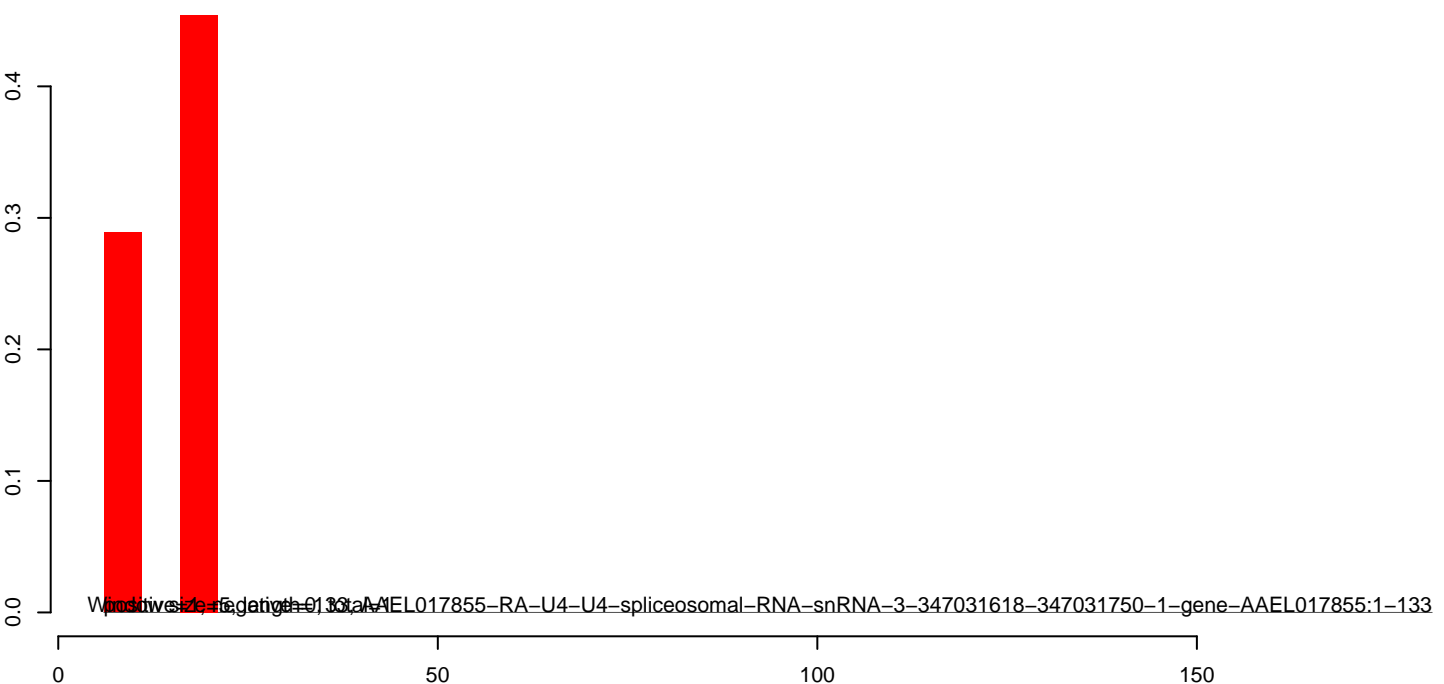
AeAlbo_U4.4_SINV_GFP.18_23.rep



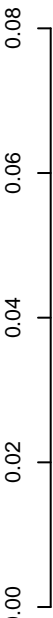
AeAlbo_U4.4_SINV_GFP.24_35.rep



AeAlbo_U4.4_SINV_GFP.rep

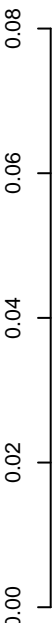


AeAlbo_U4.4_SINV_GFP.18_23.rep



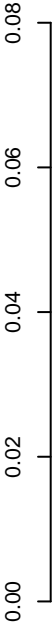
positive=0, negative=0, total=0

AeAlbo_U4.4_SINV_GFP.24_35.rep



positive=0, negative=0, total=0

AeAlbo_U4.4_SINV_GFP.rep



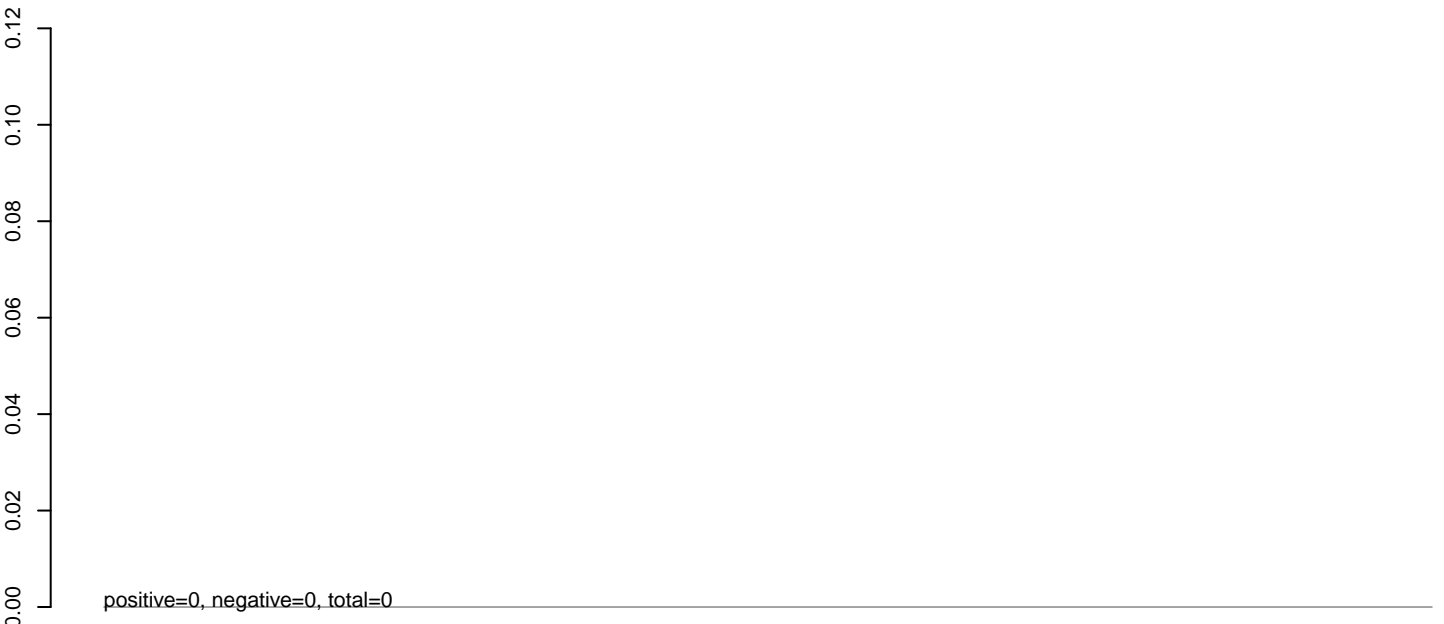
positive=0, negative=5, total=5, length=105, AAEL019322-RA-snoRNA-NIGP01001727-210524-210628-1-gene-AAEL019322:1-105

50

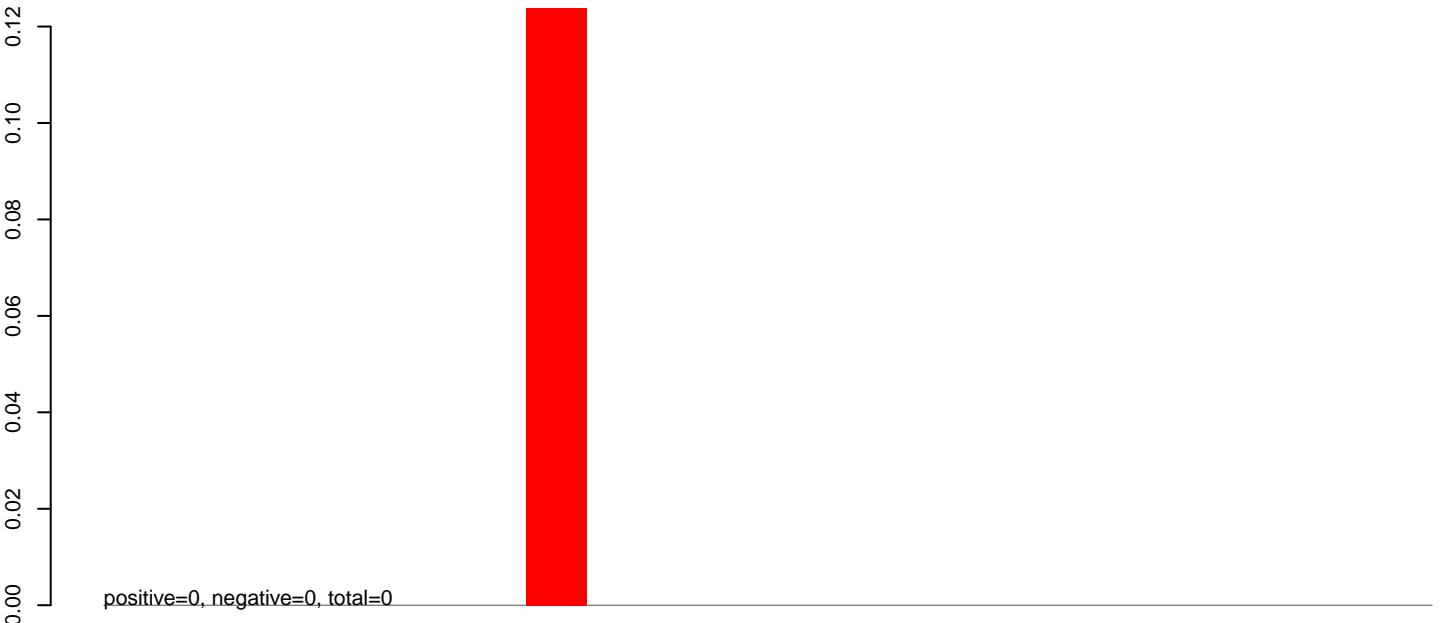
100

150

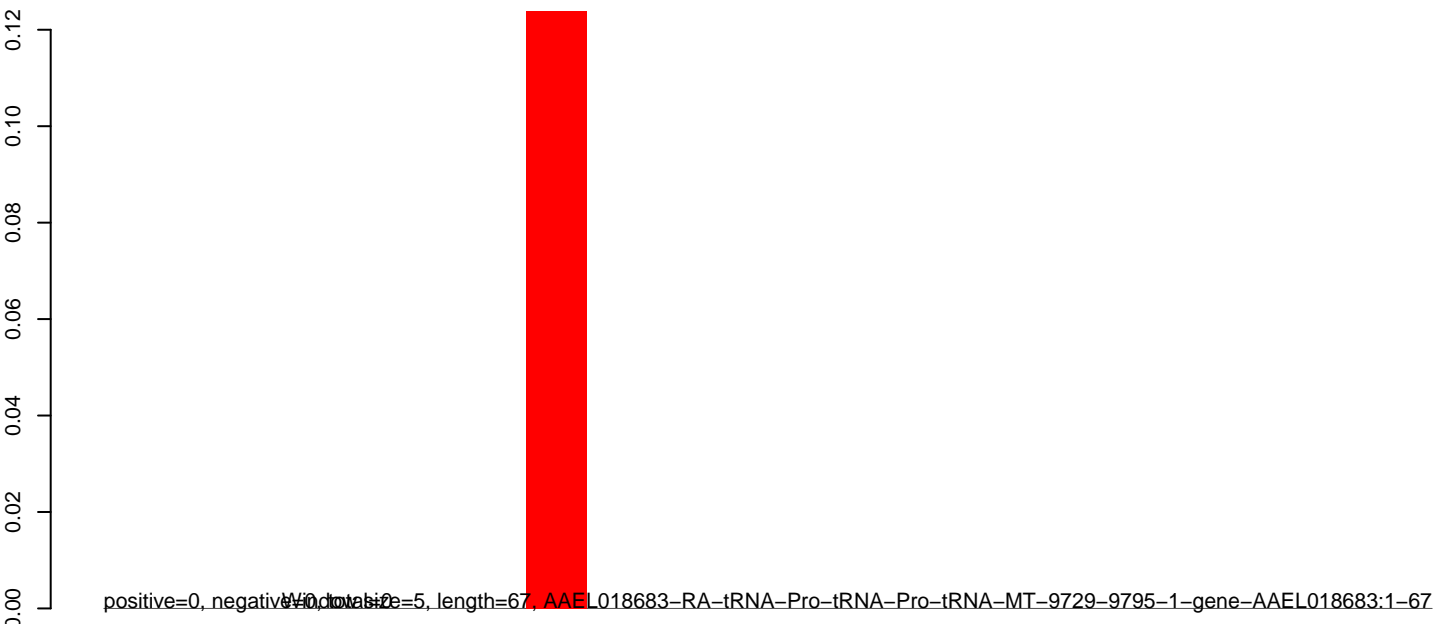
AeAlbo_U4.4_SINV_GFP.18_23.rep



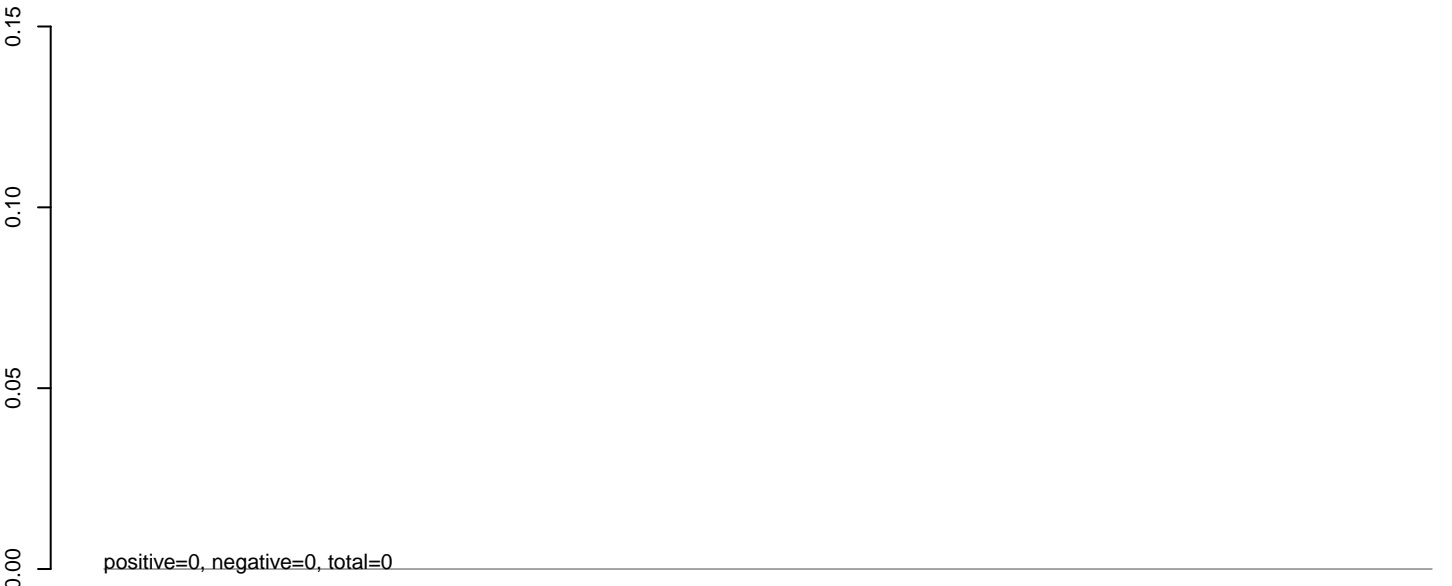
AeAlbo_U4.4_SINV_GFP.24_35.rep



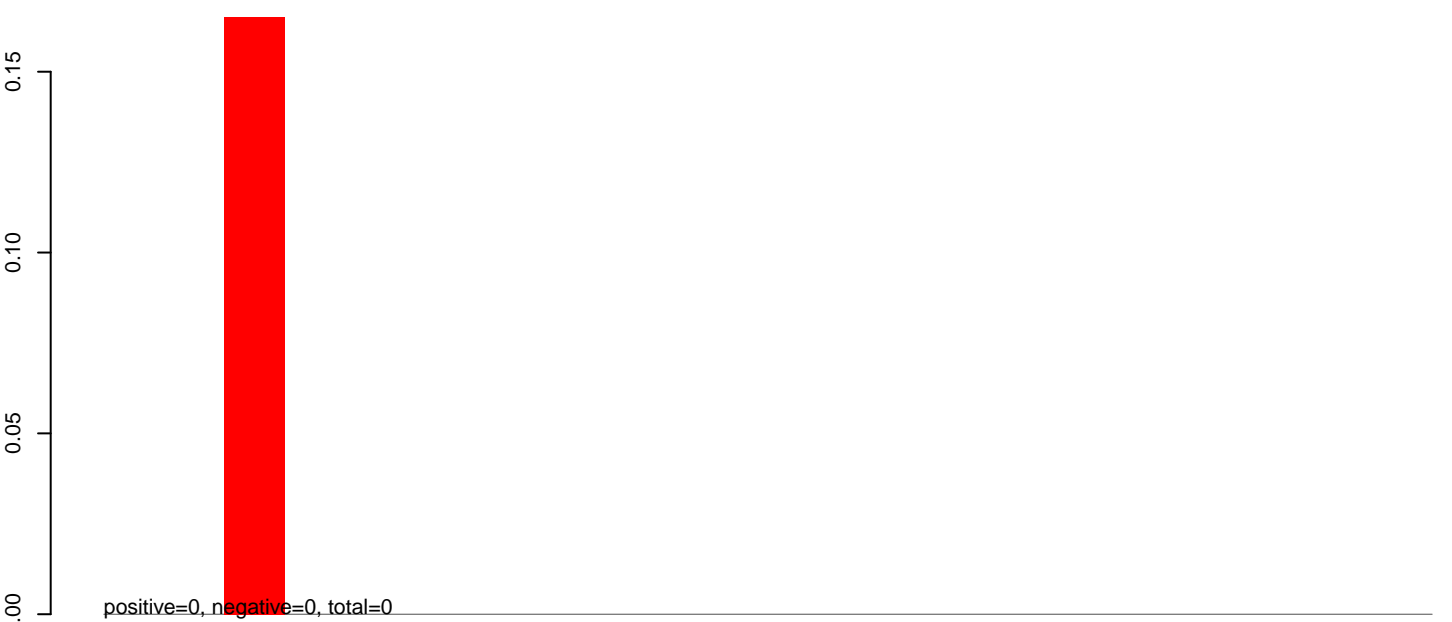
AeAlbo_U4.4_SINV_GFP.rep



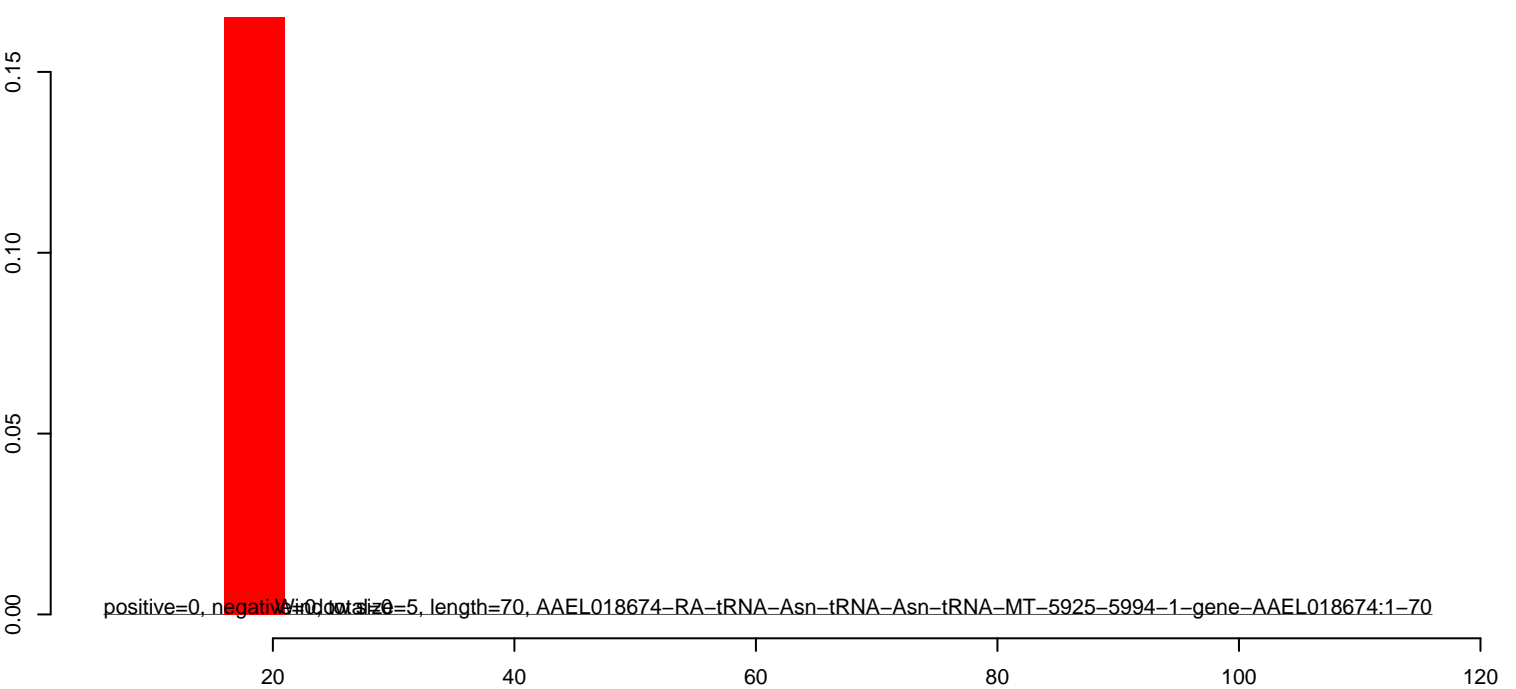
AeAlbo_U4.4_SINV_GFP.18_23.rep



AeAlbo_U4.4_SINV_GFP.24_35.rep



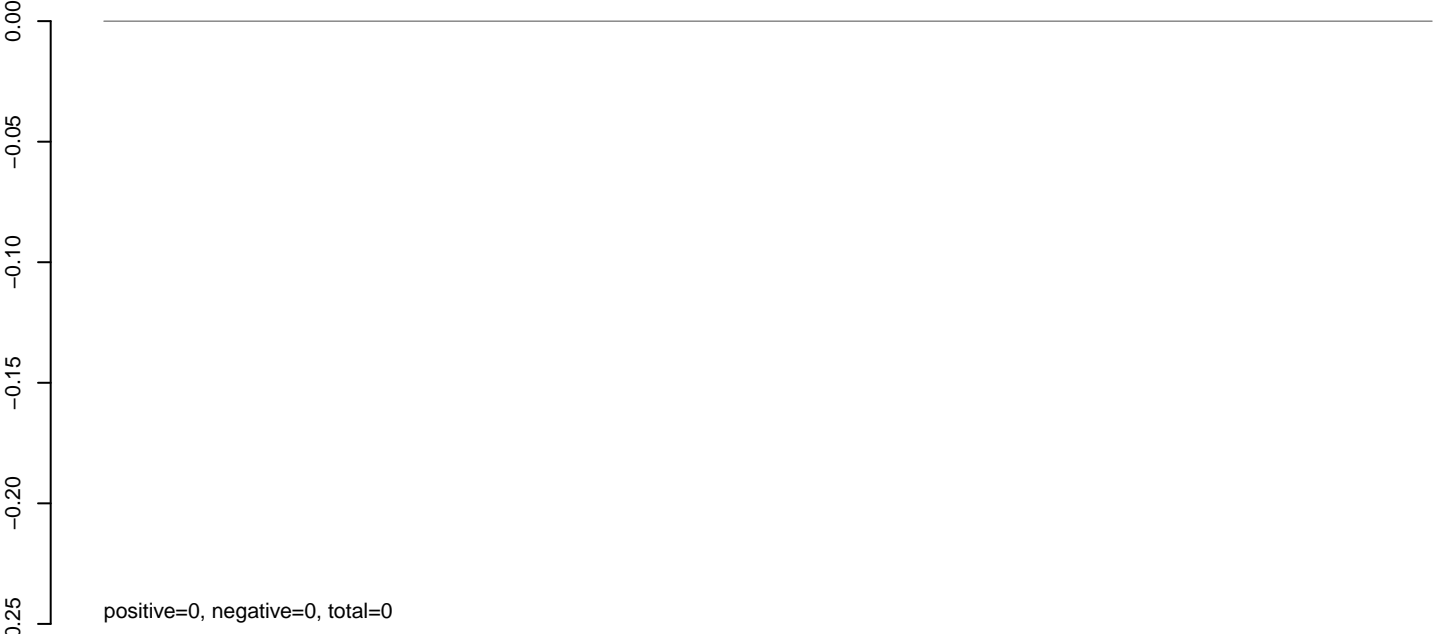
AeAlbo_U4.4_SINV_GFP.rep



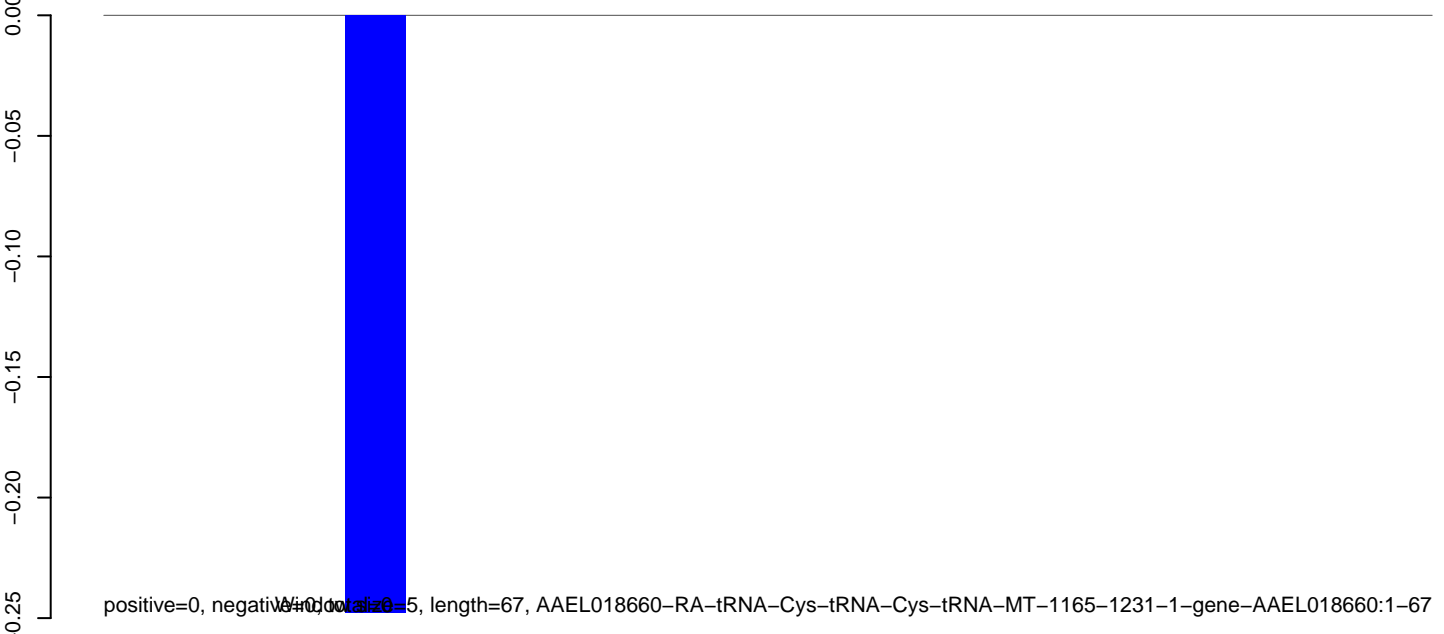
AeAlbo_U4.4_SINV_GFP.18_23.rep



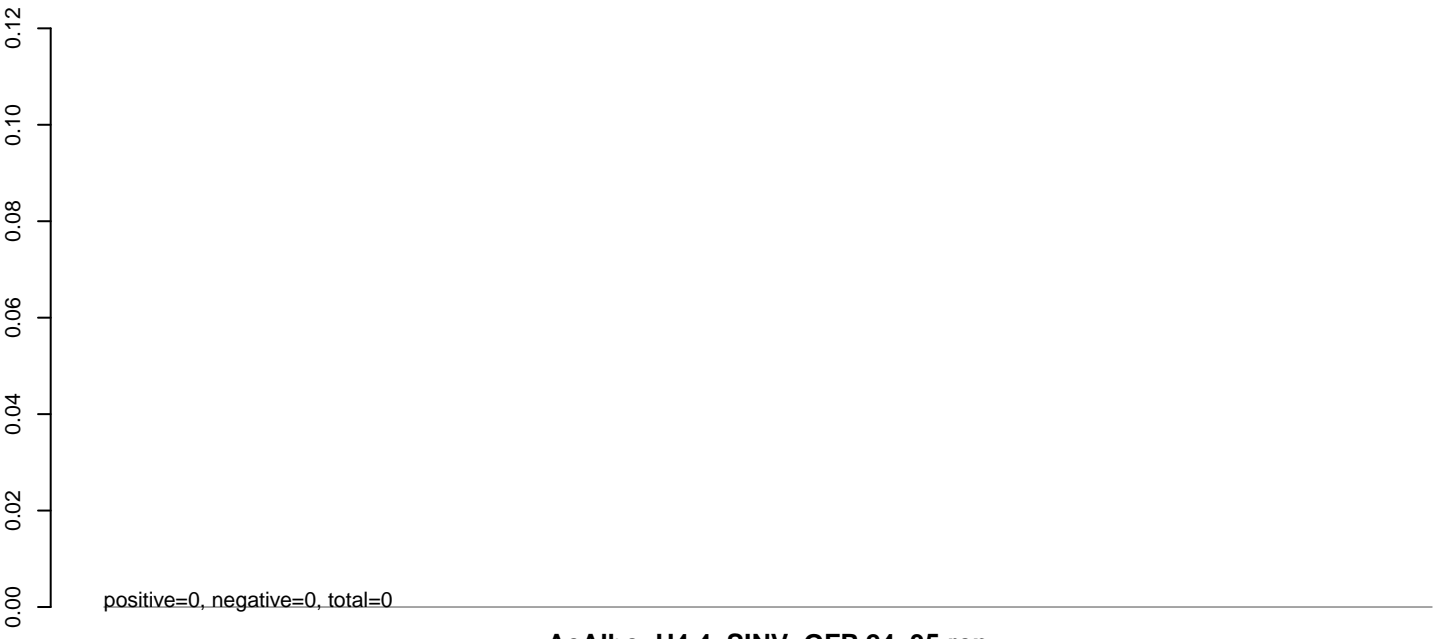
AeAlbo_U4.4_SINV_GFP.24_35.rep



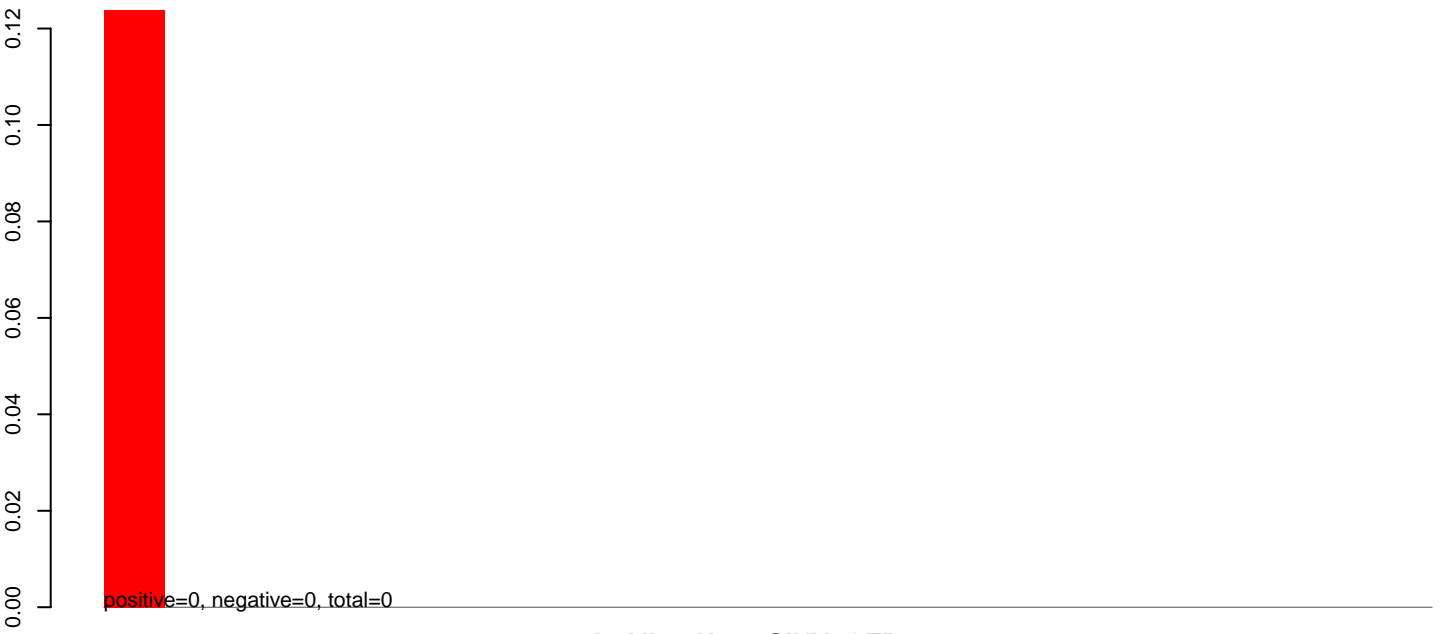
AeAlbo_U4.4_SINV_GFP.rep



AeAlbo_U4.4_SINV_GFP.18_23.rep



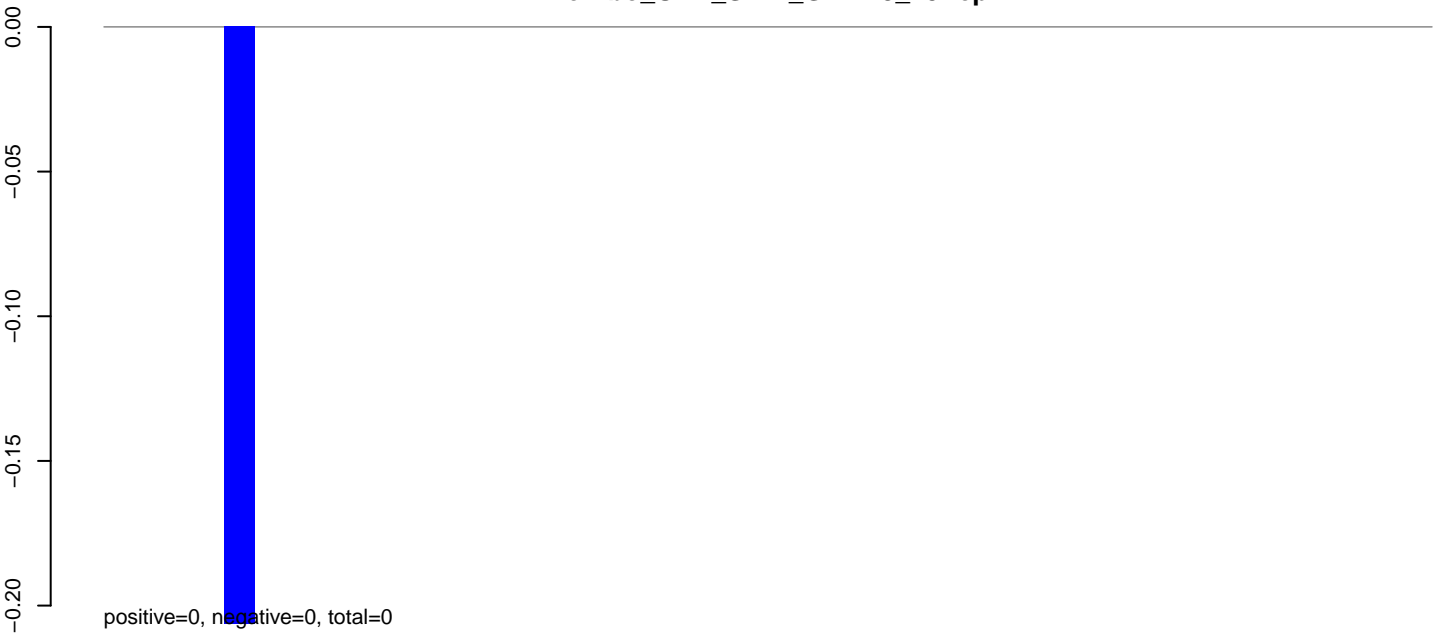
AeAlbo_U4.4_SINV_GFP.24_35.rep



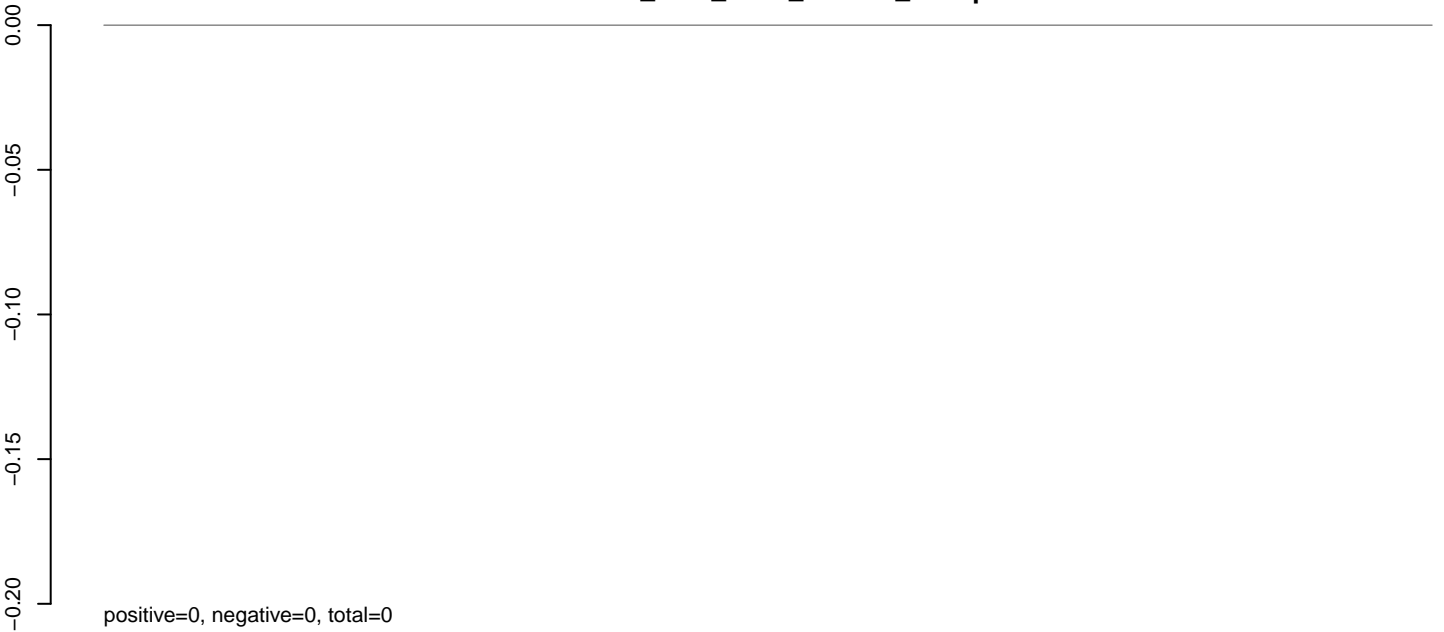
AeAlbo_U4.4_SINV_GFP.rep



AeAlbo_U4.4_SINV_GFP.18_23.rep



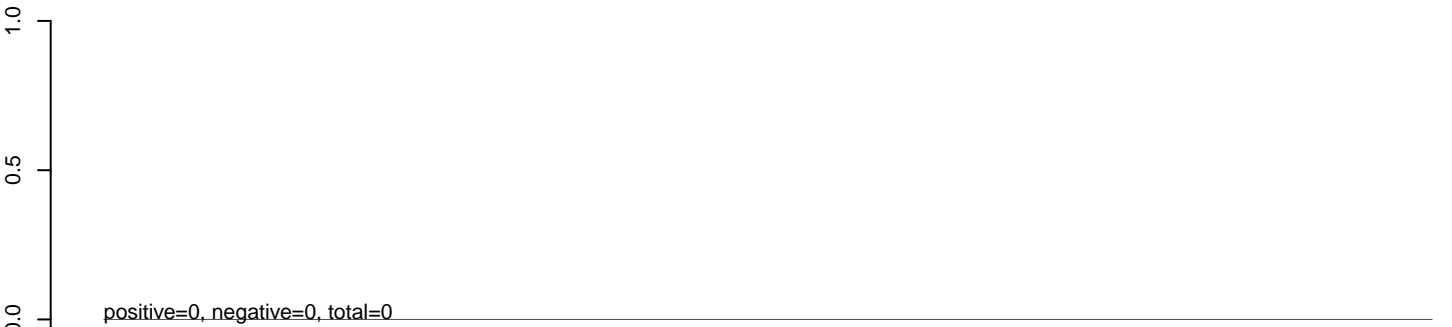
AeAlbo_U4.4_SINV_GFP.24_35.rep



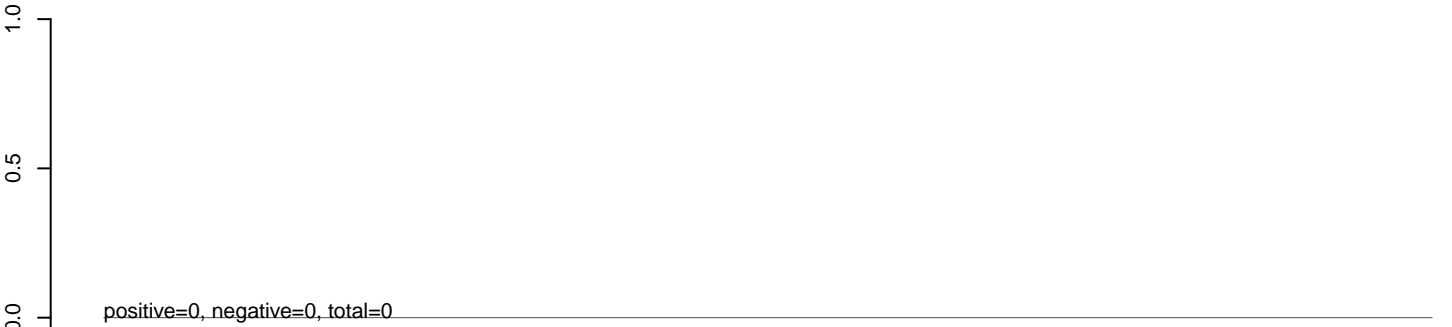
AeAlbo_U4.4_SINV_GFP.rep



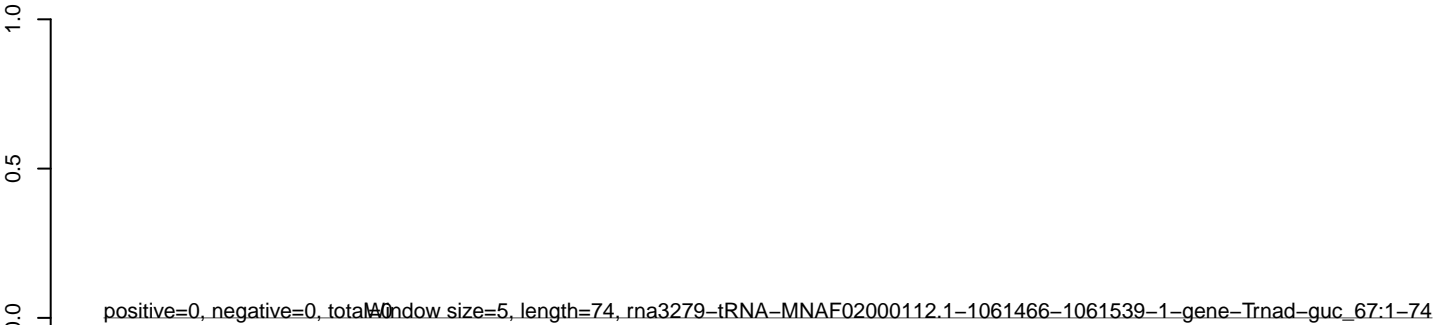
AeAlbo_U4.4_SINV_GFP.18_23.rep



AeAlbo_U4.4_SINV_GFP.24_35.rep



AeAlbo_U4.4_SINV_GFP.rep



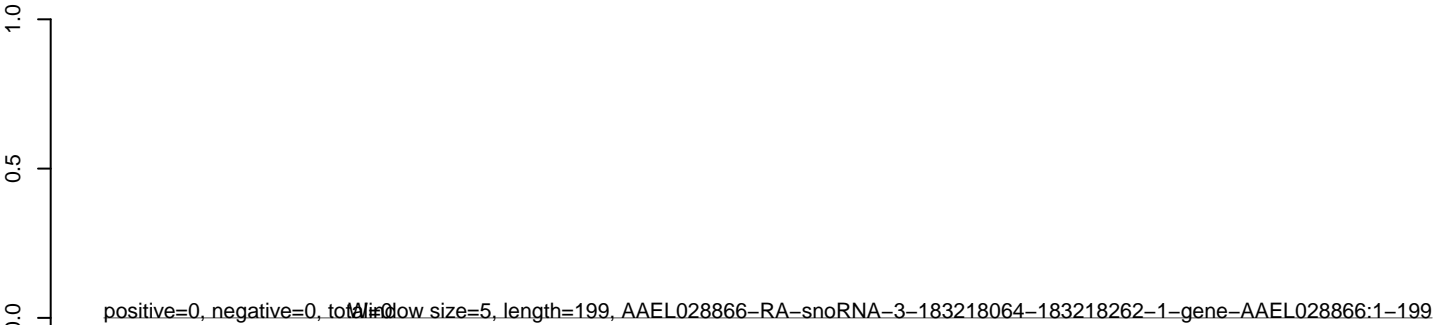
AeAlbo_U4.4_SINV_GFP.18_23.rep



AeAlbo_U4.4_SINV_GFP.24_35.rep



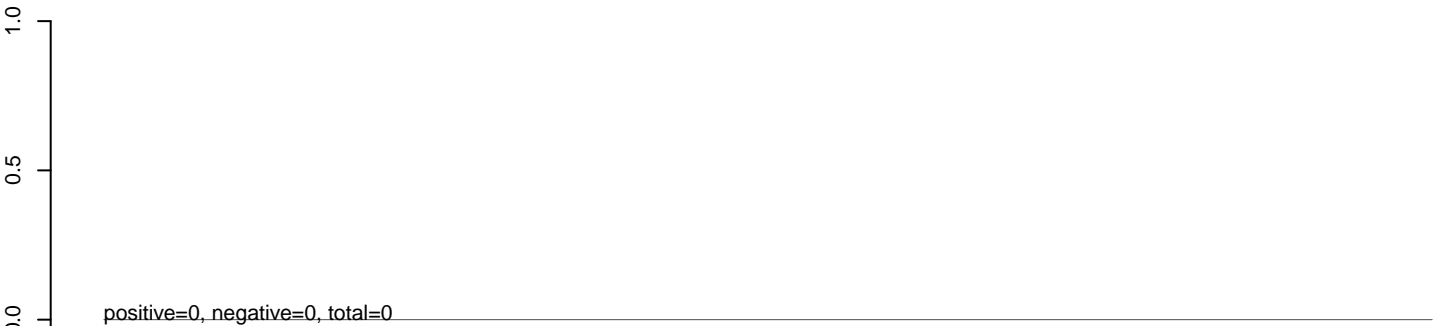
AeAlbo_U4.4_SINV_GFP.rep



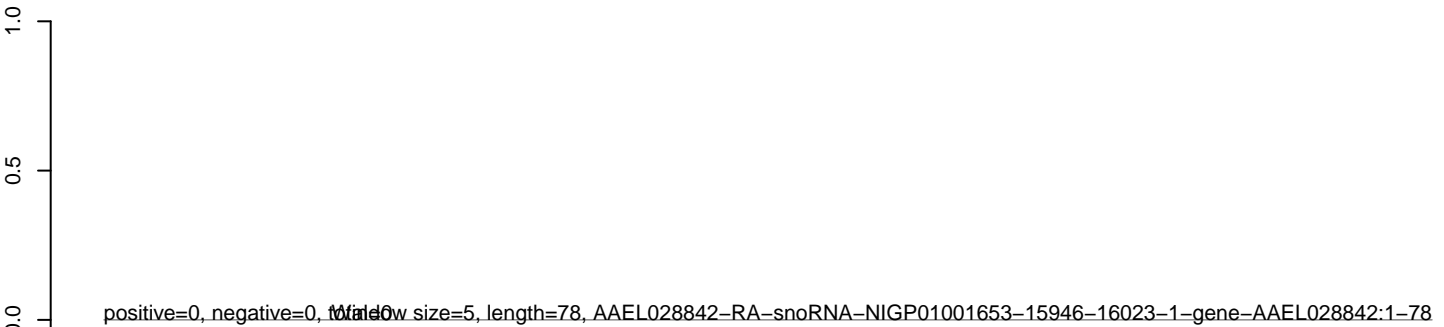
AeAlbo_U4.4_SINV_GFP.18_23.rep



AeAlbo_U4.4_SINV_GFP.24_35.rep



AeAlbo_U4.4_SINV_GFP.rep



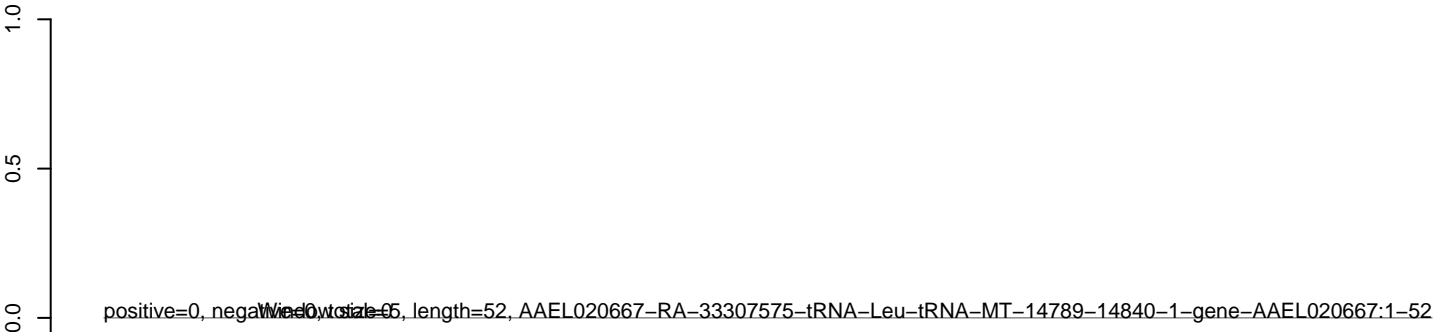
AeAlbo_U4.4_SINV_GFP.18_23.rep



AeAlbo_U4.4_SINV_GFP.24_35.rep



AeAlbo_U4.4_SINV_GFP.rep



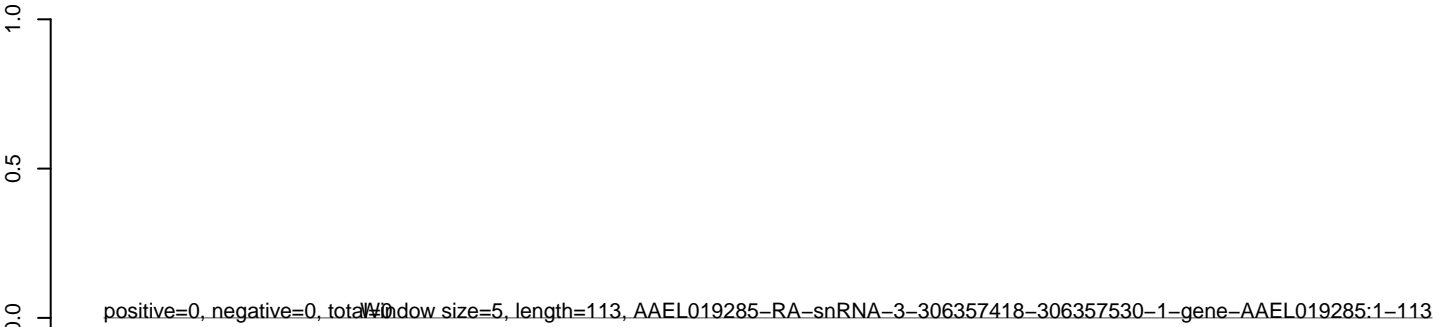
AeAlbo_U4.4_SINV_GFP.18_23.rep



AeAlbo_U4.4_SINV_GFP.24_35.rep



AeAlbo_U4.4_SINV_GFP.rep



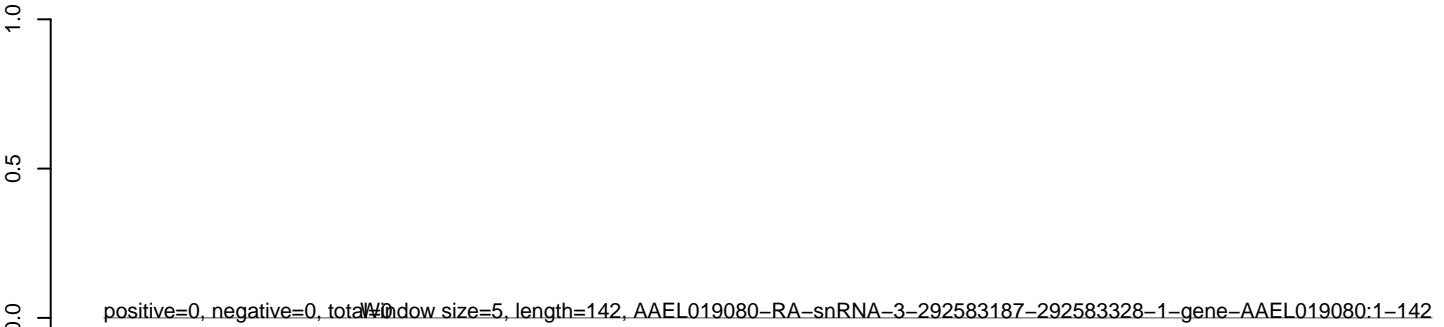
AeAlbo_U4.4_SINV_GFP.18_23.rep



AeAlbo_U4.4_SINV_GFP.24_35.rep



AeAlbo_U4.4_SINV_GFP.rep



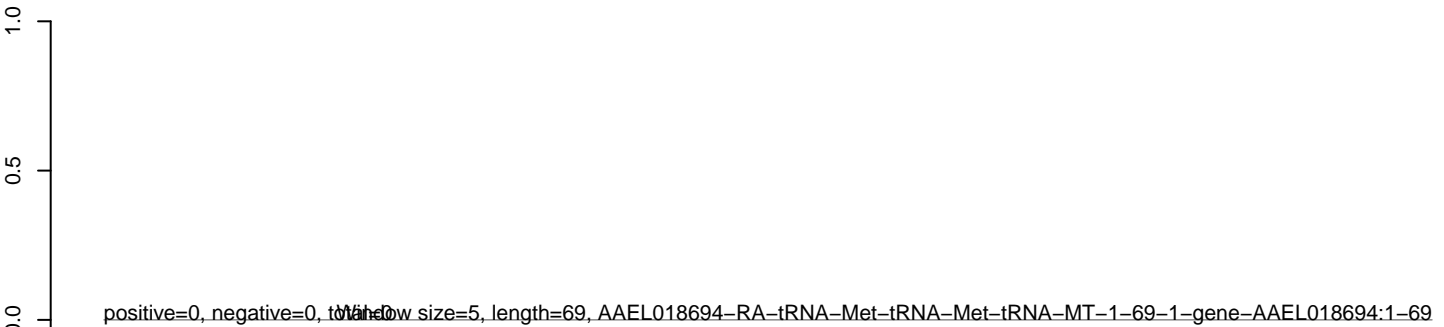
AeAlbo_U4.4_SINV_GFP.18_23.rep



AeAlbo_U4.4_SINV_GFP.24_35.rep



AeAlbo_U4.4_SINV_GFP.rep



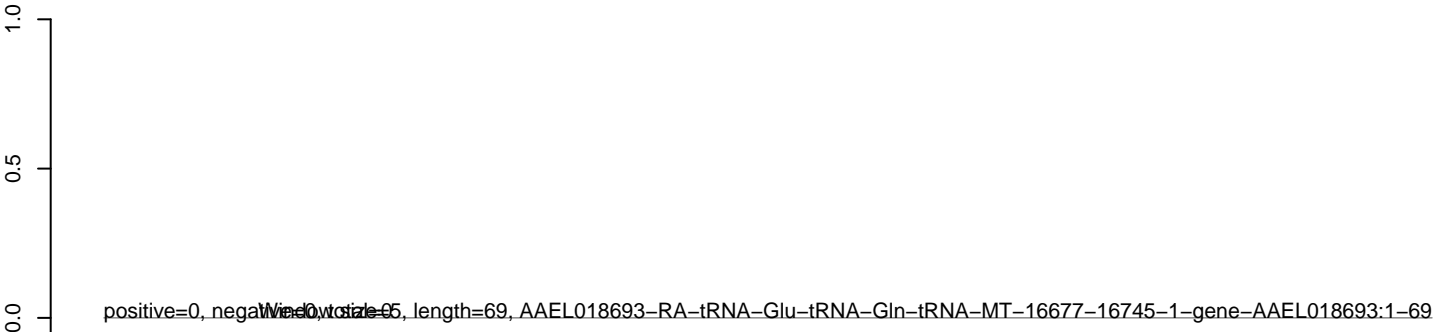
AeAlbo_U4.4_SINV_GFP.18_23.rep



AeAlbo_U4.4_SINV_GFP.24_35.rep



AeAlbo_U4.4_SINV_GFP.rep



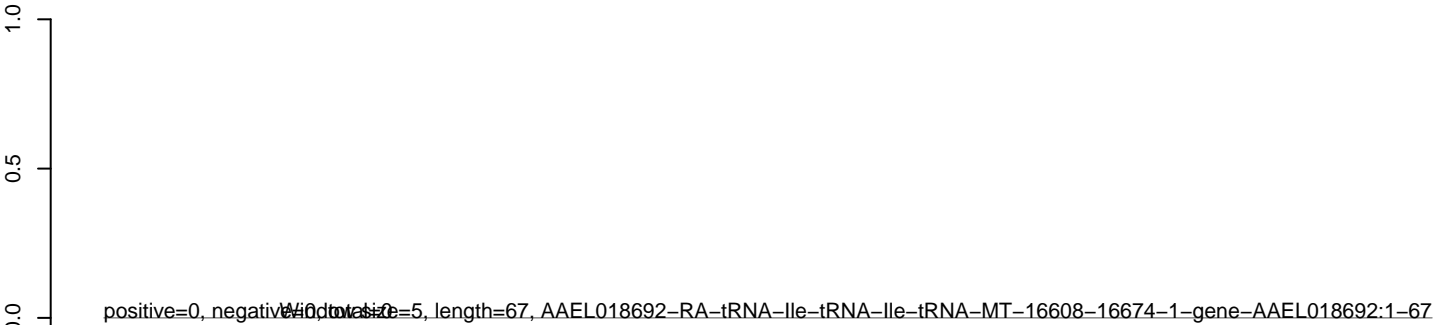
AeAlbo_U4.4_SINV_GFP.18_23.rep



AeAlbo_U4.4_SINV_GFP.24_35.rep



AeAlbo_U4.4_SINV_GFP.rep



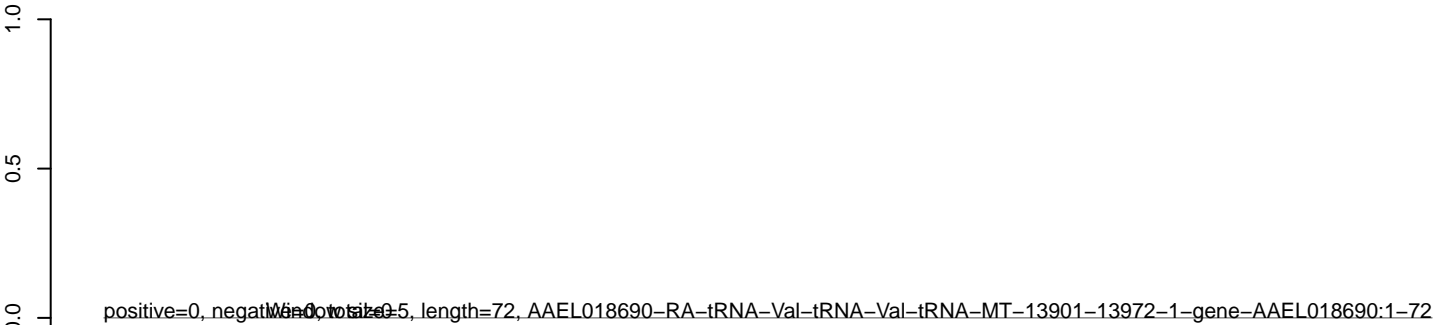
AeAlbo_U4.4_SINV_GFP.18_23.rep



AeAlbo_U4.4_SINV_GFP.24_35.rep



AeAlbo_U4.4_SINV_GFP.rep



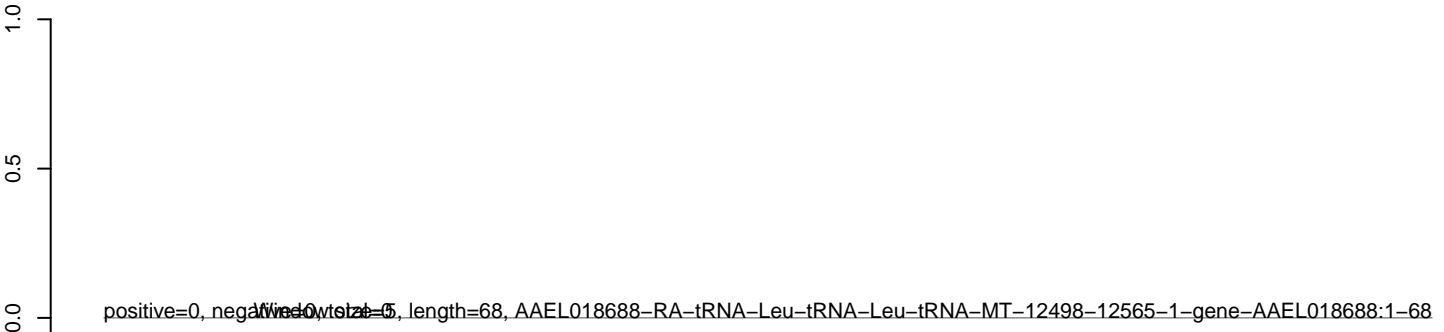
AeAlbo_U4.4_SINV_GFP.18_23.rep



AeAlbo_U4.4_SINV_GFP.24_35.rep



AeAlbo_U4.4_SINV_GFP.rep



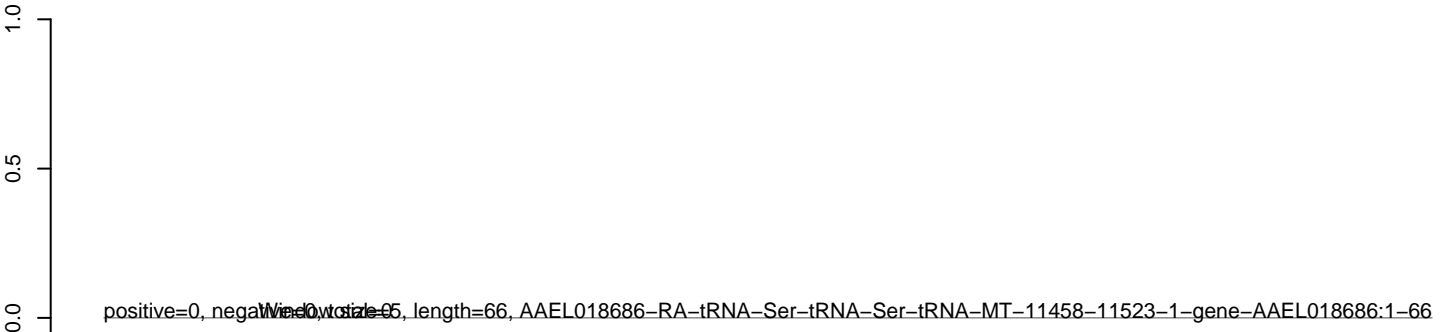
AeAlbo_U4.4_SINV_GFP.18_23.rep



AeAlbo_U4.4_SINV_GFP.24_35.rep



AeAlbo_U4.4_SINV_GFP.rep



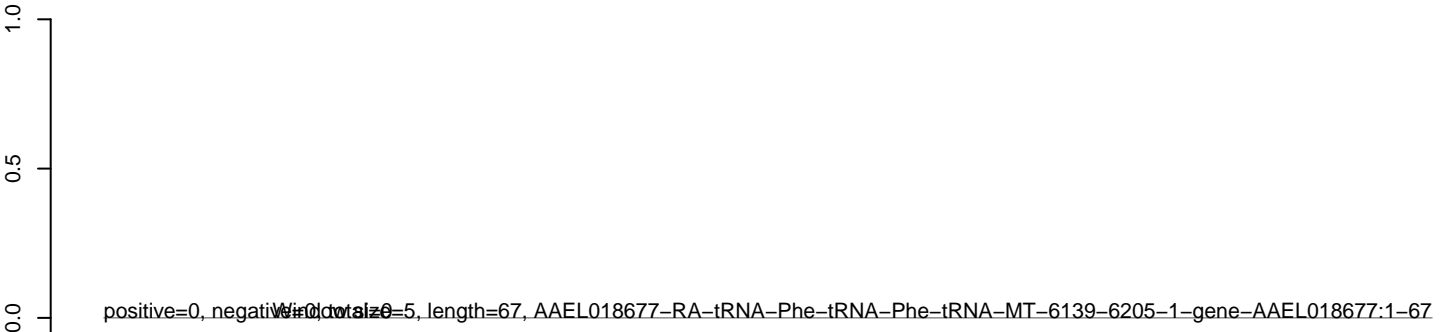
AeAlbo_U4.4_SINV_GFP.18_23.rep



AeAlbo_U4.4_SINV_GFP.24_35.rep



AeAlbo_U4.4_SINV_GFP.rep



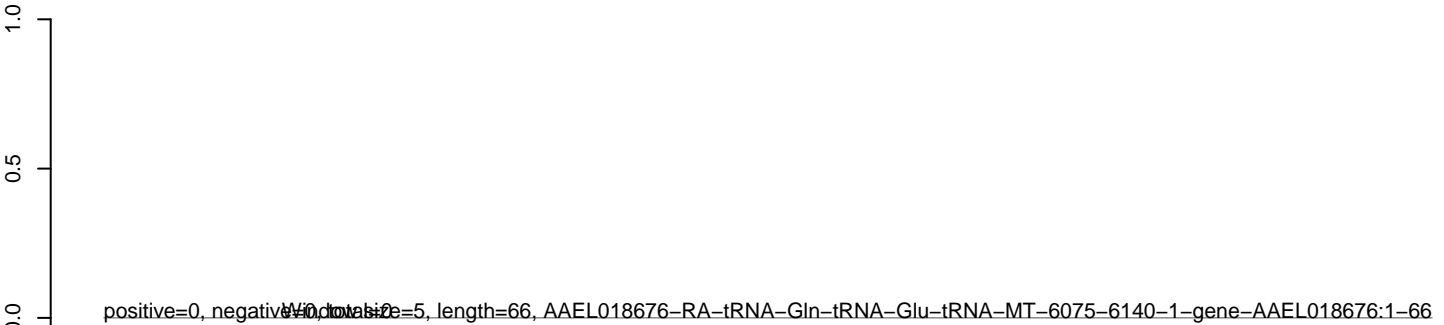
AeAlbo_U4.4_SINV_GFP.18_23.rep



AeAlbo_U4.4_SINV_GFP.24_35.rep



AeAlbo_U4.4_SINV_GFP.rep



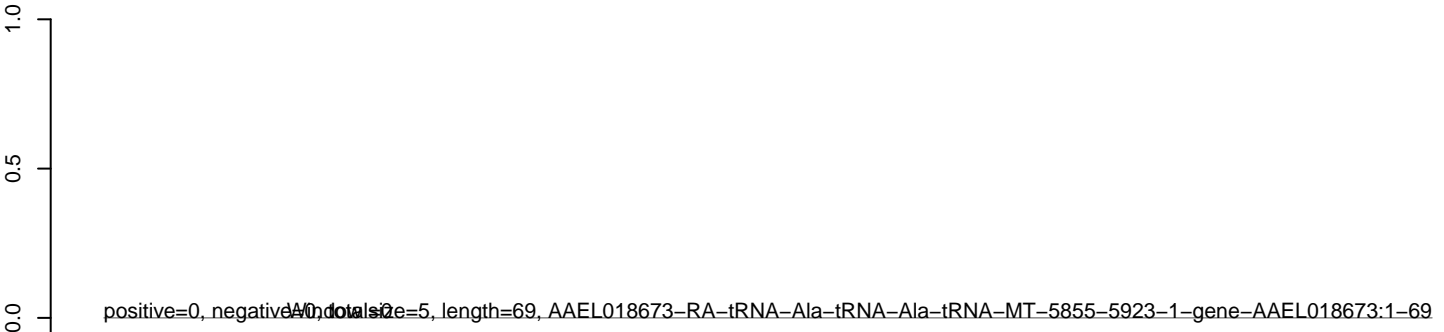
AeAlbo_U4.4_SINV_GFP.18_23.rep



AeAlbo_U4.4_SINV_GFP.24_35.rep



AeAlbo_U4.4_SINV_GFP.rep



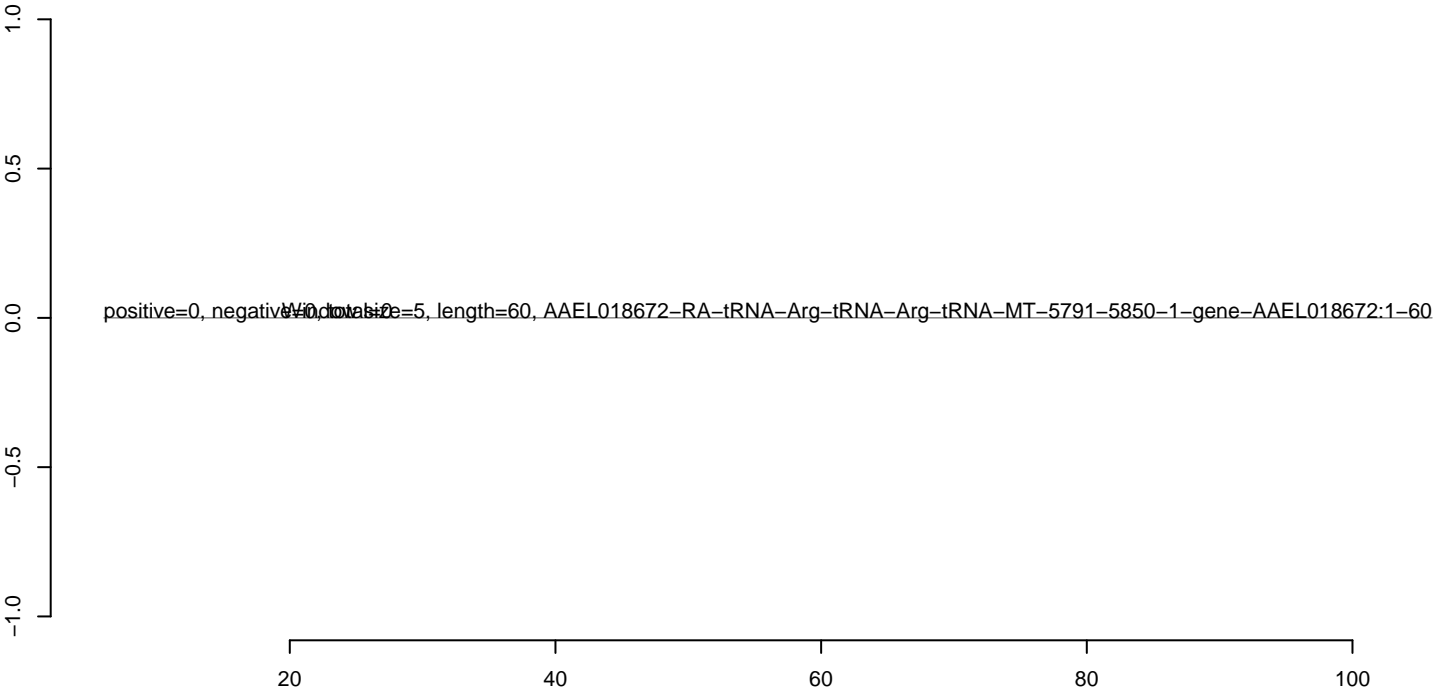
AeAlbo_U4.4_SINV_GFP.18_23.rep



AeAlbo_U4.4_SINV_GFP.24_35.rep



AeAlbo_U4.4_SINV_GFP.rep



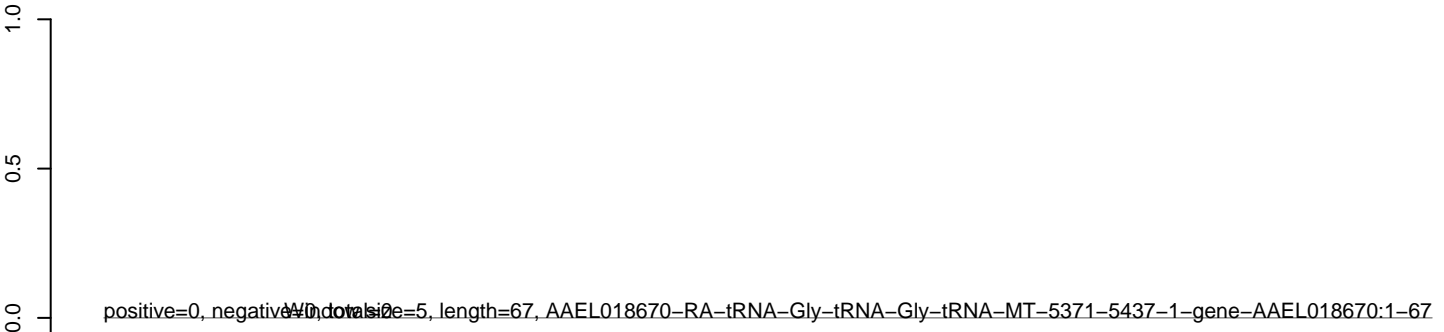
AeAlbo_U4.4_SINV_GFP.18_23.rep



AeAlbo_U4.4_SINV_GFP.24_35.rep



AeAlbo_U4.4_SINV_GFP.rep



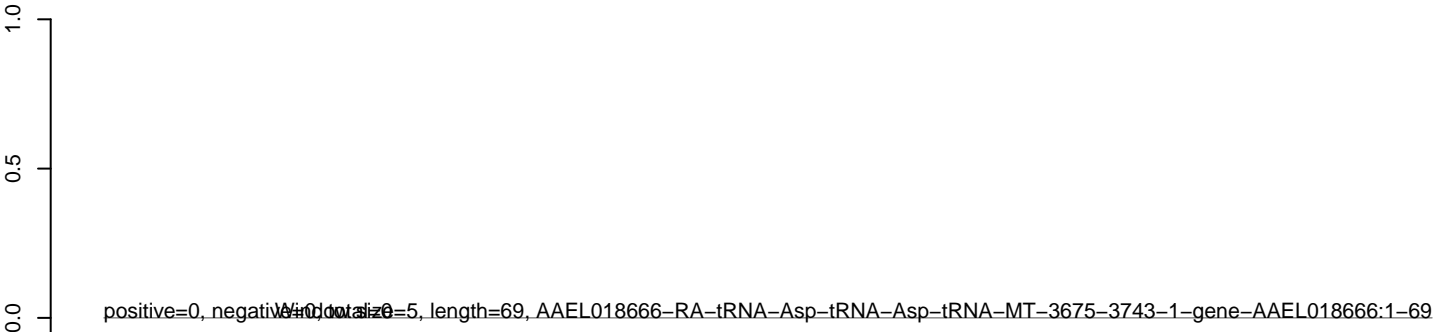
AeAlbo_U4.4_SINV_GFP.18_23.rep



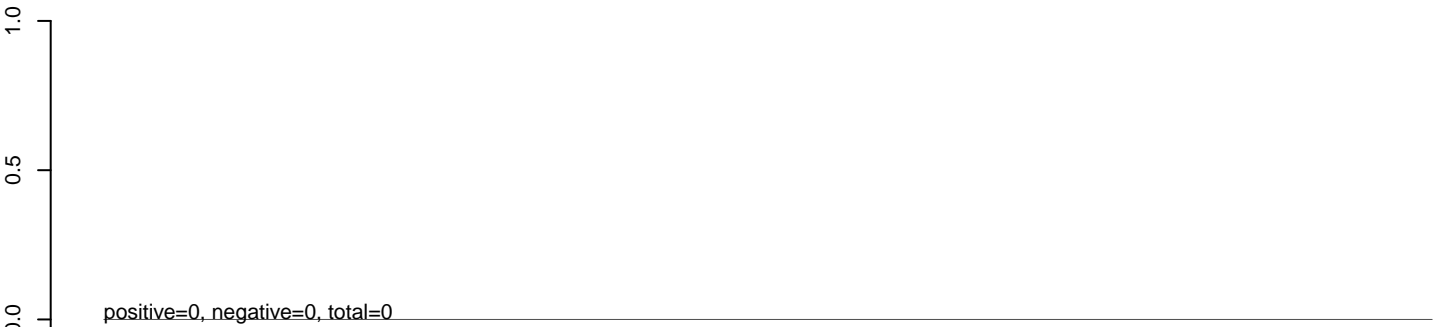
AeAlbo_U4.4_SINV_GFP.24_35.rep



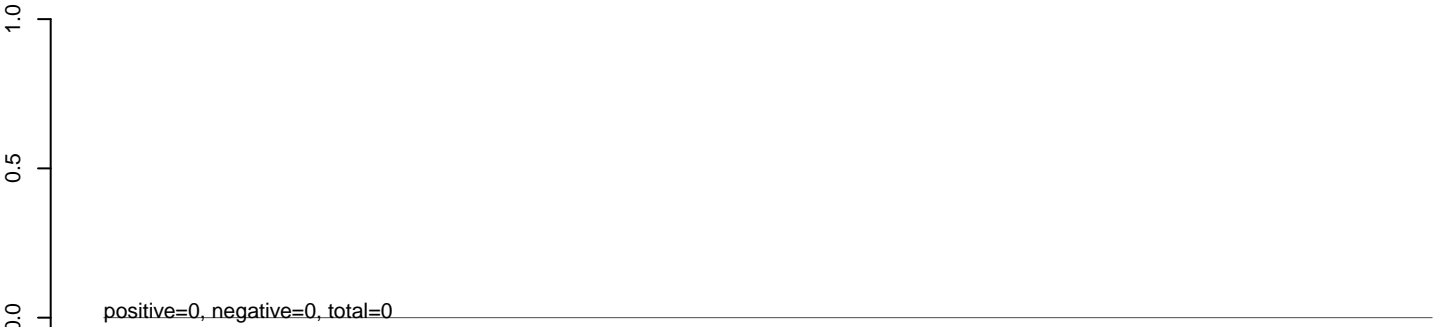
AeAlbo_U4.4_SINV_GFP.rep



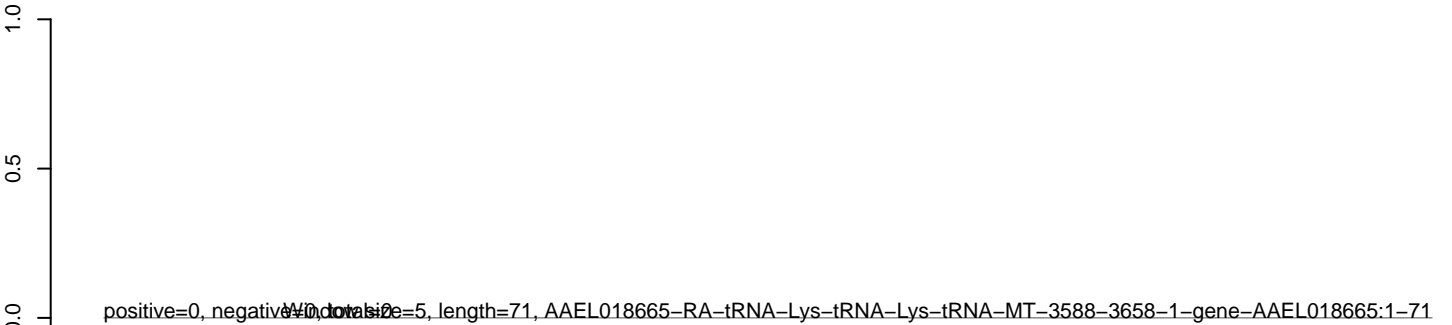
AeAlbo_U4.4_SINV_GFP.18_23.rep



AeAlbo_U4.4_SINV_GFP.24_35.rep



AeAlbo_U4.4_SINV_GFP.rep



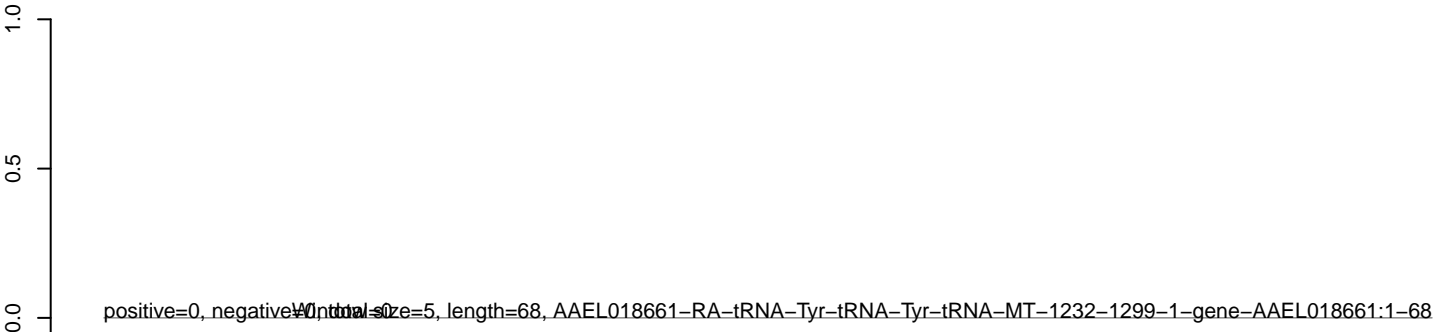
AeAlbo_U4.4_SINV_GFP.18_23.rep



AeAlbo_U4.4_SINV_GFP.24_35.rep



AeAlbo_U4.4_SINV_GFP.rep



AeAlbo_U4.4_SINV_GFP.18_23.rep



AeAlbo_U4.4_SINV_GFP.24_35.rep



AeAlbo_U4.4_SINV_GFP.rep



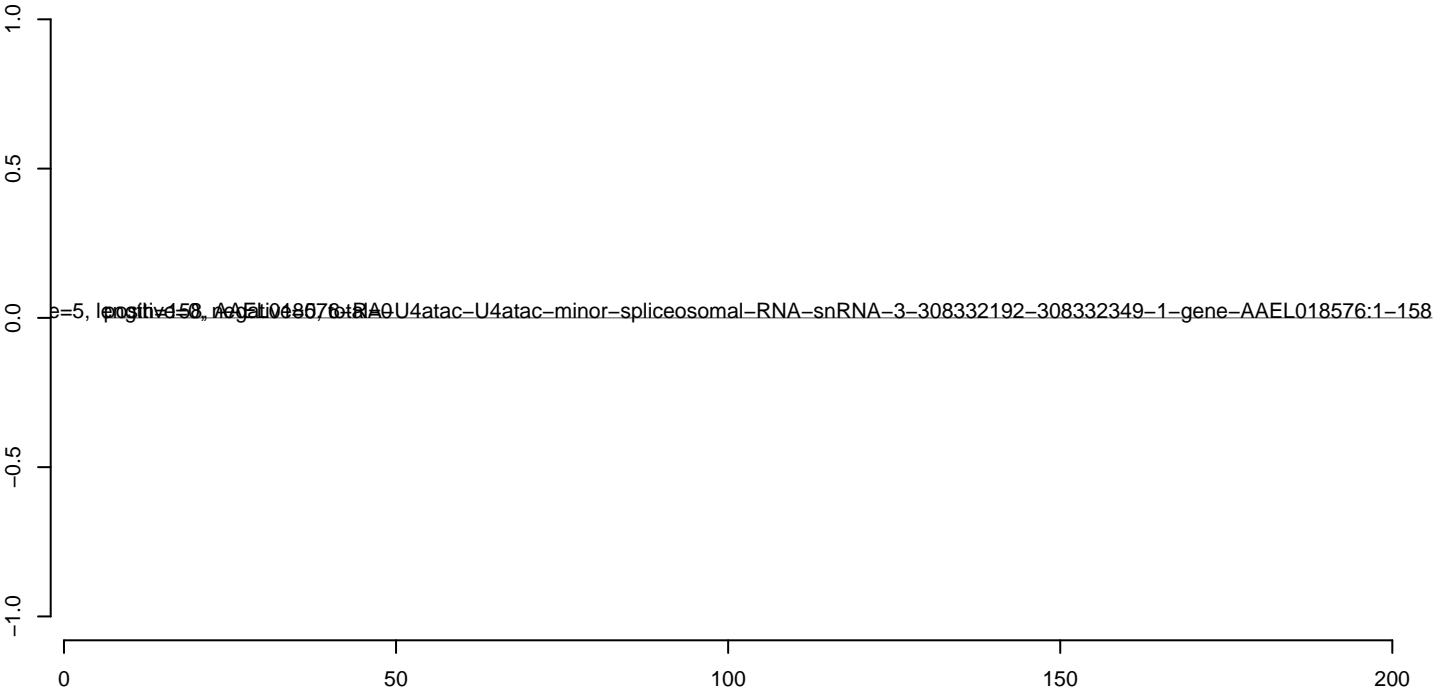
AeAlbo_U4.4_SINV_GFP.18_23.rep



AeAlbo_U4.4_SINV_GFP.24_35.rep



AeAlbo_U4.4_SINV_GFP.rep



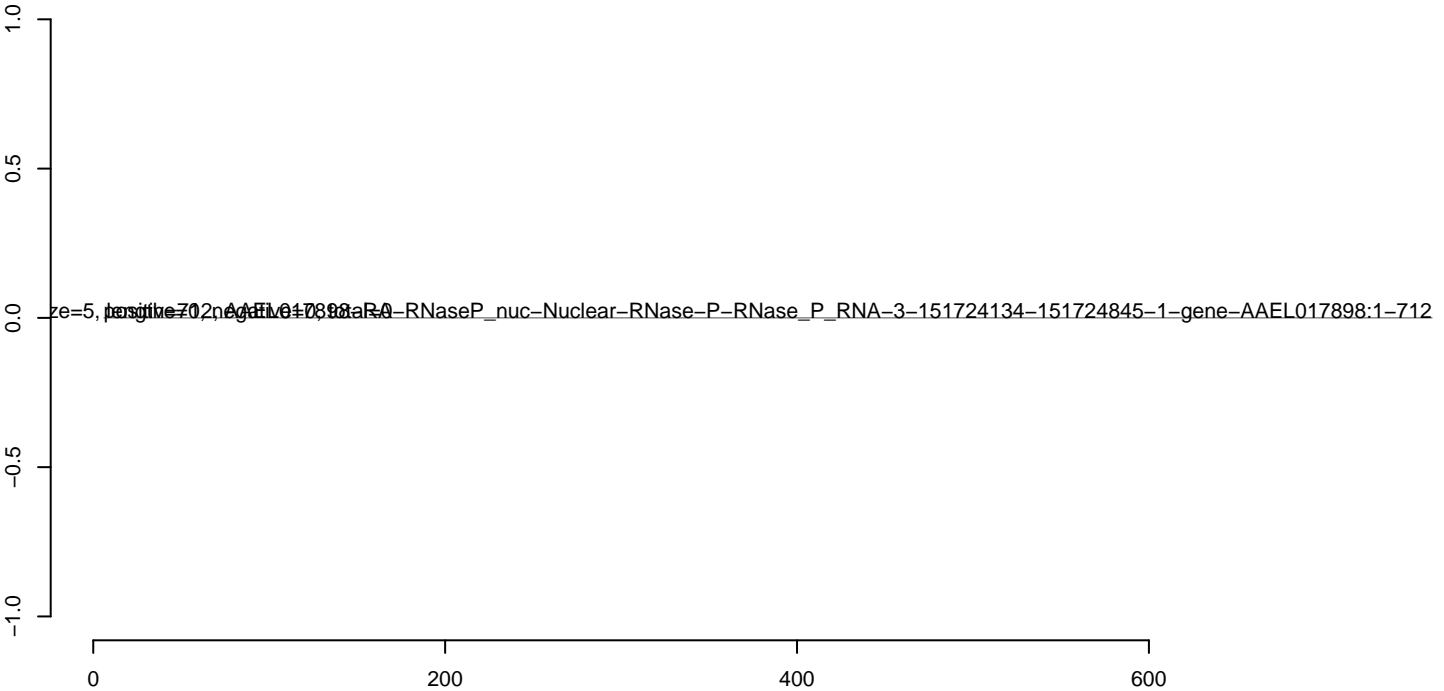
AeAlbo_U4.4_SINV_GFP.18_23.rep



AeAlbo_U4.4_SINV_GFP.24_35.rep



AeAlbo_U4.4_SINV_GFP.rep



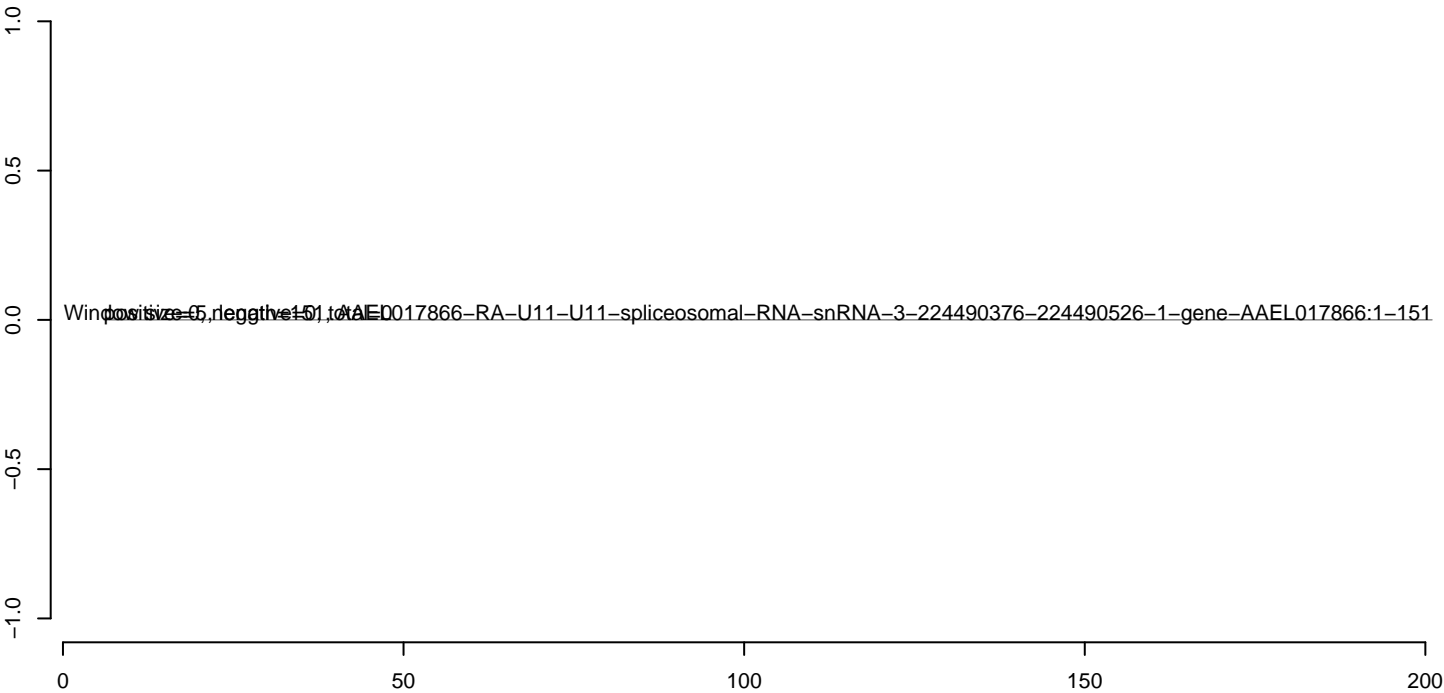
AeAlbo_U4.4_SINV_GFP.18_23.rep



AeAlbo_U4.4_SINV_GFP.24_35.rep



AeAlbo_U4.4_SINV_GFP.rep



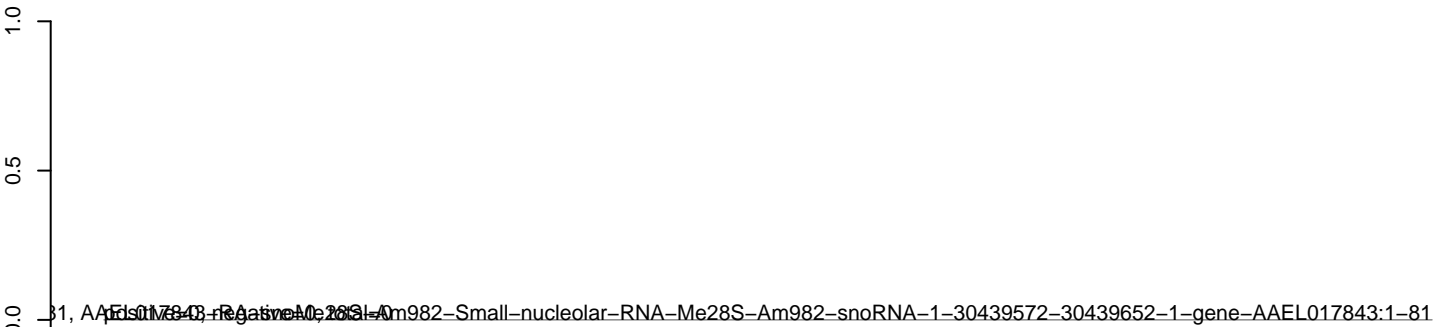
AeAlbo_U4.4_SINV_GFP.18_23.rep



AeAlbo_U4.4_SINV_GFP.24_35.rep



AeAlbo_U4.4_SINV_GFP.rep



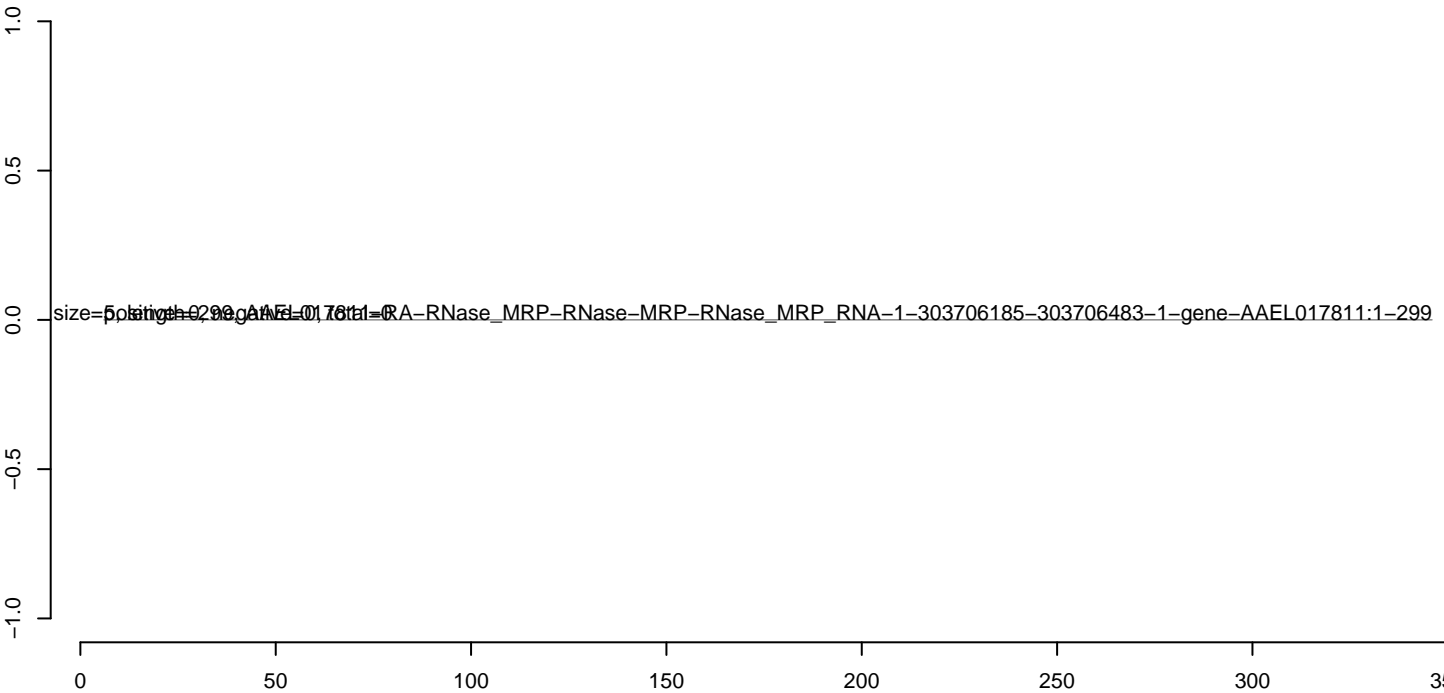
AeAlbo_U4.4_SINV_GFP.18_23.rep



AeAlbo_U4.4_SINV_GFP.24_35.rep



AeAlbo_U4.4_SINV_GFP.rep



AeAlbo_U4.4_SINV_GFP.18_23.rep



AeAlbo_U4.4_SINV_GFP.24_35.rep



AeAlbo_U4.4_SINV_GFP.rep

